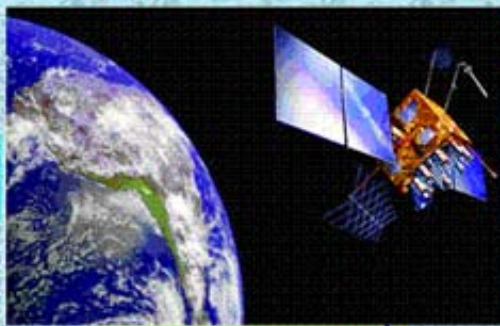
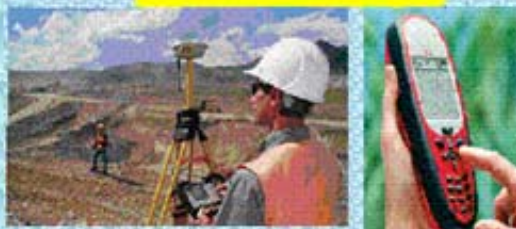


النظام العالمي لتحديد المواقع



GPS



جي بي آرس

جمعة محمد داود

النسخة الأولى
٢٠١٥ / ١٤٣١ هـ

مدخل إلى النظام العالمي لتحديد المواقع جي بي أس

جمعة محمد داود

النسخة الأولى
١٤٣١ هـ / ٢٠١٠ م

اتفاقية الاستخدام

هذا الكتاب وقف لله تعالى ويخضع لجميع قواعد الوقف الإسلامي مما يعني أنه يجوز لكل مسلم ومسلمة إعادة توزيعه في صورته الإلكترونية أو أعاده طبعه أو تصويره **بشرط** عدم التربح منه بأي صورة من الصور أو تغيير أي شيء من محتوياته ، أما بخلاف ذلك فلا بد من الحصول على موافقة مكتوبة من المؤلف.

لإشارة إلى هذا الكتاب - كمراجع - برجاء إتباع النموذج التالي:

باللغة العربية:

داود ، جمعة محمد ، ٢٠١٠ ، مدخل إلى النظام العالمي لتحديد الموقع: الجي بي إس ، مكة المكرمة ، المملكة العربية السعودية ، ٢٤٣ صفحة.

باللغة الإنجليزية:

Dawod, Gomaa M., 2010, An introduction to the Global Positioning System: GPS (in Arabic), Holly Makkah, Saudi Arabia, 243 pp.

مقدمة النسخة الأولى

بسم الله الرحمن الرحيم و الحمد لله العليم القدير الذي وهبني علما و وفقني في حياتي ، والصلوة والسلام على معلم الأمم و خير البرية محمد بن عبد الله عليه الصلاة و السلام.

أدعوا و أبتهل إلى مولاي و خالقي عز و جل أن يتقبل مني هذا العمل لوجهه الكريم فما أردت إلا إرضاؤه تعالى وتحقيقا لقول رسوله الكريم أن عمل ابن ادم ينقطع بعد موته إلا من ثلاثة أحدهم: علم ينتفع به.

أردت أن أقدم عملا باللغة العربية عن تقنية تحديد المواقع بنظام الجي بي أنس حيث تكاد تخلي المكتبة العربية من كتب في هذا المجال إلا القليل منها. مع انتشار تطبيقات هذه التقنية في السنوات الأخيرة في مجالات متعددة زادت الحاجة لفهم أساسياتها و مبادئها و طرق الاستفادة منها بأسلوب علمي صحيح. إلا أن كتابا واحدا لن يكون شاملًا لكل التفاصيل العلمية و الفنية لتقنية ذات مستوى عالي من آليات الرصد على الأقمار الصناعية و التعامل مع قياسات عالية الدقة ، فلا يعد هذا الكتاب إلا مدخلا فقط للجي بي أنس يناسب طلاب المرحلة الجامعية و مستخدمي الجي بي أنس الذين لم يدرسواه قبل ذلك. وربما إن وهبني الله عز و جل عمرًا و صحة أن أكمل هذا العمل في كتاب آخر أكثر تعمقا.

حاولت أن أقدم في الكتاب مستوى متوازن من الأساسيات العلمية و التفاصيل التطبيقية للجي بي أنس. بعض الكتب تكاد تكون نظرية تماما بينما البعض الآخر يركز فقط على التطبيقات و طرق التشغيل العملية ، وأعتقد أن لا هذا و لا ذاك يؤديان الغرض. فأي تقنية حديثة (مثل الجي بي أنس و نظم المعلومات الجغرافية) تستلزم فهم المبادئ العلمية التي بنيت عليها بالإضافة لأساليب تطبيقها عمليا.

أدعو كل قارئ و كل مستفيد من هذا الكتاب أن يدعوا الله تبارك و تعالى أن يغفر لي و لوالدي ، وأيضا لا يحرمني من رأيه و تعليقاته و تصويباته - فلا يوجد كتاب إلا و به نوافض و أخطاء - سواء عبر البريد الإلكتروني أو عبر منتدى الهندسة المساحية في: <http://surveying.ahlamontada.com>.

بسم الله الرحمن الرحيم وقل ربى زدني علما صدق الله العظيم.

جامعة محمد داود

dawod_gomaa@yahoo.com

مكة المكرمة: محرم ١٤٣١ هـ الموافق يناير ٢٠١٠ م

الإهادء

لي كل الشرف و الفخر وأنا أهدي هذا العمل لقامة من قامات العمل الجيوديسى العربي والذي تخرجت علي يديه أجيال عديدة من المهندسين إلى أستاذى الفاضل ... إلى أول من تعلم على يديه المساحة الجيوديسية ... إلى أبي الروحى:

الأستاذ الدكتور أحمد عبد الستار شاكر

أستاذ المساحة و الجيوديسيا بقسم الهندسة الماسحية بكلية الهندسة بشبرا – جامعة بنها ، القاهرة ، جمهورية مصر العربية.

أمد الله عمره وبارك فيه وأدام عليه الصحة و التوفيق.

شكر و تقدير

أتوجه بخالص الشكر والتقدير إلى كل من ساعدني في إكمال هذا العمل وخاصة مراجعته فنيا قبل صدوره ، وأخص بالشكر:

الأستاذ الدكتور / **أحمد عبد الستار شاكر** أستاذ الهندسة الماسحية بكلية الهندسة بشبرا جامعة بنها - مصر.

الأستاذ الدكتور / **عبد الله أحمد سعد** رئيس قسم الهندسة الماسحية بكلية الهندسة بشبرا جامعة بنها - مصر.

الدكتورة مهندسة / **هدي فيصل محمد** بمعهد بحوث المساحة - المركز القومي لبحوث المياه بالقاهرة - مصر.

الاختصارات و الرموز

1D	أحادي البعد
4D	رباعي الأبعاد
3D	ثلاثي الأبعاد
2D	ثنائي الأبعاد
a	نصف المحور الأكبر للإليسويد
A	صفوفة المعاملات
b	نصف المحور الأصغر للإليسويد
BM	نقطة أرضية معلومة المنسوب
C_{nm} , S_{nm}	معاملات التمثيل المتناسق
C/A code	الشفرة المدنية الأولى لأقمار الجي بي إس
DGPS	جي بي إس التقاضلي
DMA	الوكالة العسكرية الأمريكية للخرائط (أصبحت NIMA الآن)
DoD	وزارة الدفاع الأمريكية
DOP	معامل الدقة
Δg	شذوذ الجاذبية (الفرق بين الجاذبية المقاسة و المحسوبة)
$\Delta X, \Delta Y, \Delta Z$	عناصر النقل بين مرجعين جيوديسين
e	المركزية الأولى للإليسويد
ECEF	نظام مركزي أرضي ثابت
EGNOS	النظام الملاحي الأوروبي الثابت
EGM96	نموذج الجيويد العالمي ١٩٩٦
EGM2008	نموذج الجيويد العالمي ٢٠٠٨
ESA	وكالة الفضاء الأوروبية
ESRI	شركة أيزري الأمريكية لإنتاج برامج نظم المعلومات الجغرافية
f	تفلطح الإليسويد
ϕ	دائرة العرض
Φ	طور الإشارة الحاملة للموجة
γ	الجاذبية النظرية على الإليسويد
G	معامل نيوتن للجاذبية الأرضية
GDOP	معامل الدقة الهندسية (رباعية الأبعاد)
GNSS	النظم العالمية للملاحة بالأقمار الصناعية
GPS	النظام العالمي لتحديد الموضع
h	الارتفاع الجيوديسي أو الإليسويدي
H	الارتفاع الارثموري أو المنسوب
HDOP	معامل الدقة الأفقية

IGS	المنظمة الدولية لخدمات النظم العالمية لتحديد الموضع بالأقمار الصناعية
ITRF	الإطار الدولي المرجعي الأرضي
λ	خط الطول
λ'	طول الموجة
L	متجه الأرصاد
L1	التردد الأول لإشارات أقمار الجي بي أس
L2	التردد الثاني لإشارات أقمار الجي بي أس
L2C code	الشفرة المدنية الثانية لأقمار الجي بي أس
L5	التردد الثالث لإشارات أقمار الجي بي أس
M code	الشفرة العسكرية الدقيقة الثانية لأقمار الجي بي أس
MSAS	نظام الازدياد الياباني متعدد الأغراض
MSL	متوسط منسوب سطح البحر
N	حيود الجيويد
N'	الغموض الصحيح
NASA	وكالة الفضاء الأمريكية
NGS	هيئة المساحة الجيوديسية الأمريكية
n, m	أقصى درجة لنموذج جيويد عالمي
OED1907	المرجع الجيوديسي المصري القديم لعام ١٩٠٧
P	صفوفة الأوزان
P code	الشفرة العسكرية الدقيقة الأولى لأقمار الجي بي أس
PDOP	معامل الدقة ثلاثة الأبعاد
ppm	جزء من المليون
PPK	الرصد المتحرك مع الحساب اللاحق
PPS	الخدمة الدقيقة أو العسكرية لتحديد الموضع باستخدام الجي بي أس
PR	المسافة الكاذبة
P_{nm}	دالة لاجندر
R	نصف قطر الأرض المتوسط
RTK	الرصد المتحرك الآني
Rx, Ry, Rz	عناصر الدوران بين مرجعين جيوديسين
s	معامل القياس بين مرجعين جيوديسين
SA	خطاً الاتاحية المنتقا
SPS	الخدمة المدنية أو القياسية لتحديد الموضع باستخدام الجي بي أس
S(ψ)	دالة ستوكس
τ	الاختبار الإحصائي تاو
TDOP	معامل الدقة الزمنية
V	متجه المتبقيات

V^{\wedge}	متجه المتغيرات المضبوطة
VDOP	معامل الدقة الرأسية
WAGE	نظام الازدياد الأمريكي العسكري
WASS	نظام الازدياد الأمريكي للمناطق الشاسعة
WGS72	النظام الجيوديسي العالمي ١٩٧٢
WGS84	النظام الجيوديسي العالمي ١٩٨٤
X^{\wedge}	متجه القيم المضبوطة
X, Y, Z	الإحداثيات الجيوديسية الكارتيزية
σ	الانحراف المعياري
$\sigma^{\wedge_0^2}$	تقدير معامل التباين
ψ	المسافة الدائرية بين نقطة الحساب والنقطة المقاس عندها الجاذبية

المحتويات

صفحة

ب	اتفاقية الاستخدام
ث	مقدمة النسخة الأولى
الإهداء	
ج	شكر و تقدير
ح	الاختصارات و الرموز
ذ	قائمة المحتويات
ش	قائمة الأشكال
ط	قائمة الجداول

الفصل الأول: الأقمار الصناعية و تطبيقاتها في تحديد المواقع

١	١-١ مقدمة
١	٢-١ المساحة و الجيوديسيا
٣	٣-١ الأقمار الصناعية
٤	٤-٤ تحديد المواقع بالاعتماد على الأقمار الصناعية
٩	٥-١ جيوديسيا الأقمار الصناعية

الفصل الثاني: شكل الأرض و المراجع و نظم الإحداثيات

١٢	١-٢ مقدمة
١٢	٢-٢ شكل الأرض
١٥	٣-٢ المراجع
١٧	٤-٢ نظم الإحداثيات
٢٠	٤-٤-٢ الإحداثيات الجغرافية أو الجيوديسية
٢١	٤-٤-٢ الإحداثيات الكروية
٢٢	٤-٤-٢ الإحداثيات الجيوديسية الكارتيزية أو الفراغية أو الديكارتية
٢٣	٤-٤-٢ الإطار المرجعي الأرضي العالمي
٢٣	٤-٤-٢ التحويل بين الإحداثيات الجغرافية
٢٤	٤-٤-٢ إسقاط الخرائط
٣٢	٧-٤-٢ نظم الإحداثيات المنسقطة أو المستوية
٣٢	٧-٤-٢ نظم الإحداثيات المصرية
٣٥	٧-٤-٢ نظم إحداثيات UTM
٣٧	٨-٤-٢ التحويل بين المراجع
٣٧	٨-٤-٢ الطرق التقليدية للتحويل بين المراجع
٤٣	٨-٤-٢ الطرق غير التقليدية للتحويل بين المراجع
٤٦	٨-٤-٢ التحويل بين المراجع ثلاثية و رباعية الأبعاد
٤٧	٩-٤-٢ العلاقة بين تحويل المراجع و إسقاط الخرائط

الفصل الثالث: تقنية النظام العالمي لتحديد المواقع: الجي بي أس

٥٠	١-٣ مقدمة
٥٤	٢-٣ مكونات نظام الجي بي أس
٥٤	١-٢-٣ قسم الفضاء أو الأقمار الصناعية
٥٦	٢-٢-٣ قسم التحكم والمراقبة
٥٦	٣-٢-٣ قسم المستقبلات الأرضية
٥٩	٣-٢ فكرة عمل الجي بي أس في تحديد المواقع
٦١	٤-٣ إشارات الأقمار الصناعية في الجي بي أس
٦٢	٥-٣ مصادر الأخطاء في قياسات الجي بي أس
٧٠	٦-٣ خطة تحديث تقنية الجي بي أس
٧٣	٧-٣ نظم ملاحية أخرى لتحديد المواقع
٧٣	١-٧-٣ النظام الروسي جلوناس
٧٥	٢-٧-٣ النظام الأوروبي جاليليو
٧٦	٣-٧-٣ النظام الصيني بيدو
٧٧	٤-٧-٣ نظم ملاحية إقليمية
٧٧	٨-٣ النظم العالمية للملاحة بالأقمار الصناعية
٧٩	٩-٣ نظم الازدياد

الفصل الرابع: أرصاد الجي بي أس

٨٤	٤-١ مقدمة
٨٤	٤-٢-٤ أرصاد المسافة الكاذبة باستخدام الشفرة
٨٧	٤-٣-٤ أرصاد فرق طور الإشارة الحاملة
٩١	٤-٤ مبدأ الفروقات في مرحلة الحسابات
٩٤	٤-٥ الحسابات المبدئية لأرصاد الجي بي أس

الفصل الخامس: طرق الرصد

٩٦	١-٥ مقدمة
٩٨	٢-٥ طرق الرصد الثابتة
٩٨	١-٢-٥ طريقة الرصد الثابت التقليدي
٩٩	٢-٢-٥ طريقة الرصد الثابت السريع
١٠٠	٣-٥ طرق الرصد المتحركة
١٠٠	١-٣-٥ طرق الرصد المتحرك والحساب لاحقا
١٠٢	٢-٣-٥ طرق الرصد المتحرك مع الحساب اللحظي
١٠٣	٤-٥ مقارنة بين طرق الرصد المختلفة

الفصل السادس: ضبط شبكات الجي بي أس	١٠٦
١-٦ مقدمة	١٠٦
٢-٦ طريقة مجموع أقل المربعات	١٠٦
١-٢-٦ ضبط أقل المربعات باستخدام معدلات الأرصاد	١٠٧
٢-٢-٦ عيوب الشبكات الجيوديسية في ضبط أقل المربعات	١١٠
٣-٢-٦ اكتشاف أخطاء الأرصاد بعد الضبط	١١١
٤-٢-٦ تطبيقات ضبط أقل مجموع مربعات في أرصاد الجي بي أس	١١٣
الفصل السابع: العمل المساحي بالجي بي أس	١١٤
١-٧ مقدمة	١١٤
٢-٧ التخطيط و التصميم	١١٤
١-٢-٧ أهداف المشروع و الدقة المطلوبة	١١٤
٢-٢-٧ اختيار أجهزة الاستقبال و برامج الحساب	١١٦
٣-٢-٧ تصميم خطة الرصد	١١٧
٤-٢-٧ تصميم الربط على شبكات التحكم	١١٩
٥-٢-٧ اختيار المرجع الجيوديسى المطلوب	١٢١
٦-٢-٧ اختيار موقع النقاط وتثبيت العلامات	١٢١
٧-٢-٧ اختيار أنساب أوقات الرصد	١٢٣
٨-٢-٧ اختيار أنساب طريقة للرصد	١٢٦
٩-٢-٧ المتطلبات الأخرى	١٢٧
٣-٧ الرصد الحقلي	١٢٧
٤-٧ الحسابات و الضبط	١٣٢
٥-٧ تحويل الإحداثيات	١٣٧
الفصل الثامن : الجي بي أس و الجيوديد	١٣٩
١-٨ مقدمة	١٣٩
٢-٨ طرق نمذجة الجيوديد	١٤٠
١-٢-٨ نمذجة الجيوديد من أرصاد الجاذبية الأرضية	١٤٠
٢-٢-٨ نمذجة الجيوديد من أرصاد الجي بي أس و الميزانيات	١٤٣
٣-٨ نماذج الجيوديد العالمية	١٤٤
٤-٨ نموذج الجيوديد العالمي ٢٠٠٨	١٤٦
٥-٨ نمذجة الجيوديد في مشروعات الجي بي أس	١٥١
الفصل التاسع: خدمات الجي بي أس علي الانترنت	١٥٣
١-٩ مقدمة	١٥٣
٢-٩ المنظمة العالمية لخدمات النظم الملاحية بالأقمار الصناعية IGS	١٥٣
١-٢-٩ أرصاد المحطات الأرضية لمنظمة IGS	١٥٤
٢-٢-٩ المدارات الدقيقة للأقمار الصناعية	١٥٦
٣-٢-٩ الإحداثيات الدقيقة لمحطات IGS	١٦٠

١٦٢	٣-٩ خدمات حسابات مجانية لأرصاد الجي بي إس
١٦٣	٤-٩ برامج مفيدة للجي بي إس
١٦٧	المراجع
١٧٤	الملحق
١٧٥	ملحق ١: المكتبة الرقمية المساحية المجانية
١٨٩	ملحق ٢: معجم مصطلحات الجي بي إس
٢١٠	ملحق ٣: الموصفات الجيوديسية المصرية المقترحة
٢١٦	ملحق ٤: موقع مساحية على شبكة الانترنت

قائمة الأشكال

	الشكل
٢	١- العلاقة بين علم الجيوديسيا والعلوم الأخرى
٣	٢-١ تجربة العالم أراتوسين لتقدير محيط الأرض
٤	٣-١ بعض الأقمار الصناعية
٦	٤-١ الملاحة الرادوية و تحديد الموضع
٨	٥-١ الملاحة بالأقمار الصناعية
٨	٦-١ المبدأ المساحي للملاحة بالأقمار الصناعية
١١	٧-١ تقنيات تحديد الموضع
١٣	١-٢ الأرض غير منتظمة الشكل
١٣	٢-٢ الجيود: الشكل الحقيقي للأرض
١٤	٣-٢ الالبيسويد
١٥	٤-٢ العلاقة بين الجيود و الالبيسويد
١٩	٥-٢ تحديد الموضع على الكرة
٢٠	٦-٢ نظام الإحداثيات الجغرافية أو الجيوديسية
٢١	٧-٢ الإحداثيات الجغرافية أو الجيوديسية
٢٢	٨-٢ الإحداثيات الكروية
٢٢	٩-٢ الإحداثيات الجيوديسية الكارتيزية
٢٤	١٠-٢ عملية إسقاط الخرائط
٢٦	١١-٢ طرق الإسقاط الاسطواني
٢٦	١٢-٢ طرق الإسقاط المخروطي
٢٦	١٣-٢ طرق الإسقاط السمتى أو المستوى
٢٧	١٤-٢ مسقط ميريكاتور
٢٨	١٥-٢ مسقط ميريكاتور المستعرض
٢٩	١٦-٢ شرائح مسقط مريكتور المستعرض العالمي
٣٠	١٧-٢ مسقط ساينسويدال متباوبي المساحات
٣٠	١٨-٢ مسقط لامبرت المخروطي المتماثل
٣١	١٩-٢ مسقط لامبرت السمتى متباوبي المساحات
٣١	٢٠-٢ المسقط المتعامد أو الارثوجرافي
٣٤	٢١-٢ شرائح نظام الإسقاط المصري ETM
٣٦	٢٢-٢ شرائح مسقط UTM للمملكة العربية السعودية
٣٧	٢٣-٢ التحويل بين مرجعين متوازيين
٣٨	٢٤-٢ التحويل بين أي مرجعين
٤٥	٢٥-٢ سطح تحويل دوائر العرض بين WGS84 و هلمرت ١٩٠٦ في مصر
٤٥	٢٦-٢ سطح تحويل خطوط الطول بين WGS84 و هلمرت ١٩٠٦ في مصر
٤٩	٢٧-٢ خطوات تحويل و إسقاط الإحداثيات
٥٣	١-٣ بعض مجالات تطبيقات الجي بي أس
٥٤	٢-٣ أقسام الجي بي أس
٥٥	٣-٣ قطاع الفضاء في تقنية الجي بي أس
٥٥	٤-٣ نماذج للأقمار الصناعية في نظام الجي بي أس
٥٦	٥-٣ قسم التحكم و السيطرة

٦-٣	أنواع أجهزة استقبال الجي بي أس	٥٨
٧-٣	بعض أجهزة استقبال الجي بي أس	٥٨
٨-٣	مبدأ الرصد في نظام الجي بي أس	٦٠
٩-٣	التردد و الشفرة في إشارات الأقمار الصناعية	٦٢
١٠-٣	مصادر أخطاء الجي بي أس	٦٣
١١-٣	دقة تحديد الموضع قبل وبعد خطأ SA	٦٤
١٢-٣	طبقتي التروبوسفير والأيونوسفير في العلاف الجوي	٦٥
١٣-٣	مناطق النشاط الشمسي المرتفع	٦٦
١٤-٣	خطاً مدار الأقمار الصناعية	٦٧
١٥-٣	خطاً تعدد المسارات	٦٨
١٦-٣	نوع هوائي يقلل خطأ تعدد المسارات	٦٨
١٧-٣	تأثير توزيع الأقمار الصناعية	٧٠
١٨-٣	مثال لحساب معاملات الدقة و التأثير المتوقع لتوزيع الأقمار الصناعية	٧٠
١٩-٣	محطات المراقبة و السيطرة الجديدة	٧٢
٢٠-٣	المخطط الزمني لتنفيذ خطة تطوير الجي بي أس	٧٢
٢١-٣	أحد الأقمار الصناعية في نظام جلوناس	٧٤
٢٢-٣	تغطية نظام جلوناس في مارس ٢٠٠٨	٧٤
٢٣-٣	الأقمار التجريبية في نظام غاليليو	٧٦
٢٤-٣	إطلاق قمر صناعي صيني	٧٧
٢٥-٣	مجال تغطية النظام الياباني الإقليمي QZSS	٧٧
٢٦-٣	موديل AR25 لهوائي GNSS من إنتاج شركة ليكا	٧٨
٢٧-٣	أجهزة استقبال GNSS	٧٩
٢٨-٣	المحطات الأرضية في نظام الإزدياد الأمريكي WASS	٨١
٢٩-٣	مجال تغطية نظام الإزدياد الأوروبي EGNOS	٨١
٣٠-٣	المحطات الأرضية في نظام الإزدياد لمدينة جدة السعودية	٨١
٣١-٣	المحطات الأرضية في نظام الإزدياد لمدينة دبي الإماراتية	٨٢
٣٢-٣	المحطات الأرضية ومجال تغطيتها في نظام الإزدياد لهيئة الموانئ المصرية	٨٢
٣٣-٣	المحطات الأرضية في نظام الإزدياد بمملكة البحرين	٨٢
٣٤-٣	تغطية نظام الإزدياد OmniStar في المنطقة العربية	٨٣
٤-٤	مبدأ المسافات الكاذبة	٨٤
٤-٤	طريقة قياس المسافة الكاذبة باستخدام الشفرة	٨٥
٤-٤	العلاقات الهندسية في أرصاد المسافات الكاذبة	٨٦
٤-٤	أرصاد فرق طور الموجة الحاملة	٨٨
٤-٤	كيفية قياس فرق طور الموجة الحاملة	٨٨
٤-٤	خطاً تغير الدورة	٩٠
٤-٤	التحديد النسبي للموضع	٩٠
٤-٤	الفرق الأحادي بين المستقبلات	٩١
٤-٤	الفرق الثنائي	٩٢
٤-٤	الفرق الثلاثي	٩٢
٤-٤	خطاً تغير الدورة في الفرق الثلاثي	٩٣
٤-٥	مبدأ الرصد النسبي لأرصاد الجي بي أس	٩٧
٤-٥	طرق رصد الجي بي أس	٩٧
٤-٥	أساليب الرصد الثابت التقليدي	٩٨

٤-٥ طرق الرصد الثابت السريع	١٠٠
٥-٥ طريقة الذهاب و التوقف	١٠٢
٦-٥ طريقة الرصد المتحرك اللحظي	١٠٣
١-٦ الأرصاد الواقعة خارج الحدود	١١٢
١-٧ مثال لخطيط رصد شبكة جي بي إس	١١٨
٢-٧ مثال لفترات رصد شبكة جي بي إس مع تكرار بعض رصد الخطوط	١١٨
٣-٧ نموذج بناء نقطة ثوابت للأعمال المساحية	١٢٢
٤-٧ نموذج بناء نقطة ثوابت للأعمال الجيوديسية	١٢٢
٥-٧ مثال للدقة المترقبة من طرق الرصد المتعددة	١٢٧
٦-٧ نموذج لكارت بيانات حلية لمحطة جي بي إس	١٢٩
٧-٧ بعض أجهزة الرصد الجيوديسية	١٣٠
٨-٧ بعض طرق قياس ارتفاع الجهاز	١٣٠
٩-٧ العمل الحقلي للرصد المتحرك اللحظي	١٣٠
١٠-٧ العمل الحقلي بأجهزة نظم المعلومات الجغرافية	١٣١
١١-٧ مثال لنتائج حسابات خطوط القواعد	١٣٣
١٢-٧ مثال لنتائج حسابات الجي بي إس التقاضي	١٣٤
١٣-٧ مثال لنتائج ضبط غير مقيد شبكة جي بي إس	١٣٤
١٤-٧ مثال لنتائج ضبط نهائي شبكة جي بي إس	١٣٦
١٥-٧ مثال لنتائج إحداثيات نقاط شبكة جي بي إس	١٣٦
١-٨ العلاقة بين أنواع الارتفاعات	١٣٩
٢-٨ الشبكة القومية المصرية للجاذبية الأرضية لعام ١٩٩٧	١٤٢
٣-٨ نموذج الجيودي المצרי SRI2002B	١٤٢
٤-٨ شذوذ الجاذبية المستخدمة لتطوير نموذج الجيودي العالمي ٢٠٠٨	١٤٧
٥-٨ حيود الجيودي في منطقة الشرق الأوسط من النموذج العالمي EGM2008	١٤٩
٦-٨ حيود الجيودي في مصر من النموذج العالمي ٢٠٠٨	١٥٠
١-٩ توزيع محطات IGS	١٥٤
٢-٩ ملفات أرصاد الجي بي إس في IGS	١٥٦
٣-٩ مثال للحصول على المدارات الدقيقة للأقمار الصناعية	١٥٨
٤-٩ تحديد رقم أسبوع الجي بي إس	١٥٩
٥-٩ مثال لملف بيانات محطة IGS	١٦٠
٦-٩ مثال للحصول على إحداثيات محطة IGS في إطار ITRF	١٦١

قائمة الجداول

صفحة	الجدول
١٦	١-٢ بعض نماذج الاليسيود المستخدمة عالميا
٤١	٢-٢ عناصر التحويل بين المرجع الجيوديسي العالمي WGS84 والمراجع الجيوديسية المحلية
٦٣	٣-١ تأثير الأخطاء على دقة تحديد المواقع
١٠٤	٣-٥ مقارنة بين طرق الرصد المختلفة
١٠٥	٣-٥ مقارنة بين زمن الرصد و دقة طرق الرصد المختلفة
١١٥	٣-٧ الدقة المطلوبة لبعض التطبيقات المساحية للجي بي أس
١١٥	٣-٧ الدقة المطلوبة للجي بي أس في المشروعات المدنية
١٢٠	٣-٧ مواصفات نقاط التحكم المطلوبة في إنشاء شبكة جي بي أس
١٢٠	٤-٧ مواصفات الرصد الثابت لإنشاء شبكة جي بي أس
١٢٤	٤-٧ طول وقت الرصد الحقلي للرصد الثابت
١٢٤	٦-٧ طول وقت الرصد الحقلي للرصد الثابت للأجهزة أحادية و ثنائية التردد
١٢٥	٧-٧ طول وقت الرصد الحقلي للرصد الثابت لشبكات الثوابت الرئيسية
١٢٥	٨-٧ قيم معامل الأرصاد في طرق الرصد المختلفة
١٢٥	٩-٧ مواصفات رصد شبكة جي بي أس
١٢٨	٧-١٠ مثل لأفراد الفريق الحقلي و مسؤولياتهم
١٣٣	١١-٧ عناصر تقييم جودة حلول خطوط القواعد
١٤٥	١-٨ دقة بعض نماذج الجيوديد العالمية
١٤٥	٢-٨ نتائج تقييم نماذج الجيوديد العالمية في مصر
١٤٨	٣-٨ طرق الحصول على نموذج الجيوديد العالمي EGM2008
١٥٥	١-٩ بعض نقاط الشبكة العالمية IGS في الشرق الأوسط
١٥٧	٢-٩ أنواع و خصائص بيانات مدارات الجي بي إس المتاحة في IGS
١٦٤	٣-٩ مقارنة بين خدمات الانترنت لحسابات الجي بي إس

الفصل الأول

الأقمار الصناعية و تطبيقاتها في تحديد المواقع

١-١ مقدمة:

منذ أن خلق الله سبحانه و تعالى الإنسان وأنزله إلى الأرض كان التنقل من مكان إلى آخر والتعرف على موقع جديد غريزة داخل النفس البشرية ، ومن هنا بدأت حاجة البشر لوسائل تمكنهم من السفر و الترحال بأمان دون أن يتبعوا في الصحراء و البيئة المحيطة. تمكن الإنسان في البداية أن يتخذ بعض الأماكن و الأجسام الأرضية الخاصة - مثل الجبال - كعلامات تمكنه من معرفة طريقه بالإضافة إلى مساعدة نهارية من الشمس و الظل ، وبالتالي أستطيع أن يسافر لعدة كيلومترات ويعود لموقعه الأصلي مرة أخرى. ومن ذلك الوقت ظهر في القاموس البشري مصطلح جديد لا و هو الملاحة **Navigation** وهي العملية التي بواسطتها يتنقل الإنسان بين مواقعين والتي تساعد في معرفة موقعه في أي وقت^١. وفي المرحلة الثانية من المعرفة البشريةبدأ الاعتماد على النجوم كعلامات مرجعية تمكن الإنسان من معرفة موقعه و اتجاهه أثناء السفر ليلا ، ومن ثم بدأ علم الفلك **Astronomy** . وعرفت الحضارات القديمة إقامة الفنارات **Lighthouses** منذ حوالي ألفي عام - وأشهر هم فنار الإسكندرية في مصر و فنار جزيرة رودس اليونانية - كعلامات ملاحية تعكس الضوء سواء ضوء الشمس نهارا أو ضوء مصدر آخر ليلا لإرشاد السفن المبحرة في البحار^٢.

١-٢ المساحة و الجيوديسيا:

لاحقا بدأ الإنسان في تسجيل ملاحظاته الملاحية والطرق التي يسير فيها و مواقع تحركاته المتعددة في البيئة المحاطة به على قطع من الورق (ورق البردي في الحضارة المصرية القديمة كمثال) لتظهر للوجود "الخرائط" **Maps** . وبالتزامن مع ظهور الخرائط بدأ ظهور علم المساحة **Surveying** وهو علم تحديد الموقع – بأبعاد ثلاثة – للمعالن الطبيعية و البشرية على أو تحت سطح الأرض. وتعد مصر أول من استخدم علم المساحة بصورة موسعة منذ حوالي ١٤٠٠ عام قبل الميلاد وذلك في تحديد الملكيات الزراعية وحساب الضرائب المستحقة عليها^٣ . وفي المرحلة العلمية التالية تطور علم جديد ليكون أكثر تخصصا و تعمقا في عملية تحديد الموقع لا و هو علم الجيوديسيا (أو الجيوديزيا) **Geodesy** والذي يعرفه هلمرت على أنه: علم قياس و رسم سطح الأرض ، شاملًا تعين حقل الجاذبية الأرضية و أيضًا تحديد أرضية المحيطات^٤ . إن كلمة جيوديسيا كلمة يونانية الأصل تتكون من مقطعين: جيو بمعنى الأرض ، ديسيا بمعنى القياس أي أن الكلمة تعني العلم المعني و المهتم بدراسة الأرض من حيث الشكل و القياس^٥ . ومن ثم أصبحت المساحة الجيوديسية **Geodetic Surveying** أحد

¹ Kaplan, E. and Hegarty, C., 2006, Understanding GPS: Principles and applications, Second Edition, Artech House, Inc., Boston, USA.

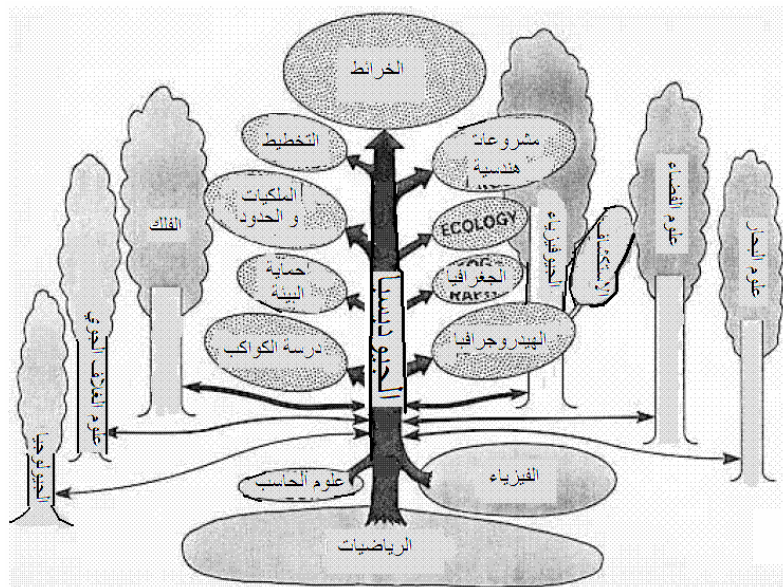
² Prasad, R. and Ruggieri, M., 2005, Applied satellite navigation using GPS, Galileo and augmentation systems, Artech House, Inc., Boston, USA.

³ عبد العزيز ، يوسف إبراهيم و الحسيني ، محمد صفت ، ٢٠٠٧ ، المساحة ، دار المعرفة للنشر والتوزيع ، القاهرة ، مصر.

⁴ Seeber, G., 2003, Satellite Geodesy, Second Edition, Walter de Gruyter Co., Berlin, Germany

⁵ المؤسسة العامة للتعليم الفني و التدريب المهني ، ١٤٢٦ هـ ، نظام تحديد المواقع العالمي ، مقرر دراسي لطلاب الكليات التقنية ، الرياض ، المملكة العربية السعودية.

مكونات علوم الهندسة المساحية والتي نحتاج إليها عندما نتعامل – قياساً أو رسمياً – مع مناطق كبيرة من سطح الأرض حيث لا يمكن إهمال تأثير كروية الأرض (مثلاً الحال في فرع المساحة المستوية Plan Surveying عند قياس ورسم مساحات صغيرة من سطح الأرض ونفترض للتبسيط أن الأرض يمكن تمثيلها كسطح مستوي في هذه المنطقة الصغيرة) ^٦. ويرتبط علم الجيوديسيا ارتباطاً وثيقاً بعدد كبير من العلوم الأخرى كما هو موضح في الشكل ^٧.



**شكل ١-١
العلاقة بين علم الجيوديسيا والعلوم الأخرى**

من أولى بديعات التفكير الإنساني في معرفة شكل و حجم الأرض تلك التجربة الرائدة التي قام بها العالم الإغريقي أراتوستين Eratosthenes (٢٧٦-١٩٦ ق.م) والذي كان يشغل منصب أمين مكتبة الإسكندرية التي كانت تعتبر أرقى معهد علمي في العالم في ذلك الوقت^٨. لاحظ أراتوستين أن الشمس في يوم ٢١ يونيو (حزيران) من كل عام تكون مرئية في مياه بئر بمدينة أسوان ، أي أنها تكون عمودية تماماً في هذا الموقع ، وبعد ذلك أفترض أن الإسكندرية تقع إلى الشمال مباشرةً من أسوان. ثم قام بقياس زاوية ميل أشعة الشمس عند الإسكندرية ووجدها ٧.^٢ درجة ، وقدر أن هذا الجزء – بين الإسكندرية وأسوان – يعادل ٥٠/١ من الدائرة التي تمثل الأرض (شكل ٢-١^٩). وبعد ذلك قام بقياس المسافة بين كلا المدينتين فكانت حوالي ٥٠٠٠ استadias (وحدة قياس المسافات في ذلك الوقت) أي ما يعادل ٥٠٠ ميل أو ٨٠٠ كيلومتر، ومن ثم

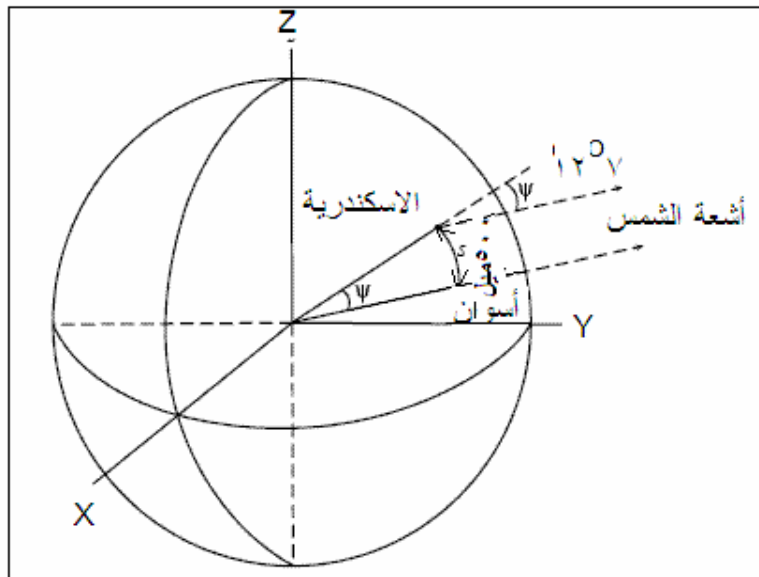
⁶ تعليب ، علي عبد العظيم ، ١٩٩٧ ، الجيوديسيا ، المعهد القومي للبحوث الفلكية و الجيوفизيكية ، حلوان، مصر.

⁷ Vanicek, P., 2001, An online tutorial in Geodesy, <http://gge.unb.ca/Research/GeodesyGroup/tutorial/tutorial.htm>.

⁸ أبو راضي ، فتحي عبد العزيز ، ١٩٩٨ ، الجغرافيا العملية و مبادئ الخرائط ، دار النهضة الحديثة ، بيروت ، لبنان.

⁹ Jekeli, C., 2006, Geodetic reference systems in geodesy, Lecture notes, Division of geodesy and geospatial science, School of Earth sciences, Ohio State University, Columbus, Ohio, USA.

تمكن هذا العالم من حساب محيط الأرض (٥٠ ضعف المسافة المقاسة بين أسوان والإسكندرية) ليكون في تقديره حوالي ٢٥٠٠٠ ميلاً. ومن المذهل أن نعرف أن هذه التجربة الجيوديسية في ذلك الزمن البعيد وباستخدام آلات بدائية لم تكن بعيدة إلا قليلاً عن طول محيط الأرض الذي نعرفه اليوم وهو ٤٩٠١ ميلاً^١.



شكل ٢-١
تجربة العالم أرatosتين لتقدير محيط الأرض

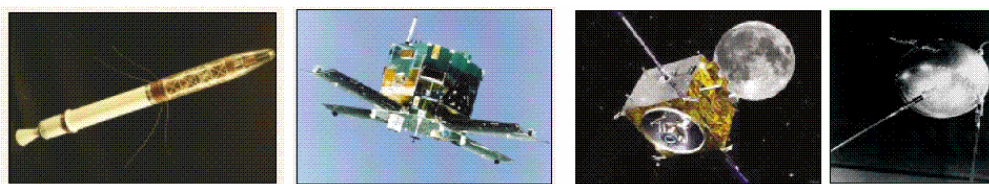
١-٣ الأقمار الصناعية:

مع بداية النصف الثاني من القرن العشرين الميلادي دخلت المعرفة البشرية منعطفاً تقنياً جديداً حيث أستطاع الإنسان أن يرسل أجساماً معدنية إلى خارج نطاق الغلاف الجوي للكوكب الأرض، وهي الأجسام التي أصطلح على تسميتها بالأقمار الصناعية Satellites (شكل ٣-١). يعد إطلاق القمر الصناعي الروسي الأول "سبوتنيك-١" Sputnik-1 في ٤ أكتوبر ١٩٥٧ هو إعلان دخول الإنسان لعصر الأقمار الصناعية^{١١}. هذا وقد بدأ إطلاق الأقمار الصناعية وغزو الفضاء - بصفة عامة - بعد أن تطورت عدة تقنيات و خاصة الصواريخ والرادار ، فالصاروخ هو الوسيلة لإيصال القمر الصناعي إلى الفضاء (كان أول صاروخ يطلق للفضاء بواسطة فريق علماء ألمان بقيادة براون في عام ١٩٣٤) و الرادار مهم لتعقب القمر و معرفة موقعه ، كما ساهم التطور في الحاسوبات الآلية و أنظمة الاتصالات في الإسراع بالدخول إلى عصر الفضاء^{١٢}.

¹⁰ US Defense Mapping Agency: DMA, 1959, Geodesy for the layman, First edition, Available at: <http://164.214.2.259/GandG/geolay/toc.htm>

¹¹ Seeber, G., 2003, Satellite Geodesy, Second Edition, Walter de Gruyter Co., Berlin, Germany

¹² الصقير ، عبد العزيز ، ١٤٢٧ هـ ، الأقمار الصناعية ، مجلة العلوم والتكنولوجيا ، العدد ٨٠ ، ص ٩٥-٩٦



شكل ٣-١
بعض الأقمار الصناعية

يمكن تقسيم الأقمار الصناعية - بصفة عامة - إلى ثلاثة مجموعات أو أنواع:

أ- أقمار صناعية ملاحية Navigation Satellites يكون هدفها الأساسي تقديم تقنيات ووسائل دقة لعمليات الملاحة بين موقعين (سواء الملاحة الأرضية أو البحرية أو الجوية أو حتى الملاحة الفضائية) ، وتأتي في هذه المجموعة من الأقمار الصناعية نظم أو تقنيات مثل نظام الجي بي إس GPS و نظام غاليليو Galileo و نظام دوبлер GLONASS و نظام جلوناس Doppler.

ب- أقمار صناعية للاتصالات Communication Satellites وهي أقمار تساعد في نقل البيانات (مثل البث الإذاعي والتلفزيوني) وتوزيعها على أجزاء كبيرة من سطح الأرض لتتغلب على مشكلة كروية الأرض التي تعيق النقل المباشر الأرضي لهذه البيانات. ومن أمثلة هذه النوعية من الأقمار الصناعية: النيل سات و العرب سات المستخدمين في البث التلفزيوني.

ت- أقمار صناعية لدراسة موارد الأرض Earth Resources Satellites ومنها أقمار صناعية خاصة بدراسة البحار وأخرى خاصة بدراسة الطقس و ثلاثة مخصصة للتصوير الفضائي أو ما يعرف الآن بأقمار الاستشعار عن بعد Remote Sensing Satellites.

٤-٤ تحديد الموضع بالاعتماد على الأقمار الصناعية:

قبل بدء عصر الأقمار الصناعية توصل العلماء إلى طريقة جديدة لتحديد الموضع بالاعتماد على الموجات الراديوية أو الكهرومغناطيسية ، وكان المبدأ الأساسي في هذه الطريقة هو قياس الزمن الذي تستغرقه الموجة الراديوية في الرحلة ذهاباً و عودة بين محطة البث أو الإرسال Receiver و جهاز الاستقبال Transmitting Station فإذا استخدمنا القاعدة العلمية المعروفة:

$$\text{المسافة} = \text{السرعة} \times \text{الזמן}$$

وباعتبار أن سرعة الموجة تعادل سرعة الضوء (حوالي ٣٠٠ ألف كيلومتر في الثانية) فيمكننا حساب المسافة بين محطة الإرسال و جهاز المستقبل. لكن يتadar إلى الأذهان السؤال التالي: كيف يمكن لهذه الفكرة - أو هذه المسافة التي يمكن حسابها - أن تستخدم في تحديد موقع شخص معين؟ الإجابة سهلة و تتكون من ^{١٣}(٤-١):

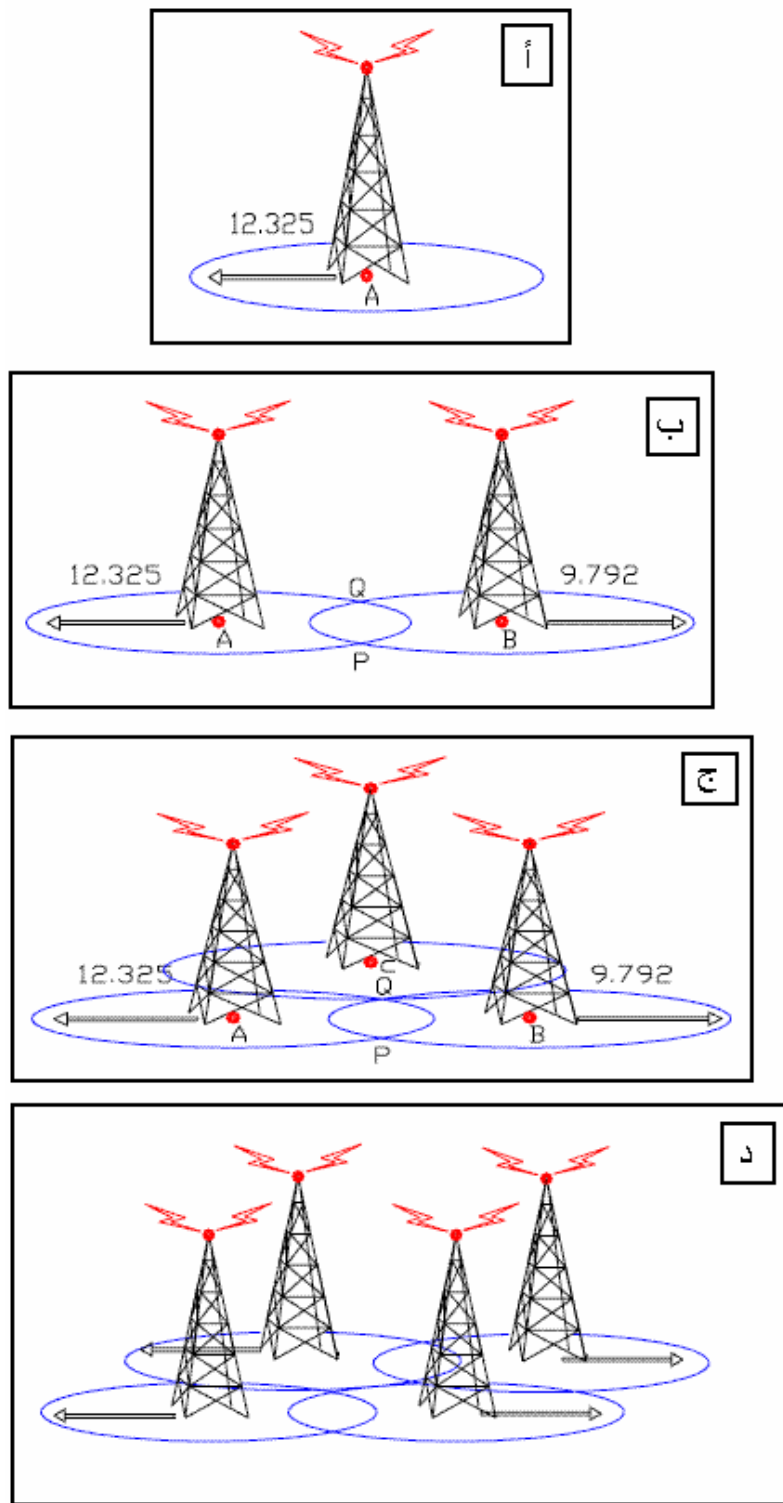
^{١٣} الريبيش ، محمد بن حجيلان ، ١٤٢٠ هـ ، النظام الكوني لتحديد الموضع ، الرياض ، المملكة العربية السعودية.

نفترض أن برج إرسال قد تم وضعه فوق نقطة معلومة الموقع ولتكن نقطة A على سطح الأرض ، ونحن لدينا وحدة أو جهاز استقبال لهذه الموجات الراديوية في موقع ما غير معلوم. عند فتح جهاز الاستقبال وقياس (أو حساب) المسافة بين هذا الموقع المجهول والمحلطة أو البرج عند A وجدنا أنها تساوي ١٢.٣٢٥ متر مثلا. إن هذه المعلومة (شكل ٣-١ أ) لا تخبرنا أين موقعنا بالضبط ولكنها تقرب موقعنا إلى أي نقطة على محيط الدائرة التي نصف قطرها يساوي ١٢.٣٢٥ متر حول برج الإرسال A (وهو البرج المعلوم موقعه مسبقا).

الآن نفترض أننا قمنا بتثبيت برج إرسال ثانٍ فوق نقطة معلومة أيضاً ولتكن B على سطح الأرض ، ونفس الطريقة قمنا بحساب (أو قياس) المسافة بواسطة جهاز استقبال الموجات الراديوية فكانت تساوي ٩.٧٩٢ متر. هذه المعلومة الجديدة تخبرنا أيضاً أننا نقع على محيط دائرة مركزها نقطة B ونصف قطرها يساوي ٧.٧٩٢ متر. أي أننا موجودين على بعد ١٢.٣٢٥ متر من نقطة A وأيضاً على بعد ٩.٧٩٢ متر من نقطة B. وهذا يؤدي بنا أننا نقع عند تقاطع هاتين الدائرتين ، أما عند نقطة P أو عند نقطة Q (شكل ٣-١ ب). أي أننا نستخلص أن وجود برجين إرسال يمكننا من تحديد احتمال موقع من موقعين ، ولا يخبرنا بالضبط أين نحن.

نحتاج الآن لبرج إرسال ثالث يتم وضعه عند نقطة معلومة و لتكن C على سطح الأرض ، و بنفس الطريقة نقوم بحساب (أو قياس) المسافة بواسطة جهاز استقبال الموجات الراديوية. هذه المسافة الثالثة ستخبرنا بكل تأكيد هل نحن عند النقطة P أو عند النقطة Q (شكل ٣-١ ج).

إذا كانت الأبراج أو محطات الإرسال الثلاثة تعمل باستمرار وفي نفس الوقت ، فإن أي جهاز استقبال لهذه الموجات الراديوية سيستقبل الإشارات المرسلة من المحطات الثلاثة و يمكنه بسرعة تحديد موقعه في هذه اللحظة. فإذا كان جهاز الاستقبال هذا متحركاً (أي موجود على سفينة مثلا) فإنه باستطاعته تحديد موقعه باستمرار عند كل لحظة في مسيرته. فإذا أضفنا برج إرسال رابع فإن هذه المنظومة ستكون ذات كفاءة عالية لأن البرج الرابع سيكون حكماً للوثوق في إشارات الأبراج الثلاثة الأساسية كما أنه سيكون احتياطياً في حالة عدم استقبال الإشارات من أي من الأبراج الثلاثة (شكل ٣-١ د). وتسمى هذه الطريقة لتحديد الموضع بنظم الملاحة الراديوية **Radio Navigation Systems**.

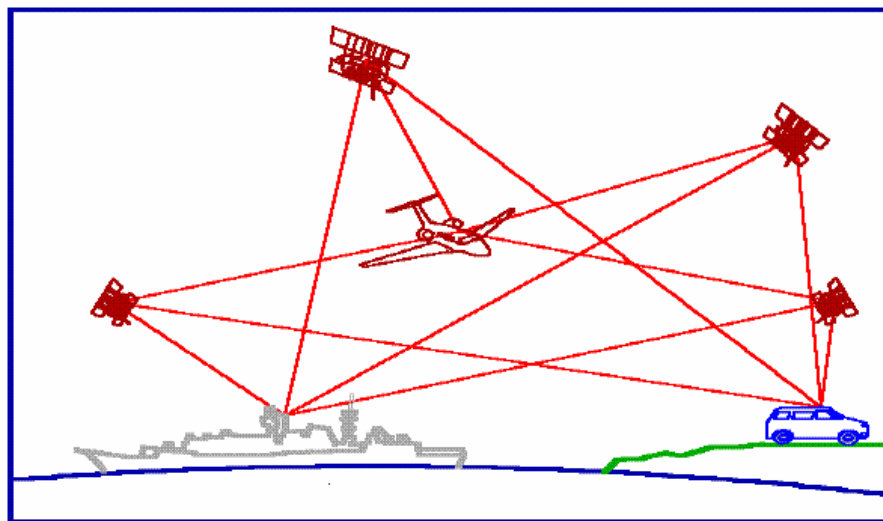


شكل ٤-١
الملاحة الرادوية و تحديد الموضع

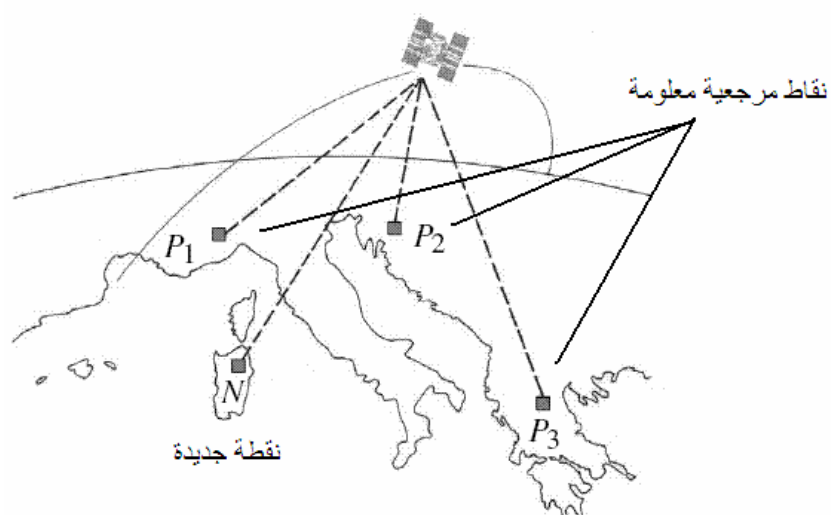
ومن أمثلة هذه النظم الرادوية لتحديد الموضع نظام لوران LORAN وهو اختصارا لاسم "الملاحة للمساحات الشاسعة LOng RAnge Navigation" والذي بدأ في الولايات المتحدة الأمريكية تقربيا في عام ١٩٥٠ ويهدف أساسا لمساعدة السفن في إبحارها. تكون نظام لوران من عدد من السلاسل (السلسلة مكونة من ٤ أبراج إرسال تغطي كل محطة أو برج حوالي ٥٠٠ ميل) ليتمكن تغطية الساحل الغربي الأمريكي كله. لكن هذه النظم الملاحية كان لها بعض العيوب أو المعوقات مثل: (١) أي نظام سيكون ذو تغطية محدودة تبلغ حوالي ٥% من سطح الأرض وبالتالي فلن يصلح ليكون نظام ملاحة عالمي ، (٢) يستطيع هذا النظام تحديد الموضع في اتجاهين فقط - أي الموقع الأفقي - لكنه لا يمكنه تحديد الارتفاع في الاتجاه الرأسى ، (٣) دقة النظام كانت في حدود ٢٥٠ متر والتي قد يمكن اعتبارها مناسبة للملاحة البحرية لكنها غير مناسبة للملاحة الجوية - للطائرات - أو لطرق المساحة الأرضية التي تتطلب دقة أعلى في تحديد الموضع.

مع ظهور الأقمار الصناعية طبق العلماء نفس مبدأ الملاحة الرادوية في تطوير ما عرف باسم الملاحة بالأقمار الصناعية Satellite Navigation. فإذا استبدلنا محطات الإرسال الأرضية بأقمار صناعية ترسل موجات رادوية يستطيع جهاز الاستقبال أن يتعامل معها ويحسب المسافة من موقعه إلى موقع كل قمر صناعي فيمكن تحديد الموقع الذي به هذا المستقبل. ربما يتadar إلى الأذهان الآن سؤال: أبراج الإرسال كانت ثابتة و معلومة الموقع وكنا نستخدمها كعلامات مرجعية Reference Points تمكنا من حساب موقع جهاز الاستقبال ، لكن الأقمار الصناعية غير ثابتة فكيف يمكن التعامل معها؟ الإجابة هي أن كل قمر صناعي يكون معلوم المدار الذي يدور عليه في الفضاء وتكون من أهم مهام الجهة المسئولة عن نظام الأقمار الصناعية أن تراقب كل قمر و تحدد موقعه بكل دقة في كل لحظة ، وبالتالي فيمكننا القول أن موقع كل قمر صناعي يكون معلوما في أي لحظة طوال ٢٤ ساعة يوميا ، أي أن كل قمر صناعي سيكون بمثابة نقطة مرجعية (شكل ٥-١). وطبقا لهذا المبدأ الأساسي فيمكن اعتبار القمر الصناعي - من وجهة النظر المساحية - على أنه هدف Target عالي الارتفاع ، بحيث إذا أمكن رصده من ثلاثة نقاط أرضية معلومة الإحداثيات فيمكن تحديد موقع نقطة مجهرولة ترصد هذا القمر الصناعي في نفس اللحظة ^{١٤} (شكل ٦-١).

^{١٤} Seeber, G., 2003, Satellite Geodesy, Second Edition, Walter de Gruyter Co., Berlin, Germany



شكل ٥-١
الملاحة بالأقمار الصناعية



شكل ٦-١
المبدأ المساحي للملاحة بالأقمار الصناعية

تطورت نظم الملاحة بالأقمار الصناعية مع إطلاق نظام الملاحة الأمريكي Navy Navigation Satellite System الذي عرف باسم Transit و أيضاً باسم نظام دوبлер Doppler - في الستينات من القرن العشرين الميلادي، وكان الهدف الرئيسي منه تحديد موقع القطع البحرية في البحار والمحيطات والمعرفة الدقيقة لإحداثيات المواقع الإستراتيجية. وبالرغم من هذه الأهداف العسكرية إلا أن المهندسين المدنيين قد استخدموه هذا النظام في العديد من التطبيقات المساحية وخاصة إنشاء شبكات الثوابت الأرضية الدقيقة. أعتمد نظام الدوبлер على عدد من الأقمار الصناعية التي تدور على ارتفاع حوالي 1000 كيلومتر من سطح الأرض حيث يكمل كل قمر دورة كاملة حول الأرض في مدة تبلغ 107 دقيقة وكانت دقة تحديد الموقع الأرضية اعتماداً على هذا النظام في حدود 40-30 متراً . ومع أن أقمار الدوبлер تغطي معظم أنحاء الأرض إلا أن عددها (٦) أقمار صناعية فقط لم يكن يسمح بتوسيع الإشارات طوال ٢٤ ساعة يومياً - بل لعدة ساعات طبقاً للموقع المطلوب على الأرض - مما لم يلبِ حاجة مستخدمي النظام سواء العسكريين أو المدنيين وأدى ذلك إلى بدء وزارة الدفاع الأمريكية - مع بداية السبعينات - في تطوير نظام ملاحي آخر.

١-٥ جيوديسيا الأقمار الصناعية:

مع إطلاق أول قمر صناعي في عام ١٩٥٧ بدأ ظهور مصطلح لفرع جديد من علم الجيوديسيا (علم القياس على سطح الأرض لتحديد شكلها و حجمها ومجال جاذبيتها) وهو جيوديسيا الأقمار الصناعية Satellite Geodesy. إلا أن أساسيات هذا التخصص الهندسي الجديد ترجع جذورها إلى ما هو أبعد من هذا التاريخ ، فمنذ بداية القرن التاسع عشر الميلادي كانت هناك دراسات عديدة لاستخدام القمر - الطبيعي وليس الصناعي - في حساب بعض القيم الهندسية التي تصف شكل الأرض. فعلى سبيل المثال قام العالم الفرنسي لابلاس Laplace في عام ١٨٠٢ بحساب قيمة تفلطح سطح الأرض Earth Flattening اعتماداً على دراسة حركة القمر. وطوال قرن و نصف توالت الدراسات الجيوديسية لتقيم أساساً علمية جيوديسية انطلقت تطبيقاتها سريعاً بمجرد إطلاق أول قمر صناعي ، ويكتفي أن نشير إلى أن بعد مرور عام واحد فقط من إطلاق أول قمر صناعي تمكّن الجيوديسين في عام ١٩٥٨ من حساب قيمة أكثر دقة لنفلطح الأرض اعتماداً على قياسات هذا القمر الصناعي. وتتنوع تطبيقات تخصص جيوديسيا للأقمار الصناعية لتشمل العديد من المجالات العلمية المدنية منها^{١٦} :

الجيوديسيا العالمية:

- تحديد شكل و مجال جاذبية الأرض.
- تحديد أقرب النماذج الرياضية لشكل الأرض الحقيقي.
- إنشاء نظام جيوديسي أرضي مرجعي Global terrestrial reference frame.
- تطوير نماذج الجيودي الدقيقة (أنظر تعريف الجيودي في الفصل القادم).
- الربط بين العديد من المراجع الجيوديسية المستخدمة حول العالم.

الثوابت الجيوديسية:

¹⁵ المؤسسة العامة للتعليم الفني والتدريب المهني ، ١٤٢٦ هـ ، النظام الكوني لتحديد المواقع ، مقرر دراسي لطلاب المعاهد الثانوية الفنية ، الرياض ، المملكة العربية السعودية.

¹⁶ Seeber, G., 2003, Satellite Geodesy, Second Edition, Walter de Gruyter Co., Berlin, Germany

- إنشاء نقاط شبكات جيوديسية مرجعية.
- إنشاء شبكات جيوديسية ثلاثية الأبعاد.
- الربط بين العديد من الشبكات الجيوديسية المتبااعدة.
- دراسة حركة القشرة الأرضية.

المساحة المستوية و التطبيقات:

- إجراء المسح التفصيلي للظواهر الطبيعية و البشرية لتطبيقات حصر الملكيات و تخطيط المدن و إقامة المشروعات المدنية وتطبيقات نظم المعلومات الجغرافية **Geographic Information Systems (GIS)**.
- إقامة ثوابت أرضية لعمليات التصوير الجوي وضبط مرئيات الاستشعار عن بعد.
- إدارة الموارد الطبيعية بصفة عامة و الموارد المائية بصفة خاصة^{١٧}.
- الرفع الطبوغرافي و إنشاء الخرائط الكنتورية لمشروعات التنمية الوطنية^{١٨}.
- تحديد إحداثيات أجهزة التصوير داخل الطائرات.

الملاحة الجيوديسية:

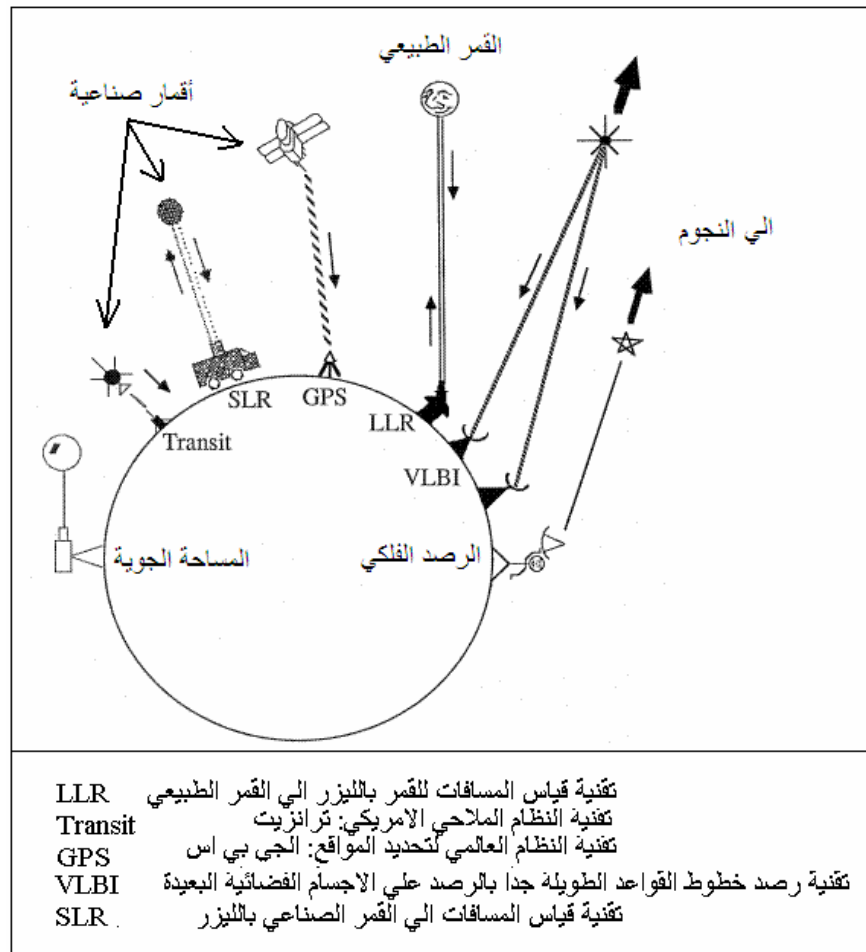
- زيادة دقة الملاحة سواء البرية أو البحرية أو الجوية.
- تحديد الموضع بدقة لتطبيقات الخرائط البحرية و استكشاف الموارد الطبيعية والمساحة البحرية والجيولوجيا.
- ضبط العلاقات بين محطات قياس المد و الجزر **Tide gauges** (توحيد نظم قياس الارتفاعات).
- تحديد موقع القياسات الجيوفيزيكية (مثل موقع قياس الجاذبية الأرضية والمسح المغناطيسي) سواء على البر أو في البحر.
- تحديد اتجاه و معدل حركة الكتل الجليدية عند كلا القطبين.
- تحديد مدارات الأقمار الصناعية ذاتها بمختلف أنواعها.

كما تجب الإشارة لوجود عدد كبير من تقنيات تحديد الموضع الحديثة سواء تلك التي تعتمد على رصد القمر الطبيعي أو الأقمار الصناعية أو رصد النجوم^{١٩} (شكل ٧-١).

¹⁷ داود ، جمعة محمد ، ٢٠٠٢ ، استخدام أحدث تقنيات الرصد على الأقمار الصناعية في تحديد حجم المنخفضات لمشروعات الإداره المتكاملة للموارد المائية ، مجلة علوم المياه ، العدد ٣١ ، ص ٢٣-٣١.

¹⁸ Dawod, G., 2003c, Productive GPS topographic mapping for national development projects in Egypt, Proceedings of the First International Conference on Civil Engineering, Assiut University, Volume 2, pp. 246-253, October 7-8.

¹⁹ Wells, D., Beck, N., Delikaraoglou, D., Kleusberg, A., Krakiwsky, E., Lacgapelle, G., Langley, R., Nakiboglu, M., Schwarz, K., Tranquilla, J., and Vanicek, P., 1986, Guide to GPS positioning, Department of geodesy and geomatics engineering lecture note 58, University of New Brunswick, Canada, 291 pp.



شكل ٧-١
تقنيات تحديد الموضع

الفصل الثاني

شكل الأرض و المراجع و نظم الإحداثيات

١-٢ مقدمة:

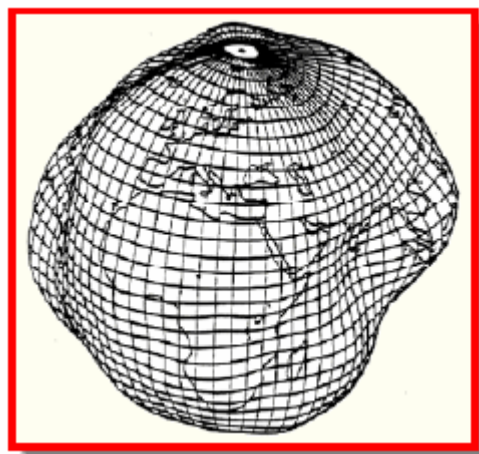
إن تحديد الموضع على سطح الأرض يعني بدايةً أن نعرف ما هو الشكل الدقيق لهذا الكوكب الذي نعيش فوقه ، و ما هو المرجع الذي يمكننا أن نفترض أنه الأنسب لتمثيل الأرض رياضياً و خرائطياً. كما أن تحديد الموضع يكون من خلال قيم رياضية تعبر عنه وهي القيم التي نطلق عليها مصطلح "الإحداثيات Coordinates" على اختلاف أنواعها و نظمها. لذلك يجب على الدارس أو المهتم بعملية تحديد الموضع أن يلم بأساسيات هذه الموضوعات الثلاثة ، وهو ما سنقوم بعرضه في هذا الفصل .

٢-١ شكل الأرض:

في بدايات المعرفة البشرية ظن الإنسان أن الأرض هي قرص صلب يطفو فوق سطح الماء ، إلى أن تطور التفكير العلمي للبشر قليلاً وجاء العالم اليوناني فيثاغورث Pythagoras في القرن السادس قبل الميلاد وافتراض أن الأرض كروية الشكل. وكانت أولى محاولات العلماء لتقدير حجم أو محيط هذه الكرة هي تجربة العالم الإغريقي أراتوستين التي سبق الإشارة إليها في الفصل الأول. وفي القرنين الخامس عشر و السادس عشر أيد كلاً من الرحالة كولومبوس Magellan و ماجلان Columbus فكرة كروية الأرض من خلال رحلاتهما الشهيرة بالدوران حول الأرض. في عام ١٦٨٧ طور العالم الشهير نيوتن Newtown عدة مبادئ نظرية علمية وكان أهمها: أن الشكل المتوازن لكتلة مائعة متGANSAة خاصة لقوافين الجذب و تدور حول محورها ليس هو شكل الكرة كاملة الاستدارة لكنه شكل مفلطح قليلاً باتجاه القطبين. وفي عام ١٧٣٥ قامت أكاديمية العلوم الفرنسية بتنظيم بعثتين لإجراء القياسات اللازمة للتتأكد من هذه الفرضية وأنثبتت النتائج فعلاً أن الأرض مفلطحة وليس كروية الشكل تماماً^١.

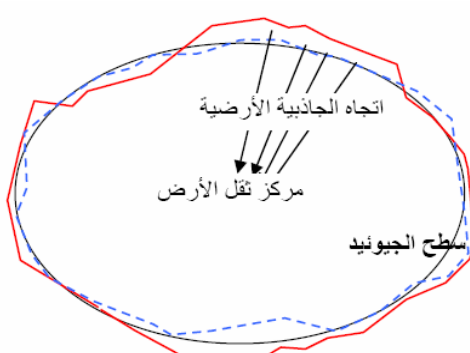
إننا نعيش على سطح كوكب الأرض وعندما نريد أن نحدد أي موقع على الأرض فنحن بحاجة إلى أن نقوم بتعريف هذا السطح - شكله و حجمه - لكي يمكننا من معرفة في أي مكان نحن نقع بالضبط. إن شكل السطح الطبيعي للأرض كما خلقه الله تعالى بما يضممه من قارات و محيطات و جبال و أودية و بحار ليس شكلاً سهلاً وليس منتظمًا لكي يمكن التعبير عنه بسهولة (شكل ١-٢).

^١ صيام ، يوسف ، ٢٠٠٢ ، المساحة: أنظمة الإحداثيات و قراءة الخرائط ، عمان ، الأردن.



شكل ١-٢
الأرض غير منتظمة الشكل

بحث العلماء عن شكل افتراضي آخر للأرض يكون أقل تعقيداً واهتدوا إلى فكرة أنه طالما أن مساحة الماء في المحيطات والبحار تتشكل حوالي ٧٠٪ من مساحة الأرض فأن شكل الأرض يكاد يكون هو الشكل المتوسط لسطح الماء (إذا أهملنا حركة سطح الماء بسبب التيارات البحرية والمد والجزر) والمعروف اختصاراً بأحرف MSL، وإذا قمنا بمد هذا السطح تحت اليابسة لنجعل على شكل متكامل فأن هذا الشكل سيكون أقرب ما يكون للشكل الحقيقي للأرض. وتم إطلاق اسم الجيويد أو الجيونيد Geoid على هذا الشكل الافتراضي [يجب ملاحظة أن هناك فرق في حدود متر واحد فقط بين كلا من MSL والجيويد إلا أنه في معظم التطبيقات الهندسية تتغاضى عن هذا الفرق ونعتبر أن كلا الشكلين أو المصطلحين يشيران نفس الجسم^٢]. ولكن طبقاً لمبدأ نيوتن السابق فأن شكل هذا الجيويد لن يكون منتظماً لأن سطح الجيويد يعتمد مع اتجاه قوة الجاذبية الأرضية وأيضاً يخضع لقوى الطرد المركزية الناتجة عن دوران الأرض حول محورها ، وكلا القوتين تختلفان من مكان لآخر على سطح الأرض بسبب عدم توزيع الكثافة بشكل منتظم (يختلف سمك القشرة الأرضية من ٦ إلى ٦٠ كيلومتر) . وبذلك نخلص إلى أن الجيويد (شكل ٢-٢) هو الشكل الحقيقي للأرض إلا أنه شكل معقد أيضاً وصعب تمثيله بمعادلات رياضية تمكناً من رسم الخرائط وتحديد المواقع عليه.



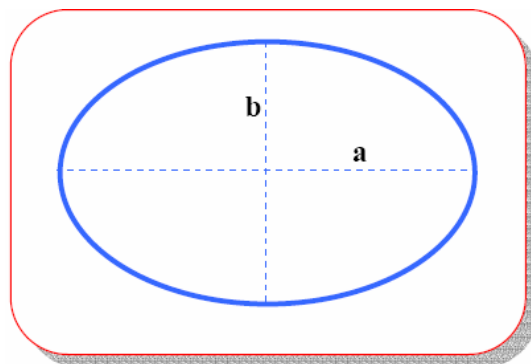
شكل ٢-٢
الجيويدي: الشكل الحقيقي للأرض

^٢ Iliffe, J., 2005, Datums and map projection: For remote sensing, GIS, and surveying, CRC Press, Washington, DC, USA.

لعقد الجيoid وصعوبة تمثيله بمعادلات رياضية أتجه العلماء إلى البحث عن أقرب الأشكال الهندسية المعروفة وجدوا أن القطع الناقص أو الالبس **Ellipse** هو الأقرب ، فإذا دار هذا الالبس حول محوره فسيتخرج لنا مجسم القطع الناقص أو الالبيسويد أو الشكل البيضاوي **Spheroid or Ellipsoid of Revolution** (لكن اسم الالبيسويد هو الأكثر انتشاراً وهو الذي سنتستخدمه في هذا الكتاب). ربما يتبرد إلى الأذهان الآن سؤال: ما هو الفرق بين الالبس و الدائرة أو بمعنى آخر ما هو الفرق بين الالبيسويد و الكرة؟ بالنظر لشكل ٣-٢ نجد أن الالبيسويد مفلطح قليلاً عند كلا القطبين بعكس الكرة التي تكون كاملة الاستدارة تماماً ، أيضاً الكرة لها قطر واحد له نفس القيمة في جميع الاتجاهات بينما نجد الالبيسويد له محورين مختلفين. التعبير عن الالبيسويد يلزمنا معرفة عنصرين (لاحظ أن الكرة يعبر عنها بعنصر واحد فقط هو نصف قطرها):

- نصف المحور الأكبر (المحور في مستوى خط الاستواء) ويرمز له بالرمز **a**
- نصف المحور الأصغر (المحور بين كلا القطبين) ويرمز له بالرمز **b**
ويقوم البعض بالتعبير عن الالبيسويد بطريقة أخرى من خلال العنصرين:
- نصف المحور الأكبر (المحور في مستوى خط الاستواء) ويرمز له بالرمز **a**
- معامل التقطح **flattening** ويرمز له بالرمز **f** ويتم حسابه من المعادلة:

$$f = (a - b) / a \quad \text{or} \quad f = 1 - (b / a) \quad (2-1)$$

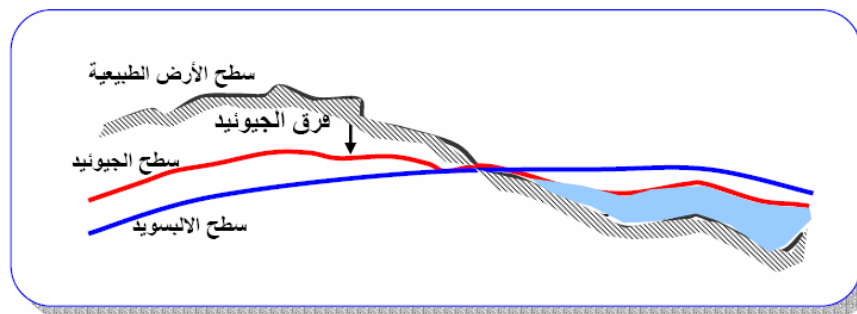


شكل ٣-٢
الالبيسويد

ويتميز شكل الالبيسويد بعدة خصائص مثل^٣ (شكل ٤-٢):

- أ- سهولة إجراء الحسابات على سطحه (حيث أنه شكل هندسي معروف).
- ب- لا يختلف سطح الالبيسويد الرياضي عن سطح الجيoid الفيزيقي كثيراً (أكبر فرق بين كلاهما لا يتعدي ١٠٠ متر فقط. لاحظ أن الفرق بين الجيoid والكرة يصل إلى ٢١ كيلومتر تقريباً).

^٣ المؤسسة العامة للتعليم الفني والتدريب المهني ، ١٤٢٦ هـ ، النظام الكوني لتحديد الموقع ، مقرر دراسي لطلاب المعاهد الثانوية الفنية ، الرياض ، المملكة العربية السعودية.



شكل ٤-٢
العلاقة بين الجيoid و الالبيسويـد

٣-٢ المراجع:

لكي يمكن تحديد الموضع على سطح الأرض يلزمـنا اختيار شكل رياضي يعبر عن شكل و حجم الأرض ذاتها وهو ما نطلق عليه اسم **الشكل المرجعي Reference Surface**^٤. أحد هذه الأشكال المرجعية من الممكن أن يكون الكرة والتي كانت مستخدمة لفترة طويلة لتحديد الموضع التي لا تتطلب دقة كبيرة ولرسم الخرائط التي لا يزيد مقياسها عن ١ : مليون^٥. أيضاً للمساحات الصغيرة جداً (أقل من ٥٠ كيلومتر مربع) من الممكن اعتبار المستوى **Plane** شـكلاً مرجعياً وخاصة في تطبيقات المساحة المستوية **Plane Surveying**^٦. أما لتحديد الموضع بدقة عالية أو لرسم الخرائط الدقيقة فـأن الـالبيسويـد هو الشـكل المرجـعي المستـخدم.

طوال القرنين الأخيرين تعددت محاولات علماء الجيوديسيا لتحديد أنسـب الـالبيسـويـد يـعبر عن شـكل الأرض بأقرب صـورة مـمـكـنة. وكلـما تـجمـعت قـيـاسـات جـيـوـدـيـسـيـة جـديـدة لـدى أحد العـلـمـاء أو الـجهـات الـدولـيـة تم حـاسـب قـيم جـديـدة لـعـنـاصـر تـعرـيف الـالـبيـسـويـد (سواء a ، b أو f) مما أدى لـوجـود العـدـيد من نـماـذـج الـالـبيـسـويـد ، ويـعرض الجـدول ١-٢ بـعـضاً من هـذـه النـماـذـج.

كـانـت كل دـولـة عـند بدـء إقـامـة الهـيـكل الجـيـوـدـيـسي أو المـسـاحـي لـهـا بـغـرض الـبدـء في إـنـتـاج الـخـرـائـط غالـباً ما تـخـتـار أحـد الـبـسـويـد – في ذـلـك الـوقـت – لـتـتـخـذـه السـطـح المـرـجـعـي لـنـظـام خـرـائـطـها. فإذا ظـهـرـ بعد عـدـة سنـوـات الـبـسـويـد آخـر لمـيـكنـ مـمـكـناً – لأـسـباب تقـنيـة و مـادـيـة – أنـتـقـومـ هـذـه الدـولـة بـتـغـيـير السـطـح المـرـجـعـي لـهـا و إـعادـة إـنـتـاج و طـبـاعـة كـل خـرـائـطـها من جـديـد. لـكـنـ ماـهـو المـرـجـع؟ منـالمـعـرـوفـ أنـأـيـ الـبـسـويـدـ يـكونـ أـقـرـبـ ماـيـمـكـنـ لـتـمـثـيلـ سـطـحـ الـأـرـضـ عـلـىـ المـسـتوـيـ العـالـمـيـ، أـيـ أـنـ الفـروـقـ بـيـنـهـ وـبـيـنـ الـجـيـوـيـدـ تـخـتـلـفـ مـنـمـكـانـ لـمـكـانـ عـلـىـ سـطـحـ الـأـرـضـ لـكـنـهاـ أـقـلـ ماـيـمـكـنـ عـلـىـ المـسـتوـيـ العـالـمـيـ. لـكـنـ كـلـ دـولـةـ عـنـدـمـاـ تـعـتـمـدـ الـبـسـويـدـ معـيـنـ تـرـيدـ أنـيـكـونـ الفـرـقـ بـيـنـهـ وـبـيـنـ الـجـيـوـيـدـ أـقـلـ ماـيـمـكـنـ فـيـ حدـودـهـ وـلـاـ تـهـمـ إنـكـانتـ هـذـهـ الفـرـقـ كـبـيرـةـ فـيـ منـاطـقـ أـخـرـيـ مـنـ الـعـالـمـ. لـذـلـكـ كـانـتـ كـلـ دـولـةـ تـلـجـأـ لـتـعـدـيلـ وـضـعـ الـالـبيـسـويـدـ المـرـجـعـيـ قـليـلاـ Re-Positionـ لـكـيـ يـحـقـقـ هـذـهـ الـهـدـفـ. وـفـيـ هـذـهـ الـحـالـةـ – أـيـ بـعـدـ إـجـرـاءـ هـذـهـ التـعـدـيلـ الـبـسيـطـ – فـلـمـ يـعـدـ هـذـهـ الـالـبيـسـويـدـ كـمـاـكـانـ فـيـ الـأـصـلـ لـكـنـهـ صـارـ فـيـ وـضـعـ مـخـلـفـ ، وـهـنـاـ نـطـلـقـ عـلـيـهـ اـسـمـ مـرـجـعـ أوـ مـرـجـعـ جـيـوـدـيـسـيـ أوـ مـرـجـعـ وـطـنـيـ أوـ بـيـانـ A geodetic Datum, a local datum, or

⁴ Al-Rabbany, A., 2002, Introduction to GPS: The Global Positioning System, Artech House, Inc., Boston, USA.

⁵ إبراهيم ، نقولا ، ١٩٨٢ ، مساقـط الـخـرـائـطـ ، منـشـأـةـ الـمـعـارـفـ ، الإـسـكـنـدـرـيـةـ ، مصرـ .
⁶ صـيـامـ ، يـوسـفـ ، ٢٠٠٢ ، الـمـسـاحـةـ: نـظـمـةـ الـإـهـدـاثـيـاتـ وـقـرـاءـةـ الـخـرـائـطـ ، عـمـانـ ، الـأـرـدنـ.

أي أن المرجع الوطني لأي دولة ما هو إلا البيسويド عالمي قد تم تعديل وضعه بصورة أو بأخرى ليناسب هذه الدولة ويكون أقرب تمثيلاً لشكل الجيويد (الشكل الحقيقي للأرض) عند هذه الدولة^٧. كما يجب الإشارة إلى أنه كلما قلت الفروق بين المرجع الوطني لدولة ما و الجيويد كلما زادت دقة الخرائط المرسمة اعتماداً على هذا المرجع^٨.

جدول ١-٢ بعض نماذج الاليبيسويد المستخدمة عالمياً

الدولة التي تستخدمه	نصف المحور الأصغر b بالمتر	نصف المحور الأكبر a بالметр	اسم الاليبيسويد
مصر	٦٢٥٦٨١٨	٦٣٧٨٢٠٠	Helmert 1906
أمريكا الشمالية	٦٣٥٦٦٥١	٦٣٧٨٢٧٤	Clarcke 1866
وسط أوروبا	٦٣٥٦٠٧٩	٦٣٧٧٣٩٧	Bassel 1841
بريطانيا	٦٣٥٦٢٥٧	٦٣٧٧٥٦٣	Airy 1830
عالمي	٦٣٥٦٧٥٠	٦٣٧٨١٣٥	WGS72
عالمي	٦٣٥٦٧٥٢	٦٣٧٨١٣٧	WGS84

وللوضيح هذه النقطة الهامة أكثر سنأخذ مثال لجمهورية مصر العربية. عند بدء أعمال الجيوديسيا و إنشاء الخرائط في مصر في بداية القرن العشرين كان أحدث البيسويد متاح في ذلك الوقت هو البيسويد هلمرت ١٩٠٦. تم اتخاذ القرار باختيار هذا الاليبيسويد ليكون سطحاً مرجعياً لمصر. وبعد ذلك تم إجراء عدد من التعديلات على وضع هذا الاليبيسويد ليكون ما يُعرف باسم المرجع الوطني المصري Old Egyptian Datum ١٩٠٧ OED1970. أحد هذه التعديلات كان الفرض بأن الارتفاع عن سطح الاليبيسويد = الارتفاع عن متوسط سطح البحر عند النقطة الأساسية المسماه F1 أو نقطة الزهراء بجبل المقطم^٩. هذا الفرض يعني أننا افترضنا أن سطح البيسويد هلمرت ١٩٠٦ ينطبق مع سطح الجيويد عند هذه النقطة (هذا غير حقيقي لكنه فرض أساسى لتسهيل بدء الحسابات الجيوديسية لشبكات الثوابت الأرضية المساحية). وبمعنى آخر أننا قمنا برفع سطح البيسويد هلمرت ١٩٠٦ عدة أمتار لينطبق مع سطح الجيويد عند هذه النقطة المحددة ، وبالتالي لم يعد هلمرت ١٩٠٦ هو ذلك الاليبيسويد العالمي الذي تم تحديد شكله و حجمه ووضعه ليكون أقرب ما يمكن لتمثيل شكل الأرض على المستوى العالمي ، إنما صار له وضع جديد يناسب المنطقة الجغرافية لجمهورية مصر العربية فقط. هنا لا نقول أنه البيسويد إنما نطلق عليه اسم المرجع المصري.

٧ الغزالى ، محمد شوقي ، ١٩٩٧ ، الجيوديسيا الهندسية و نظام تحديد المواقع العالمي ، القاهرة ، مصر.

٨ صيام ، يوسف ، ٢٠٠٢ ، المساحة: أنظمة الإحداثيات و قراءة الخرائط ، عمان ،الأردن.

^٩ Mugnier, C., 2008a, Grids and Datums: Arab Republic of Egypt, ASPRS Newsletter, November, pp. 1307-1309.

كما يجب الإشارة في هذا السياق إلى وجود مراجع وطنية عديدة لدول مختلفة كلها تعتمد على نفس الاليسيود العالمي ، لكن كل مرجع منهم يعدل وضع هذا الاليسيود بصورة مختلفة. كمثال فإن المراجع الوطنية لكلا من السودان و تونس و المغرب و الجزائر و الإمارات و عمان تعتمد جميعها على اليسيود Clarke 1880 لكن كل مرجع له وضع مختلف (أنظر عناصر التحويل بين المراجع لاحقا).

المراجع التي تحدثنا عنها حتى الآن هي ما يمكن أن نطلق عليها اسم المراجع الأفقية Horizontal Datum وهي الخاصة بتحديد الموضع في المستوى الأفقي. أما عند التعامل مع الإحداثيات في المستوى الرأسي (أي الارتفاعات) فأنتا تحتاج إلى نوع آخر من المراجع هي المراجع الرأسية Vertical Datum. ويعد الجيويد هو المرجع الرأسي المعتمد في العديد من دول العالم ، أي لتحديد هذا المرجع تحتاج لتحديد النقطة التي يكون عندها متوسط سطح البحر يساوي صفر^{١٠}. وكمثال في مصر فقد تم إنشاء محطة قياس المد و الجزر Tide Gauge في ميناء الإسكندرية وتم تسجيل قياساتها لمدة ٨ سنوات من عام ١٨٩٨ إلى عام ١٩٠٦ وأخذ متوسطها بحيث أن هذه القراءة (على المسطرة المدرجة داخل المحطة) اعتبرت هي المنسوب المساوي للصفر أي هي النقطة التي تحدد موقع الجيويد. و انطلاقاً من هذه النقطة المرجعية تم استخدام أسلوب الميزانية Leveling لإنشاء مجموعة من النقاط – تسمى الروبيرات أو Bench Marks: BM - المعلومة المنسوب و التي تغطي معظم أرجاء مصر. لذلك نقول أن المرجع الوطني الرأسي المصري Egyptian Datum هو قيمة متوسط سطح البحر MSL عند الإسكندرية في عام ١٩٠٦. وفي إطار هذا السياق تجب الإشارة إلى أن هذا المرجع الرأسي قد تغيرت قيمته نتيجة ارتفاع متوسط سطح البحر على المستوى العالمي في المائة عام الأخيرة (بقيمة متوسطة تبلغ + ١١.٦ سم وبمعدل ١.٧ ملليمتر/سنة في مصر^{١١}).

٤ - نظم الإحداثيات:

الإحداثيات Coordinates هي القيم التي بواسطتها نعبر عن موقع معين على سطح الأرض أو على الخريطة. وتتعدد أنظمة الإحداثيات بسباب اختلاف السطح المرجعي الذي يتم تمثيل الموضع عليه. فعند اختيار المستوى كسطح مرجعي (مثل الخريطة) فإن الإحداثيات تكون إحداثيات مستوية أو مسقطة أو ثنائية الأبعاد (or 2D) Two-Dimensional Coordinates. ويرجع اسم ثنائية الأبعاد إلى أن كل نقطة – على الخريطة مثلاً – يلزمها قيمتين لتحديد موقعها ولتكن مثلاً ، ص. بينما عند اعتماد الكرة أو الاليسيود كسطح مرجعي فأنتا تتعامل مع نوع الإحداثيات الفراغية أو الإحداثيات ثلاثية الأبعاد Three-Dimensional (or 3D) Coordinates حيث يجب إضافة ارتفاع النقطة عن سطح المرجع كبعد ثالث لتحديد موقعها الدقيق ، أي تحتاج لمعرفة القيم الثلاثة س ، ص ، ع لكل موقع. وفي حالة الكرة تسمى الإحداثيات باسم الإحداثيات الكروية Spherical Geodetic Coordinates بينما في حالة الاليسيود تسمى بالإحداثيات الجيوديسية Geographic Coordinates أو الإحداثيات One-Ellipsoidal Coordinates. كما توجد إحداثيات أحادية البعد Dimensional (or 1D) Coordinates وهي غالباً التي تعبر فقط عن ارتفاع النقطة من

¹⁰ Al-Rabbany, A., 2002, Introduction to GPS: The Global Positioning System, Artech House, Inc., Boston, USA.

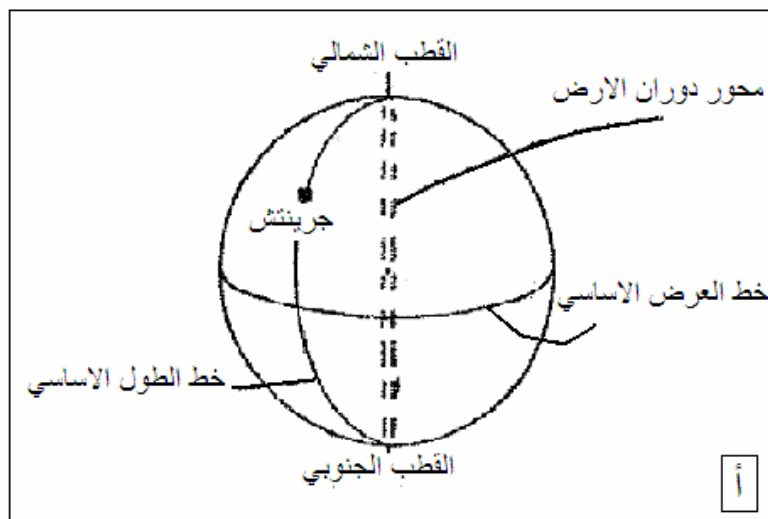
¹¹ Mohamed, H.F., 2005, Realization and redefinition of the Egyptian vertical datum based on recent heterogenous observations, PhD dissertation, Faculty of Engineering at Shobra, Benha University.

سطح الشكل المرجعي المستخدم. وفي التطبيقات الجيوديسية و الجيوفизيقية عالية الدقة توجد إحداثيات رباعية الأبعاد Four-Dimensional (or 4D) Coordinates حيث يتم تحديد موقع النقطة في زمن محدد بحيث تكون إحداثياتها هي S ، C ، U ، N حيث البعد الرابع " N " يعبر عن زمن قياس هذه الإحداثيات لهذا الموقع. وسنستعرض بعض أنظمة الإحداثيات بالتفصيل في الأجزاء التالية.

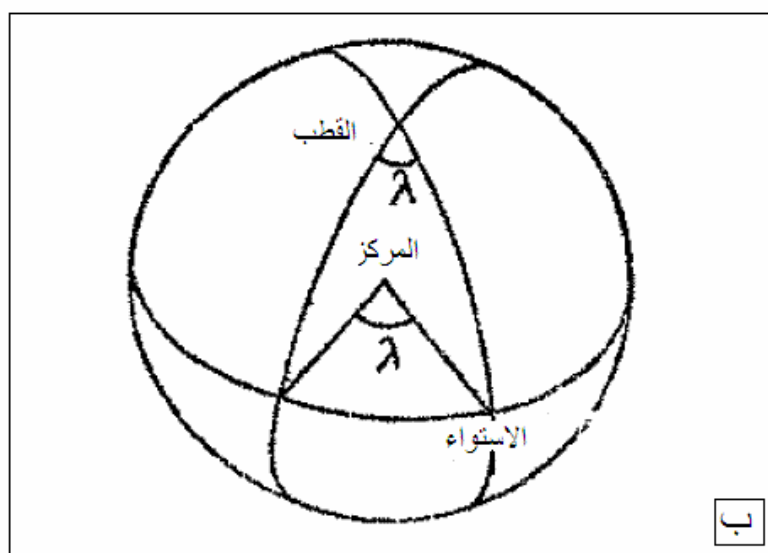
منذ قرون مضت أبتكر العلماء طريقة لتمثيل موقع أي نقطة على سطح الأرض (باعتبار أن الأرض كره) وذلك عن طريق¹² :

- تم اتخاذ الخط الأساسي الأفقي هو تلك الدائرة العظمى (أي التي تمر بمركز الأرض) والتي تقع في منتصف المسافة بين القطبين وسميت بدائرة الاستواء.
- أخذ الخط الأساسي الرأسى ليكون هو نصف الدائرة التي تصل بين القطبين الشمالي و الجنوبي وتمر بلدة جرينتش بإنجلترا (شكل ٢-٥ أ).
- قسمت دائرة الاستواء إلى ٣٦٠ قسماً متساوياً ورسم على سطح الأرض ٣٦٠ نصف دائرة (وهمية أو اصطلاحية) تصل بين القطبين وتمر بأحدى نقاط التقسيم على دائرة الاستواء ، وكل نصف دائرة تسمى خط طول Longitude. ويوضح من ذلك أن الزاوية عند مركز الأرض بين نقطتي تقسيم متجاورتين تساوي ١ درجة (يرمز للدرجة بالرمز $^{\circ}$) لأن 360° لان 360° درجة تقابل 360° قسماً. وتم ترقيم خط طول جرينتش بالرقم صفر وخط الطول المجاور له من جهة الشرق $^{\circ}1$ شرق ، ثم $^{\circ}2$ شرق ، إلى $^{\circ}180$ شرق وبين نفس الطريقة للخطوط الواقعة غرب جرينتش من $^{\circ}1$ غرب ، إلى $^{\circ}180$ غرب. وتكون زاوية خط الطول (شكل ٢-٥ ب) هي الزاوية الواقعة في مستوى دائرة الاستواء والمحصورة بين ضلعين يمر أحدهما بخط طول جرينتش بينما يمر الآخر بخط طول النقطة ذاتها.
- تم تقسيم خط الطول الأساسي (جرينتش) إلى 180° قسماً متساوياً ورسم على الأرض دوائر صغرى وهمية (الدائرة الصغرى هي التي لا تمر بمركز الأرض) توازي دائرة الاستواء وتمر كل دائرة منها بأحدى نقاط تقسيم خط طول جرينتش. وبذلك تكون الزاوية عند مركز الأرض بين نقطتين متجاورتين من نقاط التقسيم تساوي $^{\circ}1$ لأن 180° درجة تقابل 180° قسماً ، وأطلق على هذه الدوائر اسم دوائر العرض ومنهم دائرة شمال دائرة الاستواء و $^{\circ}90$ دائرة جنوبه. وبين نفس الأسلوب تم ترقيم دائرة الاستواء بالرقم صفر ودائرة العرض المجاور لها من جهة الشمال $^{\circ}1$ شمال ، ثم $^{\circ}2$ شمال ، إلى $^{\circ}90$ شمال وبين نفس الطريقة للدوائر الواقعة جنوب دائرة الاستواء من $^{\circ}1$ جنوب ، إلى $^{\circ}90$ جنوب. زاوية العرض Latitude هي الزاوية الواقعة في مستوى دائرة من دوائر الطول و رأسها عند مركز الدائرة و ضلعها الأساسي يمر في مستوى الاستواء و الضلع الآخر يمر في دائرة من دوائر العرض (شكل ٢-٥ ج).

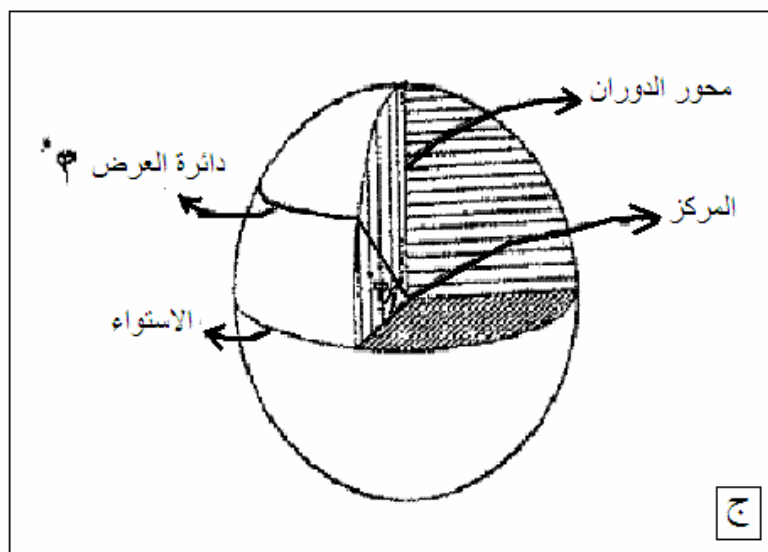
¹² إبراهيم ، نقولا ، ١٩٨٢ ، مساقط الخريطة ، منشأة المعارف ، الإسكندرية ، مصر.



أ



ب

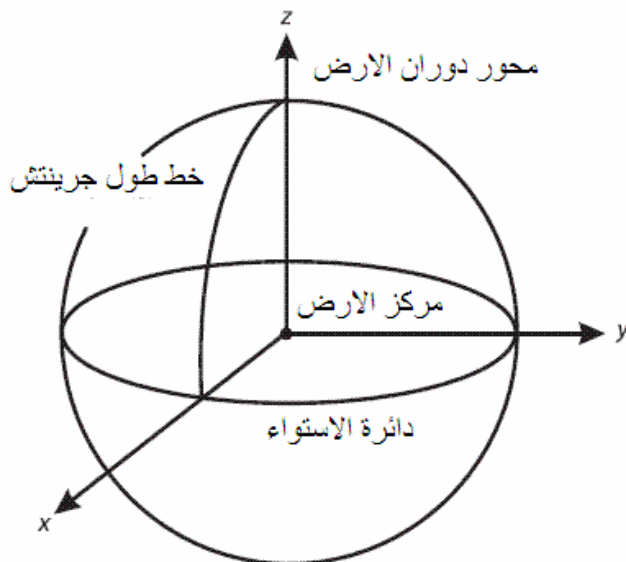


ج

شكل ٥-٢
تحديد الموضع على الكرة

٤-١ الإحداثيات الجغرافية أو الجيوديسية:

نظام الإحداثيات الجيوديسية هو أحد نظم الإحداثيات الذي مركزه هو مركز الأرض ومحاوره مثبتة مع الأرض أثناء دورانها ولذلك يطلق عليه نظام مركزي أرضي ثابت - Earth-Centered Earth-Fixed ECEF أو اختصاراً ECEF. مركز النظام يقع في مركز جاذبية الأرض، وينطبق محوره الرأسي Z مع محور دوران الأرض ، يتجه محوره الأفقي الأول X ناحية خط طول جرينتش بينما محوره الأفقي الثاني Y يكون عمودياً على محور X (شكل ٢-٦).



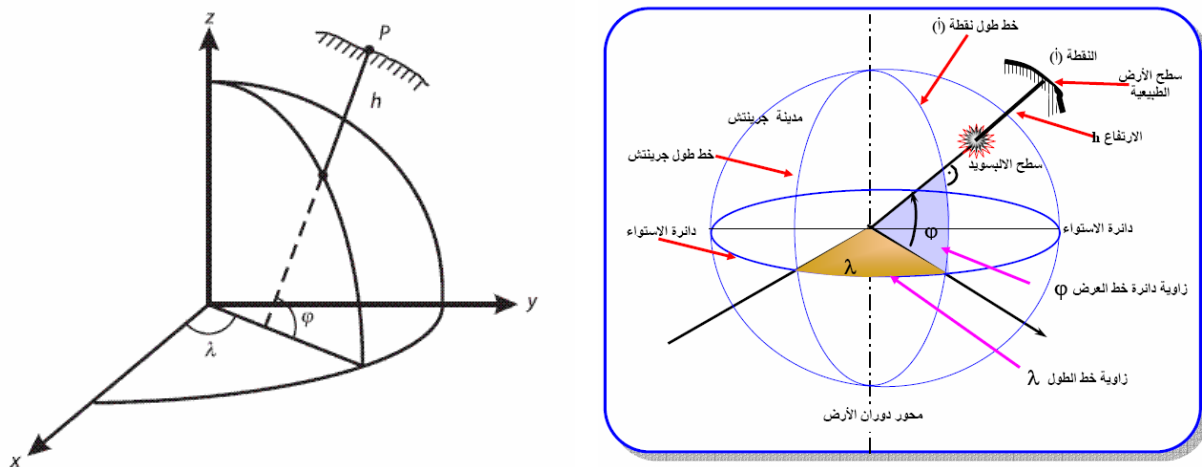
شكل ٦-٢
نظام الإحداثيات الجغرافية أو الجيوديسية

يتم تمثيل موقع أي نقطة في هذا النظام بثلاثة قيم أو ثلاثة إحداثيات ، أي أن هذا النظام ثلاثي الأبعاد 3D (شكل ٧-٢) :

خط الطول Longitude ويرمز له بالرمز اللاتيني λ (ينطق لاما) ، وهو الزاوية المقاسة في مستوى دائرة الاستواء بين خط طول جرينتش (وهو خط الطول الذي أصطلاح دولياً أن يكون رقم صفر) و خط طول النقطة المطلوبة.

دائرة العرض Latitude ويرمز لها بالرمز اللاتيني ϕ (ينطق فاي) ، وهي الزاوية في المستوى الرأسي والتي يصنعها الاتجاه العمودي المار بالنقطة المطلوبة مع مستوى دائرة الاستواء (يلاحظ في الشكل أن الاتجاه العمودي على سطح الاليسيوسيد لا يمر بمركز الاليسيوسيد عكس حالة الكرة حيث يمر العمودي على سطح الكرة بمركزها).

الارتفاع عن سطح الاليسيوسيد ويرمز له بالرمز h ويسمى الارتفاع الجيوديسي أو الارتفاع الاليسيوسيدي Geodetic or Ellipsoidal Height



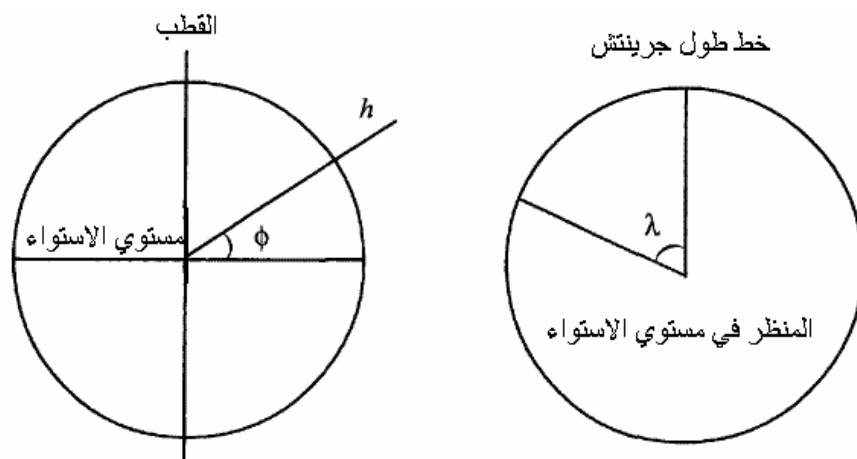
شكل ٧-٢
الإحداثيات الجغرافية أو الجيوديسية

وتوجد عدة نظم للوحدات المستخدمة في التعبير عن خطوط الطول ودوائر العرض أشهرها نظام الوحدات الستيني ، وفيه يتم تقسيم الدائرة الكاملة إلى ٣٦٠ درجة (رمز الدرجة هو °) ثم تقسيم الدرجة إلى ٦٠ جزء كلاً منهم يسمى الدقيقة (رمز الدقيقة هو '') ثم لاحقاً تقسيم الدقيقة الواحدة إلى ٦٠ جزء يسمى الواحد منهم بالثانية (رمز الثانية هو '')). كمثال: خط الطول 30° 45' 52.3'' يعني أن موقع هذه النقطة عند ٣٠ درجة و ٤٥ دقيقة و ٥٢.٣ ثانية.

تكون خطوط الطول أما شرق خط طول جرينتش (يرمز لها بإضافة حرف ق أو E) أو غرب جرينتش (يرمز لها بإضافة حرف غ أو W). أما بالنسبة لدوائر العرض فتكون أما شمال دائرة الاستواء (يرمز لها بإضافة حرف ش أو N) أو جنوب خط الاستواء (يرمز لها بإضافة حرف ج أو S).

٢-٤-٢ الإحداثيات الكروية:

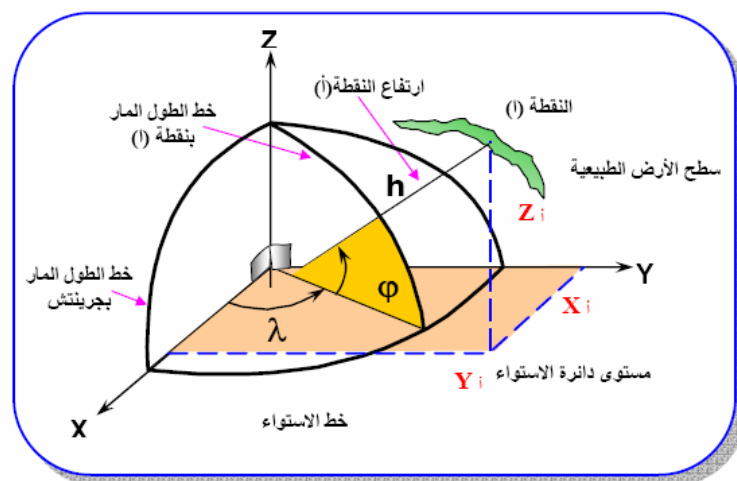
يشبه نظام الإحداثيات الكروية Spherical Coordinates نظام الإحداثيات الجيوديسية أو الجغرافية إلا في اختلاف واحد فقط ألا وهو أن السطح المرجعي هنا هو الكره وليس الاليسيود (شكل ٨-٢). يلاحظ في الشكل (خاصة لقياس دائرة العرض φ) أن الاتجاه العمودي على سطح الكره يمر بمركزها عكس حالة الاليسيود حيث لا يمر العمودي على سطح الاليسيود بمركزه.



شكل ٨-٢
الإحداثيات الكروية

٣-٤-٣ الإحداثيات الجيوديسية الكارتيزية أو الفراغية أو الديكارتية:

هو نظام إحداثيات مشابه تماماً في تعريفه لنظام الإحداثيات الجيوديسية إلا أنه يتميز أن إحداثياته الثلاثة تكون طولية (أي بالمتر أو الكيلومتر) وليس منحنيّة (بالدرجات) مما يجعله أسهل في التعامل وخاصة في الحسابات ، وقد أبتكره العالم الفرنسي ديكارت في القرن السابع عشر. نقطة الأصل لنظام الإحداثيات الجيوديسية الكارتيزية Cartesian Geodetic Coordinates هي مركز الأرض ومحوره الأول X ينشأ من تقاطع مستوى خط الطول المار بجرينتش مع مستوى دائرة الاستواء ومحوره الثاني Y هو العمودي على محور X بينما المحور الثالث (الرأسى) Z هو محور دوران الأرض و الذي يمر بمركز الأرض وكلا القطبين. ويعبر عن موقع كل نقطة بثلاثة إحداثيات: X, Y, Z (شكل ٩-٢).



شكل ٩-٢
الإحداثيات الجيوديسية الكارتيزية

٤-٤-٢ الإطار المرجعي الأرضي العالمي:

نلاحظ أن المحور الرأسي في نظم الإحداثيات التي تحدثنا عنها حتى الآن كان يعرف على أنه ينطبق مع محور دوران الأرض ، وهذا بافتراض أن محور دوران الأرض ثابت. هذا الأساس الفرضي ربما يكون مناسباً لمعظم تطبيقات تحديد المواقع – بما فيها التطبيقات الجيوديسية - التي تتطلب دقة سنتيمتر أو أكبر. لكن علماء الجيوديسيا أثبتوا منذ سنوات بعيدة أن محور دوران الأرض ليس ثابتاً بصورة تامة ، لكنه يتحرك من عام لآخر في حركة أشبه بحركة النحلة (لعبة الأطفال الشهيرة!) ، وبالتالي فإن تعريف أو تحديد محور دوران الأرض يتغير من فترة زمنية لأخرى ، ومع أن هذا التغيير بسيط جداً جداً (سنتيمترات فقط) إلا أنه يجبأخذ في الاعتبار في حالة تحديد نظام إحداثيات عالي الدقة وخاصة للتطبيقات الجيوديسية التي تتطلب دقة ملليمترات (مثل متابعة ورصد حركة القشرة الأرضية). وبناءً عليه فقد تم تطوير فكرة الإطار المرجعي الأرضي العالمي International Terrestrial Reference Frame أو المعروفة اختصاراً باسم ITRF ، حيث تقوم إحدى المنظمات الجيوديسية الدولية بتحديد محور دوران الأرض كل ٣ سنوات وذلك من خلال تجميع وتحليل القياسات الجيوديسية الدقيقة الموزعة على جميع أنحاء الأرض^{١٣}. وبالتالي فإن هذا النظام من نظم الإحداثيات من الممكن اعتباره من الإحداثيات رباعية الأبعاد 4D حيث يتم تحديد epoch طبقاً لسنة epoch معينة. كمثال نجد: ITRF1990 , ITRF1995, ITRF2000, and ITRF2005.

٤-٤-٥ التحويل بين الإحداثيات الجغرافية:

يمكن باستخدام مجموعة المعادلات التالية تحويل الإحداثيات الجيوديسية أو الجغرافية (ϕ, λ) إلى الإحداثيات الجيوديسية الكارتيزية (X, Y, Z) ^{١٤}:

$$\begin{aligned} X &= (c + h) \cos \phi \cos \lambda \\ Y &= (c + h) \cos \phi \sin \lambda \\ Z &= [h + c (1 - e^2)] \sin \phi \end{aligned} \quad (2-2)$$

حيث c يسمى نصف قطر التكروز first radius of curvature ، e تسمى المركبة الأولى eccentricity ويتم حسابهما كالتالي:

$$c = \frac{a}{\sqrt{(1 - e^2 \sin^2 \phi)}} \quad (2-3)$$

$$e = \sqrt{(a^2 - b^2)} / a \quad (2-4)$$

¹³ Al-Rabbany, A., 2002, Introduction to GPS: The Global Positioning System, Artech House, Inc., Boston, USA.

¹⁴ Iliffe, J., 2005, Datums and map projection: For remote sensing, GIS, and surveying, CRC Press, Washington, DC, USA.

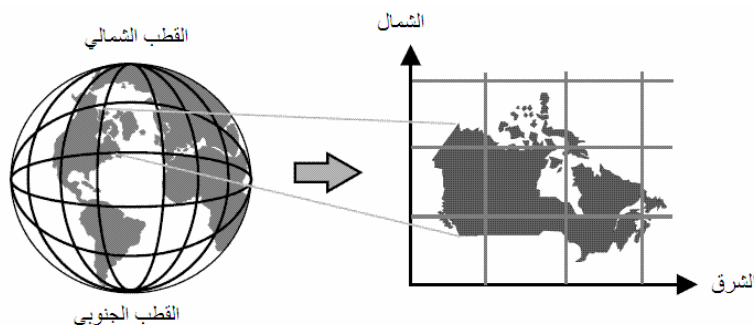
أما للتحويل من الإحداثيات الجيوديسية الكارتيزية (X, Y, Z) إلى الإحداثيات الجيوديسية أو الجغرافية (ϕ, λ, h) فأحد الحلول يتمثل في المعادلات التالية^{١٥}:

$$\begin{aligned} \tan \lambda &= Y / X \\ &\quad Z / \sqrt{(X^2 + Y^2)} \\ \tan \phi &= \frac{1 - e^2 (c / (c + h))}{\sqrt{(X^2 + Y^2)}} \quad (2-5) \\ h &= \frac{c}{\cos \phi} - c \end{aligned}$$

نلاحظ في هذه المعادلات أننا نحتاج لمعرفة قيمة c لكي نستطيع حساب قيمة ϕ و h ، لكن لنحسب قيمة c من المعادلة ٣-٢ فأننا نحتاج لمعرفة قيمة ϕ ! ولذلك يتم حساب هذا النوع من التحويل بطريقة تكرارية Iterative ، حيث نبدأ باستخدام قيمة تقريرية لدائرة العرض ϕ ونحسب قيمة تقريرية لنصف قطر التكورة c ثم نأخذ قيمة c هذه لنحسب منها قيمة جديدة ϕ وهكذا لعدد من المرات إلى أن نجد عدم وجود أي فرق جوهري Significant بين قيمتين متتاليتين لدائرة العرض ϕ .

٦-٤-٢ إسقاط الخرائط:

إسقاط الخرائط Map Projection هو العملية الرياضية التي تمكنا من تحويل الإحداثيات على مجسم الأرض - سواء كان الشكل المرجعي الذي يمثل الأرض هو الكرة أو الالبيسود- (أي إحداثيات ثلاثة الأبعاد) إلى إحداثيات ممثلة على سطح مستوى وهو الخريطة (أي إحداثيات ثنائية الأبعاد أو إحداثيات شبكة Grid Coordinates). أو بمعنى آخر: هو العملية التي تمكنا من تحويل قيم خط الطول و دائرة العرض لموقع إلى إحداثي الشرقي والشمالي الشمالي المطلوبين لتوقيع هذا الموقع على الخريطة^{١٦} (شكل ١٠-٢). ويسمى الشكل الناتج عن عملية الإسقاط بالمسقط.



شكل ١٠-٢
عملية إسقاط الخرائط

^{١٥}حموي ، هيثم نوري ، ١٩٩٧ ، مدخل إلى جيوديسيا الأقمار الصناعية و مقدمة مسهية في نظام التوضع العالمي ، فيينا ، النمسا.

^{١٦} Al-Rabbany, A., 2002, Introduction to GPS: The Global Positioning System, Artech House, Inc., Boston, USA.

ولا يمكن بأي حال من الأحوال أن تتم عملية تحويل الشكل المجرم للأرض إلى شكل مستوي (خريطة) بصورة تامة ولكن سيكون هناك ما نسميه "التشوه" Distortion في أي طريقة من طرق إسقاط الخرائط. تحاول الطرق المختلفة لإسقاط الخرائط أن تحافظ على واحدة أو أكثر من الخصائص التالية بين الهدف الحقيقي على الأرض و صورته على الخريطة (مرة أخرى لا يمكن تحقيق كل الخصائص مجتمعة):

- تطابق في المساحات
- تطابق في المسافات
- تطابق في الاتجاهات
- تطابق في الزوايا
- تطابق في الأشكال

هناك بعض أنواع الإسقاط التي تحافظ على المسافات وتسمى مساقط المسافات المتساوية Equidistance Projection وأنواع تحافظ على الأشكال والزوايا معاً لكن في مساحات محدودة وتسمى مساقط التماثل Conformal Projection (وهي الأقرب للاستخدام في التطبيقات المساحية) وأنواع ثالثة تحافظ على المساحات وتسمى مساقط المساحات المتساوية Equal-Area Projection.^{١٧}

تنقسم مساقط الخرائط إلى ٤ مجموعات رئيسية^{١٨}:

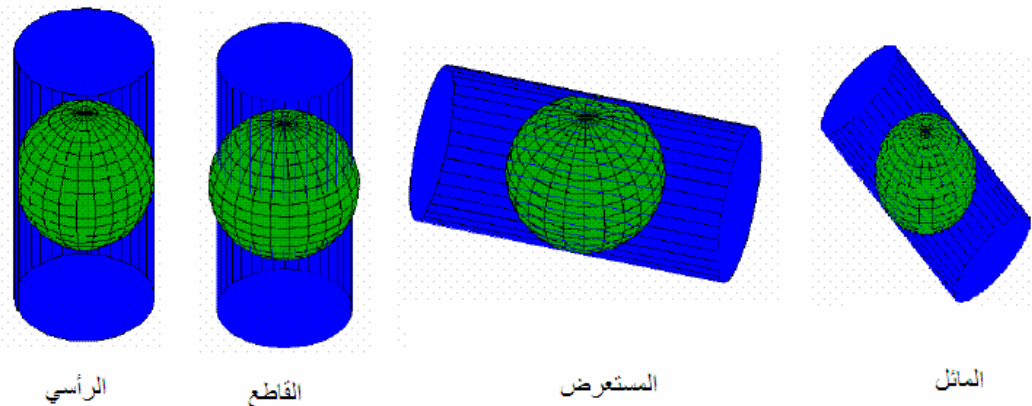
- أ- المساقط الاسطوانية Cylindrical Projections: تنشأ من إسقاط سطح الأرض على اسطوانة والتي أما تمس الأرض رأسياً أو تقطعها أو تمس الأرض عرضياً أو بصورة مائلة (شكل ١١-٢).
- ب- المساقط المخروطية Conical; Projection: تنشأ من إسقاط سطح الأرض على مخروط والذي أما يمس الأرض رأسياً أو يقطعها (شكل ١٢-٢).
- ت- المساقط السمتية أو المستوية أو الاتجاهية Azimuthal Projection: تنشأ من إسقاط سطح الأرض على مستوى والذي أما يمس الأرض رأسياً عند نقطة محددة أو يقطعها في دائرة (شكل ١٣-٢).
- ث- مساقط أخرى خاصة.

غالباً يلعب شكل المنطقة الجغرافية المطلوب إسقاطها دوراً مهماً في تحديد طريقة الإسقاط المناسبة ، فكمثال اختيار طريقة إسقاط سمتية إذا كانت شكل المنطقة شبه دائري و طريقة إسقاط اسطوانية للمناطق شبه المستطيلة و طريقة إسقاط مخروطية للمناطق شبه المثلثية^{١٩}.

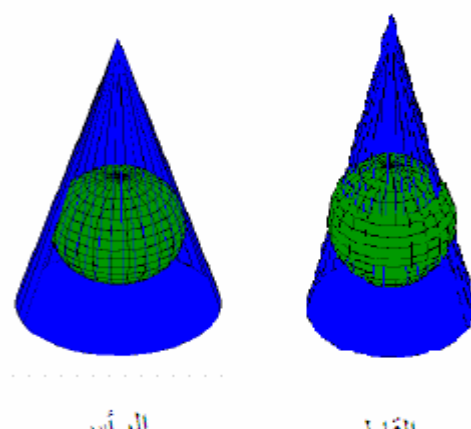
¹⁷ صيام ، يوسف ، ٢٠٠٢ ، المساحة: أنظمة الإحداثيات و قراءة الخرائط ، عمان ،الأردن.

¹⁸ Dana, P., 2000, Map projection, The Geographer's Craft Project, Department of Geography, The university of Colorado at Boulder,, USA, Available on-line at: <http://www.colorado.edu/geography/gcraft/notes/>

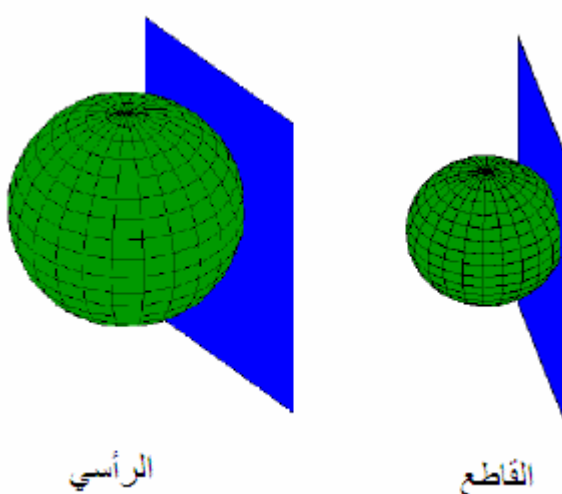
¹⁹ صيام ، يوسف ، ٢٠٠٢ ، المساحة: أنظمة الإحداثيات و قراءة الخرائط ، عمان ،الأردن.



١١-٢ شكل طرق الإسقاط الاسطوانى



١٢-٢ شكل طرق الاسقاط المخروطى

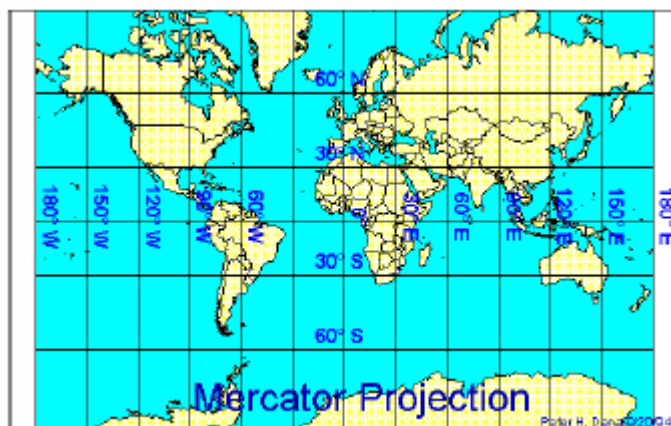


١٣-٢ شكل طرق الإسقاط السمتية أو المستوي

وفي الجزء التالي سنستعرض بعض نماذج مساقط الخرائط الشهيرة^{٢٠}:

مسقط ميريكاتور Mercator Projection

مسقط أسطواني يحقق شرط أن خطوط الطول و دوائر العرض تقاطع في زوايا قائمة تماماً. يكون المقياس **scale** صحيحاً عند دائرة الاستواء أو عند دائري عرض قياسيتين **Standard Parallels** على مسافات متساوية من الاستواء. غالباً يستخدم هذا المسقط في الخرائط البحرية (شكل ١٤-٢).

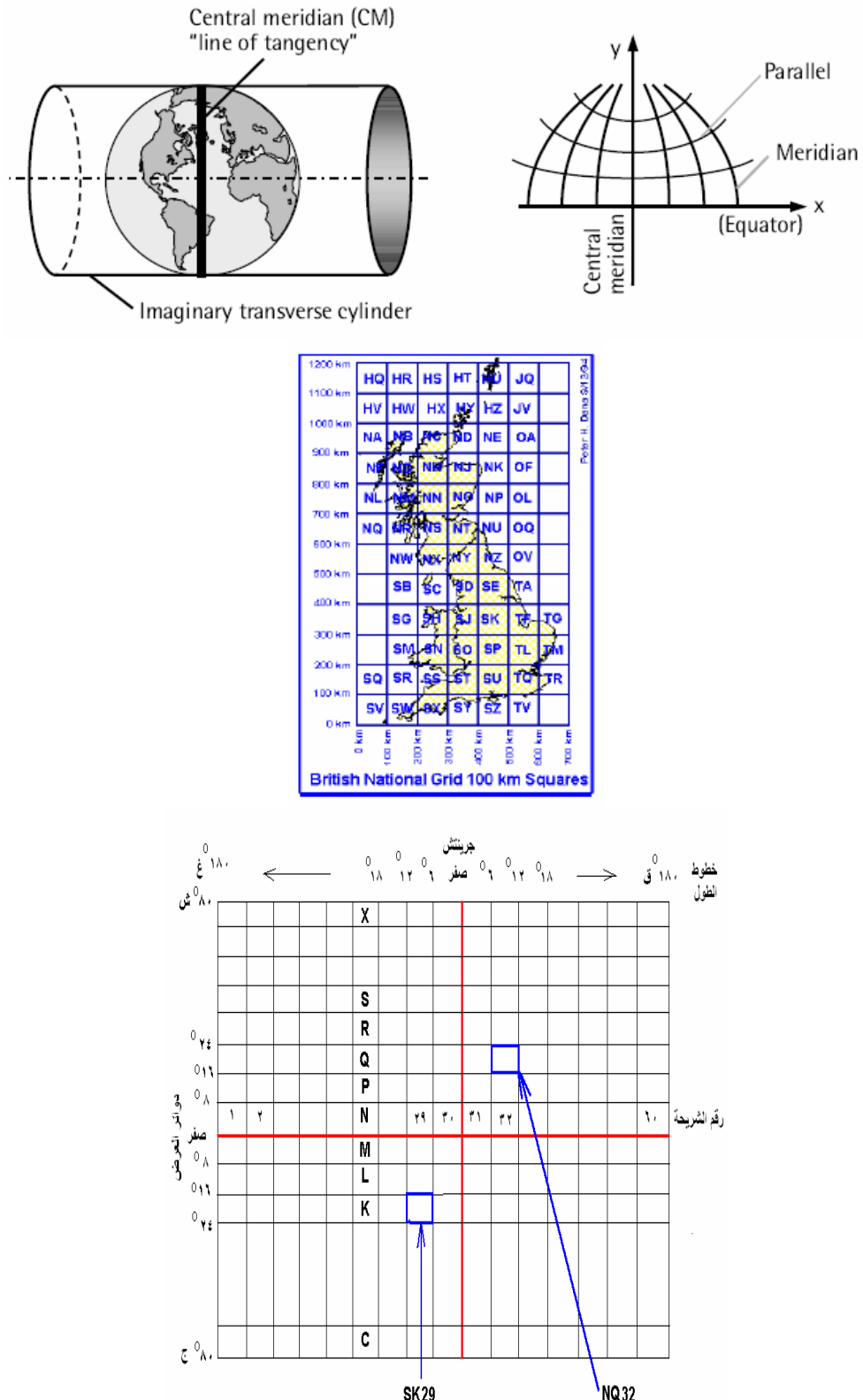


شكل ١٤-٢
مسقط ميريكاتور

مسقط ميريكاتور المستعرض Transverse Mercator Projection

ينتتج هذا المسقط من إسقاط الأرض على اسطوانة تمسها عند خط طول مركزي **Central Meridian**. غالباً يستخدم هذا المسقط للمناطق التي تمتد في اتجاه شمال-جنوب أكبر من امتدادها في اتجاه شرق-غرب. يزداد التشوه (في المقياس و المسافة و المساحة) كلما ابتعدنا عن خط الطول المركزي ، ولذلك نلجم إلى فكرة الشرائح عند استخدام هذا المسقط حيث يكون عرض الشريحة الواحدة - في اتجاه الشرق - ثلاثة أو أربعة درجات من خطوط الطول بحيث لا يكون مقدار التشوه كبيراً عند أطراف الشريحة التي يقع خط طولها المركزي في منتصفها. مسقط ميريكاتور المستعرض مستخدم في خرائط الكثير من دول العالم مثل مصر و بريطانيا (شكل ١٥-٢).

²⁰ Dana, P., 2000, Map projection, The Geographer's Craft Project, Department of Geography, The university of Colorado at Boulder,, USA, Available on-line at: <http://www.colorado.edu/geography/gcraft/notes/>

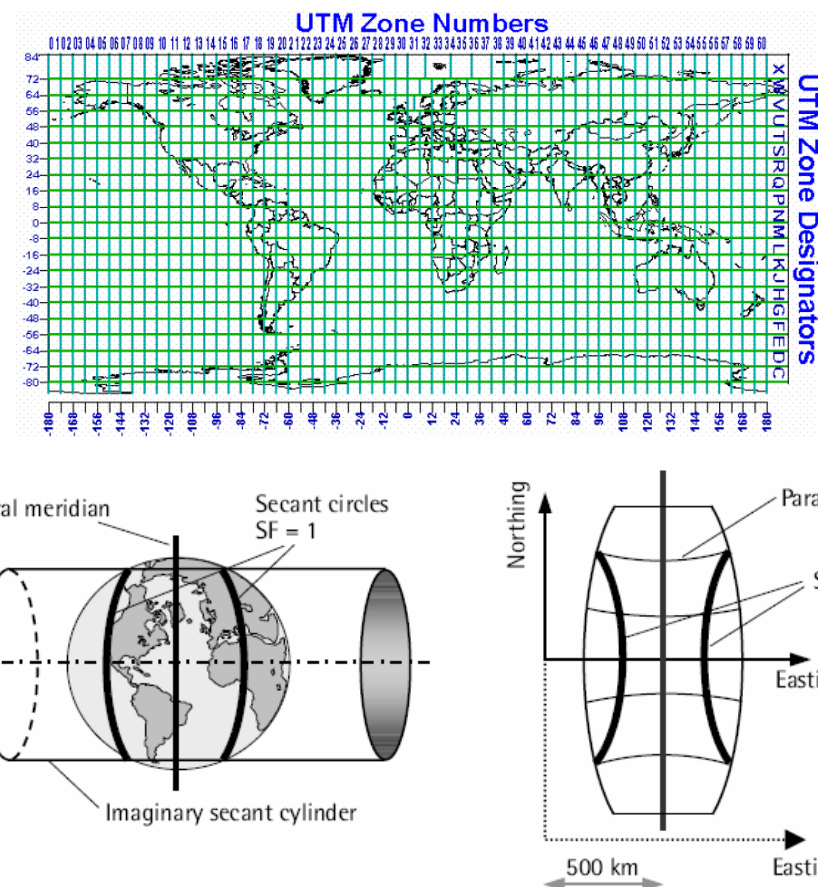


شكل ١٥-٢

مسقط ميريكاتور المستعرض

مسقط ميريكاتور المستعرض العالمي :Universal Transverse Mercator Projection

يعد أشهر أنواع مساقط الخرائط على المستوى العالمي و يرمز له اختصاراً بأحرف UTM. يعتمد مسقط UTM على إيجاد طريقة لرسم خرائط العالم كله وذلك عن طريق تقسيم الأرض إلى 60 شريحة zones كل منها يغطي 6 درجات من خطوط الطول بحيث يكون لكل شريحة مسقط UTM له خط طول مركزي Central Meridian يقع في مركز هذه الشريحة. وتمتد شرائح مسقط UTM من دائرة العرض 80° جنوباً إلى دائرة العرض 84° شمالاً. ترقيم الشرائح من رقم 1 إلى رقم 60 بدءاً من خط الطول 180° غرب ، بحيث تمتد الشريحة الأولى من 174° غرب إلى 177° غرب ويكون خط طولها المركزي meridian central عند 177° غرب. وتقسم كل شريحة طولية إلى مربعات كل 8 درجات من دوائر العرض ، بحيث يكون هناك حرف خاص - كاسم - لكل مربع من هذه المربعات ، وتبدأ الحروف من حرف C جنوباً إلى حرف X شمالاً مع استبعاد حرف A و O (شكل ١٦-٢). ويكون معامل المقياس scale factor متساوياً بـ 0.9996 عند خط الطول المركزي ، بحيث مع ازدياد التشوه كلما بعثنا عن خط الطول المركزي فإن أقصى قيمة لمعامل القياس عند أطراف الشريحة ستكون 1.00097 عند خط الاستواء أو 1.00029 عند دائرة عرض 45° ش.



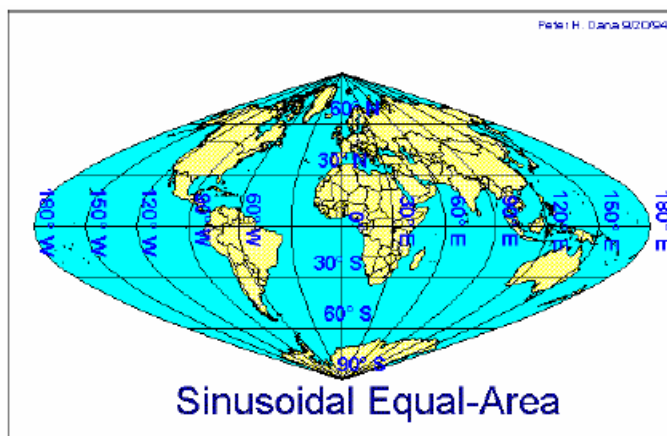
شكل ١٦-٢

²¹ Al-Rabbany, A., 2002, Introduction to GPS: The Global Positioning System, Artech House, Inc., Boston, USA.

شراح مسقٌط مريكاتور المستعرض العالمي

: Sinusoidal Equal-Area Projection

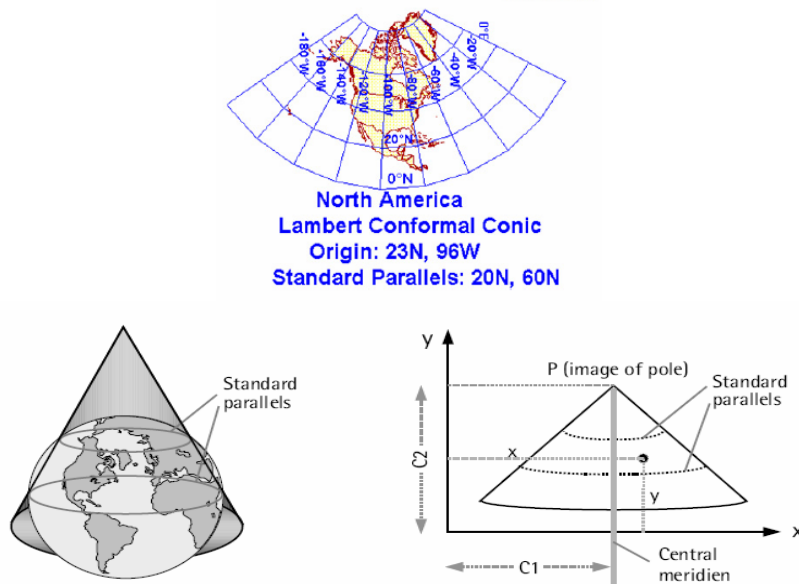
في هذا المسقط الذي يحافظ على المساحات تتعامد دوائر العرض على خط الطول المركزي فقط ، بينما مع باقي خطوط الطول فإن دوائر العرض تكون مقوسة بما يشبه منحنى جيب الزاوية **sin curves** (من هنا جاء اسم هذا المسقط: المسقط الجيببي). ويكون مقاييس الرسم صحيحاً فقط عند خط الطول المركزي ودوائر العرض ، ويستخدم هذا المسقط (شكل ١٧-٢) للمناطق التي تمتد في أنجاه شمال-جنوب.



شكل ١٧-٢
مسقط ساينسويدال متتساوي المساحات

: Lambert Conformal Conic Projection

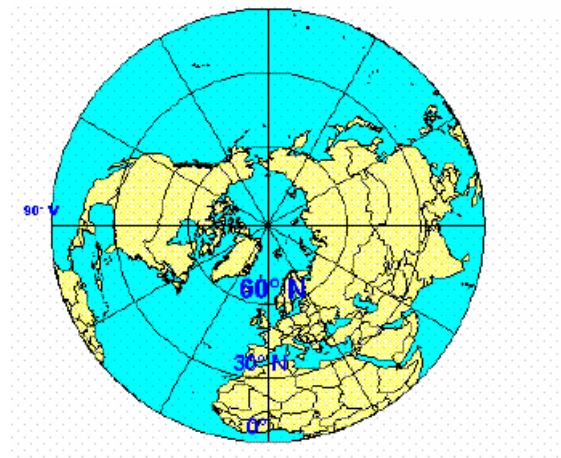
يستخدم هذا المسقط المخروط (وليس الاسطوانة مثل المساقط السابقة) وفيه تكون المساحات والأشكال متماثلة عند دائري العرض القياسيتين Standard Parallels ويزداد التشوه كلما ابتعدنا عنها ، كما تكون الاتجاهات صحيحة في مناطق محدودة. وهذا المسقط مستخدم في أمريكا الشمالية (شكل ١٨-٢).



شكل ١٨-٢
مسقط لامبرت المخروطي المتماثل

Lambert Azimuthal Equal-Area Projection

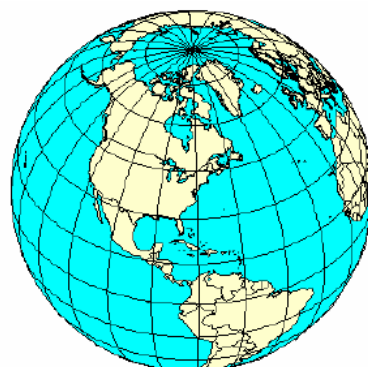
يستخدم هذا المسقط المستوي (وليس الاسطوانة أو المخروط) غالباً لرسم مناطق واسعة من المحيطات. وفيه يكون خط الطول المركزي خطًا مستقيماً بينما تكون باقي خطوط الطول منحنية (شكل ١٩-٢).



شكل ١٩-٢
مسقط لامبرت المستوي متساوي المساحات

:Orthographic Projection

مسقط سمتى أيضاً (أي يستخدم المستوى في الإسقاط) يستخدم غالباً لإظهار صورة عامة أو منظور لنصف الكرة الأرضية (شكل ٢٠-٢). وبه يوجد تشوّه لكلاً من المساحات والأشكال وتكون المسافات صحيحة على دائرة الاستواء ودوائر العرض الأخرى.



شكل ٢٠-٢
المسقط المتعامد أو الارثوجرافي

٧-٤-٢ نظم الإحداثيات المسقطة أو المستوية:

الإحداثيات المسقطة Projected Coordinates هي الإحداثيات المستوية ثنائية الأبعاد 2D الناشئة عن تطبيق احدى طرق إسقاط الخرائط ، أي هي إحداثيات أي نقطة على الخريطة وليس على سطح الأرض. غالبا يرمز لها بالاحداثي الشرقي Easting أو اختصارا E والابحداثي الشمالي Northing أو اختصارا N (البعض يقع في غلطة ويستخدم الرمزين y, X، الذين أصبحوا يستخدمهما متعارفا عليه بصورة شائعة للدلالة على الإحداثيات الجيوديسية الكارتيزية X, Y, Z). حيث أن طرق إسقاط الخرائط متعددة بصورة كبيرة جدا فسنستعرض هنا مثاليين فقط لنظم إحداثيات مسقطة للتعرف على كيفية التعامل مع هذه النظم و العناصر المطلوب معرفتها في كل نظام منها. والمثاليين هما نظام الإحداثيات المصرية كأحد نظم الإحداثيات الوطنية لدولة عربية ، ونظام UTM العالمي المستخدم أيضا في بعض البلدان العربية مثل المملكة العربية السعودية.

١-٧-٤-٢ نظم الإحداثيات المصرية:

(أ) نظام الإحداثيات المصرية ETM

نظام إحداثيات الخرائط المصرية Egyptian Transverse Mercator أو اختصارا ETM هو نظام إسقاط ميريكاتور مستعرض^{٢٢}. وحتى يمكن تقليل التشوه في الخرائط فقد تم تقسيم جمهورية مصر العربية إلى أربعة مناطق أو شرائح Zones وتسمى عادة باسم أحزمة Belts (٣ أحزمة). في هذا النظام تم اعتماد المرجع الجيوديسي Geodetic Datum المستخدم في خرائط الهيئة المصرية العامة للمساحة هو اليسيود هلمرت ١٩٠٦ Helmert 1906 (شكل ٢١-٢)^{٢٣}.

توجد عدة عناصر يجب تعريفها لكل شرائح من شرائح ميريكاتور المستعرض ، وهذه العناصر تختلف قيمها من دولة لأخرى حتى لو استخدمت الدولتان نفس المنسوب. هذه العناصر الخمسة (تسمى معاملات الإسقاط Projection Parameters) تشمل:

- موقع نقطة الأصل للإسقاط Origin والذي يحدد من خلال قيمتين: خط الطول المركزي Central Meridian ودائرة العرض القياسية Standard Parallel.
- لتقاديم وجود إحداثيات سالبة (غير مستحبة في الخرائط) فيتم إعطاء قيم إحداثيات مفترضة أو زائفة لنقطة الأصل بدلا من إعطائها إحداثيات صفر شرقاً و صفر شمالاً ، وذلك عن طريق تحديد عنصرين آخرين هما: الاحداثي الشرقي الزائف False Easting والابحداثي الشمالي الزائف False Northing.
- العنصر الخامس - من معاملات الإسقاط - المطلوب تحديده هو قيمة معامل مقياس الرسم عند خط الطول المركزي.

²² الحسيني ، صفت ، ٢٠٠٢ ، الجيوديسيا ، القاهرة ، مصر.

²³ Mugnier, C., 2008a, Grids and Datums: Arab Republic of Egypt, ASPRS Newsletter, November, pp. 1307-1309.

إن معادلات حساب الإحداثيات المسقطة ذاتها (أي معادلات تحويل الإحداثيات الجغرافية أو الجيوديسية إلى إحداثيات الخريطة) معروفة للجميع^{٢٤} وأصبحت مبرمجه داخل كل برامج الحاسوب الآلي software الخاصة بتطبيقات المساحة والخرائط ونظم المعلومات الجغرافية. إلا أن المهم في حالة استخدام أي برنامج هو تحديد عواملات الإسقاط الخمسة المطلوبة لهذا النوع من الإسقاط ، فربما نجد بعض البرامج لا تحتوي داخل قواعد بياناتها إسقاط خاص بدولة معينة لكنها تسمح بإنشاء مسقط جديد داخل البرنامج إذا حددنا قيم عناصره الخمسة. بمعنى آخر: من الممكن أن نجد برنامج كمبيوتر لا يحتوي على نظام الإسقاط المصري لكنه يسمح بإنشاء مسقط من نوع ميريكاتور المستعرض إذا قمنا بتحديد قيم العناصر الخمسة المستخدمة في الخرائط المصرية. وتتجدر الإشارة إلى أن عناصر الإسقاط لأي دولة لا يمكن استنباطها أو محاولة حسابها لأن هذه العناصر افتراضية ومن اختيار الجهة المسئولة عن الخرائط في هذه الدولة ، لأن وللأسف الشديد ما زالت بعض الدول العربية تعتبر قيم عناصر الإسقاط لها من الأسرار التي لا يجوز نشرها!

تجدر الإشارة إلى أنه في بعض برامج الكمبيوتر Old Egyptian Datum 1907 يسمى هذا النظام أو اختصارا باسم OED. يتميز هذا النظام بقيم عناصر الإسقاط تخص مصر. وتتغير قيم هذه العناصر مع كل حزام (منطقة) من الخرائط المصرية كالتالي:

١ - الحزام الأحمر :Red Belt

يعطي هذا الحزام المنطقة الوسطى من مصر وذلك من خط طول ٢٩ شرقا إلى خط طول ٣٣ شرقا. وتكون قيم عناصر نظام ETM في هذا الحزام هي:

False Easting = 615 000 m	الإحداثي الشرقي المفترض
False Northing = 810 000 m	الإحداثي الشمالي المفترض
Latitude = 30° 0' 0"	دائرة العرض
Longitude = 31° 0' 0"	خط الطول
Scale on central Meridian = 1.00	معامل مقياس الرسم
Zone width = 4° 0' 0"	عرض المنطقة

٢ - الحزام الأزرق :Blue Belt

يعطي هذا الحزام المنطقة الشرقية من مصر وذلك من خط طول ٣٣ شرقا إلى خط طول ٣٧ شرقا. وتكون قيم عناصر نظام ETM في هذا الحزام هي:

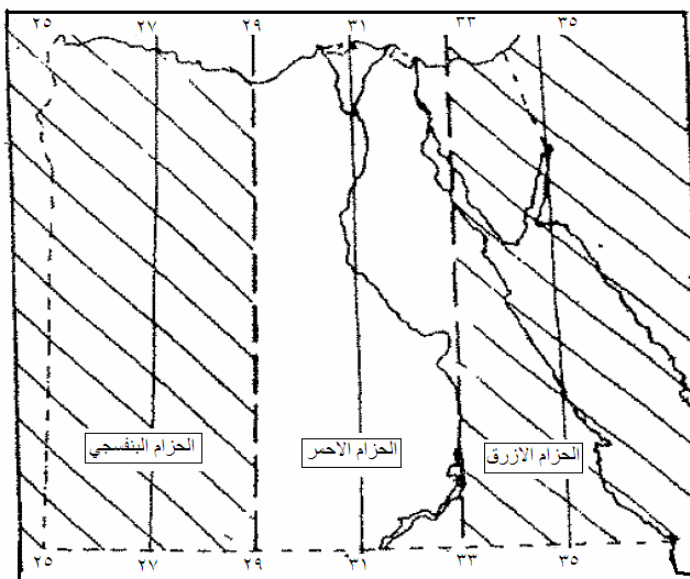
False Easting = 300 000 m	الإحداثي الشرقي المفترض
False Northing = 110 000 m	الإحداثي الشمالي المفترض
Latitude = 30° 0' 0"	دائرة العرض
Longitude = 35° 0' 0"	خط الطول
Scale on central Meridian = 1.00	معامل مقياس الرسم
Zone width = 4° 0' 0"	عرض المنطقة

²⁴ إبراهيم ، نقولا ، ١٩٨٢ ، مساقط الخريطة ، منشأة المعارف ، الإسكندرية ، مصر.

٣- الحزام البنفسجي :Purple Belt

يغطي هذا الحزام المنطقة الغربية في مصر وذلك من خط طول ٢٥ شرقا إلى خط طول ٢٩ شرقا. وتكون قيم عناصر نظام ETM في هذا الحزام هي:

False Easting = 700 000 m	الإحداثي الشرقي المفترض
False Northing = 200 000 m	الإحداثي الشمالي المفترض
Latitude = ٣٠° ٠' ٠"	دائرة العرض
Longitude = ٢٧° ٠' ٠"	خط الطول
Scale on central Meridian = 1.00	معامل مقياس الرسم
Zone width = ٤° ٠' ٠"	عرض المنطقة



شكل ٢١-٢
شراوح نظام الإسقاط المصري ETM

تجدر الإشارة إلى وجود شريحة رابعة ثالثوية تسمى امتداد الحزام الأحمر Extended Red Belt تغطي المنطقة جنوب مدينة أسوان. أتضح أن قيمة الإحداثي الشمالي المفترض (٨١٠ كيلومتر) لشريحة الحزام الأحمر سيتسبب في وجود إحداثيات شمالية سالبة في هذه المنطقة الجنوبيّة من الأرضي المصري (أعتقد أنه لم يكن متخيلاً منذ مائة عام أن تتم أي مشروعات مساحية أو إنتاج خرائط لهذه المنطقة أقصى جنوب مصر وذلك تم اختيار قيمة ٨١٠ كيلومتر و هي تقريبا المسافة من القاهرة إلى أسوان!). وفي هذه الشريحة الرابعة يتم تغيير قيمة الإحداثي الشمالي المفترض من ٨١٠،٠٠٠،٠٠٠ متر إلى ١،٠٠٠،٠٠٠ متر.

(ب) نظام الإحداثيات المصرية المطورة MTM

نظراً لانتشار استخدام تقنية GPS في الأعمال المساحية في مصر فقد أعلنت الهيئة المصرية العامة للمساحة منذ عدة أعوام عن تطوير نظام جديد للإحداثيات المستخدمة في الخرائط المصرية وعرف هذا النظام باسم: نظام ميريكاتور المستعرض المعدل Modified Transverse Macerator أو اختصاراً باسم MTM (نفس النظام مطبق في بعض أجزاء من كندا أيضاً^{٢٥}). لم يتم التحول لهذا النظام بصورة رسمية بعد ، إلا أن خرائط بعض المشروعات الجديدة قد تم تطويرها اعتماداً عليه. وسيعتمد نظام MTM على المرجع الجيوديسي أو اليسويد WGS84 وليس اليسويد هلمرت ٦٩٠ كالنظام السابق.

مثل النظام السابق سيكون نظام MTM مستخدماً لنوع إسقاط الخرائط من نوع ميريكاتور المستعرض ، لكن سيتم تقسيم مصر إلى ٥ شرائح (وليس ٣ فقط في النظام السابق) لتقليل قيمة التشوه إلى أقل ما يمكن للوصول لدقة عالية للخرائط.

توجد عدة عناصر مشتركة بين الشرائح الخمسة كالتالي:

False Easting = 300 000 m	الإحداثي الشرقي المفترض
False Northing = 0 m	الإحداثي الشمالي المفترض
Latitude = ٠° ٠' ٠"	دائرة العرض
Scale on central Meridian = 0.9999	معامل مقياس الرسم
Zone width = ٣° ٠' ٠"	عرض المنطقة

والقيمة الوحيدة التي تتغير من شريحة لأخرى هي خط الطول كالتالي:

Longitude = ٢٥° ٣٠' ٠"	الشريحة رقم ١
Longitude = ٢٨° ٣٠' ٠"	الشريحة رقم ٢
Longitude = ٣١° ٣٠' ٠"	الشريحة رقم ٣
Longitude = ٣٤° ٣٠' ٠"	الشريحة رقم ٤
Longitude = ٣٧° ٣٠' ٠"	الشريحة رقم ٥

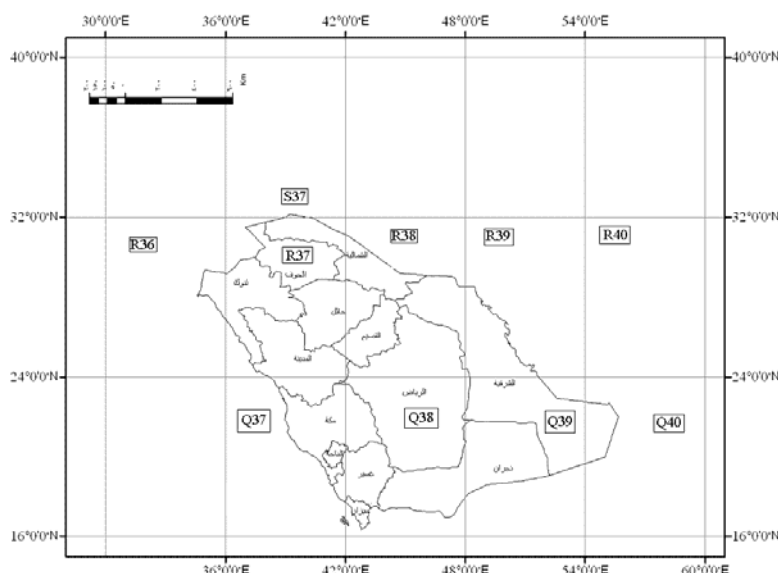
:UTM ٤-٧-٢ نظم إحداثيات

إضافة لما سبق ذكره في الأجزاء السابقة عن خصائص مسقط UTM فنضيف أيضاً أنه لعدم وجود أي إحداثيات سالبة (الوضع غير المستحب في المساحة والخرائط) فقد تم الأخذ بمبدأ المركز الزائف أو المفترض False Origin . في كل شريحة من شرائح مسقط UTM تفاصيل الإحداثيات الشرقية من خط الطول المركزي والذي يعطي له إحداثيات شرقية زائفة تساوي ٥٠٠ كم ، بينما تفاصيل الإحداثيات الشمالية مباشرةً من دائرة الاستواء . وهذا الوضع يجعل من المهم جداً في أي خريطة UTM أن نعرف رقم الشريحة التي تعتمد عليها إحداثيات هذه الخريطة (حيث أن قيم الإحداثيات الشرقية ستتكرر من خريطة لأخرى تقع معها على نفس

²⁵ Al-Rabbany, A., 2002, Introduction to GPS: The Global Positioning System, Artech House, Inc., Boston, USA.

الامتداد من خطوط الطول). إن معادلات حساب إحداثيات UTM بالطريقة التقليدية متاحة في العديد من المراجع^{٢٦ و ٢٧}، وهناك أيضاً طرق أكثر بساطة من المعادلات التقليدية مثل استخدام متواالية ذات الحدود polynomials التي تجعل حسابات الإحداثيات أبسط وأسرع^{٢٨}.

تعد المملكة العربية السعودية من الدول التي تعتمد في خرائطها على نظام UTM ، وقد اعتمدت الإليسويد العالمي لعام ١٩٢٤ ١٩٢٤ International Ellipsoid (حيث نصف المحور الأكبر = 6378388 متر و التقلطح $1/f = 297$) كسطح مرجعي في مرجعها الجيوديسي الوطني المسمى عين العبد ١٩٧٠^{٢٩}. وفي معظم برامج الكمبيوتر فمن الممكن الالكتفاء بتحديد رقم الشريحة (المنطقة معينة) ويقوم البرنامج باستخدام معاملات و معادلات تحويل مسقط UTM المناسبة لهذه المنطقة ليتم تحويل الإحداثيات الجيوديسية أو الجغرافية إلى الإحداثيات المسقطة أو المستوية ، ويقدم شكل ٢٢-٢ أرقام الشرياح التي تغطي المناطق الإدارية للمملكة.



٢٢-٢ شرائح مسقط UTM للمملكة العربية السعودية

٨-٤-٢ التحويل بين المراجع:

²⁶ Anderson, J. and Mikhail, E., 1998, Surveying: Theory and practice, Seventh Edition, McGraw-Hill, New York, USA.

²⁷ شكري ، علي ، حسني ، محمود ، رشاد ، محمد ، ١٩٨٩ ، المساحة الجيوديسية ، منشأة المعارف ، الإسكندرية ، مصر.

²⁸ Ali, A., 2009, Assessment of the polynomials for conversion between geodetic coordinates and the UTM and vice versa, CERM V. 31, N. 3, July, pp. 973-987.

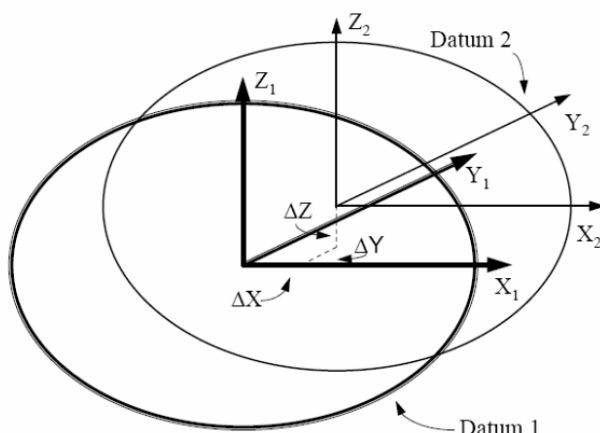
²⁹ Mugnier, C., 2008b, Grids and Datums: Kingdom of Saudi Arabia, ASPRS Newsletter, August, pp. 949-951.

إن تحويل الإحداثيات بين المراجع الجيوديسية المختلفة أصبح حلقة مهمة من حلقات العمل الجيوديسي في الآونة الأخيرة. فمع ازدياد التعاون التنموي و المشروعات المشتركة بين الدول المجاورة ومع اختلاف المرجع الجيوديسي المستخدم في خرائط و قاعدة البيانات الجيوديسية لكل دولة ، أصبح لزاماً توحيد الإحداثيات و الخرائط في مناطق الحدود ليتمكن تنفيذ هذه المشروعات المدنية (مثل مد خطوط الكهرباء أو أنابيب نقل البترول أو إقامة الطرق). أيضاً ومع انتشار تطبيقات التقنيات المساحية الحديثة (مثل الجي بي أس) ازدادت أهمية عملية التحويل بين المراجع. فكمثال: تعطي تقنية الجي بي أس إحداثيات النقاط المرصودة على المجسم العالمي أو اليسويد WGS84 فإذا أردنا توقيع هذه المواقع المرفوعة على خرائط أحدي الدول (التي تعتمد على اليسويد آخر أو مرجع جيوديسي محلي) فلا بد من تحويل هذه الإحداثيات من اليسويد WGS84 إلى هذا الأليسويد المحلي ، وإلا فأننا سنرتكب أخطاء قد تصل إلى مئات الأمتار عند توقيع هذه الإحداثيات دون تحويلها.

إن عملية التحويل (أي تحويل الإحداثيات) بين المراجع Datum Shift ليست جديدة في العمل الجيوديسي لكنها قد تمت دراستها منذ قرنين أو أكثر ، وقد تم ابتكار العديد من الحلول الرياضية لتنفيذها. وفي العقود الأخيرين ظهرت طرق رياضية جديدة ربما تكون أكثر دقة من الطرق التقليدية القديمة.

١-٨-٤-٢ الطرق التقليدية للتحويل بين المراجع:

لنبدأ بمثال توضيحي بسيط في حالة التحويل بين نظامي إحداثيات مختلفين لكنهما متوازيين (شكل ٢-٢^{٣٠}). لاحظ أننا سنتعامل هنا مع نوع الإحداثيات الجيوديسية الكارتيزية (X, Y, Z) حيث أنها كإحداثيات طولية متعمدة ستكون أسهل من الإحداثيات الجغرافية (ϕ, λ, h) وحيث أن التحويل بين كلا نظامي الإحداثيات قد سبق تناوله في المعادلة (٢-٢).



شكل ٢-٢

التحول بين مرجعين متوازيين

حيث أن محاور كلا نظامي الإحداثيات في كلا المرجعين متوازية فإن العلاقة بين المرجعين تتحدد بمعرفة موقع مركز المرجع الأول بالنسبة لموقع مركز المرجع الثاني ، أي تحديد فرق

³⁰ موسى ، أشرف القطب ، ٢٠٠٩ ، دليل نظم الإحداثيات و علاقتها بنظام إحداثيات خرائط أمانة جدة ، تقرير أمانة محافظة جدة ، المملكة العربية السعودية.

الإحداثيات بين موقع (أو إحداثيات) النقطة على المرجع الأول وموقعها أو إحداثياتها على المرجع الثاني. وهذا الفرق يتحدد من خلال ثلاثة مركبات ΔX , ΔY , ΔZ (ينطق الحرف Δ X, Δ Y, Δ Z) (اللاتيني Δ دلتا) والتي تسمى عناصر النقل :Translation Parameters

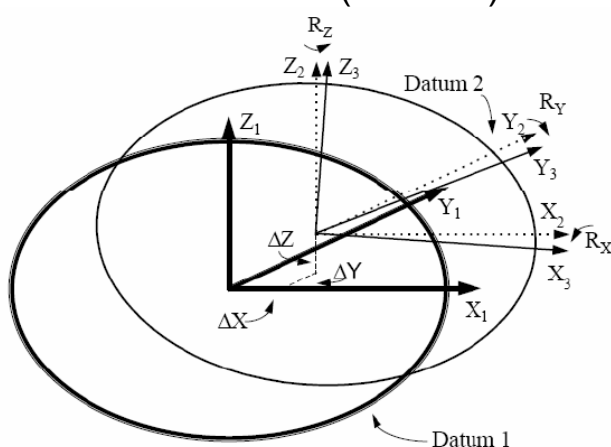
$$\begin{aligned}\Delta X &= X_2 - X_1 \\ \Delta Y &= Y_2 - Y_1 \\ \Delta Z &= Z_2 - Z_1\end{aligned}\quad (2-6)$$

فإذا علمنا إحداثيات نقطة واحدة على المرجع الأول (X_1, Y_1, Z_1) وإحداثياتها على المرجع الثاني (X_2, Y_2, Z_2) فيمكننا حساب فرق الإحداثيات باستخدام المعادلة السابقة. فإذا كان لدينا نقطة جديدة معلوم إحداثياتها على المرجع الأول (X, Y, Z) فيمكن تحويلها إلى المرجع الثاني (X', Y', Z') بكل سهولة:

$$\begin{aligned}X' &= X + \Delta X \\ Y' &= Y + \Delta Y \\ Z' &= Z + \Delta Z\end{aligned}\quad (2-7)$$

أي أن كل ما نحتاج إليه في هذه الحالة (الفرض بأن المراجع متوازي المحاور) هو معرفة إحداثيات نقطة واحدة على الأقل في كلا النظائر.

لكن الحال العامة للعلاقة بين أي مرجعين أو البسويدين أن وضعهما لن يكون متوازي المحاور ، بل أن محاور أحدهما ستكون مائلة على محاور الآخر. كما أن حجم الالبيسود الأول ليس بالضرورة أن يكون مساويا لحجم الالبيسود الثاني. وبالتالي فبدلا من وجود ثلاثة عناصر فقط مطلوب تحديدهم (ΔX , ΔY , ΔZ) كما في الحال البسيطة السابقة فسيتخرج لدينا ٤ عناصر أخرى: ثلاثة لتحديد فروق الميل بين المحاور الثلاثة في كل مرجع وتسمى عناصر الدوران Rotation Parameters ، بالإضافة لعنصر يحدد فرق الحجم بين كلا المراجعين ويسمى معامل القياس scale factor (شكل ٢٤-٢).



شكل ٢٤-٢
التحويل بين أي مراجعين

و كما نري في هذا الشكل سند أن العناصر الجديدة المطلوبة هي:

- زاوية الدوران (أو الفرق) بين محوري X في كلا المرجعين ، ونرمز لها Rx
- زاوية الدوران (أو الفرق) بين محوري Y في كلا المرجعين ، ونرمز لها Ry
- زاوية الدوران (أو الفرق) بين محوري Z في كلا المرجعين ، ونرمز لها Rz
- بالإضافة للعنصر الرابع **scale factor** الذي يحدد فرق معامل القياس بين كلا المرجعين ونرمز له عادة بالرمز s .

أي أننا لتحديد العلاقة الفراغية (المكانية) بين أي مرجعين في الحالة العامة يلزمـنا تحديد 7 عناصر ($\Delta X, \Delta Y, \Delta Z, Rx, Ry, Rz, s$) وهي ما نطلق عليها اسم عناصر التحويل Transformation Parameters بين المراجع الجيوديسية. وفي هذه الحالة لا يمكنـنا الاعتماد على توافر نقطة واحدة فقط معلومـة (كما في الحالية البسيطة السابقة) لكن يلزمـنا وجود 3 نقاط - على الأقل - معلومـة إحداثياتهم في كلا المرجعين. فإذا كان لدينا معلومات لأكثر من 3 نقاط زادت دقة الحل المطلوب لتحديد عناصر التحويل السبعة ، كما أن دقة تحديد العناصر تعتمـد على دقة إحداثيات النقاط المعلومـة في كلا المرجعين. وهـذين السـببين وراء وجود أكثر من مجموعة منشورـة و معلنة من عناصر التحويل بين مرجعين محددين ، فمعادلات التحويل ثابتـة لكن عدد و جودة البيانات المستخدمة في الحساب ستؤدي لقيم متفاوتـة لعناصر التحويل بين نفس المرجعين.

توجد عدة نماذج من المعادلات التي تسمح بالتحويل بين المراجع المختلفة و من أشهر هذه النماذج نموذج بورسا-ولف Bursa-Wolf ونموذج مولودينسكس-بادكس Molodenskii- Badekas . و تتمثل معادلات نموذج بورسا-ولف في:

$$\begin{vmatrix} X_1 \\ Y_1 \\ Z_1 \end{vmatrix} = \begin{vmatrix} \Delta X \\ \Delta Y \\ \Delta Z \end{vmatrix} + s \begin{vmatrix} 1 & R_z & -R_y \\ -R_z & 1 & R_x \\ R_y & -R_x & 1 \end{vmatrix} \begin{vmatrix} X_2 \\ Y_2 \\ Z_2 \end{vmatrix} \quad (2-8)$$

حيث X_1, Y_1, Z_1 تمثل إحداثيات النقطة في المرجع الأول ، X_2, Y_2, Z_2 تمثل إحداثيات النقطة في المرجع الثاني ، $\Delta X, \Delta Y, \Delta Z$ تمثل عناصر الانتقال بين المرجعين ، Rx, Ry, Rz تمثل زوايا الدوران أو عناصر الدوران بين المرجعين ، و يمثل s معامل القياس بينهما.

كما يمكن أن تتم عملية تحويل المراجع باستخدام الإحداثيات الجغرافية ، والمعادلات التالية تقدم طريقة التحويل من أي مرجع محـي إلى مرجع WGS84 العالمي المستخدم في أرصاد تقنية الجـي بي آس^{٣١}:

$$\begin{aligned} \phi_{84} &= \phi_L + \Delta\phi \\ \lambda_{84} &= \lambda_L + \Delta\lambda \end{aligned} \quad (2-9)$$

³¹ US National Imagery and Mapping Agency (NIMA), 2000, Department of Defense World Geodetic System 1984: Its definition and relationships with local geodetic system, Technical Report TR8350.2, Third Edition, Washington, DC, USA.

$$h_{84} = h_L + \Delta h$$

حيث h_{84} , λ_{84} , ϕ_{84} , λ_L , h_L , WGS84 تمثل الإحداثيات على مجسم ϕ_{84} , λ_{84} , λ_L , h_L على المنسوب الم المحلي.

$$\begin{aligned} \Delta\phi'' = & \{ -\Delta X \sin \phi \cos \lambda - \Delta Y \sin \phi \sin \lambda + \Delta Z \cos \phi + \\ & \Delta a (R_N e^2 \sin \phi \cos \lambda) / a + \Delta f [R_M (a/b) + \\ & R_N (b/a)] \sin \phi \cos \lambda \} / ([R_M + h] \sin 1'') \end{aligned} \quad (2-10)$$

$$\Delta\lambda'' = [-\Delta X \sin \lambda + \Delta Y \cos \lambda] / [(R_N + h) \cos \phi \sin 1''] \quad (2-11)$$

$$\Delta h = \Delta X \cos \phi \cos \lambda + \Delta Y \cos \phi \sin \lambda + \Delta Z \sin \phi - \Delta a (a/R_N) + \\ \Delta f (b/a) R_N \sin^2 \phi \quad (2-12)$$

حيث:
 a , b هما قيم نصف المحور الأكبر و نصف المحور الأصغر للمرجع المحلي ، f تفطح المرجع المحلي ،
 Δa , Δf هما الفرق بين نصف المحور الأكبر و التقطيع لمرجع WGS84 ناقص القيم المماثلة للمرجع المحلي ،

$$b/a = 1 - f \quad (2-13)$$

$$e^2 = 2f - f^2 \quad (2-14)$$

$$R_N = a / (1 - e^2 \sin^2 \phi)^{1/2} \quad (2-15)$$

$$R_M = a(1 - e^2) / (1 - e^2 \sin^2 \phi)^{3/2} \quad (2-16)$$

توجد العديد من قيم عناصر التحويل المعلنة أو المنشورة وخاصة مع انتشار تطبيقات تقنية الجي بي أس التي تعتمد إحداثياتها على المنسوب الم المحلي WGS84. يقدم جدول (٢-٢) قيم عناصر التحويل من بعض المراجع الوطنية في الدول العربية إلى مرجع WGS84³²:

³² US National Imagery and Mapping Agency (NIMA), 2000, Department of Defense World Geodetic System 1984: Its definition and relationships with local geodetic system, Technical Report TR8350.2, Third Edition, Washington, DC, USA.

جداول تحويل المختصات

٢-٢ جدول

عناصر التحويل بين المرجع الجيوديسي العالمي WGS84 والمراجع الجيوديسية المحلية

عناصر التحويل (بالمتر)			عدد النقاط المستخدمة	الإليسويد	المرجع الوطني	الدولة
D Z	D Y	D X				
٢٠٤ (٣)	١٥- (٥)	١٦٦- (٥)	٢٢	Clark 1880	Adindan	السودان
٤٣١ (٨)	(٩) ٦	٢٦٣- (٦)	٥	Clark 1880	Carthage	تونس
١٤٥- (٢٥)	٧٧- (٢٥)	١١٢- (٢٥)	٤	International 1924	European 1950	
(٣) ٤٧	١٤٦ (٣)	(٥) ٣١	٩	Clark 1880	Merchich	المغرب
٣١٠ (٢٥)	٩٣- (٢٥)	١٨٦- (٢٥)	٣	Clark 1880	North Sahara 1959	الجزائر
٢١٩ (٢٥)	٢٠٦- (٢٥)	١٢٣- (٢٥)	٢	Clark 1880	Voirol 1960	
١٣- (٨)	١١٠ (٦)	١٣٠- (٣)	١٤	Helmert 1906	Old Egyptian 1906	مصر
١- (٢٥)	٢٥٠- (٢٥)	١٥٠- (٢٥)	٢	International 1924	Ain El Abd 1970	البحرين
(١٠) ٧	٢٣٦- (١٠)	١٤٣- (١٠)	٩	International 1924	Ain El Abd 1970	السعودية
٣٨١ (٢٥)	١٥٦- (٢٥)	٢٤٩- (٢٥)	٢	Clark 1880	Nahrwan	الإمارات
٣٦٩ (٢٥)	١٤٨- (٢٥)	٢٤٧- (٢٥)	٢	Clark 1880	Nahrwan	عمان
٢٢٤ (٩)	(٣) ١-	٣٤٦- (٣)	٧	Clark 1880	Oman	
٢٢ (٢٠)	٢٨٣- (٢٠)	١٢٨- (٢٠)	٣	International 1924	Qatar National	قطر

١٤١-	١٠٦-	١٠٣-	؟	International 1924	European 1950	العراق والكويت والأردن ولبنان و سوريا
٢٢٧	٢٤٧-	٧٣-	؟	Clark 1880	Voirol 1874	تونس و الجزائر

لكن يجب مراعاة الملاحظات التالية على قيم هذا الجدول:

١. قيم العناصر المذكورة هي للتحويل من المرجع المحلي إلى مرجع WGS84 وللتحويل من WGS84 إلى المرجع المحلي يجب عكس جميع الإشارات الجبرية (موجب بدلًا من سالب والعكس).
٢. القيم المذكورة لثلاثة عناصر فقط (ليس سبعة) وبالتالي فهي أقل دقة.
٣. الجدول يوضح أيضاً عدد نقاط الثوابت المساحية التي تم استخدامها في حساب هذه العناصر لكل مرجع محلي.
٤. العدد المذكور بين القوسين هو مؤشر للدقة المتوقعة لقيمة كل عنصر من عناصر التحويل.
٥. القيم في آخر سطرين من الجدول تم حسابها بطرق أخرى بخلاف رصد نقاط ثوابت مساحية وبالتالي فإن قيم الدقة المتوقعة غير متاحة.

منذ سنوات عديدة يقوم الباحثون الجيوديسيون في كل دولة بحساب قيم عناصر التحويل كلما توفرت لديهم بيانات نقاط جيوديسية معلوم إحداثياتها في كلا المرجعيين (المحلي و WGS84). وتخالف دقة عناصر التحويل من دراسة لأخرى طبقاً لعدد النقاط المعلومة و توزيعها ودقة إحداثياتها المستخدمة في حساب عناصر التحويل ، وذلك بهدف الوصول لأدق قيم لهذه العناصر مما يسهل عملية تحويل إحداثيات الجي بي أس إلى المرجع الوطني المستخدمة في إنتاج الخرائط لكل دولة. على سبيل المثال توجد العديد من قيم عناصر التحويل المنشورة في جمهورية مصر العربية منهم العناصر التالية^{٣٣} للتحويل من WGS84 إلى هلمت ١٩٠٦:

$$\Delta X = 123.842 \pm 0.96 \text{ m}$$

$$\Delta Y = -114.878 \pm 0.96 \text{ m}$$

$$\Delta Z = 9.590 \pm 0.96 \text{ m}$$

$$Rx = -1.35314 \pm 0.17 \text{ "}$$

$$Ry = -1.67408 \pm 0.35 \text{ "}$$

$$Rz = 5.24269 \pm 0.30 \text{ "}$$

$$s = -5.466 \pm 0.78 \text{ ppm (part per million)}$$

³³ Dawod, G., and Alnaggar, D., 2000, Optimum geodetic datum transformation techniques for GPS surveys in Egypt, Proceedings of Al-Azhar Engineering Sixth International Engineering Conference, Al-Azhar University, September 1-4, Volume 4, pp. 709-718.

كما توجد قيم أخرى نشرت حديثاً (لتحويل من هلمت ١٩٠٦ إلى WGS84) وتكون من^{٣٤}:

$$\begin{aligned}\Delta X &= -88.832 \pm 0.02 \text{ m} \\ \Delta Y &= 186.714 \pm 0.03 \text{ m} \\ \Delta Z &= 151.82 \pm 0.01 \text{ m} \\ Rx &= -1.305 \pm 2.21 " \\ Ry &= 11.216 \pm 1.57 " \\ Rz &= -6.413 \pm 1.84 " \\ s &= -6.413 \pm 1.84 \text{ ppm (part per million)}\end{aligned}$$

أيضاً توجد قيم منشورة لعناصر التحويل في السودان (لتحويل من الييسويد إلى Adindan) باستخدام نموذج مولودينسكي و تتكون من^{٣٥}:

$$\begin{aligned}\Delta X &= -146.0 \pm 0.89 \text{ m} \\ \Delta Y &= -33.5 \pm 0.89 \text{ m} \\ \Delta Z &= 205.3 \pm 89 \text{ m} \\ Rx &= -1.64 \pm 1.87 " \\ Ry &= 2.18 \pm 1.87 " \\ Rz &= -14.8 \pm 2.6 " \\ s &= -1.34 \pm 1.35 \text{ ppm (part per million)}\end{aligned}$$

٢-٨-٤-٢ الطرق غير التقليدية للتحويل بين المراجع:

عابت الطرق التقليدية للتحويل بين المراجع الجيوديسية عدة نقاط تقلل من دقة عناصر التحويل التي يتم حسابها باستخدام هذه الطرق. أهم هذه العيوب أن نظريات تطوير هذه النماذج الرياضية تعتمد على فرضية أن إحداثيات النقاط المعرومة في كلا المرجعين – المطلوب التحويل بينهما – هي إحداثيات دقيقة تماماً و خالياً من أي مصدر من مصادر الأخطاء Error. لكن هذا الوضع غير صحيح تماماً ، فمن المعروف أن معظم الشبكات الجيوديسية المحلية بها عيوب عديدة من وجهة النظر التقنية نظراً لأن معظم هذه الشبكات قد تم إقامتها في النصف الأول من القرن العشرين أو قبل ذلك حيث لم تكن الأجهزة المساحية بلغت مرحلة عالية

³⁴ Shaker, A., Saad, A., El-Sayed, M., and Ali, A., 2007, Remove-restore technique for improving the datum transformation process, Proceedings of the FIG working week conference, Honk Kong, China, May 13-17. Available from: http://www.fig.net/pub/fig2007/papers/ts_3b/ts03b_03_saad_etal_1218.pdf

³⁵ Ahamed, A. and Abdalla, K., 2006, Transformation of the Transit (Doppler) and GPS stations to Adindan datum, Sudan Engineering Society' Journal, V. 52, No. 47, September, pp. 15-23. Available at: http://www.ses-sudan.org/english/SESpublications/ses_jour/47/1523GozouliSESforma_t2.pdf

من الدقة قبل بدء ثورة الملاحة بالأقمار الصناعية. كما أن عدم وجود حاسبات آلية متقدمة في ذلك الوقت أدي لإتمام العمليات الحسابية و ضبط الشبكات بطريقة غير دقيقة بنسبة كبيرة. ذلك بالإضافة إلى أن دقة الشبكات الجيوديسية في أي مرجع وطني تختلف من منطقة جغرافية لأخرى (حيث لم يمكن تغطية دولة كاملة بشبكات جيوديسية إلا مع مرور بضعة سنوات) وهذا أيضا يعد العامل الثالث الذي لا تأخذه الطرق التقليدية في الاعتبار. وإذا أخذنا مصر كمثال فسنجد أن دقة الإحداثيات الجيوديسية لشبكات المثلثات الوطنية ذات الدرجة الأولى كانت أكبر من ٥ .٠ متر ، وهذه دقة متواضعة عند مقارنتها بدقة الإحداثيات الناتجة الآن من استخدام تقنية الجي بي أس والتي قد تصل إلى سنتيمترات وأحياناً مليمترات. وبالتالي فإن استخدام الطرق التقليدية لحساب عناصر التحويل بين مرجع WGS84 – على سبيل المثال - وأي مرجع محلي سيؤدي للحصول على دقة ديسيمترات عند حساب عناصر التحويل بين هذين المرجعين. ومن هنا بدأ منذ سنوات البحث عن طرق جديدة غير تقليدية لتحويل الإحداثيات بين المراجع الجيوديسية ، أو البحث عن وسائل جديدة تتيح زيادة دقة النماذج الرياضية التقليدية. وهناك العشرات من الطرق والوسائل التي تم تطويرها في هذا المجال و سنستعرض هنا البعض منهم.

أولي هذه الطرق غير التقليدية هو تمثيل الفروق بين الإحداثيات على المرجعين فراغيا spatial representation في صورة نموذج رياضي يغطي منطقة جغرافية معينة. وأهم ما يميز هذا الأسلوب أنه يستخدم الإحداثيات علي كلا المرجعين (النقاط المشتركة) كما هي وبالتالي فإن قيمة الفروق ستتغير من مكان جغرافي لآخر داخل المنطقة المطلوبة ولن تكون العلاقة الرياضية بين كلا المرجعين علاقة ثابتة علي امتداد هذه المنطقة كما كان الحال في الطرق التقليدية. وطبقت وزارة الدفاع الأمريكية هذا المبدأ في استبطاط ما يسمى سطوح التحويل conversion surfaces بين مرجع WGS84 والمراجع الجيوديسية الوطنية لمعظم دول العالم^{٣٦}. وتختلف طرق تمثيل الفروق باختلاف النماذج الرياضية المستخدمة ، وتعد طريقة ذات الحدود polynomial أكثر النماذج تطبيقا ، مع اختلاف عدد المعاملات في المتواالية الرياضية والتي تعتمد علي كم النقاط المشتركة المتاحة وذلك بتطبيق مبدأ الانحدار المتعدد Multiple Regression^{٣٧}. تم تطبيق هذا الأسلوب في مصر لاستبطاط معدلات رياضية وسطح تحويل بين مرجع WGS84 و هلمرت ١٩٠٦ وكانت النتائج كالتالي (شكل ٢٥-٢ و ٢٦-٢):

$$\Delta\phi'' = -320.474 + 30.6751 \phi_{84} + 3.0402 \lambda_{84} - 1.7380 \phi^2_{84} \\ + 0.0436 \phi^3_{84} - 0.0004 \phi^4_{84} - 0.1056 \lambda^2_{84} + 0.0012 \lambda^3_{84}$$

(2-17)

³⁶ US National Imagery and Mapping Agency (NIMA), 2000, Department of Defense World Geodetic System 1984: Its definition and relationships with local geodetic system, Technical Report TR8350.2, Third Edition, Washington, DC, USA.

³⁷ Shaker, A., Saad, A. , Al-sagheer, A., and Abd alhay, A. , 2003, Comparative study for different transformation models applied on geodetic coordinate systems, Civil Engineering Research Magazine (CERM), V. 25, No. 3, pp.1562-1590.

³⁸ Dawod, G., and Alnaggar, D., 2000, Optimum geodetic datum transformation techniques for GPS surveys in Egypt, Proceedings of Al-Azhar Engineering Sixth International Engineering Conference, Al-Azhar University, September 1-4, Volume 4, pp. 709-718.

$$\Delta\lambda'' = 4357.7294 - 734.6377 \lambda_{84} + 49.4639 \lambda^2_{84} - 0.1705 \phi_{84} \\ - 1.6600 \lambda^3_{84} + 0.0278 \lambda^4_{84} + 0.0037 \phi^2_{84} - 0.0002 \lambda^5_{84}$$

(2-18)

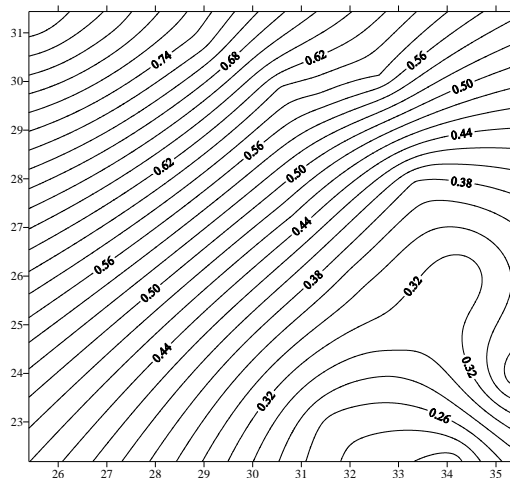
حيث $\Delta\phi$ و $\Delta\lambda$ هما الفرق بالثواني في دوائر العرض و خطوط الطول – بالترتيب – بين المرجعين ، و λ_{84} ، ϕ_{84} هما الإحداثيات الجغرافية على مجسم WGS84.

ومن ثم يمكن تحويل الإحداثيات الجغرافية إلى المرجع المحلي المصري هلمرت ١٩٠٦ من خلال:

$$\phi_{OED} = \phi_{84} + \Delta\phi \quad (2-19)$$

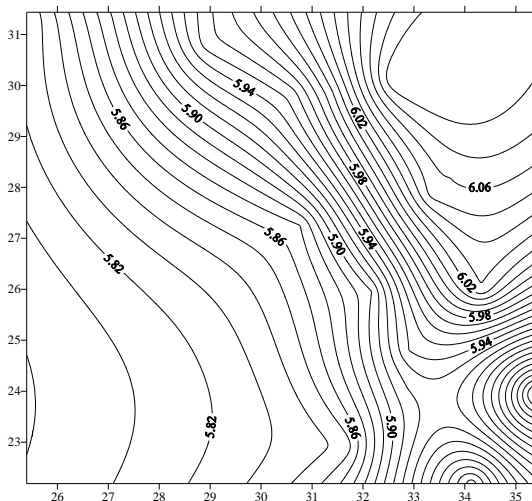
$$\lambda_{OED} = \lambda_{84} + \Delta\lambda \quad (2-20)$$

حيث λ_{OED} ، ϕ_{OED} هما الإحداثيات الجغرافية على مجسم هلمرت ١٩٠٦ . هذا وقد أثبتت نتائج اختبار هذا الأسلوب على نقاط تحكم check points جيوديسية في مصر أن دقة الأسلوب الجديد (عند حساب الإحداثيات الوطنية المحلية) تقدر بحوالي ٥.٠ متر مقارنة بدقة حوالي ٣٠.٠ متر للطريقة التقليدية. كما تم تقديم مقترن باستخدام هذا الأسلوب غير التقليدي وتطبيقه في سوريا.^{٣٩}.



شكل ٢٥-٢
سطح تحويل دوائر العرض بين WGS84 و هلمرت ١٩٠٦ في مصر

39 Habib, M. and Abu Rabah, R., 2006, An alternative approach for making maps compatible with GPS, Damascus University Journal, Vol. 22, No. 1, pp. 13-29.



شكل ٢٦-٢ سطح تحويل خطوط الطول بين WGS84 و هلمرت ١٩٠٦ في مصر

طريقة أخرى من الطرق غير التقليدية في التحويل بين المراجع تعتمد على استخدام أوزان مختلفة Different Weights لإحداثيات النقاط المشتركة المستخدمة في تقدير عناصر التحويل بين المرجعين^{٤٠}. المبدأ الأساسي وراء هذا الأسلوب هو أن دقة إحداثيات النقاط المشتركة ستختلف من نقطة لأخرى وبالتالي يجب تحديد وزن محدد يتناسب مع دقة كل نقطة وذلك أثناء تطبيق أي نموذج من النماذج التقليدية (مثل نموذج بورسا - وولف)، أي أن هذا الأسلوب هو تعديل للطريقة التقليدية بهدف زيادة جودتها في وصف العلاقة الرياضية بين مرجعين جيوديسين. كما تم أيضاً تطبيق طريقة العنصر المحدد Finite Element^{٤١} كأحد الطرق غير التقليدية في التحويل بين المراجع الجيوديسية.

٣-٨-٤-٢ التحويل بين المراجع ثلاثية و رباعية الأبعاد:

في معظم التطبيقات المساحية والخرائطية باستخدام تقنية الجي بي أس فأنتا تحصل على إحداثيات ثلاثية الأبعاد 3D على الإلبيسويド العالمي WGS84 الذي يمثل شكل و حجم الأرض. لكن في التطبيقات الجيوديسية عالية الدقة (مثلاً مراقبة تحركات القشرة الأرضية ومراقبة هبوط المنشآت الضخمة) لا يكفي بالتعامل مع الإحداثيات ثلاثية الأبعاد كقيم ثابتة لكن نحتاج لإطار مرجعي رباعي الأبعاد (متغير مع الزمن) لتتناسب له هذه الإحداثيات. وأفضل مرجع رباعي الأبعاد هو الإطار المرجعي الأرضي العالمي ITRF كما تناولنا سابقاً في ٤-٢-٤. وتتجدر الإشارة لوجود عدة تعريفات لالبيسويド WGS84 إلا أن آخر تعديل له هو المسمى

^{٤٠} Shaker, A., Saad, A., El-Sayed, M., and Ali, A., 2007, Remove-restore technique for improving the datum transformation process, Proceedings of the FIG working week conference, Honk Kong, China, May 13-17. Available from: http://www.fig.net/pub/fig2007/papers/ts_3b/ts03b_03_saad_etal_1218.pdf

^{٤١} Kohli, A. and Jennim L., 2008, Transformation of cadastral data between geodetic reference frames using finite element method, Proceedings of the FIG working week conference, Stockholm, Sweden, June 14-19.

G730 هو المستخدم في استقباط إحداثيات الجي بي أس ، وهذا التعديل متواافق مع إطار ITRF92 في حدود ١٠ سم^{٤٢} . أما لتحويل الإحداثيات من اليسيوид (G730) إلى WGS84(43) :
Bتعریفاته الأحدث نستخدم المعادلات التالية:

$$\begin{vmatrix} XS \\ YS \\ ZS \end{vmatrix} = \begin{vmatrix} X \\ Y \\ Z \end{vmatrix} + \begin{vmatrix} T1 & D & -R3 & R2 \\ T2 & R3 & D & -R1 \\ T3 & -R2 & R1 & D \end{vmatrix} \begin{vmatrix} X \\ Y \\ Z \end{vmatrix} \quad (2-21)$$

حيث X, Y, Z تمثل الإحداثيات على إطار ITRF2000 و XS, YS, ZS تمثل الإحداثيات على WGS84.

ولحساب قيمة أي عنصر P عند الزمن t فإننا نستخدم المعادلة:

$$P(t) = P(EPOCH) + P' (t - EPOCH) \quad (2-22)$$

حيث EPOCH هي سنة تعریف إطار ITRF المطلوب ، P' تمثل معدل تغیر هذا العنصر.

أولاً: التحويل من ITRF92 إلى ITRF2000

$$T1 = 1.47 \text{ cm, rate} = 0.00 \text{ cm/year}$$

$$T2 = 1.35 \text{ cm, rate} = -0.06 \text{ cm/year}$$

$$T3 = -1.39 \text{ cm, rate} = -0.14 \text{ cm/year}$$

$$D = 0.75 \text{ ppb, rate} = 0.01 \text{ ppb/year (ppb = part per billion)}$$

$$R1 = 0.00 ", rate = 0.00 "/year$$

$$R2 = 0.00 ", rate = 0.00 "/year$$

$$R3 = -0.0018 ", rate = 0.0002 "/year$$

$$EPOCH = 1988.0$$

ثانياً: التحويل من ITRF2000 إلى ITRF2005

$$T1 = 0.1 \text{ mm, rate} = -0.2 \text{ mm/year}$$

$$T2 = -0.8 \text{ mm, rate} = 0.1 \text{ mm/year}$$

$$T3 = -5.8 \text{ mm, rate} = -1.8 \text{ mm/year}$$

$$D = 0.4 \text{ ppb, rate} = 0.08 \text{ ppb/year (ppb = part per billion)}$$

$$R1 = 0.000 ", rate = 0.000 "/year$$

⁴² US National Imagery and Mapping Agency (NIMA), 2000, Department of Defense World Geodetic System 1984: Its definition and relationships with local geodetic system, Technical Report TR8350.2, Third Edition, Washington, DC, USA.

⁴³ International Terrestrial Reference Frame (ITRF) website at: <http://itrf.ensg.ign.fr/>

$R2 = 0.000$ " , rate = 0.000 "/year
 $R3 = 0.000$ " , rate = 0.000 "/year
EPOCH = 2000.0

كما توجد قيم منشورة لعناصر التحويل بين كل تعريفات ITRF في السنوات الأخيرة ^{٤٤}.

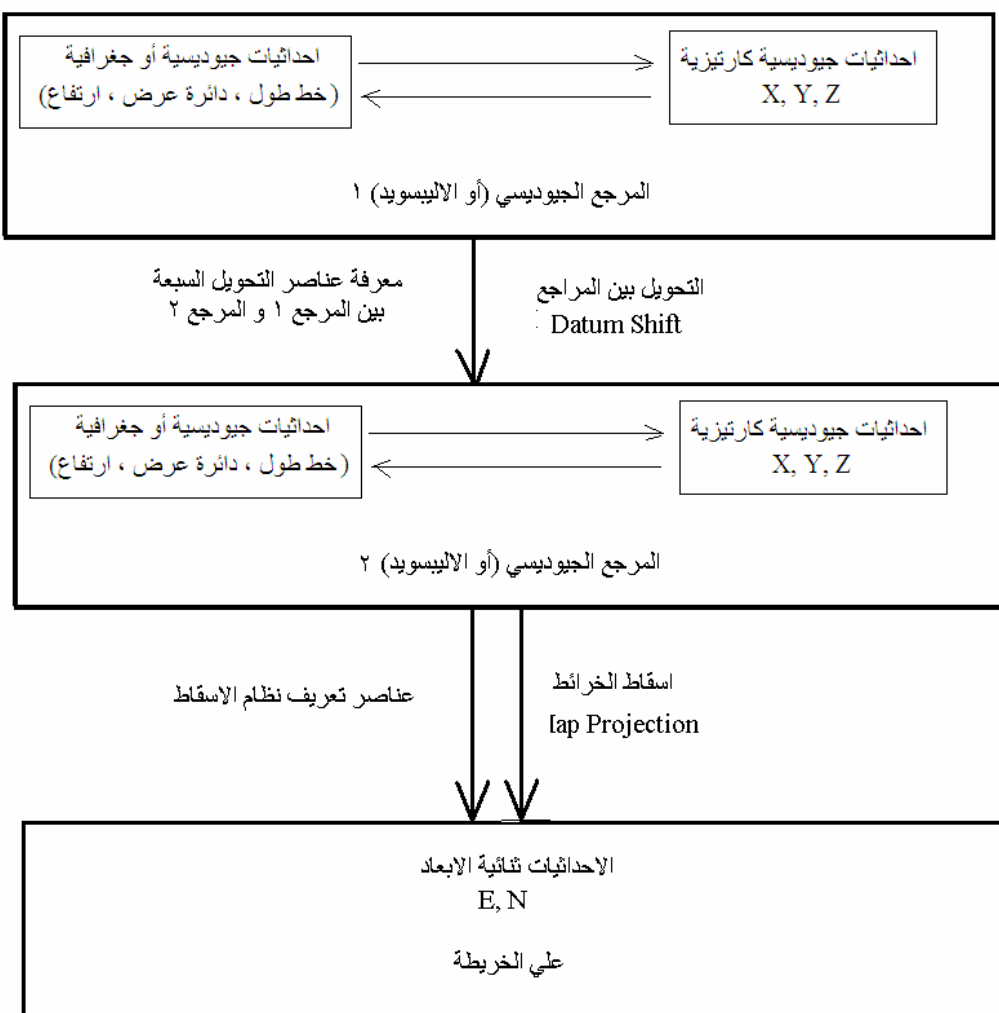
٩-٤-٢ العلاقة بين تحويل المراجع و إسقاط الخرائط:

قد يساور البعض لبساً كبيراً في خطوات تحويل الإحداثيات التي تقيسها على الطبيعة إلى تلك الموقعة على الخريطة ، وعلى الجانب الآخر فقد يظن البعض أن أجهزة تقنيات تحديد المواقع (مثل الجي بي أس) ليس بها أي خطأ وأن ما تنتجه من إحداثيات دقيق تماماً ! ومن هنا سنحاول أن نلخص - في خطوات مختصرة - ما قمنا بعرضه من أفكار في هذا الفصل (شكل ٢٧-٢).

- تتيح لنا تقنيات جيوديسيا الأقمار الصناعية تحديد الموضع على سطح الأرض ، لكن بالاعتماد على نموذج رياضي معين يمثل الأرض شكلاً و حجماً وهو الذي نطلق عليه اسم الاليسيود.
- كل نوع من الإحداثيات المرصودة يكون منسوباً لاليسيود محدد ، فمثلاً إحداثيات تقنية الجي بي أس تكون منسوبة للمجسم العالمي أو اليسيود WGS84.
- سواء كانت الإحداثيات من النوع الجغرافي أو الجيوديسي (خط الطول φ ودائرة العرض λ و الارتفاع الجيودي h) أو الإحداثيات الكارتيزية (X, Y, Z) فيمكن تحويل أي نوع للأخر (المعادلات ٢-٢ و ٥-٢) لكننا مازلنا على نفس الاليسيود.
- لكل دولة اليسيود معتمد قد تم تعديله ليناسبها (أصبح أسمه مرجع وليس اليسيود) يختلف من دولة لأخر ، وهو المرجع الذي تستخدمنه الدولة في إنتاج خرائطها.
- لا يمكن توقيع الإحداثيات المنسوبة لاليسيود عالمي (مثل إحداثيات الجي بي أس المنسوبة إلى WGS84) مباشرة على خرائط أي دولة وإلا فأنت توقيع خطأ في التوقيع قد يصل إلى مئات الأمتار.
- يتم تحويل الإحداثيات من اليسيود عالمي (مثل WGS84) إلى أي مرجع وطني أو محلي لدولة معينة من خلال معرفة عناصر التحويل السبعة (ΔX, ΔY, ΔZ, Rx, Ry, Rz, s) التي تصف العلاقة الرياضية بين كلا المرجعين ، باستخدام المعادلة ٢-٨ مثلاً.
- تختلف دقة حساب الإحداثيات على المرجع المحلي باختلاف دقة عناصر التحويل المستخدمة ، وللأعمال المساحية البسيطة يمكن استخدام قيم عناصر التحويل الموجودة في جدول ٢-٢ ، إلا أنه يجب ملاحظة أنها قيم غير دقيقة تماماً و لا تتناسب المشروعات الجيوديسية التي تتطلب دقة عالية حيث يجب البحث عن عناصر تحويل أكثر دقة.
- أما لتوقيع الإحداثيات الجيوديسية ثلاثة الأبعاد إلى إحداثيات ثنائية الأبعاد (الإحداثيات على الخريطة) فسنستخدم أحدي طرق إسقاط الخرائط ، حيث يجب معرفة معاملات الإسقاط (مثلاً ٥ معاملات لإسقاط ميريكاتور المستعرض: الإحداثي الشرقي الزائف ، الإحداثي الشمالي الزائف ، خط الطول المركزي ، دائرة العرض القياسية ، معامل

^{٤٤} Jekeli, C., 2006, Geodetic reference systems in geodesy, Lecture notes, Division of geodesy and geospatial science, School of Earth sciences, Ohio State University, Columbus, Ohio, USA.

- القياس) لكل طريقة. وحيث أن المرجع الجيوديسي و نظام إسقاط الخرائط يختلف من دولة لأخرى فأن معاملات الإسقاط أيضاً ستختلف من خرائط دولة لأخرى.
- أي أنتا في النهاية وللوصول إلى الإحداثيات على الخريطة تحتاج لمعرفة ١٢ عنصر (وأحياناً أكثر أو أقل): ٧ عناصر تحويل الإحداثيات بين المراجع ، ٥ عناصر (أو أكثر) لتعريف نظام الإسقاط.
- أخيراً يجب ملاحظة أن الارتفاع المقاس بتقنية الجي بي أس يكون منسوباً لسطح الالييسويدي العالمي WGS84 بينما الارتفاع المستخدم في الخرائط المساحية يكون منسوباً لمستوي متوسط سطح البحر MSL والفرق بينهما يسمى جيود الجيوديد ، أي أنه يجب وجود نموذج جيودي Geoid Model لكي نحوال ارتفاعات الجي بي أس إلى مناسب تستخدم في الخرائط الطبوغرافية و التفصيلية وكافة المشروعات الهندسية المدنية (سنتحدث عن الجيوديد لاحقاً).



شكل ٢٧-٢
خطوات تحويل و إسقاط الإحداثيات

الفصل الثالث

تقنية النظام العالمي لتحديد الموضع: الجي بي أس

١-٣ مقدمة:

مع بداية السبعينيات من القرن العشرين الميلادي اهتمت عدة جهات حكومية في الولايات المتحدة الأمريكية (مثل وزارة الدفاع DoD و وزارة النقل DOT وهيئة الطيران الفضاء ناسا NASA) بتطوير نظام ملاحي يعتمد على رصد الأقمار الصناعية. وتم إطلاق نظام ترزيت Transit في عام ١٩٦٤ ، إلا أنه سرعان ما لم يلبي حاجات القطاعين العسكري والمدني وخاصة في عنصري الدقة والاتاحية وبدأ التفكير إما في تطوير هذا النظام أو البحث عن بديل جديد له^١. بدأت عدة جهات علمية و حكومية اقتراح نظم جديدة و في عام ١٩٦٩ قامت وزارة الدفاع بإنشاء برنامج جديد تحت اسم البرنامج العسكري للملاحة بالأقمار الصناعية DNSS لتوحيد الجهود وراء إطلاق نظام ملاحي جديد. وبالفعل تم اقتراح تقنية جديدة تحت اسم "النظام العالمي الملاحي لتحديد الموضع بقياس المسافة والزمن باستخدام الأقمار الصناعية NAVigation Satellite Timing And Ranging Global Positioning System" أو اختصارا باسم NAVSTAR GPS ، إلا أنه عرف علي نطاق واسع – بعد ذلك – باسم النظام العالمي لتحديد الموضع أو اختصاراً "جي بي أس GPS". تم إطلاق أول قمر صناعي في هذا النظام في ٢٢ فبراير ١٩٧٨ وفي ٨ ديسمبر ١٩٩٣ تم إعلان اكتمال النظام مبدئيا (IOC) Initial Operational Capability ، أما الإعلان النهائي لاكتمال النظام رسميًا (FOC) فقد كان في ٢٧ أبريل ١٩٩٥ . وفي بدايته كان الجي بي أس مقصورا علي الاستخدامات العسكرية للقوات المسلحة الأمريكية وحلفاؤها حتى أعلن الرئيس الأمريكي ريجان في عام ١٩٨٤ السماح للمدنيين باستخدامه (لكن ليس جميع مميزاته أو مستوى الدقة العالمية في تحديد الموضع !) ، وكان ذلك بعد حادثة إسقاط القوات المسلحة الروسية لطائرة ركاب كورية مدنية بعد دخولها بالخطأ في المجال الجوي الروسي^٢ . ويدار الجي بيأس من خلال وزارة الدفاع الأمريكية وهي الجهة المسئولة عن إطلاق الأقمار الصناعية و مراقبتها و التأكد من كفاءة تشغيلها واستبدالها كل فترة زمنية بحيث تكون إشارات هذه التقنية متاحة ٢٤ ساعة يوميا وعلي مدار كل الأيام لجميع المستخدمين علي سطح الأرض. وفي عام ١٩٩٦ تم تكوين لجنة عليا تضم عدد من الوزارات الأمريكية لكي تشرف علي نظام الجي بيأس و تضع السياسات المستقبلية الازمة ، وسميت باللجنة التنفيذية مابين الوزارات Inter-Agency GPS Executive Board أو آخر صارا IGEB (الرابط على شبكة الانترنت فـ: <http://www.igeb.gov/charter.shtml>).

¹ Kaplan, E. and Hegarty, C., 2006, Understanding GPS: Principles and applications, Second Edition, Artech House, Inc., Boston, USA.

² US Army Corps of Engineering, 2003, NAVSTAR Global Positioning System Surveying, Technical Manual No. EM1110-1-1003, Washington, D.C., USA.

تشتمل تقنية الجي بي إس على العديد من المميزات التي ساعدت على انتشارها بصورة لم يسبق لها مثيل ومنها^٣:

- متاح طوال ٢٤ ساعة يومياً ليلاً ونهاراً وعلى مدار العام كله.
- يغطي جميع أنحاء الأرض.
- لا يتاثر بأية ظروف مناخية مثل درجات الحرارة والمطر والرطوبة والرعد والرول.
- الدقة العالية في تحديد الموضع لدرجة تصل إلى ملليمترات في بعض التطبيقات وطرق الرصد الجيوديسية أو دقة أمتار قليلة (٥٠ متر في المتوسط^٤) للتطبيقات الملاحية.
- الوفرة الاقتصادية بحيث أن تكلفة استخدام الجي بي إس تقل بنسبة أكبر من ٢٥% بالمقارنة بأي نظام ملاحي أرضي أو فضائي آخر.
- لا يحتاج لخبرة تقنية متخصصة لتشغيل أجهزة الاستقبال (وخاصة المحمولة يدوياً) لدرجة أن بعض مستقبلات الجي بي إس أصبحت تدمج في الساعات اليدوية وأجهزة الاتصال التليفوني.

تتعدد التطبيقات المدنية لتقنية الجي بي إس بصورة كبيرة في مجالات متعددة مثل^٥ (شكل ٣-١): الملاحة البرية وتحديد موقع المركبات المتحركة في الشوارع بغرض زيادة كفاءة النقل البري ، الملاحة الفضائية و تحديد موقع المركبات الفضائية الخارجية ، الملاحة الجوية وتحديد موقع الطائرات أثناء الهبوط والإقلاع و طوال مسار الرحلات الجوية ، الزراعة ورسم خرائط التربة وإرشاد الجرارات الزراعية أثناء عملها ، الملاحة البحرية وتحديد موقع السفن طوال مسار الرحلة ، السكك الحديدية والتقطيرات لموقع القطارات بهدف تحسين مستوى السلامة والأمان و كفاءة التشغيل ، التطبيقات البيئية مثل تحديد موقع محطات قياس المد والجزر وربط بياناتها على المستوى العالمي بغرض مراقبة ظاهرة ارتفاع منسوب سطح البحر وكذلك مراقبة حركة التسربات من حاملات البترول و مراقبة و رسم خرائط لمناطق حرائق الغابات ، السلامة العامة و الغوث من الكوارث الطبيعية وخاصة في استخدامات فرق البحث وإنقاذ المناطق التي تعرضت لمثل هذه الكوارث وأيضاً الاستجابة السريعة لحالات الطوارئ ، تطبيقات قياس و تزامن الوقت مثل دمج بيانات محطات رصد مواقع الزلازل وكذلك ضبط تزامن أجهزة الكمبيوتر للبنوك العالمية متعددة الفروع وأيضاً لشركات توزيع الكهرباء ، بالإضافة لمجال الهندسة المساحية و إنشاء الخرائط.

تعددت التطبيقات المساحية لتقنية الجي بي إس بصورة كبيرة في السنوات الماضية وتشمل بعضها:

- إنشاء الشبكات الجيوديسية للثوابت الأرضية الدقيقة و تكتيف الشبكات القديمة منها (عن طريق إضافة محطات جديدة لها).
- رصد تحركات القشرة الأرضية.

³ صالح، حسين عزيز ، ٢٠٠٨ ، نظام التعين الاحادي العالمي: الجي بي إس ، متاح في:
<http://iridia.ulb.ac.be/~hsaleh/>

⁴ Dawod, G., 2007, New strategies in the utilization of GPS technology for mapping and GIS activities in Egypt, Civil Engineering Research Magazine (CERM), V. 29, No. 1 (Jan.), pp. 292-310.

⁵ مكتب الجي بي إس الرسمي الأمريكي ، ٢٠٠٨ ، نظام التموضع العالمي ، متاح في:
<http://www.gps.gov/systems/gps/arabic.html>

- رصد إزاحة أو هبوط المنشآت الحيوية كالكباري و الجسور و السدود و القنطر.
- أعمال الرفع المساحي التفصيلي و الطبوغرافي.
- إنتاج خرائط طبوغرافية و تفصيلية دقيقة و في صورة رقمية.
- تحديد الموضع لعلامات الضبط الأرضي للصور الجوية
- Aerial Remote Photogrammetry و المرئيات الفضائية لنظم الاستشعار عن بعد Sensing.
- تطبيقات المساحة التصويرية الأرضية Close-Range Photogrammetry.
- تطوير نماذج الجيوبعد الوطنية بالتكامل مع أسلوب الميزانية الأرضية.
- تجميع البيانات المكانية عند استخدام تقنية نظم المعلومات الجغرافية Geographic Information Systems أو GIS ، وخاصة لتطبيقات تحديد موقع الخدمات المدنية Location-Based Services وتطبيقات النقل الذكي Intelligent Transportation و أيضا تطبيقات نظم معلومات الأراضي Land Information Systems أو LIS Systems.
- الربط بين المراجع الجيوديسية المختلفة للدول في حالات المشروعات الحدودية المشتركة.
- نظم الخرائط المحمولة Mobile Mapping Systems أو MMS.
- الرفع الهيدروغرافي و تطوير الخرائط البحرية و النهرية.
- تثبيت و توثيق موقع العلامات الحدودية بين الدول.
- بدمج تقنيتي الجي بي أس و نظم المعلومات الجغرافية أمكن إنتاج خرائط رقمية و قواعد بيانات محمولة يدويا للمدن بكافة تفاصيلها و خدماتها.

⁶ Taylor, G., and Blewitt, G., 2006, Intelligent positioning: GIS-GPS unification, John Wiley & Sons Ltd, West Sussex, England.

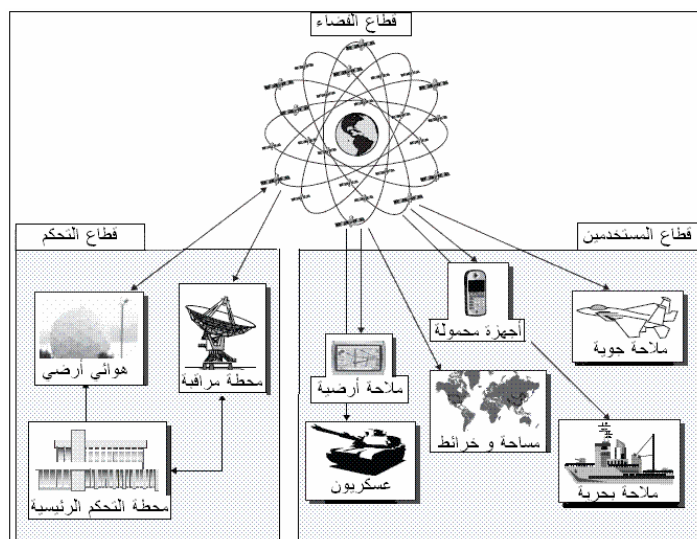


شكل ١-٣
بعض مجالات تطبيقات الجي بي أس

٢-٣ مكونات نظام الجي بي أس:

يتكون نظام الجي بي أس من ثلاثة أجزاء أو أقسام (شكل ٢-٣) هي:

- قسم الفضاء ويحتوي الأقمار الصناعية .Space Segment
- قسم التحكم و السيطرة .Control Segment
- قسم المستقبلات الأرضية أو المستخدمون .User Segment



شكل ٢-٣
أقسام الجي بي أس

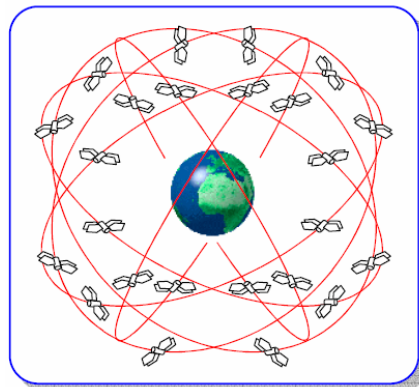
و سنستعرض الملامح الرئيسية لكل قسم من هذه الأقسام الثلاثة.

٢-١-١ قسم الفضاء أو الأقمار الصناعية:

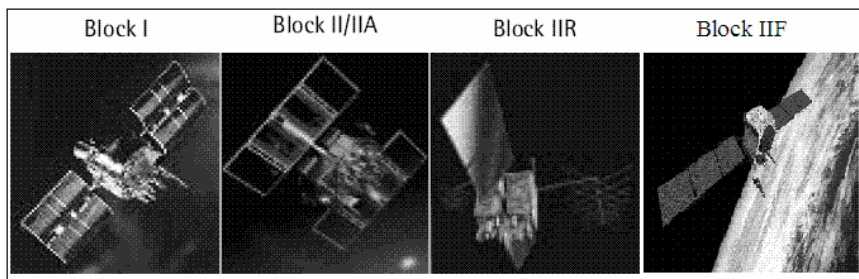
يتكون قسم الفضاء - اسمايا - من ٢٤ قمرا صناعيا (٢١ قمر عامل + ٣ أقمار احتياطية spare موجودة في الفضاء) موزعة في ٦ مدارات بحيث يكون هناك ٤ أقمار صناعية في كل مدار مما يسمح بالتعطية الدائمة (أي وجود على الأقل ٤ أقمار صناعية) لكل موقع على سطح الأرض في أي لحظة طوال اليوم (شكل ٣-٣). وقد يصل عدد الأقمار الصناعية في وقت معين إلى ما هو أكثر من ٢٤ قمرا طبقا لخطة إطلاق الأقمار الصناعية. وتدور الأقمار الصناعية في مدارات شبه دائرية على ارتفاع حوالي ٢٠٢٠٠ كيلومتر من سطح الأرض ليكمل كل قمر صناعي دورة كاملة حول الأرض في مدة ١١ ساعة و ٥٦ دقيقة بالتوقيت الزمني الأرضي العالمي GMT. ويتراوح وزن القمر الصناعي بين ٤٠٠ و ٨٥٠ كيلوجرام ويبلغ عمره الافتراضي (للاجيال الحديثة من الأقمار الصناعية) حوالي سبعة سنوات و نصف، ويستخدم طاقته من خلال صفيحتين لالتقاط الطاقة الشمسية بالإضافة لوجود ثلاثة بطاريات احتياطية من النيكل تزوده بالطاقة عندما يمر بمنطقة ظل الأرض. ويقوم كل قمر صناعي بتوليد موجتين على ترددتين مختلفتين Frequency يسموا L1 و L2 بالإضافة لشفرتين Codes و رسالة ملاحية Navigation Message يتم بثهم على هذين التردددين. كما يحتوي كل قمر على

عدد من الساعة الذرية **Atomic Watch** سواء من نوع السيزيوم cesium أو الرابيديوم rubidium.

تغيرت مواصفات و كفاءة الأقمار الصناعية في نظام الجي بي أس على مر السنوات بحيث يمكن تقسيم الأقمار إلى عدد من الأجيال (شكل ٤-٣). بدأت أقمار الجيل الأول - يسمى Block I - و عددهم ١١ قمراً مع بداية تقنية الجي بي أس منذ إطلاق القمر الأول في ٢٢ فبراير ١٩٧٨ وكان آخر أقمار هذا الجيل الذي أطلق في ٩ أكتوبر ١٩٨٥^٧. وكان مدار أقمار الجيل الأول ٦٣° على مستوى دائرة الاستواء وال عمر الافتراضي المصمم للقمر الواحد هو أربعة سنوات و نصف (إلا أن بعضهم بقي يعمل بكفاءة لحوالي عشرة سنوات). وكان الجيل الثاني من الأقمار الصناعية Block II/IIA أكثر كفاءة من سابقه وتكون من ٢٨ قمراً صناعياً تم إطلاقها في الفترة بين فبراير ١٩٨٩ و نوفمبر ١٩٩٧ بحيث يبلغ مدار القمر الصناعي ٥٥° على دائرة الاستواء ، و زاد العمر الافتراضي للقمر الواحد إلى سبعة سنوات و نصف. ثم تعددت الأجيال الفرعية من الجيل الثاني لتصبح هناك أقمار IIR (٢١ قمر بعمر افتراضي يبلغ عشرة سنوات) وأقمار IIR-M وأقمار IIF (بعمر افتراضي يصل إلى خمسة عشر عاماً) ، كما بدأ العمل في تصميم أقمار الجيل الثالث من الأقمار الصناعية Block III.



شكل ٣-٣
قطاع الفضاء في تقنية الجي بي أس



شكل ٤-٣
نماذج للأقمار الصناعية في نظام الجي بي أس

⁷ Al-Rabbany, A., 2002, Introduction to GPS: The Global Positioning System, Artech House, Inc., Boston, USA.

٢-٢-٣ قسم التحكم و المراقبة:

يتكون قسم التحكم و المراقبة من محطة التحكم الرئيسية في ولاية كلورادو الأمريكية وأربعة محطات مراقبة في عدة مواقع حول العالم (شكل ٥-٣). تستقبل محطات المراقبة كل إشارات الأقمار الصناعية وتحسب منها المسافات لكل الأقمار المرصودة وترسل هذه المعلومات بالإضافة لقياسات الأحوال الجوية إلى محطة التحكم الرئيسية والتي تستخدم هذه البيانات في حساب الموضع اللاحق للأقمار وسلوك (تصحيحات) ساعاتها وبالتالي تكون الرسالة الملاحية لكل قمر صناعي^٨. تقوم محطة التحكم الرئيسية بعمل التصحيحات اللازمة لمدارات الأقمار الصناعية وكذلك تصحيح ساعات الأقمار ، ثم تقوم بإرسال هذه المعلومات للأقمار الصناعية (مرة كل ٢٤ ساعة) والتي تقوم بتعديل مساراتها وأزمانها وبعد ذلك ترسل هذه البيانات المصححة كإشارات إلى أجهزة الاستقبال الأرضية.



شكل ٥-٣
قسم التحكم و السيطرة

٣-٢-٣ قسم المستقبلات الأرضية:

يضم هذا القطاع أجهزة استقبال الجي بي أس (مستخدمو النظام) التي تستقبل إشارات الأقمار الصناعية وتقوم بحساب موقع – إحداثيات – المكان الموجود به المستقبل سواء على الأرض أو في الجو أو في البحر ، بالإضافة لسرعة واتجاه حركة المستقبل إن كان متحركا أثناء فترة الرصد (شكل ٦-٣). بصفة عامة يتكون جهاز الاستقبال من: هوائي مع مضخم إشارة ، ووحدة تردد راديوبي أو لاقط الإشارات ، مولد ترددات ، وحدة تأمين الطاقة الكهربائية ، وحدة التحكم المستخدم ، بالإضافة إلى وحدة ذاكرة لتخزين القياسات.

تتعدد أنواع أجهزة الاستقبال بصورة كبيرة جدا طبقاً لعدد من العوامل (ستعرض بالتفصيل مواصفات الأجهزة الهندسية لاحقاً):

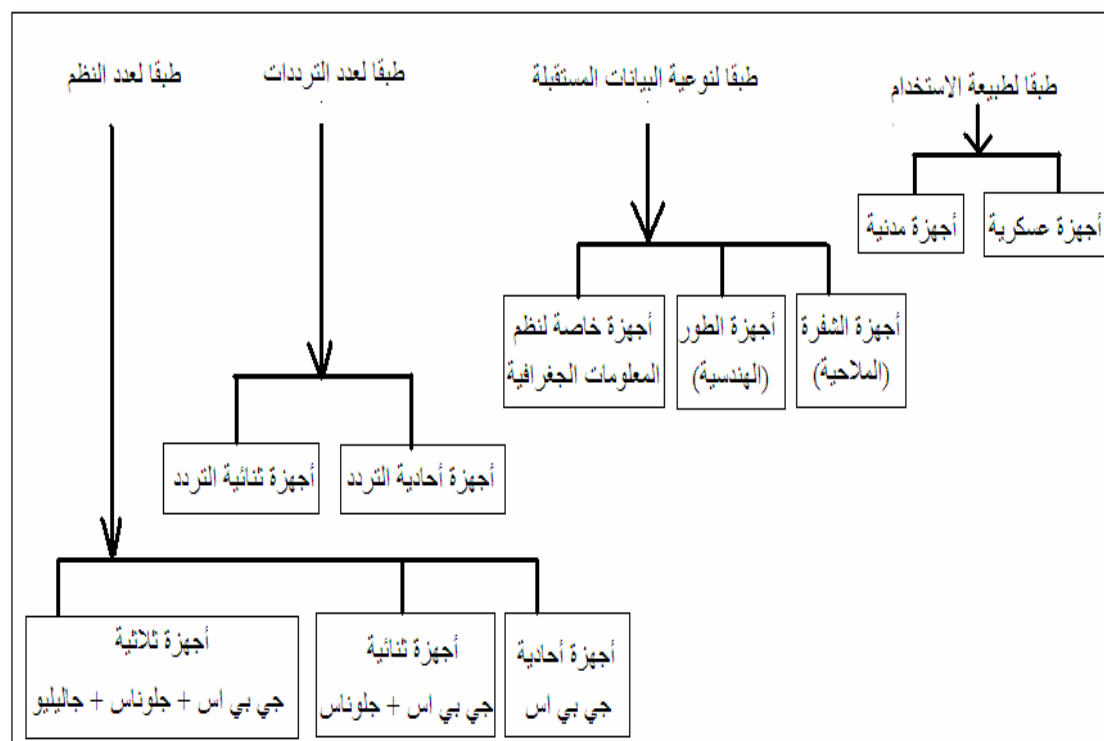
^٨ حموي ، هيثم نوري ، ١٩٩٧ ، مدخل إلى جيوديسيا الأقمار الصناعية و مقدمة مسحية في نظام التوضع العالمي ، فيينا ، النمسا.

أ- طبقاً لطبيعة الاستخدام: توجد أجهزة استقبال عسكرية (تستطيع التعامل مع الشفرة العسكرية التي تبثها الأقمار الصناعية وتفك شفرتها للحصول على دقة عالية جداً في حساب الموضع) وأجهزة استقبال مدنية.

ب- طبقاً لنوعية البيانات المستقبلة: توجد مستقبلات تسمى بأجهزة الشفرة Code ومشهورة أيضاً باسم الأجهزة الملاحية Navigation Receivers أو الأجهزة المحمولة يدوياً Hand-Held Receivers ، وتوجد أجهزة تسمى بأجهزة قياس الطور Phase Receivers ومعرفة أيضاً باسم الأجهزة الهندسية أو الجيوديسية Geodetic Receivers ، وظهرت حديثاً الفئة الثالثة من الأجهزة والتي أطلق عليها أجهزة تجميع البيانات لنظم المعلومات الجغرافية GIS-Specific Receivers (شكل ٧-٣).

ج- طبقاً لعدد الترددات: توجد أجهزة تستقبل تردد واحد من الترددتين الذين تبثهما الأقمار الصناعية وتسمى أجهزة أحادية التردد Single-Frequency Receivers أو أجهزة التردد الأول L1- Receivers ، وأجهزة ثنائية التردد Dual-Frequency Receivers التي تستطيع استقبال كلاً ترددتي الجي بي أس L1 and L2 (وهي أغلى قليلاً من الأجهزة أحادية التردد).

د- طبقاً لعدد النظم: هناك أجهزة تتعامل فقط مع إشارات نظام الجي بي أس ، وأجهزة ثنائية النظم تستقبل الإشارات من كلاً من الجي بي أس والنظام الملاحي الروسي جلوناس، وأجهزة ثلاثة النظم حيث يمكنها أيضاً استقبال إشارات النظام الملاحي الأوروبي غاليليو عند بدء العمل به،



شكل ٦-٣
أنواع أجهزة استقبال الجي بي أس



شكل ٧-٣

بعض أجهزة استقبال الجي بي أس

٣-٣ فكرة عمل الجي بي أس في تحديد الموضع:

كما سبق الإشارة في الفصل الأول فإن نظرية عمل نظم الملاحة أو الجيوديسيا بالأقمار الصناعية تعتمد على مبدأ قياس الزمن الذي تستغرقه الموجة الراديوية منذ صدورها من وحدة البث (القمر الصناعي) وحتى وصولها لوحدة الاستقبال (المستقبل) ، ومن ثم يمكن حساب المسافة بين القمر الصناعي و جهاز الاستقبال من المعادلة:

$$D = c \cdot \Delta t \quad (3-1)$$

حيث D المسافة بين القمر الصناعي و جهاز الاستقبال ، c سرعة الإشارة وتتساوى سرعة الضوء = ٢٩٩٧٩٢.٤٥٨ كيلومتر/ثانية ، Δt فرق الزمن = زمن الاستقبال – زمن الإرسال لهذه الموجة الراديوية.

يمكن التعبير عن هذه المسافة بدلالة الإحداثيات الجيوديسية الكارتيزية لكلا من القمر الصناعي (X_r, Y_r, Z_r) و جهاز الاستقبال (X_s, Y_s, Z_s) كالتالي:

$$D = \sqrt{[(X_s - X_r)^2 + (Y_s - Y_r)^2 + (Z_s - Z_r)^2]} \quad (3-2)$$

حيث أن إحداثيات القمر الصناعي في أي لحظة تكون معلومة فأن المعادلة (٣-٣) تحوي على ٣ قيم مجهرولة وهم إحداثيات جهاز الاستقبال ذاته (X_r, Y_r, Z_r) . مما يدل على أنه يلزم وجود ٣ معادلات حتى يمكن حلهم معاً آننا simultaneously لحساب قيم الإحداثيات الثلاثة لجهاز الاستقبال. أي بمعنى آخر: يلزم لجهاز الاستقبال رصد ٣ أقمار صناعية في نفس اللحظة.

حيث أن سرعة الإشارة (سرعة الضوء) كبيرة جداً فأنه للوصول لدقة عالية في حساب المسافة يتطلب دقة عالية أيضاً في قياس الزمن أو حساب فرق الزمن Δt في المعادلة (١-٣). لاحظ أن الإشارة لا تستغرق أكثر من ٦٠ ثانية لقطع مسافة ٢٠،٠٠٠ كيلومتر من القمر الصناعي إلى سطح الأرض. إن الساعة الموجودة في القمر الصناعي من النوع الذري عالي الدقة جداً في تحديد زمن الإرسال (زمن خروج الإشارة من القمر الصناعي) لكن الساعة الموجودة في جهاز الاستقبال ليست بنفس هذه الدقة العالمية (وإلا فإن سعرها سيكون مرتفعاً جداً بصورة تجعل سعر أجهزة الاستقبال غير متناول لكل المستخدمين). أبتكر العلماء فكرة جديدة وذكية للتغلب على مشكلة عدم دقة الساعة في أجهزة الاستقبال ، وهي إضافة قيمة الخطأ في ساعة المستقبل وحلها من خلال معادلة رياضية. أي أن المعادلة (١-٣) والمعادلة (٢-٣) ستتحولان إلى:

$$D = c \cdot (\Delta t + E_t) \quad (3-3)$$

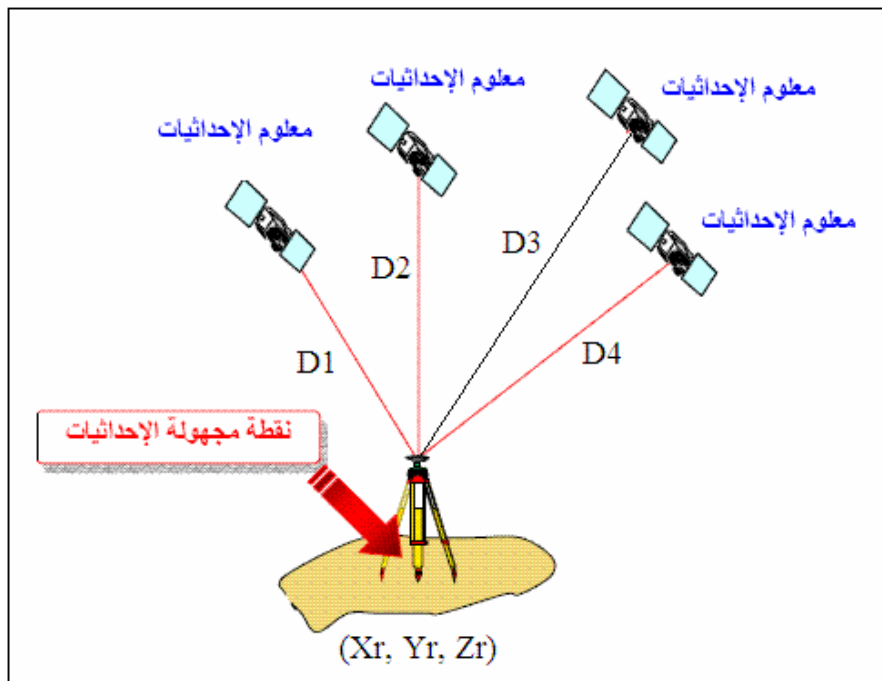
$$D + \Delta D = \sqrt{[(X_s - X_r)^2 + (Y_s - Y_r)^2 + (Z_s - Z_r)^2]} \quad (3-4)$$

حيث E_t هو الخطأ المطلوب حسابه لزمن الاستقبال الذي يقيسه جهاز المستقبل ، ΔD هو قيمة الخطأ في المسافة المحسوبة بين القمر الصناعي و جهاز الاستقبال. وبالتالي فأن عدد القيم المجهولة **Unknowns** أصبح ٤ وليس ٣ (ثلاثة إحداثيات لموقع جهاز الاستقبال X_r, Y_r, Z_r وتصحيح المسافة الناتج عن خطأ ساعة الجهاز ΔD) مما يلزم وجود ٤ معادلات حتى يمكن حساب قيم العناصر الأربع المجهولة (شكل ٨-٣):

$$\begin{aligned} D_1 + \Delta D_1 &= \sqrt{[(X_{s1} - X_r)^2 + (Y_{s1} - Y_r)^2 + (Z_{s1} - Z_r)^2]} \\ D_2 + \Delta D_2 &= \sqrt{[(X_{s2} - X_r)^2 + (Y_{s2} - Y_r)^2 + (Z_{s2} - Z_r)^2]} \\ D_3 + \Delta D_3 &= \sqrt{[(X_{s3} - X_r)^2 + (Y_{s3} - Y_r)^2 + (Z_{s3} - Z_r)^2]} \\ D_4 + \Delta D_4 &= \sqrt{[(X_{s4} - X_r)^2 + (Y_{s4} - Y_r)^2 + (Z_{s4} - Z_r)^2]} \end{aligned} \quad (3-5)$$

حيث D_1, D_2, D_3, D_4 المسافات المقابلة بين جهاز الاستقبال و الأقمار الصناعية الأربع ، (X_{s1}, Y_{s1}, Z_{s1}) و (X_{s2}, Y_{s2}, Z_{s2}) و (X_{s3}, Y_{s3}, Z_{s3}) و (X_{s4}, Y_{s4}, Z_{s4}) تمثل إحداثيات الأقمار الصناعية الأربع ، (X_r, Y_r, Z_r) تمثل إحداثيات جهاز الاستقبال ، E_r يمثل خطأ زمن جهاز الاستقبال.

إن: المطلوب لحل مجموعة المعادلات هذه هو أن يقوم جهاز الاستقبال برصد ٤ أقمار صناعية في نفس اللحظة. وهذا هو **الشرط الأساسي** لحساب الإحداثيات ثلاثية الأبعاد باستخدام الجي بي أس (نكتفي برصد ٣ أقمار صناعية فقط لحساب الإحداثيات ثنائية الأبعاد أي بإهمال حساب ارتفاع الموقع). فإذا توفر لدينا عدد من المعادلات أكبر من ٤ (أي تم رصد أكثر من ٤ أقمار صناعية في نفس اللحظة) فستؤدي هذه الأرصاد الزائدة **Redundant Measurement** إلى زيادة دقة و جودة حل المعادلات ومن ثم زيادة دقة الإحداثيات المستتبطة.



شكل ٨-٣
مبدأ الرصد في نظام الجي بي أس

٤-٤ إشارات الأقمار الصناعية في الجي بي أس:

يقوم كل قمر صناعي من أقمار الجي بي أس بإرسال إشارتين راديوتين على تردددين **carrier frequencies** ومحمل عليهما نوعين من الشفرات الرقمية **digital codes** بالإضافة لرسالة ملاحية **navigation message**. يبلغ تردد الإشارة الأولى - تسمى **L1** - ١٥٧٥.٤٢ ميجا赫تر بينما يبلغ تردد الإشارة الثانية - تسمى **L2** - ١٢٢٦.٦٠ ميجا赫تر. كما يبلغ طول الموجة **wavelength** لتردد **L1** ١٩ سنتيمتر بينما يبلغ ٤.٤ سنتيمتر لتردد **L2**. السبب الرئيسي وراء وجود تردددين صادرتين من كل قمر صناعي هو تقدير وحساب الخطأ الذي تتعرض له الإشارات عند مرورها في طبقات الغلاف الجوي (ستتعرض للأخطاء بالتفصيل لاحقاً). أما طريقة وضع **modulation** الشفرة على التردد الحامل له فتشتت من قمر صناعي لآخر حتى يتم تقليل أخطاء تداخل الإشارات.

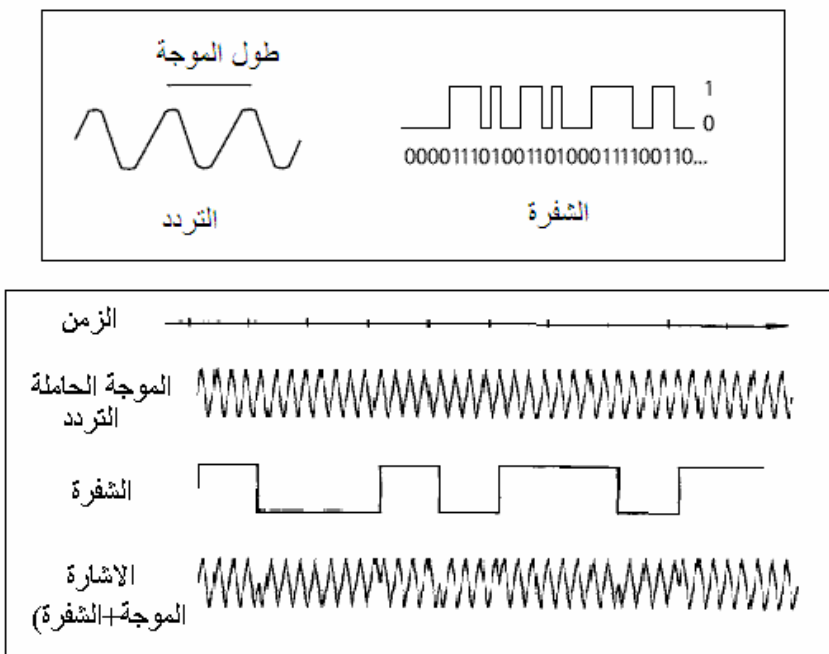
الشفرة الأولى تسمى شفرة الحصول الخشن **Coarse-Acquisition Code** وترمز لها بالرمز **C/A** وأحياناً نسميها الشفرة المدنية (لأنها المتوفرة للأجهزة المدنية للتعامل معها وقراءة محتوياتها) ، بينما الشفرة الثانية تسمى الشفرة الدقيقة **Precise Code** ويرمز لها بالرمز **P** والبعض يطلق عليها أحياناً اسم الشفرة العسكرية (لأن التعامل معها وقراءتها لا يتم إلا باستخدام أجهزة استقبال خاصة غير متاحة إلا لأفراد الجيش الأمريكي). تكون كل شفرة من سهل من الأرقام صفر و واحد ، ولذلك تعرف الشفرة بمصطلح الضجة العشوائية الزائفة **Pseudo Random Noise** أو **PRN** لأن الشفرة تشبه الإشارة العشوائية ، لكن في الحقيقة فإن الشفرة يتم توليدتها من خلال نموذج رياضي وليس عشوائية (شكل ٩-٣). تحمل شفرة **C/A** على التردد الأول **L1** فقط بينما تحمل الشفرة **P** على كلا التردددين **L1**، **L2**. تجدر الإشارة - دون الدخول في تفاصيل فنية معقدة - أن الشفرة **P** أدق كثيراً من الشفرة

C/A ولذلك فقد تم منع إمكانية قراءتها من قبل المستخدمين المدنيين منذ فبراير ١٩٩٤^٩ وحصرها فقط على التطبيقات العسكرية للولايات المتحدة الأمريكية وحلفاؤها (عن طريق إضافة قيمة مجهولة لها تسمى W-code بحيث تتغير الشفرة من P إلى ما يسمى الشفرة -٢ code).

وبذلك يمكن القول أن نظام الجي بي أس يقدم نوعين من الخدمات:

- خدمة التحديد القياسي للموضع Standard Positioning Service أو اختصارا SPS والتي تعتمد على استقبال وقراءة واستخدام البيانات من الشفرة المدنية C/A ، ولذلك تسمى هذه الخدمة بالخدمة المدنية.
- خدمة التحديد الدقيق للموضع Precise Positioning Service أو اختصارا PPS والتي تعتمد على استقبال وقراءة واستخدام البيانات من الشفرة الدقيقة P ولذلك تسمى هذه الخدمة بالخدمة العسكرية.

ت تكون الرسالة الملاحية لكل قمر صناعي من مجموعة من البيانات ، وهي تضاف على كل الترددتين L1، L2. تحتوي بيانات الرسالة الملاحية على إحداثيات القمر الصناعي ، معلومات عن حالة و كفاءة القمر (صحة القمر satellite health) وأيضا الأقمار الأخرى ، تصحيح خطأ ساعة القمر ، الإحداثيات المتوقعة أو المحسوبة للقمر الصناعي (ولباقي الأقمار) في الفترة المستقبلة وتسمى almanac ، بالإضافة لبيانات عن الغلاف الجوي.



شكل ٩-٣
التردد و الشفرة في إشارات الأقمار الصناعية

^٩ Al-Rabbany, A., 2002, Introduction to GPS: The Global Positioning System, Artech House, Inc., Boston, USA.

٣-٥ مصادر الأخطاء في قياسات الجي بي أس:

كأي تقنية بشرية ، توجد عدة مصادر للأخطاء الطبيعية العشوائية Random Errors وأيضاً الأخطاء المنتظمة Systematic Errors or Biases تؤثر على جودة و دقة عمل الجي بي أس. أمكن للعلماء استبطاط طرق و نماذج رياضية للتغلب على هذه الأخطاء أو على الأقل الوصول بها لأدنى حد ممكн حتى يمكن الحصول على دقة عالية في تحديد الموضع.

من أهم مصادر الأخطاء في نظام الجي بي أس (شكل ١٠-٣) :

أ- الاتاحية المنقاة

ب- تأثير طبقة التروبوسفيفر في الغلاف الجوي

ت- تأثير طبقة الأيونوسفيفر في الغلاف الجوي

ث- خطأ ساعة القمر الصناعي

ج- خطأ مدار القمر الصناعي

ح- خطأ ساعة جهاز الاستقبال

خ- خطأ هوائي جهاز الاستقبال

د- خطأ تعدد المسار

ذ- تأثير الوضع الهندسي للأقمار الصناعية



شكل ١٠-٣
مصادر أخطاء الجي بي أس

^{١٠}الريبيش ، محمد بن حجيلان ، ١٤٢٠ هـ ، النظام الكوني لتحديد الموضع ، الرياض ، المملكة العربية السعودية.

يعرض الجدول (١١-٣) أحد التقديرات لتأثير مصادر الأخطاء على دقة تحديد الموضع أو حساب إحداثيات أجهزة استقبال الجي بي أس^{١١}. وسنعرض لهذه الأخطاء بقليل من التفصيل في الجزء القادم ، بينما يتناول الفصل الرابع طرق الرصد المتعددة و التي تساعد علي التغلب علي هذه الأخطاء.

جدول ١-٣
تأثير الأخطاء على دقة تحديد الموضع
(باستخدام شفرة C/A و عند مستوى ثقة ٩٥٪)

نوع مصدر الخطأ	الخطأ (بالمتر)
طبقة التروبوسفير في الغلاف الجوي	٠.٢
طبقة الأيونوسفير في الغلاف الجوي	٧.٠
خطأ ساعة ومدار القمر الصناعي	٢.٣
خطأ جهاز الاستقبال	٠.٦
تعدد المسارات	١.٥
التوزيع الهندسي لمواقع الأقمار الصناعية	١.٥

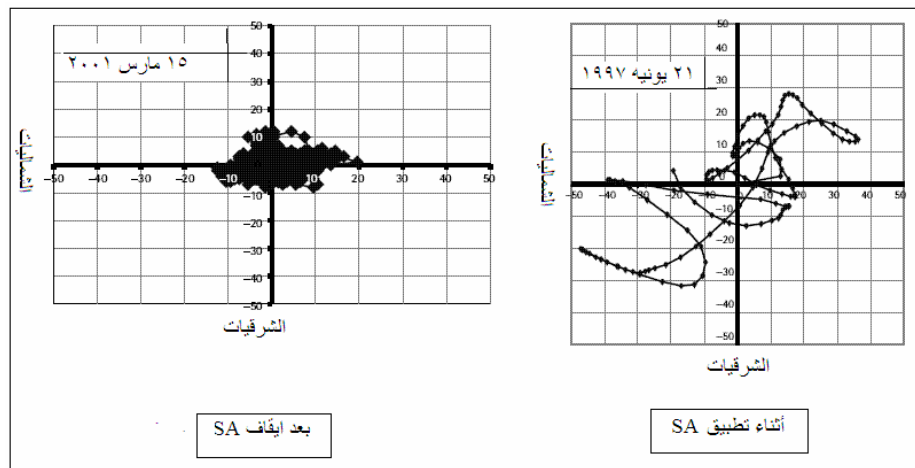
خطأ الاتاحية المنتقاء:

الاتاحية المنتقاء Selective Availability أو اختصارا SA هو خطأ متعمد حيث تضييف وزارة الدفاع الأمريكية قيمة معينة من الخطأ لقليل الدقة التي يمكن للمستخدم أن يحسب إحداثياته اللحظية Real-Time. كان الهدف الرئيسي وراء فرض هذا الخطأ في إشارات الأقمار الصناعية هو منع التطبيقات العسكرية (التي تتطلب الحصول على الإحداثيات لحظيا) للجيوش المعادية للولايات المتحدة من التمتع بمميزات دقة الجي بي أس ، ولم يكن هذا الخطأ يؤثر كثيرا على التطبيقات المدنية - بصفة عامة - حيث طور العلماء عدة طرق رياضية لتقدير هذا الخطأ ومعالجته في مرحلة الحسابات المكتبية بعد انتهاء العمل الحقلـي. أثناء فرض خطأ SA كانت الدقة الأفقية للخدمة المدنية SPS (عند مستوى معنوية ٩٥٪) 100 ± 12 متر^{١٢} والدقة الأفقية تبلغ ± 300 متر. وفي ١ مايو ٢٠٠٠ وبعد دراسات مكثفة قامت الحكومة الأمريكية بإيقاف العمل بهذا المصدر من مصادر الأخطاء لتجعل إشارات الأقمار الصناعية في حالتها الطبيعية. ومنذ ذلك الحين فقد أصبحت الدقة الأفقية للخدمة المدنية SPS (عند مستوى معنوية ٩٥٪) 13 ± 13 متر أو أقل كمتوسط على المستوى العالمي وبحد أقصى 36 ± 36 متر في أسوأ الحالات و الموضع ، بينما صارت الدقة الرئيسية 22 ± 22 متر أو أقل كمتوسط على المستوى العالمي وبحد أقصى 77 ± 77 متر في أسوأ الحالات و الموضع (شكل ١١-٣) ^{١٣}.

^{١١} Prasad, R. and Ruggieri, M., 2005, Applied satellite navigation using GPS, Galileo and augmentation systems, Artech House, Inc., Boston, USA

^{١٢} Prasad, R. and Ruggieri, M., 2005, Applied satellite navigation using GPS, Galileo and augmentation systems, Artech House, Inc., Boston, USA

^{١٣} Al-Rabbany, A., 2002, Introduction to GPS: The Global Positioning System, Artech House, Inc., Boston, USA.



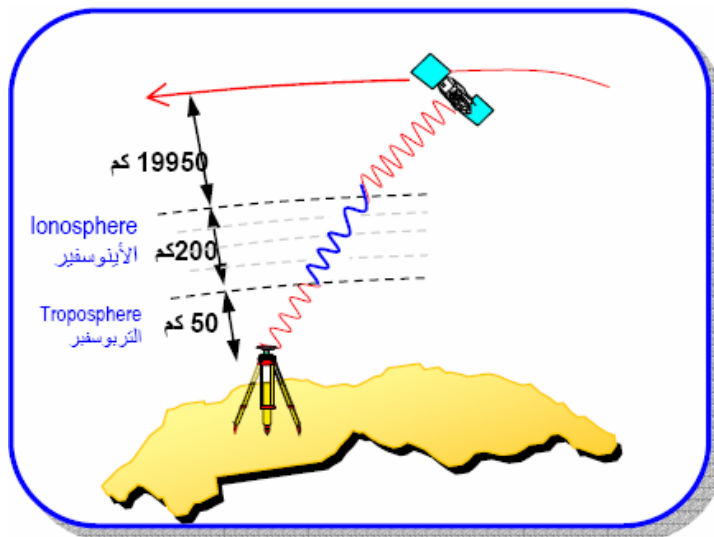
شكل ١١-٣
دقة تحديد الموضع قبل وبعد خطأ SA

تأثير طبقة التروبوسفير في الغلاف الجوي:

التروبوسفير طبقة من طبقات الغلاف الجوي للأرض تمتد حوالي ٥٠ كيلومتر من سطح الأرض (شكل ١٢-٣). تسبب هذه الطبقة – عند مرور إشارات الأقمار الصناعية بها – في تأخير أو إبطاء سرعة الإشارات مما ينتج عنه خطأ في حساب المسافات بين جهاز الاستقبال والأقمار الصناعية (حيث تكون المسافة المحسوبة أطول من المسافة الحقيقية)، وبالتالي سينتاج خطأ في تحديد إحداثيات موقع الرصد. تتراوح قيم خطأ التروبوسفير بين ٢٠٣ متر للأقمار التي تقع رأسياً أعلى جهاز الاستقبال، ٩٠٣ متر للأقمار على زاوية ارتفاع ١٥° من جهاز الاستقبال، ٢٨٠٢٠ متر للأقمار على زاوية ارتفاع ٥٠° فقط من جهاز الاستقبال^{١٤}. أبتكر العلماء عدة نماذج رياضية تمكن من تقدير قيمة خطأ التروبوسفير – بدقة معقولة – ومن ثم إمكانية تصحيح تأثير هذا الخطأ على إشارات الأقمار الصناعية. من أحدث هذه النماذج نموذج هيئة المحيطات والأجواء الأمريكية NOAA^{١٥}.

^{١٤} Al-Rabbany, A., 2002, Introduction to GPS: The Global Positioning System, Artech House, Inc., Boston, USA.

^{١٥} Al-Rabbany, A., 2009, GNSS Positioning - Some recent developments and trends, Map Middle East Conference, Dubai, UAE, April 26-28. Available at: [http://www.gisdevelopment.net/proceedings/mapmiddleast/2009/mme09_AhmedELRabbany.pps](http://www.gisdevelopment.net/proceedings/mapmiddleeast/2009/mme09_AhmedELRabbany.pps)



**شكل ١٢-٣
طبيقي التروبوسفير والأيونوسفير في الغلاف الجوي**

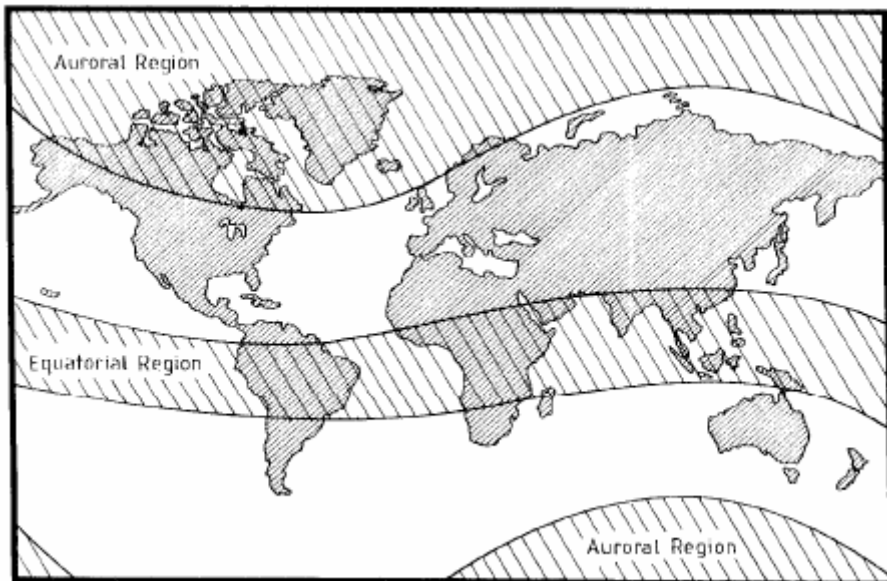
تأثير طبقة الأيونوسفير في الغلاف الجوي:

في الطبقات العليا من الغلاف الجوي للأرض فأن الأشعة فوق البنفسجية و الأشعة السينية تتفاعل مع جزيئات و ذرات الغازات ، مما ينتج عنه الكترونيات و ذرات حرة في احدى طبقات الغلاف الجوي. تسمى هذه الطبقة بالايونوسفير أو طبقة التأين الحر وهي تمتد من ارتفاع حوالي ٥٠ كيلومتر من سطح الأرض إلى ارتفاع حوالي ١٠٠٠ ١٠٠٠ كيلومتر أو أكثر. تؤثر طبقة الأيونوسفير على إشارات الجي بي أس المرسلة من الأقمار الصناعية بصورة تجعل الإشارة أسرع قليلاً من سرعة الضوء ، أي أن المسافة المحسوبة بين المستقبل و القمر الصناعي ستكون أقصر (في حالة استخدام أرصاد الطور) و أطول (في حالة استخدام أرصاد الشفرة) من المسافة الحقيقية ، مما سيتوجب عنه خطأ في تحديد إحداثيات موقع الرصد. يعتمد تأثير خطأ الأيونوسفير على دورة النشاط الشمسي التي تتكرر كل ١١ سنة ويبلغ أقصى تأثير له عند قمة هذه الدورة حيث تبلغ كمية الإشعاع الشمسي أقصى مدى لها (حدث آخر قمة لدورة الإشعاع الشمسي في عام ٢٠٠١ أي أن القمة التالية ستكون في أكتوبر ٢٠١١). كما يزداد النشاط الشمسي (ومن ثم تأثير الأيونوسفير) في الحزام الجغرافي $30^{\circ} \pm 3^{\circ}$ خط الاستواء المغناطيسي و في مناطق الشفق القطبية (شكل ١٣-٣)^{١٦}. عاماً يتراوح تأثير خطأ الأيونوسفير في تحديد الإحداثيات من ٥ إلى ١٥ متر ، وقد يبلغ حوالي ١٥٠ متر في فترة الإشعاع الشمسي القصوى وخاصة بالقرب من المستوى الأفقي Horizon في فترة منتصف اليوم^{١٧}. حيث أن تأثير الأيونوسفير يختلف باختلاف تردد الموجة فقدتمكن العلماء من استنباط طرق رياضية لحساب هذا التأثير عند استخدام أجهزة استقبال ثنائية التردد (أي تستقبل إشارات الأقمار الصناعية على كلا الترددتين L2 and L1). وهذا هو السبب وراء أن هذه الأجهزة ثنائية التردد هي المستخدمة في الأعمال الجيوديسية التي تتطلب دقة عالية في تحديد الموضع (مثل إنشاء شبكات

^{١٦} صالح ، حسين عزيز ، ٢٠٠٨ ، نظام التعدين الاحادي العالمي: الجي بي أس ، متاح في:
<http://iridia.ulb.ac.be/~hsaleh/>

^{١٧} Al-Rabbany, A., 2002, Introduction to GPS: The Global Positioning System, Artech House, Inc., Boston, USA.

الثوابت الأرضية)، بينما الأجهزة أحادية التردد (L1 فقط) تستخدم في تطبيقات الرفع الماسحى التي لا تطلب إلا دقة سنتيمترات.



شكل ١٣-٣
مناطق النشاط الشمسي المرتفع

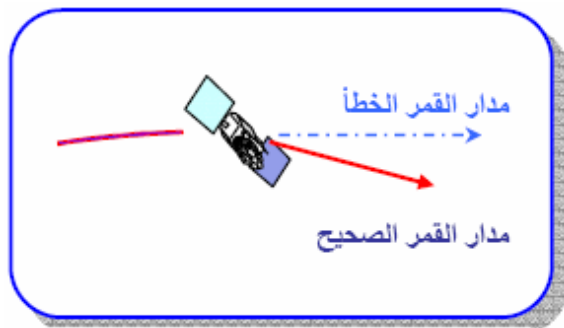
خطأ ساعة القمر الصناعي:

مع أن الساعات الموجودة في الأقمار الصناعية هي ساعات ذرية دقيقة جدا ، إلا أنها ليست تامة الدقة perfect وتكون دقتها في حدود من ٨.٦٤ إلى ١٧.٢٨ نانو ثانية/يوم (النانو ثانية هو الجزء من المليار من الثانية الواحدة). وهذه الدقة في قياس الزمن في القمر الصناعي تعادل دقة تتراوح بين ٢٠.٩ و ٥.٨ متر في قياس المسافة بين القمر الصناعي و جهاز الاستقبال. يقوم قسم التحكم والسيطرة - في منظومة الجي بي أس - بمراقبة أداء الساعات الموجودة في الأقمار الصناعية وحساب قيمة أي أخطاء بها ومن ثم يرسل هذه التصحيحات إلى الأقمار الصناعية و التي تقوم بدورها في إعادة بث هذه المعلومات - داخل الرسالة الملاحية - إلى المستخدمين لأخذها في الاعتبار. إلا أن هذه التصحيحات لا تكون كافية تماما ويتبقى جزء بسيط من الخطأ يؤدي لوجود خطأ - في حساب إحداثيات أجهزة الاستقبال - في حدود أمتار قليلة.

خطأ مدار القمر الصناعي:

مدار كل قمر صناعي يتم حسابه بواسطة محطة التحكم و السيطرة و إرساله للأقمار الصناعية التي بدورها ترسله للمستخدمين داخل ما يعرف بالرسالة الملاحية في الإشارات. لكن القوى الحقيقة في الفضاء الخارجي المؤثرة على حركة القمر الصناعي في مداره لا تكون في الصورة المثلثي المستخدمة في النماذج الرياضية لحساب مدار كل قمر صناعي ، مما سينتج

عنه اختلاف بين المدار المحسوب (أي إحداثيات القمر الصناعي) والمدار الحقيقي (شكل ٣-١٤). عامة يبلغ خطأ المدار قيمة تتراوح بين ٢ و ٥ متر^{١٨}.



شكل ١٤-٣
خطأ مدار الأقمار الصناعية

خطأ ساعة جهاز الاستقبال:

تستخدم أجهزة الاستقبال في قياس الزمن ساعات أربعين وأقل دقة من الساعات الذرية الموجودة في الأقمار الصناعية ، مما ينتج عنه خطأ في قياس المسافة لбин القمر والمستقبل تكون قيمته أكبر بكثير من خطأ ساعة القمر الصناعي. لكن أخطاء ساعة جهاز الاستقبال يمكن معالجتها بعدة طرق منها طريقة إضافة مجهول أثناء عملية حل المعادلات في حسابات إحداثيات جهاز الاستقبال (المعادلتين ٣-٣ و ٤-٣).

خطأ هوائي جهاز الاستقبال:

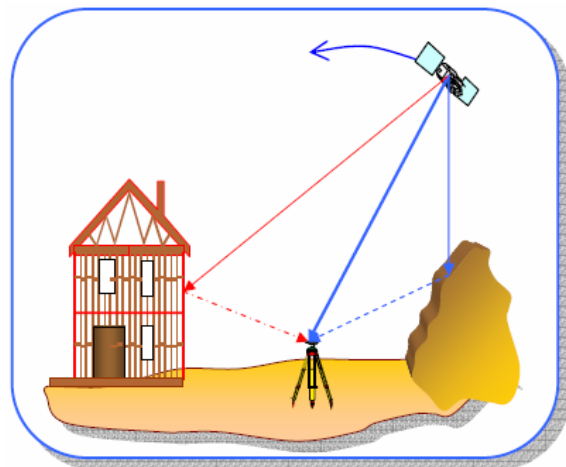
من أهم خصائص هوائي جهاز الاستقبال Receiver Antenna دقة تحديد نقطة النقط Antenna Phase "Center". عامة لا ينطبق مركز طور الهوائي مع المركز الهندسي للهوائي ، حيث أنه يختلف عنه بناءاً على ارتفاع و انحراف القمر الصناعي أثناء الرصد. ويؤدي ذلك الاختلاف إلى خطأ في قياس المسافات و حساب إحداثيات جهاز الاستقبال. تختلف قيمة خطأ الهوائي باختلاف نوع الهوائي ذاته ، ويكون عادة في حدود سنتيمترات قليلة. وتوجد أنواع من الهوائيات للأجهزة المساحية العادية و أنواع أخرى للأجهزة الجيوديسية التي تتطلب دقة عالية في تحديد الموضع.

خطأ تعدد المسار:

يعد خطأ تعدد المسار من أهم وأخطر أنواع مصادر الأخطاء في قياسات الجي بي أس. ينتج هذا الخطأ عندما تصل إشارات الأقمار الصناعية إلى جهاز الاستقبال من خلال مسارات متعددة ، أي تصطدم الإشارة بعائق (شجرة أو مبني أو جسم معدني أو سطح مائي مثلًا) ثم ترتد إلى جهاز الاستقبال (شكل ١٥-٣). من الممكن أن يصل تأثير هذا الخطأ إلى ٥ متر عند استخدام قياسات الطور على التردد الأول L1 ، بينما قد يصل إلى عشرات الأمتار عند استخدام أرصاد

^{١٨} Al-Rabbany, A., 2002, Introduction to GPS: The Global Positioning System, Artech House, Inc., Boston, USA.

الشفرة. من هنا جاءت أهمية اختيار أماكن أجهزة الاستقبال بصورة مناسبة لقادري هذا الخطأ ، كما توجد أيضاً أنواع من هوائيات أجهزة الاستقبال (تسمى Chock-Ring Antenna) تقلل بنسبة كبيرة من أخطاء تعدد المسار (شكل ١٦-٣).



شكل ١٥-٣
خطأ تعدد المسارات



شكل ١٦-٣
نوع هوائي يقلل خطأ تعدد المسارات

تأثير الوضع الهندسي للأقمار الصناعية:

بالإضافة لمصادر الأخطاء السابقة (سواء تلك الناتجة من الأقمار الصناعية أو أجهزة الاستقبال أو الإشارات) فإن الوضع الهندسي لموقع الأقمار الصناعية أثناء قترة الرصد يؤثر أيضاً على دقة الإحداثيات الأرضية المستنيرة. إن التوزيع الجيد لموقع الأقمار الصناعية في السماء يعطي دقة جيدة في حساب موقع المستقبلات الأرضية ، بينما يتوقع أن يؤثر التوزيع السيئ لموقع الأقمار على دقة الإحداثيات المستنيرة (شكل ١٧-٣)^{١٩}. يتم التعبير عن تأثير موقع الأقمار الصناعية باستخدام معامل يسمى "معامل الدقة Dilution of Precision" ويرمز له بالرمز DOP ، ويوجد منه عدة أنواع بناء على المستوى المطلوب الحساب به. تشمل معاملات الدقة على أنواع:

^{١٩} المؤسسة العامة للتعليم الفني والتدريب المهني ، ١٤٢٦ هـ ، نظام تحديد الموضع العالمي ، مقرر دراسي لطلاب الكليات التقنية ، الرياض ، المملكة العربية السعودية.

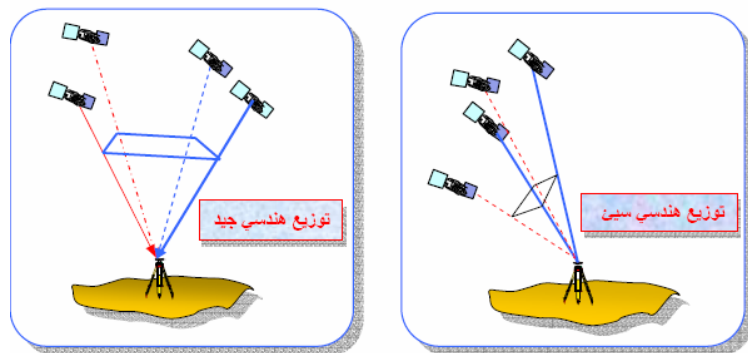
- معامل الدقة الأفقية ويرمز له بالرمز **HDOP**.
- معامل الدقة الرئيسية ويرمز له بالرمز **VDOP**.
- معامل الدقة ثلاثية الأبعاد ويرمز له بالرمز **PDOP**.
- معامل الدقة الهندسية (رباعية الأبعاد) ويرمز له بالرمز **GDOP**.
- معامل الدقة الزمنية ويرمز له بالرمز **TDOP**.

يمكن حساب الدقة المتوقعة لتحديد الموضع بالجي بي أس من المعادلة:

$$A_p = DOP \times A_m \quad (3-6)$$

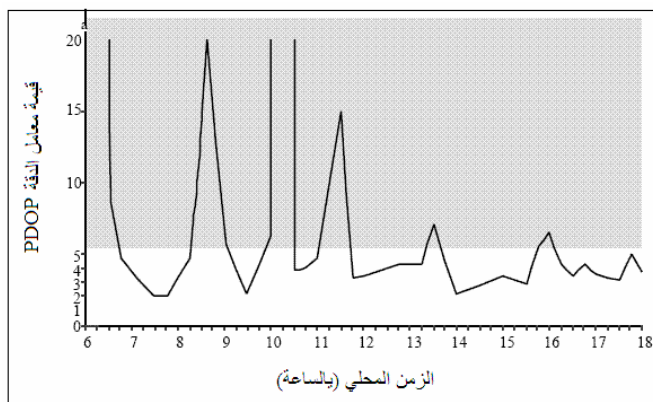
حيث A_p تعبّر عن دقة الموضع ، A_m تعبّر عن دقة القياس.

بما أن مواقع الأقمار الصناعية في الفترة المستقبلة تكون محسوبة وموجودة داخل الرسالة الملحوظة لكل قمر صناعي (almanac) فإنه يمكن حساب قيم معاملات الدقة دون الحاجة للرصد الفعلي. أي إذا عرفنا الموقع الجغرافي التقريري المطلوب العمل به فيمكن لبرامج حسابات الجي بي أس أن تقوم بحساب قيم **DOP** ليوم الرصد المطلوب ، ومن هنا يمكن اختيار الفترات الزمنية التي يكون فيها معامل الدقة أحسن ما يمكن وتجنب تلك الفترات التي يكون بها توزيع الأقمار الصناعية سيئاً (شكل ١٨-٣). وهذه الخطوة مهمة بالفعل للأعمال الجيوديسية التي تتطلب دقة عالية في تحديد الموضع. للوصول لدقة عالية في تحديد الموضع يوصي بأن تكون معامل الدقة ثلاثية الأبعاد **PDOP** ٦-٥ أو أقل.^{٢٠}.



شكل ١٧-٣
تأثير توزيع الأقمار الصناعية

²⁰ Natural Resources Canada, 1995, GPS positioning guide, Third Edition, Ottawa, Canada.



شكل ١٨-٣

مثال لحساب معاملات الدقة و التأثير المتوقع لتوزيع الأقمار الصناعية

٦-٣ خطوة تحديث تقنية الجي بي أس:

بعد مرور حوالي ثلاثة عقود من بزوغ تقنية الجي بي أس ازداد عدد مستخدميه إلى حوالي ٢٠ مليون مستخدما حول العالم ، مما زادت معه الحاجة لتطوير هذه التقنية بصورة تلبي طموحات كل هؤلاء المستخدمين سواء العسكريين أو المدنيين. وفي ٢٥ يناير ١٩٩٩ أعلن نائب الرئيس الأمريكي رسمياً رصد ميزانية تبلغ ٤٠٠ مليون دولار لتنفيذ خطة تطوير الجي بي أس. تشمل الأهداف الأساسية للخطة إضافة تحسينات تقنية لكلا من قطاع الفضاء (الأقمار الصناعية) وقطاع التحكم و السيطرة وذلك عن طريق إضافة أنواع جديدة من الإشارات بهدف زيادة جودة الخدمة للقطاعات العسكرية والمدنية وأيضاً العلمية حول العالم. من المتوقع أن تستمر خطة تحديث الجي بي أس عدة سنوات حتى اكتمالها النهائي بحدود عام ٢٠١٥^{٢١}.

بدأت أولي خطوات خطة تطوير الجي بي أس من خلال تطوير نسخة معدلة من الجيل الثاني للأقمار الصناعية والتي سميت أقمار IIR-M (بدلاً من IIR). تتمتع هذه الأقمار المعدلة بإمكانية بث أو إرسال نوع جديد من الشفرة المدنية على التردد الثاني (L2) والتي أطلق عليها اسم شفرة L2C بالإضافة لإرسال شفرة عسكرية جديدة سميت الشفرة (M) على كلا الترددتين L1 و L2. وبدا إطلاق أول قمر من هذا الجيل المعدل IIR-M في عام ٢٠٠٥. إن إضافة شفرة مدنية ثانية (مع الشفرة المدنية الحالية C/A) سيتيح إمكانية تصحيح خطأ طبقة الأيونوسفير للأجهزة الملاحية والجيوديسية ، مما سينعكس على زيادة دقتها في تحديد المواقع بصورة كبيرة.

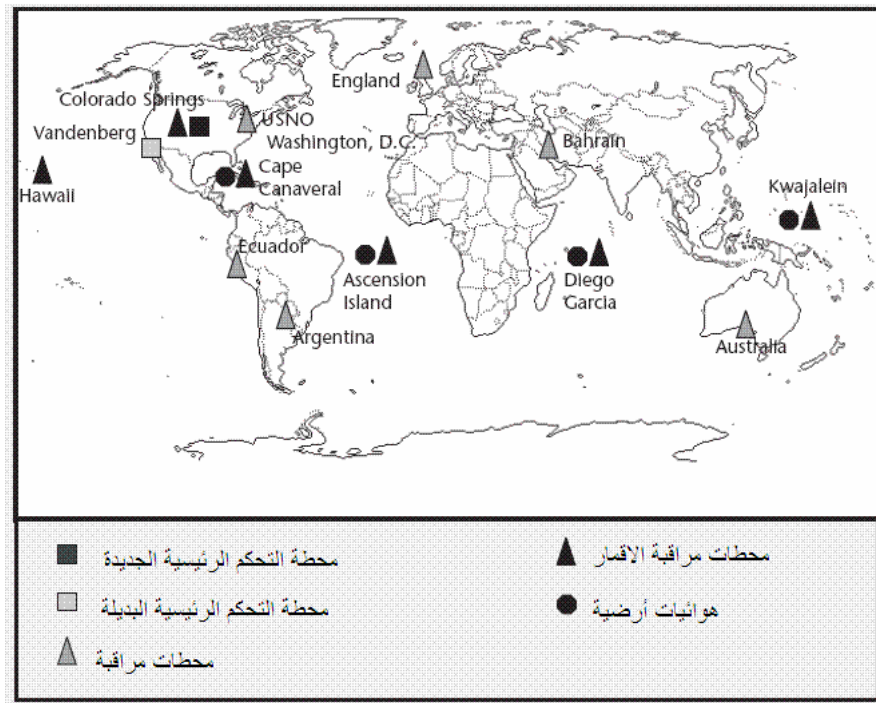
تأتي ثاني خطوات خطة تطوير الجي بيأس من خلال البدء في تصميم و إنتاج و إطلاق جيل فرعى آخر من أقمار الجيل الثاني - أطلق عليها أقمار IIF و عددهم ١٢ قمراً - والتي ستكون أهم خصائصها إرسال إشارة أو تردد ثالث جديد (بجانب الترددتين الأساسيين L1، L2) والذي أطلق عليه اسم تردد L5 وقيمتها ١١٧٦.٤٥ ميجاهرتز ، وذلك بالإضافة لبث الشفرتين الجديدتين L2C و M. كما أن العمر الافتراضي لهذا الجيل من الأقمار الصناعية سيبلغ ١١.٣

²¹ Prasad, R. and Ruggieri, M., 2005, Applied satellite navigation using GPS, Galileo and augmentation systems, Artech House, Inc., Boston, USA

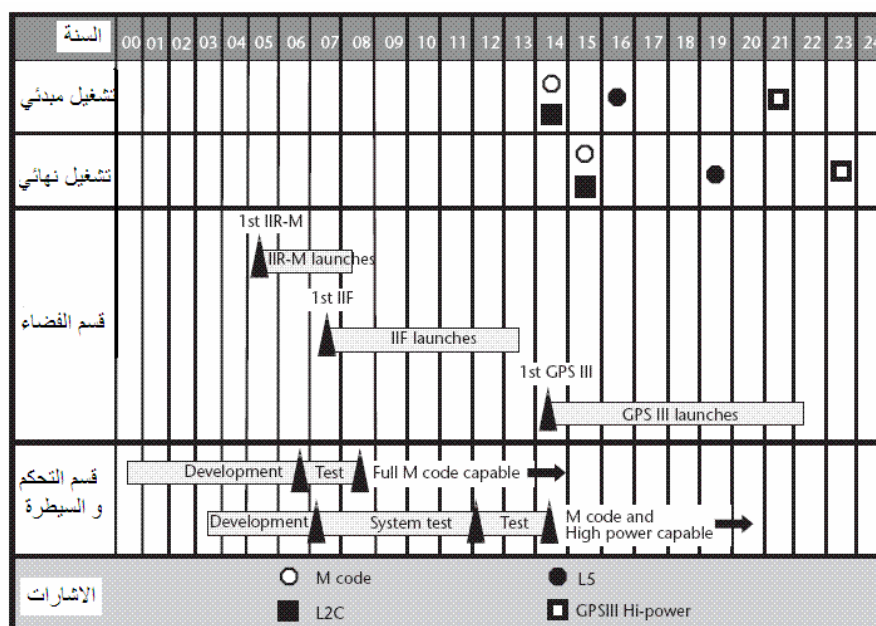
سنة ، ومن الموضع أن يبدأ التردد الثالث بحلول عام ٢٠١٦ ويكتمل (يتم بناؤه في جميع الأقمار الصناعية) في عام ٢٠١٩.

أيضاً تشمل خطة تطوير الجي بي أس على تصميم و إنتاج الجيل الثالث من الأقمار الصناعية Block-III والذي سيكون نقلة هامة جداً في تطوير أقمار الجي بي أس. من المتوقع بدء إطلاق أقمار الجيل الثالث في عام ٢٠٢١ والانتهاء من إطلاق جميع الأقمار - و عددهم يتراوح بين ٢٧ و ٣٣ قمراً - في ٢٠٢٣.

كما تشمل خطة تطوير الجي بي أس على تطوير قسم التحكم و السيطرة - بدأ فعلاً في عام ٢٠٠٠ - بهدف تخفيض تكلفة تشغيل القسم و زيادة كفاءة مهامه. وفي هذا الجزء من التطوير سيتم إحلال منشآت محطة التحكم الرئيسية وإضافة إمكانيات متابعة و مراقبة التردد و الإشارات الجديدة وتحديث أجهزة الكمبيوتر العملاقة بقسم التحكم و السيطرة وأيضاً إضافة محطات متابعة جديدة (شكل ١٩-٣) لمراقبة أداء و كفاءة عمل الأقمار الصناعية. ويقدم الشكل (٢٠-٣) المخطط الزمني التقريري لتنفيذ خطة تطوير منظومة الجي بي أس.



شكل ١٩-٣
محطات المراقبة و السيطرة الجديدة



شكل ٢٠-٣
المخطط الزمني لتنفيذ خطة تطوير الجي بي أس

إن خطة تطوير تقنية الجي بي أس ستكون لها العديد من المزايا ، من وجهاً نظر مستخدمي النظام ، بصورة لم يسبق لها مثيل منذ بدء تطبيق الجي بي أس. فإذا أخذنا عامل دقة الإحداثيات (تحديد الموضع) باستخدام الخدمة المدنية القياسية SPS فإن الدقة ستتحسن من حدودها الحالية (٢٠-١٠ متر) بنسبة ٥٠% بحلول عام ٢٠١٥ (التصبح ١٠-٥ متر) بالإضافة إلى الإشارتين المدينتين C/A الحالية و L2C المتوقعة ، وبحلول عام ٢٠١٩ ومع إتاحة التردد الثالث L5 فإن الدقة ستتحسن بنسبة ٥٠% أخرى لتصل إلى حدود ٥-١ متر باستخدام أجهزة الاستقبال الملاحية رخيصة السعر ^{٢٢}. سيؤدي ذلك لجودة أكثر في تجميع المعلومات المكانية الخاصة بتطبيقات نظم المعلومات الجغرافية GIS وأيضاً تطبيقات الاستشعار عن بعد ، كما ستتصبح الأعمال الجيوديسية عالية الدقة تتم بصورة أسرع وبالتالي أرخص للوصول لدقة السنتمترات أو حتى المليمترات ^{٢٣}.

٧-٣ نظم ملاحية أخرى لتحديد الموضع:

لا يعد الجي بي أس هو النظام الملاحي الوحيد المتوافر حالياً لتحديد الموضع باستخدام الأقمار الصناعية ، فتوجد عدة نظم شبيهه سواء نظم عالمية (تغطي خدماتها كل الأرض) أو نظم إقليمية (تغطي خدماتها مناطق معينة). وسنلقي الضوء – في الجزء القادم – على بعض هذه النظم.

٧-٤ النظام الروسي جلوناس:

تشابه بدايات النظام الروسي للملاحة بالأقمار الصناعية (أسمه باللغة الروسية هو: GLObal'naya NAVigatsionnaya Sputnikovaya Sistema GLObal Navigation Satellite System GLONASS مع بدايات الجي بي أس من حيث أنه نظام عسكري بدأ التفكير بتطويره في عام ١٩٧٦ أثناء فترة الحرب الباردة بين الولايات المتحدة الأمريكية والاتحاد السوفيتي السابق (روسيا الآن) ، كما أنه مثل الجي بي أس فيدار بواسطة وزارة الدفاع. في ١٢ أكتوبر ١٩٨٢ تم إطلاق أول قمر صناعي في نظام جلوناس وأعلن النظام يعمل مبدئياً في ٢٤ سبتمبر ١٩٩٣.

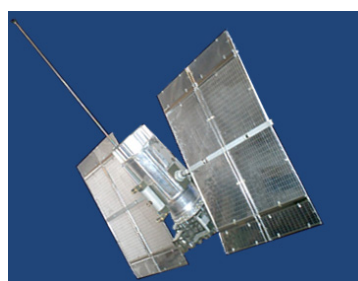
يتكون نظام جلوناس – رسمياً – من ٢١ قمراً صناعياً موزعة في ٣ مدارات حول سطح الأرض ، وتنور على ارتفاع ١٩١٠٠ كيلومتر من سطح الأرض وزاوية ميل ٥٦٤.٨° بحيث يكمل كل قمر (شكل ٢١-٣) دورة حول الأرض كل ١١ ساعة و ١٥ دقيقة. يرسل كل قمر صناعي نوعين من الخدمات: الإشارة الدقيقة Precision Signal أو اختصاراً SP الإشارة عالية الدقة High-Precision Signal أو اختصاراً HP على ترددات تتراوح بين ١٦١٥.٥ و ١٦٢٥.٥ ميجاهرتز (في النطاق المعروف باسم تردد L1). تبلغ الدقة المدنية جراء استخدام إشارات نظام جلوناس حوالي ٥٥ متر أفقياً و ٧٠ متر رأسياً عند رصد ٤ أقمار صناعية ، لكن دقة الإشارة عالية الدقة HP تكون أدق بكثير من هذه المستويات. من المتوقع

²² Prasad, R. and Ruggieri, M., 2005, Applied satellite navigation using GPS, Galileo and augmentation systems, Artech House, Inc., Boston, USA

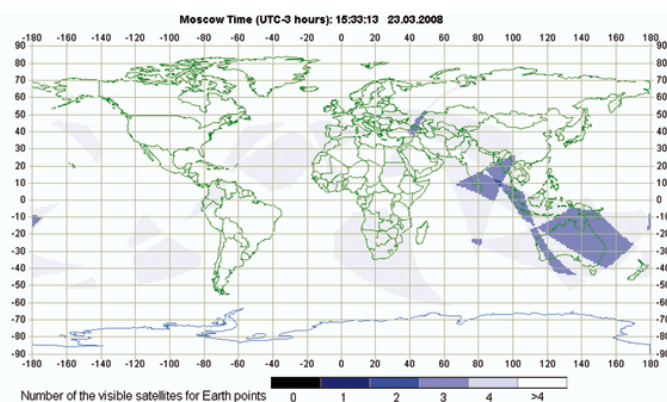
²³ Dawod, G., 2003, Modernization plan of GPS in 21st century and its impacts on surveying applications, Proceedings of Al-Azhar Seventh International Engineering Conference (CD No. 3), Al-Azhar University, Cairo, Egypt, April 7-10.

أن تصل دقة نظام جلوناس لتحديد الموضع إلى حدود نفس الدقة التي يوفرها الجي بي أس بحلول عام ٢٠١١^{٢٤}. تقع محطة التحكم الرئيسية في موسكو بينما توجد ٤ محطات مراقبة أخرى داخل الأراضي الروسية^{٢٥}.

أثرت الأزمات المالية - في روسيا - بشدة على استكمال خطوات تطوير جلوناس مما لم يجعل النظام يصل لحالته النهائية الكاملة. وحتى سبتمبر ٢٠٠٩ فلا يوجد إلا ١٩ قمرا صناعيا في نظام جلوناس منهم ١٧ قمرا عاماً فقط بينما هناك قمران في مرحلة الصيانة ، إلا أنه من المتوقع اكتمال النظام بحلول عام ٢٠١١^{٢٦}. وبذلك فما زالت تغطية جلوناس لم تبلغ التغطية الكاملة لكل سطح الأرض (شكل ٢٢-٣).



شكل ٢١-٣
أحد الأقمار الصناعية في نظام جلوناس



شكل ٢٢-٣
تغطية نظام جلوناس في مارس ٢٠٠٨

²⁴ Fugro Chance Inc., 2007, GNSS status and plans, website: <http://www.fugro.com>

²⁵ Cojocaru, S., Birsan, E., Battinca, G., and Arsenie, P., 2009, GPS-GLOASS_GALILEO: A dynamical comparison, Journal of Navigation, 62: 135-150.

²⁶ Russian Space Agency, 2009, GLONASS constellation status as 06.09.2009, website: <http://www.glonass-ianc.rsa.ru/pls/htmldb/f?p=202:20:14637162736231801312::NO::>

٢-٧-٣ النظام الأوروبي جاليليو:

في عام ١٩٩٩ تم اقتراح إقامة نظام جاليليو كمشروع مشترك بين الاتحاد الأوروبي EU و وكالة الفضاء الأوروبية ESA كبديل مدني تديره جهة مدنية بعكس وزارتي الدفاع اللتين تديران كلا من الجي بي أس و جلوناس. كما أن مشروع نظام ملاحي فضائي بهذا الحجم سيتيح قدرات هائلة للصناعة في الدول الأوروبية التي تشارك في تنفيذه ، حيث من المتوقع أن يتتيح المشروع وظائف لحوالي ١٠٠ ألف شخص في أوروبا ، وسيكون العائد الاقتصادي للنظام ضخما حيث سيبلغ عدد مستخدميه ٣٦ مليون مستخدم حتى عام ٢٠٢٠ . كما تم السماح لعدة دول غير أوروبية (مثل الصين و كوريا الجنوبية و إسرائيل و المغرب و السعودية) بالمشاركة في تطوير جاليليو عن طريق المساعدات المادية أو الصناعية أو البحثية^{٢٧} . اكتملت الدراسات التقنية المبدئية لهذا المشروع العملاق ، وبدأت مرحلة التطوير في عام ٢٠٠١ ، ومن المتوقع اكتمال النظام في عام ٢٠١٢^{٢٨} .

سيكون نظام جاليليو من ٣٠ قمر صناعي (٢٧ قمر عامل + ٣ أقمار احتياطية) موزعين في ثلاثة مدارات تمثل بزاوية ٥٦° و على ارتفاع ٢٣٦١٦ كيلومتر من سطح الأرض ، بحيث يكمل كل قمر دورة حول الأرض كل ١٤ ساعة و ٧ دقائق. وسيكون هناك مركزين أرضيين للمراقبة و التحكم في الأقمار الصناعية. ستقوم الأقمار الصناعية في نظام جاليليو ببث ١٠ إشارات: ٦ مخصصة للخدمة العامة و خدمة البحث و الاتقاد ، ٢ للخدمة التجارية ، ٢ لخدمة المرافق العامة. وستكون الإشارات في نطاقين من الترددات: ١٢١٥-١١٦٤ ميجاهرتز ، ١٥٩١-١٥٥٩ ميجاهرتز^{٢٩} .

تم إطلاق أول قمر صناعي في منظومة جاليليو (GIOVE-A) في ٢٨ ديسمبر ٢٠٠٥ وكان إطلاق القمر التجاري الثاني (GIOVE-B) في عام ٢٠٠٨ لوضع اللمسات النهائية على النظام و مواصفاته و التأكد من تشغيله بجودة عالية (شكل ٢٣-٣).

توجد عدة خدمات (أو أنظمة) لاستخدام جاليليو:

- ١- الخدمة المفتوحة (OS) وهي الخدمة المجانية الممتاحة لجميع المستخدمين في العالم والتي من المتوقع أن تكون دقتها في حدود ٤ متر أفقيا و ٨ متر رأسيا للأجهزة ثنائية التردد.
- ٢- خدمة سلامة الأرواح (SoL) Safety of Live Service وتحتاج إلى الخدمة المفتوحة بإرسال رسائل وقتية (إنذارات) للمستخدم في حالة حدوث أي مشاكل في النظام لا تسمح بضمان دقة الإحداثيات المحسوبة،
- ٣- الخدمة التجارية (CR) Commercial Service وهي خدمة تجارية باشتراك ودقتها أحسن من دقة الخدمة المفتوحة.

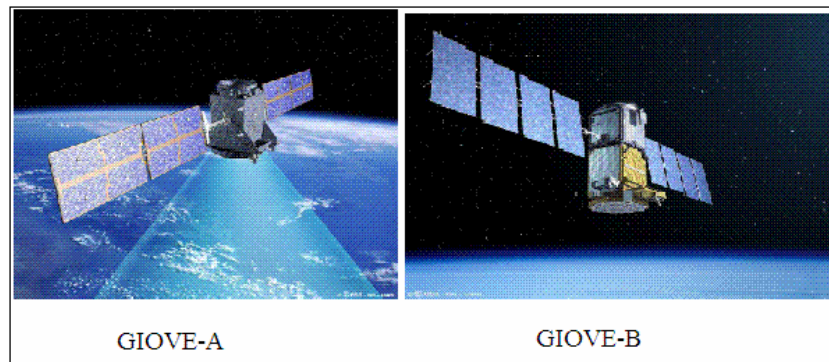
²⁷ Mendizabal, J., Berenguer, R., and Melendez, J., 2009, GPS & Galileo: Dual RF front-end receiver and design, fabrication, and test, McGraw Hill Co., New York, USA.

²⁸ Navarro-Reyes, D., 2007, Galileo program status and ongoing GIOVE experimentation, Presented at the EGU general assembly, Vienna, Austria, April 16.

²⁹ European Space Agency (ESA) website at:
http://ec.europa.eu/dgs/energy_transport/galileo/intro/index_en.htm

٤- خدمة المرافق العامة Public Regulated Service (PRS) وهي خدمة خاصة للمرافق العامة مثل الشرطة والإسعاف والمطافي وخاصة في أوقات الطوارئ أو الحروب حيث من الممكن أن تتأثر الخدمة العامة.

٥- خدمة البحث والإنقاذ (S&R) وهي خاصة ستضاف للنظم العالمية الموجودة حالياً لتحسين من دقتها في أعمال الإغاثة والإنقاذ.



٢٣-٣ شكل الأقمار التجريبية في نظام جاليليو

٣-٧-٣ النظام الصيني بيدو:

بدأ نظام بيدو (أو البوصلة) كنظام ملاحي يهدف لتغطية الصين فقط ، إلا أنه تطور لاحقاً بهدف تحقيق تغطية إقليمية ثم الوصول بعد ذلك إلى التغطية العالمية. من المتوقع أن يتكون النظام من 5 أقمار صناعية ثابتة المدار Geostationary Earth Orbit Satellites أو اختصاراً GEO بالإضافة إلى 30 قمراً صناعياً متوسطة المدار Medium Earth Orbiting Satellites أو اختصاراً MEO موزعين في 6 مدارات على ارتفاع 21500 كيلومتر من سطح الأرض وبزاوية ميل 30° 055°، وينتظر اكتمال هذا النظام بحلول عام 2015. ترسل الأقمار الصناعية إشارتها في عدد من الترددات: 1190.14 ، 1195.14 ، 1219.14 ، 1256.52 - 1280.05 ، 1563.15-1509.05 ، 1587.69 ، 1591.79. تم إطلاق القمر الصناعي الثاني في هذا النظام الصيني في 14 أبريل 2009 ، والذي قامت الأكاديمية الصينية للفضاء والتكنولوجيا بتصنيعه (شكل 24-3). يتكون قطاع التحكم والسيطرة من 3 محطات: محطة تحكم رئيسية ، محطة متابعة ، و محطة إرسال بيانات للأقمار الصناعية. من المتوقع أن يوفر نظام البوصلة خدماته بأسلوبين: الخدمة المفتوحة Open Service لكل المستخدمين والتي ستتوفر دقة تحديد المواقع في حدود 10 متر ، الخدمة الخاصة Authorized Service للمستخدمين الخاصين.

³⁰ InsideGNSS Magazine, 2006, Compass and China's GNSS makes four, available at: <http://www.insidegnss.com/node/115>

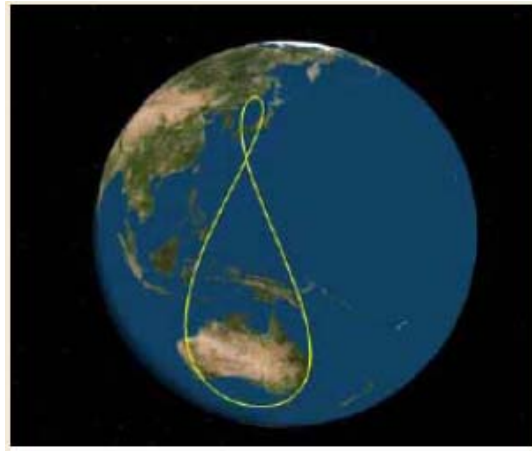
³¹ InsideGNSS Magazine, 2008, China adds details to Compass (Beidou II) signal plans, available at: <http://www.insidegnss.com/node/803>



شكل ٢٤-٣
إطلاق قمر صناعي صيني

٤-٧-٤ نظم ملاحية إقليمية:

بالإضافة للنظم الملاحية الأربع (جي بي أس و جلوناس و جاليليو و بيدو) التي لها تغطية عالمية فتوجد عدة نظم ملاحية أخرى تهدف لزيادة كفاءة الملاحة بالأقمار الصناعية في مناطق محددة من الأرض. قامت اليابان بتطوير نظام QZSS (مكون من ٣ أقمار صناعية) ليغطي حدودها الإقليمية (شكل ٢٥-٣). أيضاً تقوم الهند بتطوير نظام ملاحي إقليمي - يسمى IRNSS - ليتم الانتهاء منه فيما بين عامي ٢٠١١ و ٢٠٠٨ ليزيد كفاءة الملاحة في حدودها الجغرافية الإقليمية.



شكل ٢٥-٣
مجال تغطية النظام الياباني الإقليمي QZSS

٨-٣ النظم العالمية للملاحة بالأقمار الصناعية:

مع نهاية التسعينيات من القرن العشرين الميلادي استأنفت روسيا إطلاق الأقمار الصناعية لظامها العالمي جلوناس ، مما بدأ معه تفكير العلماء و المستخدمين في إمكانية استخدام كلا النظامين معا. ومنذ ذلك الحين ظهر مصطلح "النظم العالمية للملاحة بالأقمار الصناعية"

.GNSS" والذي عرف اختصارا باسم "Global Navigation Satellite Systems" وتوسيع مفهوم GNSS لاحقا ليصبح إمكانية استخدام نظم ملاحية عالمية في إطار متكامل (جي بي أس و الجلوناس و جاليليو و بيدو).

بالطبع فإن هذه الإمكانيات - عند تحقيقها الكامل قريبا - سيكون لها مميزات تقنية رائعة ، فعلى سبيل المثال سيزداد عدد الأقمار الصناعية المتاحة للرصد في أي موقع جغرافي في العالم مما سينعكس على خفض الوقت اللازم لتجميع البيانات الحقلية وأيضاً ستزيد مستويات دقة تحديد الموضع.

سيبلغ حجم السوق المتوقع لنظم GNSS حوالي ٢٩٠ مليار دولار أمريكي بحلول عام ٢٠١٨^{٣٢} ، حيث بدأ بالفعل ظهور أجهزة استقبال GNSS تستطيع استقبال و التعامل مع إشارات عدة نظم (حتى الوصول لعدد ٤ نظم عالمية). فعلى سبيل المثال فقد أنتجت شركة ليكا السويسرية أول هوائي يستقبل إشارات الأقمار الصناعية للنظم الأربع من نظم GNSS (شكل ٢٦-٣) وكذلك طورت شركة توبكون جهاز استقبال G3 وطورت شركة ترمبل جهاز R8 و الذين يستقبلان إشارات الجي بي أس و جلوناس و جاليليو (شكل ٢٧-٣).

حديثا تم إجراء عدد من الدراسات الجيوديسية التطبيقية باستخدام بيانات GNSS مثل تقييم نماذج الجيوديس العالمية^{٣٣} ، استبطاط طرق جديدة عالية الكفاءة للحصول على إشارات الأقمار الصناعية المتعددة^{٣٤} ، الحصول على قيم المناسب من أرصاد GNSS^{٣٥} .



شكل ٢٦-٣
موديل AR25 لهوائي GNSS من إنتاج شركة ليكا

³² Kaplan, E. and Hegarty, C., 2006, Understanding GPS: Principles and applications, Second Edition, Artech House, Inc., Boston, USA.

³³ Feathersone, W., 2008, GNSS-based heighting in Australia: Current, emerging and future issues, Spatial Science, V. 53, No. 2, pp. 115-134.

³⁴ Borio, D., 2008, A statistical theory for GNSS signal acquisition, PhD Dissertation, Politecbo Di Torino, 291 pp.

³⁵ Raizner, C., 2008, A regional analysis of GNSS-levelling, MSC Thesis, Stuttgart University, 133 pp.



شكل ٢٧-٣
أجهزة استقبال GNSS

٩- نظم الازدياد:

نظم الازدياد (أو التكبير أو التعزيز) **Augmentation Systems** هي نظم تهدف لزيادة دقة و جودة تحديد الموضع باستخدام جهاز استقبال واحد **Stand-alone**. المبدأ النظري وراء تطوير مثل هذه النظم يعتمد على حساب تصحيح لإشارات الأقمار الصناعية المرصودة (يتم حسابه من خلال أجهزة تحتل نقاط معلومة الإحداثيات) وبث هذا التصحيح في نطاق منطقة جغرافية محددة بحيث يكون جهاز الجي بي أس قادرًا على استقباله ومن ثم يقوم بتصحيح الإحداثيات التي يحصل عليها من نظام الجي بي أس^{٣٦}. يتم بث هذه التصحيحات بعدة طرق: إما باستخدام البث الراديوي اللاسلكي ، أو بإرسال التصحيحات المحسوبة إلى أقمار صناعية خاصة والتي تعيد إرساله مرة أخرى لاستقباله المستقبلات الأرضية (تسمى نظم الازدياد بالاعتماد على الأقمار الصناعية **Satellite-Based Augmentation Systems**)، أو عن طريق شبكات التليفون الخلوي (المобиль أو الجوال) ، أو عن طريق شبكة المعلومات الدولية (الإنترنت). كما تشمل أيضًا نظم الازدياد دمج أجهزة استقبال الجي بي أس مع أنواع أخرى من الأجهزة الأرضية (مثل أجهزة القصور الذاتي **Inertial Sensors**) التي تقوم بتحديد الموضع في حالة غياب إشارات الأقمار الصناعية مثلاً يحدث في المناطق السكنية أو داخل الأنفاق في المدن الكبرى. باستخدام جهاز جي بي أس يستطيع التعامل مع نظام الازدياد يمكن حسین دقة تحديد الموضع من عدة أمتار إلى بعض عشرات من السنتمترات فقط.

من أمثلة نظم الازدياد الموجودة في بعض الدول الأوروبية و العربية:

- نظام الازدياد للمناطق الشاسعة **Wide Area Augmentation System** المعروف باسم **WASS** والذي يغطي الولايات المتحدة الأمريكية وتدبره وكالة الطيران الاتحادية الأمريكية. يتكون نظام **WASS** من ٢٥ محطة جيوديسية أرضية

³⁶ العيسى ، سميحة يوسف ، ٢٠٠٦ ، مبادئ عمل منظومة التوضع GPS ، شعاع للنشر والعلوم ، حلب ، سوريا.

- (شكل ٢٨-٣) ترصد أقمار الجي بي أس وتحسب التصحيحات اللازمة لكل قمر في كل لحظة ، ثم تقوم بإرسال التصحيحات إلى المحطة الرئيسية والتي تقوم بدورها بإرساله إلى القمررين الصناعيين التابعين لمنظومة WASS ، ثم يرسل هذين القمررين التصحيحات من خلال ترددات تستطيع معظم أنواع أجهزة الجي بي أس (مستخدمي WASS) استقبالها لتصحيح مواقعها المحسوبة. تبلغ دقة تحديد الموضع باستخدام GPS/WASS أقل من ٣ أمتار باستخدام أجهزة الاستقبال الملاحية المحمولة يدويا.
- النظام الملاحي الأوروبي الثابت European Geostationary Navigation Overlay Service المعروف اختصارا باسم EGNOS وتديره هيئة الفضاء الأوروبية ويغطي قارة أوروبا (شكل ٢٩-٣) ، ويتتيح تصحيحات - من خلال ٣ أقمار صناعية - لكلا من نظام الجي بي أس وأيضا نظام جلوناس .^{٣٧}
 - نظام الازدياد الأمريكي العسكري Wide Area GPS Enhancement أو اختصارا WAGE وتديره وزارة الدفاع الأمريكية للأغراض العسكرية فقط.
 - نظام الازدياد متعدد الأغراض Multifunctional Satellite Augmentation أو MSAS System والذي تديره وزارة الأرضي و النقل في اليابان.
 - نظام الازدياد لمدينة جده بالمملكة العربية السعودية والذي تديره أمانة جدة (شكل ٣-٢٩) ، والذي يوفر دقة أفقية في تحديد الموضع تصل إلى مستوى السنتمتر .^{٣٨}
 - نظام الازدياد لمدينة دبي بالإمارات العربية المتحدة والذي تديره بلدية دبي (شكل ٣-٣١) ويقدم دقة ٣-٢ سنتيمتر في تحديد الموضع .^{٣٩}
 - نظام الازدياد الملاحي المصري ويسمى: الشبكة الإقليمية المصرية لتحديد الموضع بالأقمار الصناعية باستخدام الأسلوب الفرقي DGPS (تديره الهيئة المصرية لسلامة الملاحة البحرية: مصلحة المواني و المنائر المصرية سابقا) بغضون تقديم خدماته للسفن المبكرة في كل البحرين الأحمر والأبيض المتوسط. يتكون هذا النظام من ٧ محطات أرضية كلا منها تبث إرسالها (خدمة التصحيحات) لاسلكيا في منطقة دائرة يبلغ نصف قطرها حوالي ٢٠٠ كيلومتر (شكل ٣٢-٣)^{٤٠}.
 - نظام الازدياد في مملكة البحرين ومكون من ٥ محطات (شكل ٣٣-٣) .^{٤١}
 - نظام الازدياد (تحت الإنشاء) في العراق والذي يبيث تصحيحاته من خلال شبكات التليفون الجوال.^{٤٢}

^{٣٧} European Space Agency, 2009b, EGNOS project website at: <http://www.esa.int/esaNA/egnos.html>

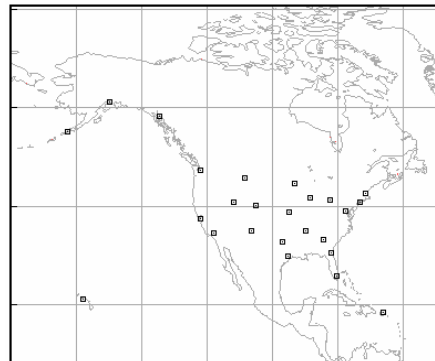
^{٣٨} موسى ، أشرف القطب ، ٢٠٠٨ ، دليل منظمة الأمانة للمحطات الدائمة للنظام العالمي لتحديد الموضع بأمانة جده، تقرير أمانة محافظة جدة ، المملكة العربية السعودية.

^{٣٩} Al Marzooqi, Y., Fashir, H., and Babiker, T., 2005, Establishment & testing of Dubai Virtual Reference System (DVRS) national GPS-RTK network, Available at: http://www.gisdevelopment.net/technology/gps/me05_131.htm

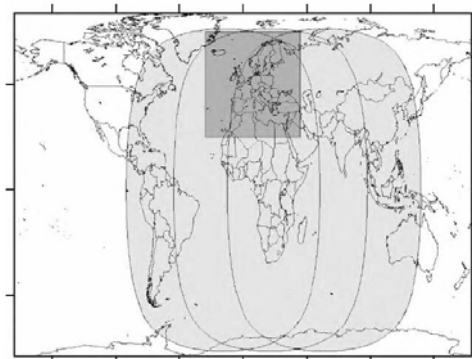
^{٤٠} علي ، رمضان سالم محمد ، ٢٠٠٩ ، أساسيات نظام الملاحة العالمي بالأقمار الصناعية ، متاح في: <http://ramadansalem.webs.com/GPS%20Basics.pdf>

^{٤١} Hadi, W. and Tuckerman, P., 2007, Kingdom of Bahrain GPS permanent reference network, Presented at the Map Middle East 2007 conference, April 11.

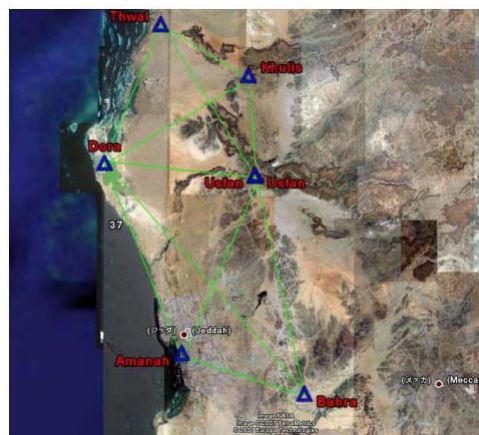
^{٤٢} محمد ، وسام ، ٢٠٠٩ ، خدمة ال RTK عبر الجوال في العراق ، منتدى الهندسة المساحية في الرابط: <http://surveying.ahlamontada.com/montada-f11/topic-t592.htm>



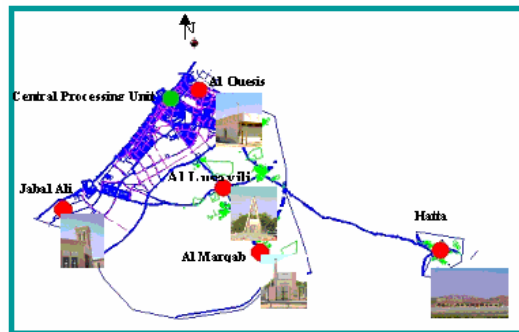
شكل ٢٨-٣
المحطات الأرضية في نظام الأزدياد الأمريكي WASS



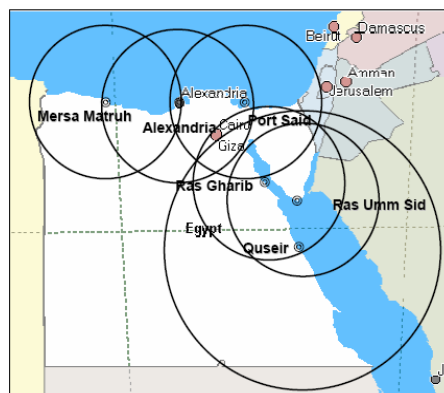
شكل ٢٩-٣
مجال تغطية نظام الأزدياد الأوروبي EGNOS



شكل ٣٠-٣
المحطات الأرضية في نظام الأزدياد لمدينة جدة السعودية



شكل ٣١-٣
المحطات الأرضية في نظام الازدياد لمدينة دبي الإماراتية

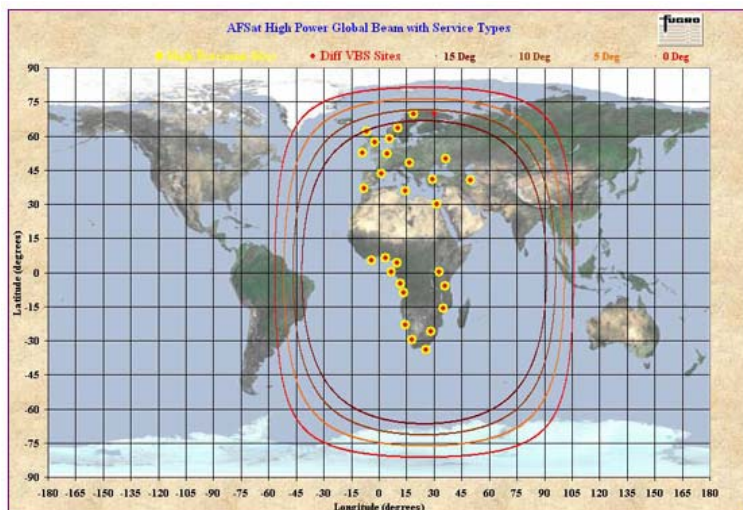


شكل ٣٢-٣
المحطات الأرضية و مجال تغطيتها في نظام الازدياد لهيئة الموانئ المصرية



شكل ٣٣-٣
المحطات الأرضية في نظام الازدياد بملكة البحرين

أيضاً تجدر الإشارة لوجود نظم ازدياد تجارية (خلاف النظم السابقة والتي عادة تكون حكومية وتقدم خدماتها مجاناً للمستخدمين) ومنهم - على سبيل المثال - نظام شركة OminStar التي تتيح خدماتها على المستوى العالمي مقابل اشتراكات مالية ، من خلال ٣ أنواع من الخدمة: خدمة VBS بدقة أقل من متر واحد ، خدمة HP بدقة حوالي ٣٠ سنتيمتر ، خدمة XP بدقة حوالي ١٠ سنتيمتر^{٤٣} . ويعطي أحد أقمار OmniStar المنطقة العربية كلها بحيث يتيح خدماته لكل المستخدمين بها (شكل ٣٤-٣).



شكل ٣٤-٣
تغطية نظام الازدياد OmniStar في المنطقة العربية

⁴³ OminStar, 2009, website: <http://www.omnistar.com/>

الفصل الرابع

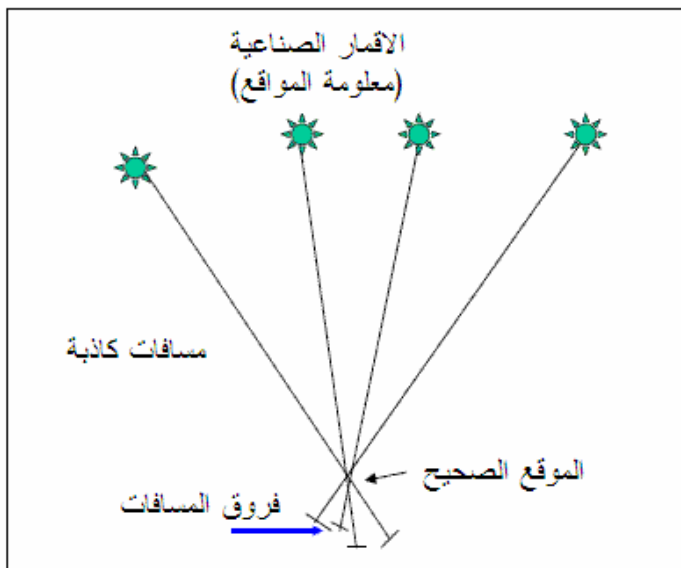
أرصاد الجي بي أس

٤-١ مقدمة:

إن دراسة الأرصاد (أساليب القياس) التي يوفرها نظام الجي بي أس من الأهمية لمستخدم هذه التقنية حتى يلم بطرقها المختلفة ودقة تحديد الموقع الممكن الوصول إليها في كل نوع من الأرصاد المستخدمة. يوفر نظام الجي بي أس أربعة أنواع من الأرصاد (أو طرق قياس المسافات بين جهاز الاستقبال والأقمار الصناعية) إلا أن نوعين فقط هما الشائع الاستخدام والمطبقي في أجهزة الاستقبال ، وهما المسافة الكاذبة باستخدام الشفرة (البعض يسميها أشباح المسافات) و فرق طور الإشارة الحاملة. تختلف دقة تحديد الموضع بدرجة كبيرة جدا باختلاف نوع الأرصاد ، فالأجهزة المل hakية تطبق طريقة المسافة الكاذبة ودققتها في حساب الإحداثيات بحدود عدة أمتار بينما تطبق الأجهزة الجيوديسية أسلوب فرق طور الإشارة الحاملة لتصل إلى مستوى عدة سنتيمترات في دقة تحديد الموضع. وستتعرض لكلا نوعي الأرصاد في الأجزاء التالية.

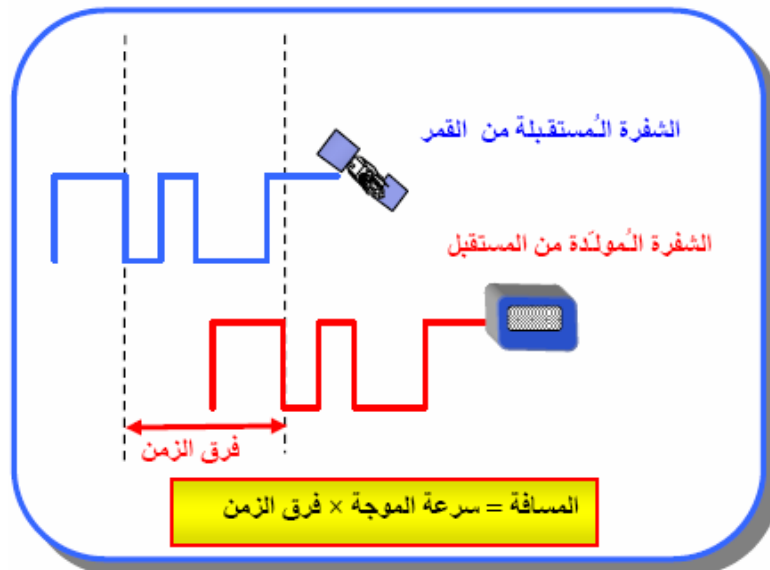
٤-٢ أرصاد المسافة الكاذبة باستخدام الشفرة:

يعتمد هذا الأسلوب أو هذا النوع من أرصاد الجي بي أس على الفكرة البسيطة التي تعرضنا إليها في الفصل الثالث وهي أن المسافة بين جهاز الاستقبال و القمر الصناعي تساوي سرعة الإشارة مضروبة في الزمن المستغرق (معادلة ١-٣). لكن بسبب وجود عدة مصادر للأخطاء فإن هذه المسافة المحسوبة لن تساوي المسافة الحقيقية بين القمر الصناعي و جهاز الاستقبال ، ولذلك تسمى المسافة الكاذبة Pseudorange (شكل ١-٤).



شكل ١-٤
مبدأ المسافات الكاذبة

لقياس المسافة الكاذبة يقوم جهاز الاستقبال بتطوير شفرة داخله (سواء الشفرة المدنية C/A أو الشفرة العسكرية الدقيقة P طبق لنوع جهاز الاستقبال ذاته) مماثلة للشفرة التي يستقبلها من القمر الصناعي. بمقارنة كلا الشفتين يمكن حساب فرق الزمن الذي استغرقه الإشارة منذ صدورها من القمر الصناعي وحتى وصولها لجهاز الاستقبال ، ومن ثم يمكن حساب قيمة المسافة الكاذبة (شكل ٤-٤).



شكل ٤-٤
طريقة قياس المسافة الكاذبة باستخدام الشفرة

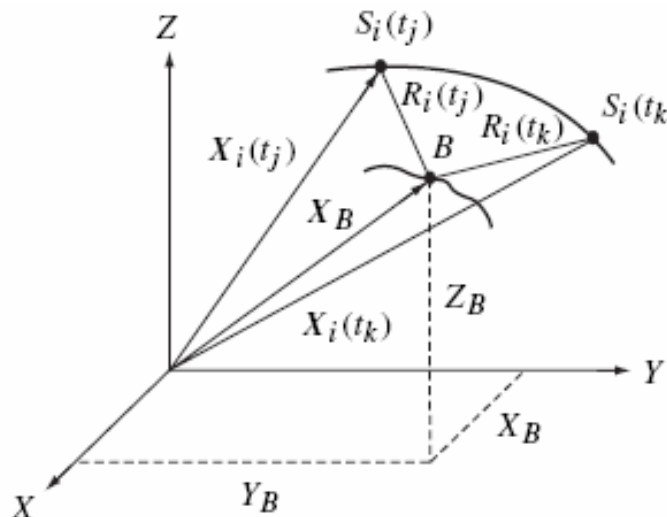
يمكن التعبير عن المسافة الكاذبة بدلالة إحداثيات كلا من القمر الصناعي (الإحداثيات المعروفة) وجهاز الاستقبال (الإحداثيات المطلوب حسابها) بالمعادلة التالية (شكل ٤-٤):

$$PR_i = ((X_i - X_B)^2 + (Y_i - Y_B)^2 + (Z_i - Z_B)^2)^{1/2} + c dt_u \quad (4-1)$$

حيث:

PR_i المسافة الكاذبة المقاسة بين القمر الصناعي i وجهاز الاستقبال B .
 (X_i, Y_i, Z_i) إحداثيات القمر الصناعي.
 (X_B, Y_B, Z_B) إحداثيات جهاز الاستقبال.
 c سرعة الضوء.

dt_u خطأ التزامن بين زمن نظام الجي بي أنس و ساعة جهاز الاستقبال.



شكل ٣-٤
العلاقات الهندسية في أرصاد المسافات الكاذبة

طبقاً لوجود العديد من مصادر الأخطاء التي تؤثر على إشارات الأقمار الصناعية (أرجع لجزء ٣-٥ من الفصل الثالث) فإن المعادلة (٤-١) غير دقيقة و يجب أن تصبح:

$$PR_i = ((X_i - X_B)^2 + (Y_i - Y_B)^2 + (Z_i - Z_B)^2)^{1/2} + c dt_u + \delta \quad (4-2)$$

حيث δ يضم تأثيرات أخطاء الأيونوسفير والتروبوسفير وبقي الأخطاء الأخرى الطبيعية منها و العشوائية.

برصد ٤ أقمار صناعية (على الأقل) يمكن تكوين ٤ معادلات من النوع (٢-٤) وحلهم آنیا لحساب قيم إحداثيات جهاز الاستقبال.

من أهم مميزات ها النوع من أرصاد تقنية الجي بي أس أنه لا يتطلب مواصفات تقنية عالية تدخل في تصنيع أجهزة الاستقبال ، فاستخدام الشفرة لا يتطلب أجزاء الكترونية متقدمة وبالتالي فإن سعر جهاز الاستقبال لن يكون غاليا. ومن هنا فإن جميع أجهزة الاستقبال الملاحية Hand-Held أو المحمولة يدويا Navigation تطبق أسلوب المسافة الكاذبة باستخدام الشفرة في تحديد الموقع.

علي الجاني الآخر فإن أهم عيوب هذا النوع من أرصاد الجي بي أس يتمثل في أن الدقة المتوقعة لتحديد الموقع بهذا الأسلوب لن تكون عالية الدقة. يمكن تقدير دقة أرصاد المسافة الكاذبة بقيم تتراوح بين $6 \pm$ متر (عند انحراف معياري 1σ أي بنسبة احتمال تبلغ 68.3%) و $19 \pm$ متر (عند انحراف معياري 3σ أي بنسبة احتمال تبلغ 99.7%) للإحداثيات الأفقية ،

بينما ستكون الدقة أكبر من هذه الحدود في الاحادي الرأسى (من 11 ± 4 متر) ^١. وبالطبع فقد تكون هذا الدقة في تحديد المواقع مناسبة للأعمال الاستكشافية والجغرافية والخرائط ذات مقاييس الرسم الصغير وبعض تطبيقات نظم المعلومات الجغرافية ، إلا أنها دقة غير مناسبة للأعمال المساحية والجيوديسية.

تجدر الإشارة إلى أن هذا النوع من أرصاد الجي بي أس يسمى أيضا التحديد المطلق للنقطة Absolute Point Positioning حيث أنه يعتمد على استخدام جهاز استقبال واحد فقط لتحديد موقع أو إحداثيات النقطة المرصودة في نفس لحظة رصدها.

٤-٣- أرصاد فرق طور الإشارة الحاملة:

يقوم جهاز الاستقبال (الجيوديسي النوع) بتطوير موجة داخلية ثابتة تشبه الموجة التي يبثها القمر الصناعي ، ثم يقوم بمقارنة طور phase كلا الموجتين عن طريق قياس فرق الطور carrier phase or carrier beat phase والذى يكون دالة في المسافة بين القمر الصناعي و جهاز الاستقبال في لحظة الرصد. لكن هذا الفرق في الطور يتكون من جزأين: (١) العدد الصحيح integer للموجات الكاملة ، (٢) أجزاء الموجات عند كلا من جهاز الاستقبال و القمر الصناعي. وهنا تأتي أهم المشاكل التي تواجه نوع هذه الأرصاد: جهاز الاستقبال يستطيع وبكل دقة قياس أجزاء الموجات لكنه لا يستطيع تحديد عدد الموجات الكاملة. ومن ثم فإن العدد الصحيح للموجات الكاملة ويسمى الغموض الصحيح Integer Ambiguity أو اختصارا الغموض Ambiguity (N') يتم اعتباره قيمة مجهولة مطلوب حسابها أثناء إجراء حسابات تحديد الموضع (شكل ٤-٤ وشكل ٥-٤).

فرق الطور Φ_B عند جهاز الاستقبال B هو الفرق بين طور الإشارة الملتقطة من القمر الصناعي Φ_{CR} وطور الإشارة الثابتة المولدة في جهاز الاستقبال Φ_0 :

$$\Phi_B = \Phi_{CR} - \Phi_0 \quad (4-3)$$

والذي يمكن كتابته بصورة أخرى كالتالي:

$$\Phi_{CR} = (2\pi / \lambda') (|X_i - X_B| - N'_{Bi} \lambda + c dt_u) \quad (4-4)$$

حيث:

X_i متجه vector موقع القمر الصناعي

X_B متجه vector موقع جهاز الاستقبال

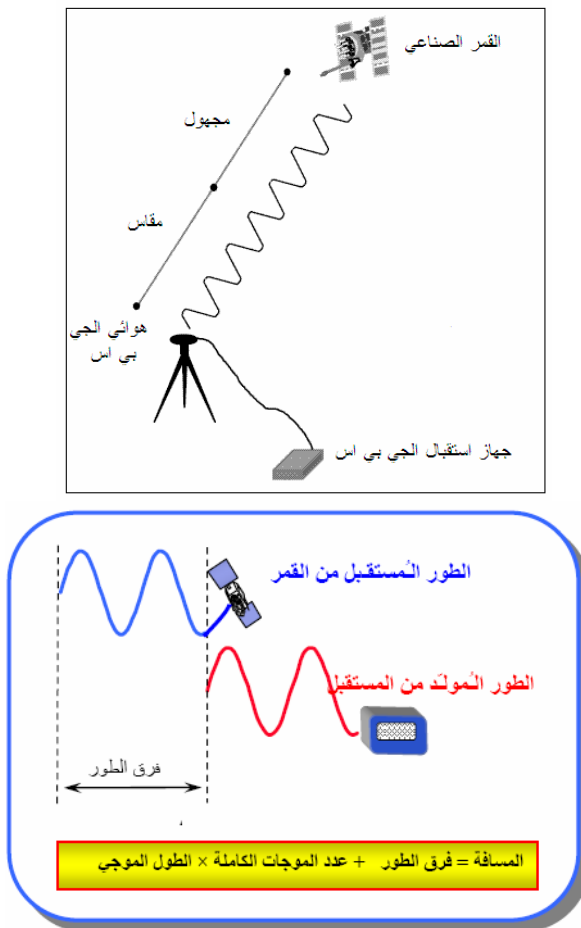
λ' طول الموجة الحاملة (١٩ سم للموجة الأولى L1 ، ٢٤ سم للموجة الثانية L2).

c سرعة الضوء.

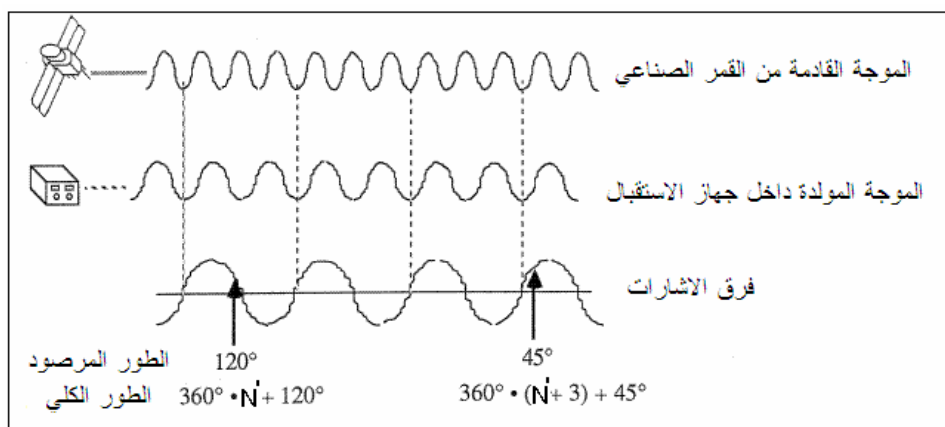
dt_u خطأ التزامن بين زمن نظام الجي بي أس و ساعة جهاز الاستقبال.

N' هو الغموض أو عدد الموجات الصحيحة.

^١ US Army Corps of Engineering, 2003, NAVSTAR Global Positioning System Surveying, Technical Manual No. EM1110-1-1003, Washington, D.C., USA.



شكل ٤ - ٤
أرصاد فرق طور الموجة الحاملة



شكل ٤ - ٥
كيفية قياس فرق طور الموجة الحاملة

أيضاً وبسبب وجود العديد من مصادر الأخطاء التي تؤثر على إشارات الأقمار الصناعية فأن المعادلة (٤-٤) غير دقيقة تماماً و يجب أن تصبح:

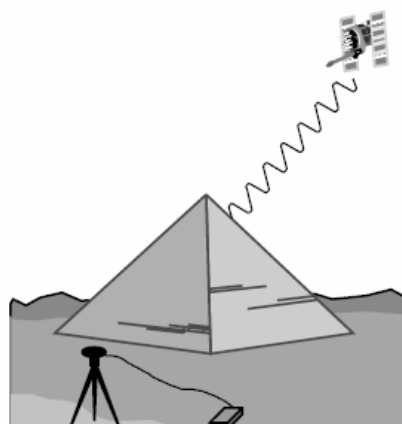
$$\Phi_{CR} = \left(2\pi / \lambda \right) (|X_i - X_B| - N'_{Bi} \lambda' + c dt_u) + \delta \quad (4-5)$$

حيث δ يضم تأثيرات أخطاء الأيونوسفير والتروبوسفير و باقي الأخطاء الأخرى الطبيعية منها و العشوائية.

من عيوب ها النوع من أرصاد تقنية الجي بي أس أنه يتطلب مواصفات تقنية عالية تدخل في تصنيع أجهزة الاستقبال ، فتوليد موجة داخل أجهزة الاستقبال يتطلب أجزاء الكترونية متقدمة وبالتالي فأن سعر جهاز الاستقبال سيكون غالياً مقارنة بأجهزة قياس المسافات الكاذبة. ومن هنا فأن أجهزة الاستقبال الملاحية Navigation أو المحمولة يدوياً Hand-Held لا تطبق هذا الأسلوب ، إنما هو فقط مطبق في تحديد الموقع باستخدام الأجهزة الجيوديسية.

على الجانبي الآخر فأن أهم مميزات أرصاد الجي بي أس باستخدام فرق طور الإشارة الحاملة يتمثل في أن الدقة المتوقعة لتحديد الموقع بهذا الأسلوب تكون عالية. فالقاعدة العامة أن أقل مسافة يمكن قياسها بهذا النوع من الأرصاد = $(360/2)$ من طول الموجة ، فمثلاً طول موجة التردد الأول $L_1 = 19$ سنتيمتر ، مما يسمح لنا بقياس مسافات تصل إلى 1 مليمتر. وبالطبع فأن هذا المستوى العالي من الدقة في تحديد الموقع مناسب للأعمال المساحية و الجيوديسية.

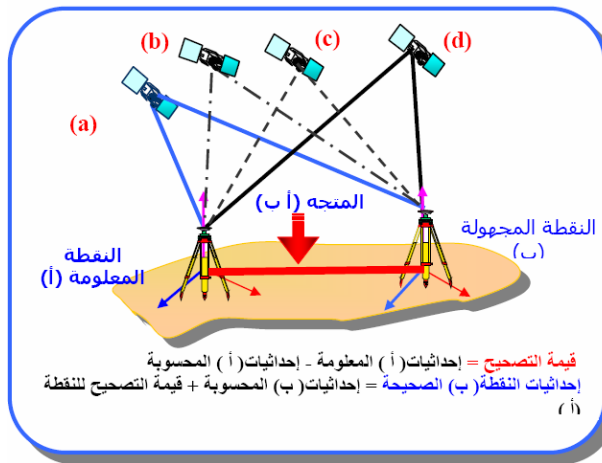
أيضاً من المشكلات التي تواجه عملية تحديد الموقع باستخدام فرق طور الموجة الحاملة: تحديد قيمة الغموض المجهول N' وأيضاً تأثير مصادر الأخطاء الأخرى δ في المعادلة (٤-٥). كما أن الغموض سيظل ثابت القيمة طالما أستمر جهاز الجي بي أس في استقبال الموجة القادمة من هذا القمر الصناعي ، بينما إذا انقطع هذا الاستقبال (بسبب أي عوائق منعته من الوصول لجهاز الاستقبال) فأن قيمة الغموض N' ستتغير وتصبح مجهول جديد عند عودة الاستقبال مرة أخرى. وهذه الحالة هي ما يطلق عليها "خطأ تغير الدورة" Cycle Slip (شكل ٦-٤).



شكل ٦-٤
خطأ تغير الدورة

² Al-Rabbany, A., 2002, Introduction to GPS: The Global Positioning System, Artech House, Inc., Boston, USA.

لذلك لجأ علماء الجيوديسيا إلى فكرة الفروقات Differencing التي تتيح حذف تأثير بعض مصادر الأخطاء عند رصد إشارات الجي بي أس باستخدام جهازي استقبال في نقطتين مختلفتين ويعملان معاً في نفس الوقت. وفي هذه الحالة يمكن حساب فرق الإحداثيات، (ΔX) (ΔY), (ΔZ) بين النقطتين الأرضيتين بدقة عالية بدلًا من حساب إحداثيات نقطة واحدة كما في أسلوب التحديد المطلق للإحداثيات. ومن ثم فيطلق - عامة - على هذا النوع من أرصاد الجي بي أس اسم التحديد النسبي للموقع Relative Positioning (شكل ٧-٤).



شكل ٧-٤
التحديد النسبي للموقع

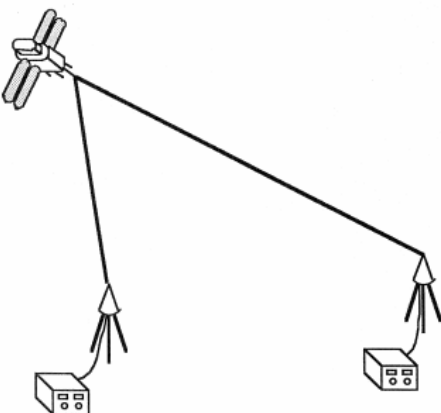
٤-٤ مبدأ الفروقات في مرحلة الحسابات:

يمكن تقسيم مصادر الأخطاء التي تؤثر على أرصاد الجي بي أس (وبالتالي دقة تحديد الموقع) إلى ثلاثة مجموعات: أخطاء الأقمار الصناعية ، أخطاء أجهزة الاستقبال ، أخطاء تأثير الغلاف الجوي والأخطاء العشوائية. فإذا أخذنا أخطاء الأقمار الصناعية كمثال: إذا كان لدينا جهاز استقبال يرصدان نفس القمر الصناعي في نفس اللحظة وكانت المسافة بين موقعي الجهازين صغيرة فيمكن أن نتوقع أن تأثير خطأ القمر الصناعي و أيضاً تأثير طبقة الغلاف الجوي سيكون متساوي القيمة - تقريباً - على المسافتين من هذا القمر الصناعي إلى هذين الجهازين الأرضيين. وبالتالي فإذا طرحا الأرصاد (المعادلتين) عند كلا الجهازين فأنت سنظل بنسبة كبيرة جداً من تأثير هذين الخطأين على الحل الناتج ، لكن من المهم جداً أن ندرك أن هذا الحل لن يكون إحداثيات نقطتي الرصد- X_1, Y_1, Z_1 للنقطة الأولى ولا X_2, Y_2, Z_2 للنقطة الثانية - لكن الفرق بينهما (ΔX , ΔY , ΔZ) ، ومن هنا جاءت تسمية التحديد "النسبي" للموقع. هذا المبدأ أو الحل يطلق عليه اسم الفرق (أو التفاضل في بعض الترجمات^٣) الأحادي بين المستقبلات Between-Receiver Single Difference (شكل ٨-٤).

³ المؤسسة العامة للتعليم الفني والتدريب المهني ، ١٤٢٦ هـ ، النظام الكوني لتحديد الموقع ، مقرر دراسي لطلاب المعاهد الثانوية الفنية ، الرياض ، المملكة العربية السعودية.

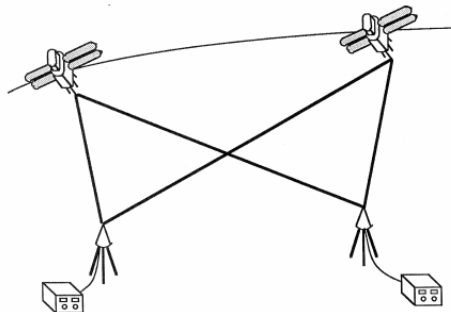
⁴ سمونة ، محمد علي ، ٢٠٠٥ ، نظام تحديد الموقع العالمي ، مقرر الجيوديسيا الفضائية لطلاب الدبلوم بجامعة الملك سعود بالرياض ، المملكة العربية السعودية ، صفحة: http://faculty.ksu.edu.sa/hbilani/SE412ppt%20presentations/diplome_6.ppt#257,1

⁵ Wells, D., Beck, N., Delikaraoglou, D., Kleusberg, A., Krakiwsky, E., Lacgapelle, G., Langley, R., Nakiboglu, M., Schwarz, K.,



شكل ٨-٤
الفرق الأحادي بين المستقبلات

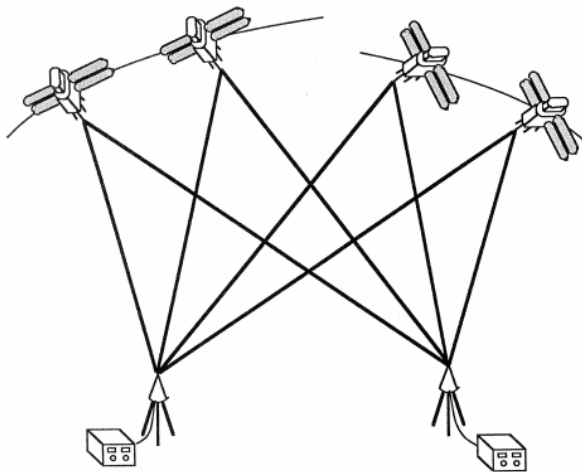
بنفس المبدأ يمكن تطوير نوع آخر من الفروقات (أثناء عملية حسابات أرصاد الجي بي أس Data Processing) إذا كان لدينا جهاز استقبال يرصدان قمررين صناعيين في نفس اللحظة. بعد تكوين معادلة الفرق الأحادي بين المستقبلات لكلا نقطتي الرصد مع القمر الصناعي الأول ، نقوم بتكوين معادلة الفرق الأحادي بين المستقبلات لكلا نقطتي الرصد مع القمر الصناعي الثاني. وبعد ذلك نطرح كلتا الفرقتين الأحاديتين من بعضهما فنتوصل إلى معادلة ما يسمى بالفرق الثنائي Double Difference (شكل ٩-٤). يتميز الفرق الثنائي أنه يزيل (أو يقلل بنسبة كبيرة) من أخطاء الأقمار الصناعية وتأثير الغلاف الجوي (مثل الفرق الأحادي) بالإضافة إلى أخطاء ساعات أو زمن أجهزة المستقلات أيضاً.



شكل ٩-٤
الفرق الثنائي

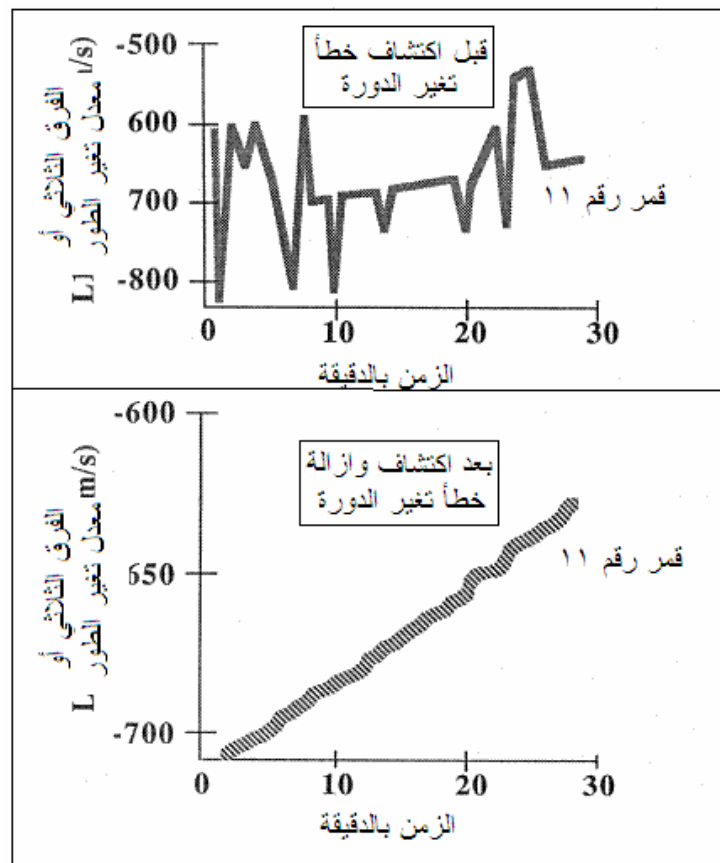
يأتي الفرق الثلاثي Triple Difference كأحد أساليب الفروقات الهامة في حسابات أرصاد الجي بي أس (شكل ١٠-٤) ، والذي يقوم على مبدأ طرح معادلتين فرق ثانوي من بعضهم البعض ، أي حالة جهازين استقبال يرصدان نفس القمررين الصناعيين في لحظتي رصد متتاليتين (وليس لحظة رصد واحدة مثل حالة الفرق الثنائي).

Tranquilla, J., and Vanicek, P., 1986, Guide to GPS positioning, Department of geodesy and geomatics engineering lecture note 58, University of New Brunswick, Canada, 291 pp.



شكل ١٠-٤
الفرق الثلاثي

تبعد أهمية (حل أو معادلة) الفرق الثلاثي من نقطة هامة جداً: كما سبق الإشارة إلى أن قيمة خطأ الغموض Ambiguity تعتبر هامة جداً في أرصاد طور الموجة الحاملة للوصول لدقة عالية في تحديد الموضع. هذه القيمة (التي يمكن حسابها من معادلات الفرق الثنائي) تظل قيمة ثابتة طالما هناك استمرارية في وصول موجات القمر الصناعي إلى جهاز الاستقبال. فإذا انقطعت هذه الاستمرارية (بسبب وجود أي عائق قريب من جهاز الاستقبال) فإن قيمة خطأ الغموض ستتغير وهي الحالة المعروفة باسم خطأ تغير الدورة Cycle Slip. في معادلة الفرق الثلاثي سيختفي مجهول الغموض (أي لا يمكن تحديده من هذا الفرق)، فإذا حدث خطأ تغير الدورة فسيظهر في معادلة واحدة فقط – لهذه اللحظة – ولن يظهر في معادلة اللحظة التالية بعد عودة استمرارية الاستقبال مرة أخرى. ومن هنا فإن لحظة حدوث الخطأ ستظهر كقفزة مفاجئة في أرصاد الفروقات الثلاثية ، مما يسهل لنا تحديد هذه اللحظة التي حدث بها انقطاع الاستقبال – من القمر الصناعي – وبالتالي إمكانية حساب قيمة خطأ الغموض الجديدة بعد عودة الاستقبال مرة أخرى (شكل ١١-٤).



شكل ١١-٤
خطاً تغير الدورة في الفرق الثلاثي

٤-٥ الحسابات المبدئية لأرصاد الجي بي أس:

يعتقد العديد من مستخدمي نظام الجي بي أس - في البلاد العربية - أن برامج الحسابات Data Processing Software التي تأتي مع الأجهزة تكون تامة و مناسبة لكل مراحل الحسابات دون أي حاجة للمستخدم أن يعرف كيف تمت هذه الحسابات. ومن هنا فيليجاً بعضهم إلى ما يسمى الحساب الآلي Auto-Processing – وهو وظيفة في هذه البرامج لتنفيذ الحسابات آلياً - دون الاطلاع على المعاملات التي قام البرنامج بتطبيقها عند تنفيذ هذه الحسابات Configuration Parameters. إن برامج الحسابات تم إنتاجها من قبل شركات متخصصة ، لكن داخل البرنامج توجد العديد من الاختيارات و المعاملات التي يجب أن يلم بها المستخدم ليقرر هو الاختيارات المناسبة في كل حالة وكل مشروع. وسنعرض هنا لبعض أمثلة يجب أخذها في الاعتبار.

حتى الآن فأن الفروقات (سواء الأحادية أو الثنائية أو الثلاثية) يمكن تكوينها إما باستخدام أرصاد الشفرة أو باستخدام أرصاد طور الموجة ، على التردد الأول L1 من تردد الأقمار الصناعية (أجهزة الاستقبال أحادية التردد Single-Frequency GPS Receivers). أما في حالة قدرة جهاز الرصد على استقبال كلا الترددتين (الأجهزة ثنائية التردد Dual-Frequency GPS Receivers) والتي تكون أغلى سعراً من الأجهزة أحادية التردد

فيوجد نوع آخر من الفروقات - أو طرق الحل - يمكن تطويره. فإذا كان لدينا فرق ثنائي - مثلا - لأرصاد التردد الأول و فرق ثنائي لأرصاد التردد الثاني فمن المنطقي أن نفترض أن تأثير خطا الأيونوسفير سيكون تقريبا واحد على كلا المعادلين أو الرصدتين. فإذا طرحنا كلتا المعادلين (لكل التردددين) فسينتج لنا معادلة جديدة لن يكون فيها تأثير هذا الخطأ ، وهو الفرق المسمى "الخالي من الأيونوسفير Iono-Free Solution". وبالطبع فإن هذا الحل سيكون أدق من أي نوع آخر من الحلول أو الفروقات بسبب أن تأثير الأيونوسفير يعد أكبر و أهم مصادر الأخطاء على أرصاد الجي بي أس.

أيضا عند توفر أرصاد كلا التردددين (L1, L2) فيمكن دمج كلا التردددين لتطوير نوع افتراضي من الأرصاد يسمى Wide-Lane أو الحارة الواسعة ، ومن مميزاته أن طول الموجة له سيكون ٨٦ سنتيمتر (وليس ١٩ أو ٢٤ سنتيمتر للتردددين الأصليين أو الحقيقيين) مما يسمح بسهولة تحديد قيمة الغموض Ambiguity.

عند تحديد قيمة الغموض يقوم برنامج الحساب بعدد من تكرارات الحلول Iterations للوصول إلى العدد الصحيح من الدورات الكاملة الذي يعبر عن قيمة هذا الخطأ. بالطبع فإن الحل الرياضي لا يصل إلى عدد صحيح Integer لكن إذا كانت جودة الحل عالية فإن أقرب عدد صحيح سيكون هو القيمة المناسبة للغموض. مثلا: إذا كان أحسن الحلول لعدد الدورات الكاملة = ٨٥٦.٦ دورة فإن أحسن قيمة للغموض (والتي يجب أن تكون عددا صحيحا) ستكون ٨٥٧ دورة. السؤال الآن هو كيف سيحدد البرنامج "أحسن" حل من هذه الحلول أو التكرارت؟ يتم ذلك عن طريق معاملات إحصائية تقيم جودة كل حل أو تكرار iteration حتى يمكن تحديد أي الحلول هو الأحسن. فإذا أجتاز حل هذه الاختبارات الإحصائية فنطلق عليه مصطلح الحب الثابت Fixed Solution ، أما إن لم يجتاز أي حل من الحلول هذه الاختبارات الإحصائية فإن أفضل الحلول يطلق عليه مصطلح الحل غير الثابت Float Solution. وبالطبع فإن الحل الثابت يكون هو الأدق (لأنه توصل إلى قيمة دقيقة للغموض) ويجب استخدامه في مراحل الحسابات التالية.

في حالة التوصل إلى حل ثابت وأيضا - في نفس الوقت - يكون خالي من تأثير الأيونوسفير Iono-Free Fixed Solution فيعد هو أدق الحلول أو أدق قيمة لفرق إحداثيات النقطتين في التحديد النسبي للموضع Relative Positioning . وحيث أن أرصاد الجي بي أس - عامة - تشمل على أرصاد أكبر من العدد الضروري ، أي أرصاد زائدة Redundant Observations بهدف استخدامها في التأكيد و التحقيق ، فمن المهم اختيار أي الأرصاد ستدخل في المرحلة النهائية لحسابات إحداثيات النقط المرصودة. كمثال: إذا تم رصد خط بين نقطتين في يومين مختلفين ، وكان حل أرصاد اليوم الأول من النوع غير الثابت Float بينما نتج حل ثابت Fixed من أرصاد اليوم الثاني ، فمن المنطقي أن نفضل الحل الثابت عن الحل الآخر و نعتمد عليه في حساب الإحداثيات لاحقا. من هنا تأتي أهمية أن يلم مستخدم الجي بي أس (و خاصة للتطبيقات المساحية و الجيوديسية) بأنواع الحلول و خصائص كل نوع وأيضا معاملات الحساب في البرنامج Software حتى يكون المستخدم قرار النهائي السليم في كيفية تنفيذ الحسابات أولاً في الوصول إلى أحسن وأدق قيم إحداثيات النقاط المرصودة بنظام الجي بي أس.

الفصل الخامس

طرق الرصد

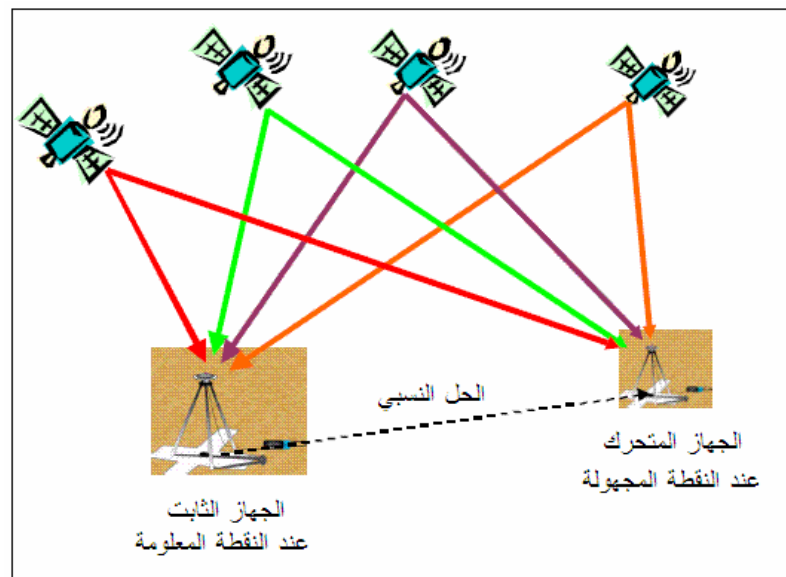
١-٥ مقدمة:

لتحديد إحداثيات موقع أو نقطة معينة يكفي استخدام جهاز استقبال واحد يقوم باستقبال الموجات المرسلة من الأقمار الصناعية ، وهذا ما يطلق عليه التحديد المطلق للموقع **Absolute Point Positioning**. لكن دقة هذه الإحداثيات ستكون في حدود عدة أمتار مما يجعل هذا الأسلوب مناسباً للتطبيقات الملاحية وبعض تطبيقات نظم المعلومات الجغرافية أو للخرائط ذات مقاييس الرسم الصغير ، لكنه بالطبع لن يكون مناسباً للتطبيقات المساحية و الجيوديسية التي تتطلب دقة عالية في تحديد الموقع.

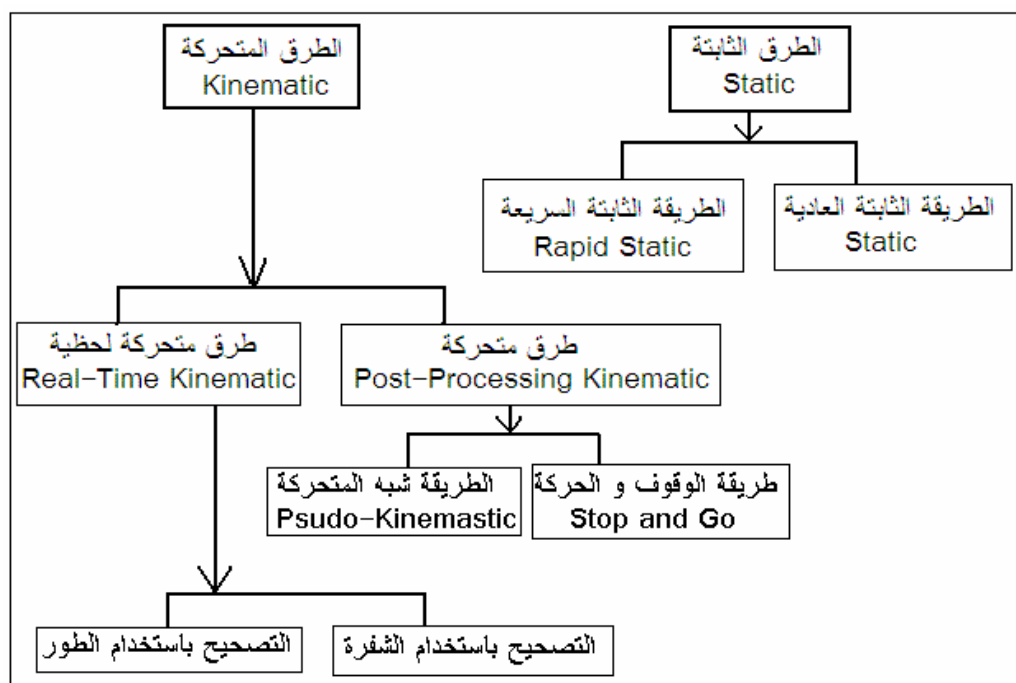
تتعدد طرق الرصد المساحية بنظام الجي بي أس بطريقة كبيرة بناءاً على عدة عوامل مثل عدد أجهزة الاستقبال المتوفرة و الدقة المطلوبة أو طبيعة المشروع. يجب على مستخدم الجي بي أس أن يلم بمميزات و عيوب كل طريقة قبل أن يقرر الطريقة التي يتبعها في مشروع معين.

تعتمد الطرق المساحية لجمع أرصاد الجي بي أس على أسلوب الرصد النسبي أو الرصد التفاضلي **Relative or Differential** حيث يكون هناك جهازي استقبال (شكل ١-٥) أحدهما يسمى القاعدة **Reference Receiver** أو الجهاز المرجعي **Base Receiver** موجوداً على نقطة مساحية معلومة بإحداثيات ، بينما الجهاز الثاني يسمى المتحرك **Rover Receiver** وهو الذي يتولى رصد النقاط المطلوب تحديدها موقعها ، ويقوم كلا الجهازين برصد الأقمار الصناعية آنياً **simultaneously** في نفس الوقت. يقوم الجهاز الثابت أو القاعدة بتحديد قيمة الخطأ في إشارات الأقمار الصناعية في كل لحظة وذلك عن طريق مقارنة الإحداثيات المعلومة لهذه النقطة مع إحداثياتها المحسوبة من أرصاد الجي بي أنس. بافتراض أن المسافة بين جهاز القاعدة و الجهاز المتحرك ليست كبيرة فيمكن اعتماد مبدأ أن تأثير أخطاء الرصد عند النقطة المتحركة تساوي تقريباً نفس التأثير عند النقطة القاعدة ، ومن ثم يمكن أيضاً تصحيح إحداثيات النقاط التي يرصدها الجهاز الآخر أو الجهاز المتحرك ، عن طريق نقل هذه التصحيحات من الجهاز الثابت إلى الجهاز المتحرك. قد تتم عملية نقل التصحيحات في المكتب بعد انتهاء تجميع البيانات الحقلية (تسمى المعالجة اللاحقة **Post-Processing**) أو تتم لحظياً في الموقع (تسمى التصحيح اللحظي **Real-Time**). وتتجدر الإشارة إلى أن الحل الناتج من هذه الطرق يكون حلاً نسبياً - أي فرق الإحداثيات - بين النقطة المعلومة و النقطة المجهولة (ΔX , ΔY , ΔZ) والذي سيضاف إلى إحداثيات النقطة المعلومة ليمكننا حساب إحداثيات النقطة المجهولة.

بصفة عامة يمكن تقسيم طرق الرصد إلى مجموعتين رئيستين (شكل ٢-٥): الطرق الثابتة **Static** – ومنها الطريقة التقليدية و الطريقة السريعة – والطرق المتحركة **Kinematic** و منها طرق تعتمد على الحساب اللاحق و أخرى تعتمد على استقبال تصحيحات بهدف إكمال عملية حساب الإحداثيات في الموقع مباشرةً. وتتجدر الإشارة إلى أن الطريقة الثابتة التقليدية هي الأنسب لمشروعات المساحة الجيوديسية التي تتطلب دقة عالية (مثل إنشاء شبكات الثوابت الأرضية) بينما باقي الطرق تكون مناسبة للأعمال المساحية والرفع المساحي. وسنستعرض مواصفات و مميزات طرق الرصد في هذا الفصل.



شكل ١-٥
مبدأ الرصد النسبي لأرصاد الجي بي أس



شكل ٢-٥
طرق رصد الجي بي أس

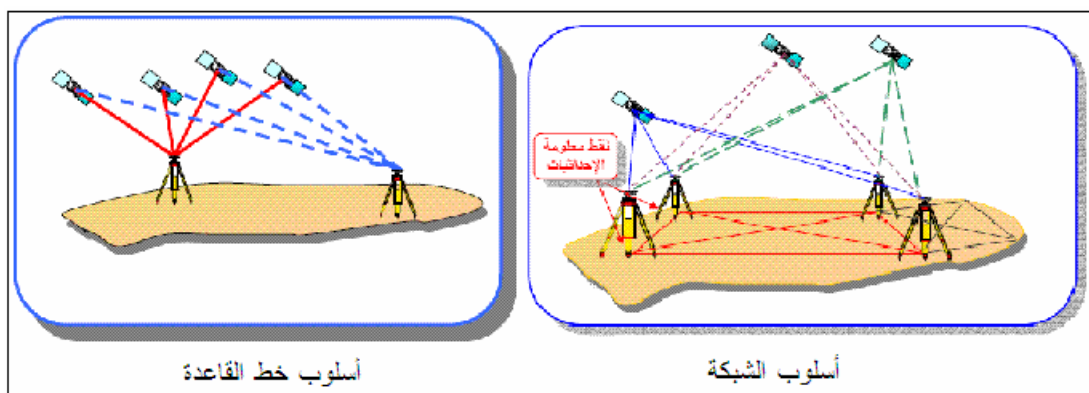
٢-٥ طرق الرصد الثابتة :Static

تعد طرق الرصد الثابتة أنساب طرق رصد الجي بي أس للتطبيقات المساحية والجيوديسية التي تتطلب دقة عالية (تصل إلى مستوى المليمتر) في تحديد الموقع. الطريقة الثابتة التقليدية هي أقدم - و أدق أيضا - طرق رصد الجي بي أس بينما ظهرت بعدها طريقة أخرى (أو تعديل لها) سميت بالرصد الثابت السريع.

٢-٦ طريقة الرصد الثابت التقليدي :Static

في هذه الطريقة يحتل الجهاز الثابت نقطة معلومة الإحداثيات بينما يقوم الجهاز الآخر (أو عدد من الأجهزة) باحتلال النقطة (أو النقاط) المجهولة المطلوب تحديد موقعها ، وفي نفس الوقت تبدأ كل الأجهزة في استقبال إشارات الأقمار الصناعية. الأجهزة الجيوديسية ثنائية التردد Dual-Frequency Geodetic Receivers هي الأجهزة المستخدمة في هذه الطريقة حتى يمكن الوصول لمستوي الدقة المطلوبة ، وإن كان يمكن استخدام الأجهزة أحادية التردد Single-Frequency Receivers للمسافات الصغيرة التي لا تتجاوز ٢٠ كيلومتر. تتراوح فترة الرصد المشترك session التي تعمل خلالها أجهزة الاستقبال بين ٣٠ دقيقة و عدة ساعات طبقاً لطول المسافات بين الجهاز الثابت والأجهزة الأخرى (ما يطلق عليه خط القاعدة أو خطوط القواعد Base Line). تقوم أجهزة الاستقبال بتجميع الأرصاد بمعدل رصده كل ٢٠-١٥ ثانية (Sample Rate).

توجد عدة أساليب لتجميع البيانات تعتمد على عدد أجهزة الاستقبال المتوفرة^١. إذا لم يتتوفر إلا جهازين استقبال ففيتم العمل بأسلوب خط القاعدة Base Line حيث يوضع الجهاز الثابت أعلى النقطة المعلومة والجهاز الآخر أعلى أولى النقاط المجهولة لفترة زمنية معينة ، ثم ينتقل لرصد النقطة المجهولة الثانية ثم الثالثة وهكذا. بينما في حالة توافر أكثر من جهازين فإن أسلوب العمل يتم بطريقة الشبكة Network حيث جهاز (أو اثنين أحياناً) فوق النقطة (أو النقطتين) المعلومتين بينما توضع باقي الأجهزة على النقاط المجهولة (شكل ٣-٥).



**٣-٥
أساليب الرصد الثابت التقليدي**

^١ Nassar, M., 1994, Advanced geometric geodesy, Lecture notes, Faculty of Engineering, Ain Shams University, Cairo, Egypt.

بعد انتهاء تجميع الأرصاد الحقلية يتم نقل البيانات (من جميع الأجهزة) إلى الحاسوب الآلي حيث تتولى برامج متخصصة GPS Data Processing Software تنفيذ عمليات الحساب والضبط للوصول إلى قيم دقيقة لإحداثيات النقاط المجهولة. إذا كانت أطوال خطوط القواعد صغيرة نسبياً (٢٠-١٥ كيلومتر) فيمكن تحديد قيمة الغموض بدقة والوصول إلى نوع الحل الثابت Fixed Solution ، بينما لخطوط القواعد الطويلة فمن المتوقع ألا يتم الوصول لقيمة صحيحة integer لخطأ الغموض ، ومن ثم فيكون الحل الحالي من الأيونوسفير هو الأفضل (انظر ٤-٥). أما لخطوط الطويلة جداً (مئات الكيلومترات) فيفضل استخدام برامج الحساب العلمية - مثل برنامج BERNSE من جامعة برن السويسرية – لأنها برامج أفضل من تلك البرامج التجارية العاديّة لهذه الحالات.

الدقة المتوقعة لطريقة الرصد الثابت التقليدية تكون $5 \text{ ملليمتر} \pm 1 \text{ جزء من المليون (ppm)}$ أي $5 \text{ ملليمتر} + \text{ملليمتر لكل واحد كيلومتر من طول خط الفقاعدة. كمثال: لخط فقاعدة طوله } 20 \text{ كيلومتر ، فإن الدقة المتوقعة} = 20 + 5 = 25 \text{ ملليمتر. تجدر الإشارة إلى أنه يمكن الوصول لدقة أحسن من هذا المستوى العام باستخدام أجهزة جيوبصيّة حديثة وأيضاً باستخدام مدارات أكثر دقة للأقمار الصناعية (انظر الجزء ٢-٩).}$

توجد عدة مواصفات دولية منشورة تحدد التفاصيل التقنية للرصد و الحساب لطرق رصد الجي بي أس ، والتي يمكن الحصول عليها من عدد من المواقع على شبكة الانترنت (الروابط موجودة في ملحق المكتبة الرقمية المساحية). أما في الدول العربية فلا توجد مواصفات فنية منشورة أو متاحة ، وإن كانت هناك دراسة^٢ عن مواصفات جيوديسية مصرية مقترنة (مترجمة في أحد الملاحق في نهاية هذا الكتاب) وتم فعلاً تطبيقها في بعض مشروعات الجي بي أس في مصر^٣.

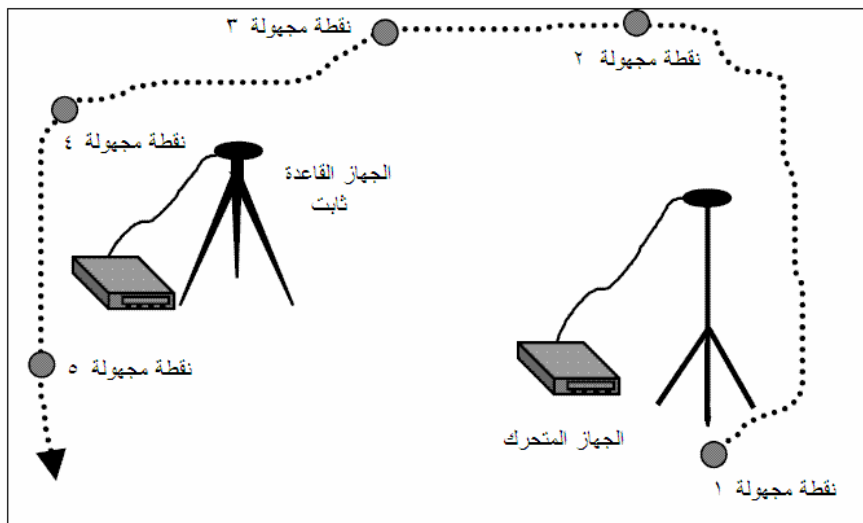
٢-٢-٥ طريقة الرصد الثابت السريع :Rapid Static

في حالة وقوع النقاط المجهولة (المطلوب تحديد إحداثياتها) في نطاق مسافة قصيرة – في حدود ١٥-١٠ كيلومتر - من موقع النقطة المعلومة أو المرجعية فيمكن للجهاز المتحرك أن يرصد نقطة مجهولة لمدة زمنية بسيطة ، ثم ينتقل لرصد نقطة مجهولة ثانية وثالثة وهكذا. يكون الجهاز القاعدة أو الجهاز المرجعي مستمراً في تجميع الأرصاد طوال فترات الرصد كلها لتتوفر أرصاد مشتركة مع الجهاز المتحرك عند كل نقطة مجهولة يقوم برصدها. لذلك سميت هذه الطريقة بالرصد الثابت السريع Fast or Rapid Static (شكل ٤-٥^٤). تتراوح فترة الرصد session عند كل نقطة مجهولة بين ٢ و ١٠ دقائق ، وبمعدل رصد sample rate كل ٢٠-١٥ ثانية مثل الطريقة الثابتة التقليدية. وأيضاً يتم نقل الأرصاد من كلا الجهازين إلى الحاسوب الآلي لإجراء عمليات الحسابات واستنتاج إحداثيات النقاط المجهولة التي تم رصدها.

² Dawod, G., 2003b, Proposed standards and specifications for GPS geodetic surveys in Egypt, Water Science Magazine, No. 33, April. pp. 33-39.

³ Dawod, G., and Abdel-Aziz, T., 2003, Establishment of precise geodetic control networks for updating the River Nile maps, Proceedings of Al-Azhar Engineering Seventh International Conference (CD No. 3), Al-Azhar University, Cairo, April 7-10.

⁴ Al-Rabbany, A., 2002, Introduction to GPS: The Global Positioning System, Artech House, Inc., Boston, USA.



شكل ٤-٥
طرق الرصد الثابت السريع

تتميز طريقة الرصد الثابت السريع أنها تقلل بدرجة كبيرة من الوقت اللازم لجمع البيانات الحقلية ، مما يجعلها مناسبة للأعمال المساحية التفصيلية و الطبوغرافية في منطقة صغيرة. لكن وعلى الجانب الآخر فإن الدقة المتوقعة لهذه الطريقة ($10 \text{ ملليمتر} \pm 1 \text{ ppm}$) لا تصل لنفس مستوى دقة طريقة الرصد الثابت التقليدية مما يجعلها غير مطبقة في الأعمال الجيوديسية الدقيقة.

٤-٥ طرق الرصد المتحركة :Kinematic

تعتمد فكرة الرصد المتحرك على وجود جهاز ثابت مرجعي Base على النقطة المعلومة بينما يتحرك الجهاز الآخر Rover (أو الأجهزة) لرصد عدد من النقاط المجهولة. تختلف طرق الرصد المتحرك بناءً على عاملين: أسلوب حركة الجهاز الثاني ، طريقة نقل التصحيحات من الجهاز الثابت لباقي الأجهزة.

٤-٣-٥ طرق الرصد المتحرك والحساب لاحقا:

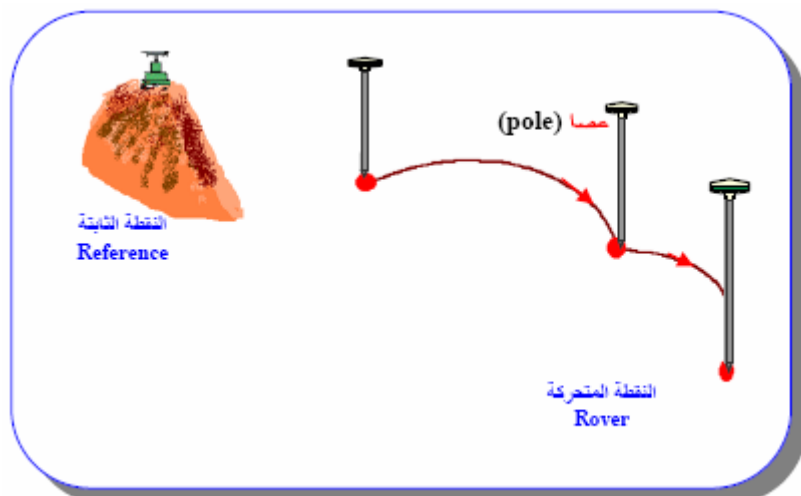
في هذه النوعية من أساليب الرصد المتحرك يتم الاعتماد على أن التصحيحات - التي يقوم بحسابها الجهاز المثبت فوق النقطة المعلومة – سيتم نقلها إلى أرصاد الأجهزة المتحركة عن طريق برنامج الحاسوب software في الحاسوب الآلي بعد انتهاء الأعمال الحقلية. أي أن حساب إحداثيات النقاط المرصودة سيكون في المكتب أو Post-Processing وليس في الحقل (تسمى هذه الطرق PPK اختصاراً لكلمات Post-Processing Kinematic).

أولي هذه النوعية طريقة الذهاب و التوقف Stop and Go وفيها يتوقف الجهاز المتحرك Rover لمدة ٣٠-١٥ ثانية ليرصد كل نقطة من النقاط المجهولة. في أولي النقاط المجهولة

⁵ الريبيش ، محمد بن حجيilan ، ١٤٢٠ هـ ، النظام الكوني لتحديد الموقع ، الرياض ، المملكة العربية السعودية.

يتوقف جهاز للاستقبال لمدة ١٠-٥ دقائق يجمع فيها عدد من أرصاد الأقمار الصناعية يسمح بحساب قيمة الغموض Ambiguity ، وتسمى هذه الخطوة: الإعداد Initialization. ثم يبدأ التحرك إلى النقطة الثانية ثم الثالثة وهكذا وهو مستمر في تجميع الأرصاد. طالما لم ينقطع الاتصال (استمرارية استقبال الموجات) بين المستقبل والأقمار الصناعية فتستمر حركة الجهاز ، إما إذا انقطع هذا الاستمرار – أي حدث خطأ تغير الدورة Cycle Slip – فيجب العودة لآخر نقطة مرسومة وبقاء أعلىها في وضع الثبات لمدة ١٠-٥ دقائق (عملية إعداد جديدة)، ومن هنا جاء اسم هذه الطريقة: الذهاب والتوقف (شكل ٥-٥) والتي تناسب الرفع المساحي التفصيلي في حدود ١٥-١٠ كيلومتر حول النقطة المعلومة. تقليدياً كانت طريقة الذهاب والتوقف أقدم طرق الرصد المتحرك – تم تطويرها في نهاية الثمانينيات من القرن العشرين الميلادي – وربما لم تعد مستخدمة بكثرة الآن.

ثاني وأحدث طرق الرصد المتحرك هي ما تعرف باسم طريقة الرصد شبه المتحرك Pseudo-Kinematic والبعض يسميها طريقة الرصد المتحرك Kinematic مباشرة. وأهم مميزاتها أنها لا تتطلب الوقوف عند كل نقطة مجهولة ، إنما تكتفي برصدها حتى ولو ثانية واحدة. أيضاً لا تتطلب طريقة الرصد شبه المتحرك إجراء عملية الإعداد لأنها تطبق مبدأ رياضي حيث يسمح بحساب قيمة الغموض أثناء بدء حركة الجهاز Rover من نقطة لآخر (يسمى الحل الطائر On-The-Fly أو اختصاراً OFT). أيضاً في هذه الطريقة يتم ضبط جهاز الاستقبال بحيث يسجل الأرصاد آلياً كل فترة زمنية معينة (مثلاً كل ثانية) ولا توجد حاجة للمستخدم لإعطاء أمر الرصد في جهاز الاستقبال عند كل نقطة مجهولة كما في طريقة الذهاب والتوقف. كل هذه المميزات جعلت طريقة الرصد شبه المتحرك أكثر جاذبية وأسهل وأرخص لتطبيقات الرفع المساحي. كمثال تم تطبيق هذه الطريقة في عام ١٩٩٩ في مصر لإنشاء خرائط كنторية لمنطقة في جنوب مصر (توشكى) تبلغ مساحتها ٧٥٠٠٠ فدان (الفدان = ٤٢٠٠ متر مربع) وتم إنجاز العمل في مدة لم تتجاوز الشهرين و بتكلفة مادية أقل بنسبة ٧٥٪ من تكلفة استخدام طرق المساحة الأرضية^٦.



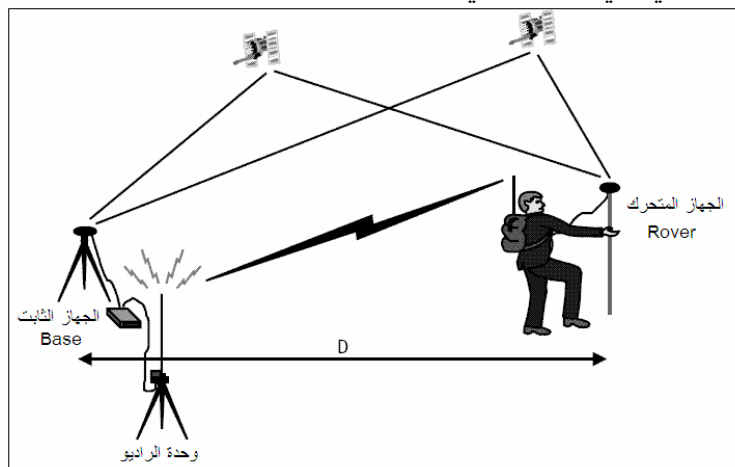
شكل ٥-٥
طريقة الذهاب و التوقف

⁶ Alnaggar, D., and Dawod, G., 1999, Efficiency of GPS techniques in national applications, Proceedings of the International Conference on Integrated Management of Water Resources in the 21st Century, Cairo, November 21-25, Volume II, pp. 741-752.

٢-٣-٥ طرق الرصد المتحرك مع الحساب اللحظي:

كانت الطرق التقليدية للرصد المتحرك تعتمد على فكرة تجميع الأرصاد في الموقع ثم إجراء الحسابات على الحاسوب الآلي في المكتب. لكن وجد مهندسو المساحة أن هناك حالات معينة - مثل توقيع نقاط معلومة الإحداثيات على أرض الواقع - تحتاج حساب قيم إحداثيات النقط المرصودة في نفس لحظة الرصد. من هنا بدأ التفكير في تطوير طرق رصد متحركة جديدة. تعتمد هذه الطرق على وجود جهاز راديو عند النقطة الثابت يقوم بارسال أو بث التصحيحات التي يقوم الجهاز المرجعي بحسابها إلى الجهاز (أو الأجهزة) المتحرك والذي بدورها يكون متصل بجهاز راديو لاسلكي آخر (شكل ٦-٥). أي أن الجهاز المتحرك سيتكون من وحدتين: وحدة استقبال إشارات الأقمار الصناعية ، بالإضافة إلى وحدة استقبال لا سلكية لاستقبال التصحيحات المرسلة من الجهاز الثابت. من أرصاد الأقمار الصناعية يقوم الجهاز المتحرك بحساب إحداثيات النقطة المرصودة (لكلها إحداثيات غير دقيقة تماماً) ومن تصحيحات الجهاز المرجعي يقوم الجهاز المتحرك بتصحيح الإحداثيات للوصول إلى قيم دقيقة في نفس اللحظة ، ولذلك فتسمى هذه الطرق بطرق الرصد المتحرك الآني Real-Time.

بناء على نوع التصحيحات التي يحسبها الجهاز الثابت فتوجد طريقتين من طرق الرصد المتحرك مع الحساب اللحظي. إذا كانت التصحيحات خاصة بأرصاد الشفرة code فإن الطريقة تسمى الجي بي أس التقاضلي GPS Differential أو اختصارا DGPS. بينما إن كان الجهاز الثابت يقوم بحساب و تصحيح أرصاد طور الموجة Carrier Phase فأن الطريقة تسمى الرصد المتحرك اللحظي RTK أو اختصارا Real-Time Kinematic. وكما سبق الإشارة فإن أرصاد طور الموجة تكون أكثر دقة من أرصاد الشفرة مما يؤدي إلى أن دقة طريقة الجي بي أس التقاضلي DGPS تكون عدة ديسيمترات أو ما هو أقل من المتر، بينما تصل دقة طريقة الرصد المتحرك اللحظي RTK إلى ٥-٢ سنتيمتر^٧. ولذلك فإن طرق الرصد التقاضلي تستخدم في التطبيقات الملاحية ونظم المعلومات الجغرافية بينما طريقة الرصد المتحرك اللحظي هي المطبقة في الأعمال المساحية.



شكل ٦-٥
طريقة الرصد المتحرك اللحظي

⁷ Al-Rabbany, A., 2002, Introduction to GPS: The Global Positioning System, Artech House, Inc., Boston, USA.

٤-٥ مقارنة بين طرق الرصد المختلفة:

إذا أخذنا عامل الدقة كمقياس للمقارنة بين طرق الرصد في نظام الجي بي أس فإن أعلى هذه الطرق دقة هي طريقة الرصد الثابت التقليدية. أما إذا أخذنا العامل الاقتصادي فإن طرق الرصد المتحرك تقلل بنسبة كبيرة من الزمن اللازم لتجمیع القياسات الحقيقة مما يجعلها أرخص تكلفة من الطرق الثابتة. لكن هناك عوامل أخرى يجب أخذها في الاعتبار ، فمثلاً تكلفة شراء وحدات الراديو اللاسلكية وقدرة هذه الأجهزة على بث التصحيحات يضيف عاملًا جديداً في وضع ميزانية شراء أجهزة الجي بي أس.

أما بالنسبة للمقارنة بين الحساب اللاحق Post-Processing والحساب الآني Real-Time فهناك عوامل أخرى يجب وضعها في الحساب. فهي أسلوب الرصد مع الحساب اللاحق متوافر للمستخدم – باستخدام برامج الحاسوب الآلي المتخصصة - فرصة للتحقق من الأرصاد التي تم تجمیعها والتأكد من جودتها والتحكم في عمليات الحساب حتى الوصول للإحداثيات النهائية لل نقاط المرصودة. على الجانب الآخر فإن أسلوب الرصد المتحرك مع الحساب الآني لا يوفر هذه الميزة ، وعلى المستخدم أن يقبل الإحداثيات المحسوبة كما هي مهما كان مستوى الدقة التي أمكن التوصل إليها (غالباً يكون أقل دقة من حالة الحساب اللاحق). من وجهة نظر الكثير من مستخدمي الجي بي أس – وخاصة في البلدان العربية – فإن الرصد المتحرك الآني هو الأسهل لأنّه لا يحتاج لخبرة كبيرة في التعامل مع برامج متخصصة ، كما أنه يعطي النتائج في نفس لحظة الرصد دون الحاجة لأية عمليات حسابية في المكتب. لكن هذا الأسلوب لا يجب أن يطبق إلا في حالة الحاجة للإحداثيات فعلاً أثناء الرصد أي في أعمال التوقيع المساحي Setting Out. الجدولان ١-٥^٨ و ٢-٥^٩ يقدمان مقارنة سريعة بين الطرق المختلفة للرصد باستخدام نظام الجي بي أس.

^٨ US Army Corps of Engineering, 2003, NAVSTAR Global Positioning System Surveying, Technical Manual No. EM1110-1-1003, Washington, D.C., USA.

^٩ المؤسسة العامة للتعليم الفني والتدريب المهني ، ١٤٢٦ هـ ، النظام الكوني لتحديد الموقع ، مقرر دراسي لطلاب المعاهد الثانوية الفنية ، الرياض ، المملكة العربية السعودية.

جدول ١-٥
مقارنة بين طرق الرصد المختلفة

الدقة	التطبيقات	الاحتياجات	الطريقة
مليمترات.	المساحة الجيوديسية عالية الدقة.	- أجهزة استقبال أحادية أو ثنائية التردد. - فترة رصد من ٣٠ دقيقة إلى ساعة على الأقل.	الرصد الثابت التقليدي
مليمترات إلى سنتيمترات.	المساحة الأرضية والمساحة الجيوديسية متوسطة الدقة.	- أجهزة استقبال أحادية أو ثنائية التردد. - فترة رصد ٢٠-٥ دقيقة.	الرصد الثابت السريع
عدة سنتيمترات.	المساحة الأرضية متوسطة الدقة.	- أجهزة استقبال أحادية. - فترة رصد ٢-١ دقيقة. - تحتاج فترة إعداد في بداية الرصد.	الذهاب و التوقف
عدة سنتيمترات.	المساحة الأرضية والرفع المساحي.	- أجهزة استقبال أحادية أو ثنائية.	شبه التحرك
عدة سنتيمترات.	- التوقيع المساحي. - الرفع المساحي و الهيدروغرافي. - إنشاء ثوابت لضبط الصور الجوية. - المساحة الطبغرافية والخرائط الكتنورية.	- أجهزة استقبال أحادية أو ثنائية. - وحدة راديو لاسلكية. - المسافات لا تزيد عن ١٠ كيلومتر.	التحرك الحظي

جدول ٢-٥

مقارنة بين زمن الرصد و دقة طرق الرصد المختلفة

الدقة	زمن الرصد	الطريقة
١ سنتيمتر + ٢ جزء من المليون.	باستخدام أجهزة أحادية التردد: ٤٥ - ٦٠ دقيقة.	الرصد الثابت التقليدي
٥ .٠ سنتيمتر + ١ جزء من المليون.	باستخدام أجهزة أحادية التردد: ٤٥ - ٦٠ دقيقة ، ويزيد الزمن بزيادة المسافة بين الجهاز الثابت و المتحرك.	
قريبة من دقة الرصد الثابت التقليدي.	٢٠-٨ دقيقة طبقاً لعدد الأقمار المرصودة.	الرصد الثابت السريع
٢-٥ سنتيمتر + ٢ جزء من المليون.	٣٠-٥ ثانية	الذهب و التوقف
٥-٢ سنتيمتر + ٢ جزء من المليون.	٥ - ٠.٥ ثانية	شبه التحرك
٢ سنتيمتر + ٢ جزء من المليون.	٣٠-٥ ثانية تبعاً لحاجة العمل.	التحرك اللحظي

الفصل السادس

ضبط شبكات الجي بي أس

٦-١ مقدمة:

ضبط الأرصاد أو القياسات Adjustment هو عملية رياضية و إحصائية تهدف للوصول لأحسن أو أدق القيم المحسوبة التي تعد تقديرًا دقيقًا Estimate لقيمة الحقيقة لهذه القياسات. ومن هنا فإن عملية الضبط تعد من أهم خطوات العمل المساحي والجيوديسي لضمان الوصول إلى أدق الإحداثيات التي تعبّر عن حقيقة المواقع على سطح الأرض. كمثال بسيط: إذا قسنا زاوية معينة ٣ مرات ، فـأي هذه القياسات هي الأحسن أو الأدق؟ بالطبع سنجيب أن متوسط القيم الثلاثة سيكون هو الأفضل. نعم ، لكننا هنا نكون قد أجرينا فعلاً عملية ضبط Adjustment واستخدمنا معايرة رياضية (حساب المتوسط) كأساس للوصول لقيمة يمكن اعتمادها كأحسن التقديرات لهذه الزاوية. من هنا فإن عملية ضبط الأرصاد تطبق في العمل المساحي منذ عدة قرون ، ويجب الإلمام بمبادئها الأساسية لكل متخصص في الهندسة المساحية بكافة أفرعها.

تتعدد طرق ضبط الأرصاد بكثرة إلا أن طريقة مجموع أقل المربعات Least-Squares تعد هي الأشهر والأكثر تطبيقاً في مجال المساحة والجيوديسيا على مر العقود. ربما يعود أول عمل منشور عن نظرية أقل المربعات إلى نهاية القرن الثامن عشر الميلادي عندما بدأ العالم لابلاس Laplace في تأسيس هذه الطريقة ، إلا أن أول مقال منشور عنها كان في عام ١٨٠٥ بواسطة العالم لاجندر Legendre وتأصلت الطريقة وتطورت أساسياتها كثيراً على يد العالم جاؤس الذي استخدمها بكثافة أثناء دراسته في جامعة جوتبرج في عام ١٧٩٤ ولذلك فهو يعد من مؤسسي طريقة أقل المربعات حتى وإن لم ينشر عنها حتى عام ١٨٠٩^١. ومع ظهور تقنية الجي بي أس فقد استخدمت طريقة مجموع أقل المربعات بكثافة في ضبط الأرصاد و الشبكات التي تعتمد على هذه التقنية أيضًا^٢. وسنستعرض هنا ملخصاً بسيطاً عن هذه الطريقة و تطبيقاتها في ضبط أرصاد و شبكات الجي بي أس.

٦-٢ طريقة مجموع أقل المربعات:

عند رصد قيمة معينة (مسافة أو زاوية مثلاً) – نرمز لها بالرمز Z مثلاً - عدد من المرات فسينتج لنا القياسات – أو الأرصاد – $Z_1, Z_2, Z_3, \dots, Z_n$ حيث n عدد مرات القياس. لنفترض أننا بصورة أو بأخرى قد قمنا بحساب تقدير Estimate لهذه القيمة Z ولنرمز له بالرمز ' Z' ، وبعد ذلك قمنا بحساب المتبقيات (أو الباقي أو القيم المتبقية) residuals وهي الفروقات بين القيمة المقدرة ' Z' وكل قياس من القياسات ، أي:

$$v_1 = Z' - Z_1, v_2 = Z' - Z_2, \dots, v_n = Z' - Z_n$$

¹ Ghilani, C., and Wolf, P., 2006, Adjustment computations: Spatial data analysis, Forth edition, John Wiley & Sons, Inc., New Jersey, USA.

² Dawod, G., 1991, Some considerations in the adjustment of GPS-derived baselines in the network mode, MSC Thesis, Geodetic science and surveying department, The Ohio State University, Columbus, Ohio, USA.

ثم قمنا بحساب مربعات هذه المتبقيات ، أي $v_1^2, v_2^2, \dots, v_n^2$ ، ثم حسبنا مجموع كل هذه القيم لمربعات المتبقيات ، أي $v_1^2 + v_2^2 + \dots + v_n^2$ ولنرمز لهذا المجموع بالرمز Q .
الآن نعود للسؤال الأول: كيف تم حساب القيمة المقدرة ' Z' ? وهل هذا التقدير هو أحسن التقديرات Best Estimates للقيمة الحقيقية (المجهولة) Z ? المبدأ الذي تقوم عليه نظرية مجموع أقل المربعات هو أن حساب القيمة المقدرة ' Z' يعتمد على تحقيق شرط أنها تؤدي إلى أقل قيمة لـ Q ، أي أقل قيمة لمجموع مربعات المتبقيات:

$$\sum (v_1^2 + v_2^2 + \dots + v_n^2) = \text{minimum} \quad (6-1)$$

ومن هنا جاء اسم الطريقة.

لكن هل جميع القياسات التي قمنا بها $Z_1, Z_2, Z_3, \dots, Z_n$ لها نفس درجة الصحة? precision أي هل يمكننا اعتبار أن كل القياسات لها نفس الأهمية بنفس القيمة؟ في العمل المساحي عامة فأتنا نفرق بين قياس و آخر (نفس الهدف) باختلاف دقة الجهاز و دقة الراسد و اختلاف الظروف الجوية أثناء الرصد ... الخ ، بما لا يمكننا أن نتعامل مع جميع الأرصاد بنفس الطريقة. ومن هنا فأتنا نعطي كل قياس "وزن weight" يعبر عن مقدار ثقتنا في هذه الرصدة. مثال: للزوايا المقاسه بالثيوهيليت أو المحطة الشاملة فو كانت الرصدة الأولى تمت بجهاز دقته ١" فنعطيها وزن أكبر من الرصدة الثانية التي مستخدم فيها جهاز دقته ٣". ومن ثم يتطور المبدأ الذي تعتمد عليه نظرية أقل المربعات (المعادلة ٦-١) إلى صورة تأخذ وزن كل قياس في الاعتبار (لنرمز بالوزن بالرمز w لكل قياس ليصبح لدينا مجموعة من الأوزان: w_1, w_2, \dots, w_n) ، وبذلك تتغير المعادلة ٦-١ لتصبح:

$$\sum (w_1 v_1^2 + w_2 v_2^2 + \dots + w_n v_n^2) = \text{minimum} \quad (6-2)$$

وهو ما يطلق عليه طريقة مجموع أقل المربعات الموزونة Weighted Least-Squares Adjustment وهي الحالة العامة لجميع التطبيقات المساحية و الجيوديسية^٣. وتوجد طريقتان لتكوين الأرصاد أو المعادلات التي ستستخدم في تنفيذ ضبط الأرصاد بنظرية مجموع أقل المربعات وهما^٤: طريقة معادلات الرصد Observation Equations وطريقة معادلات الاستراتطات Condition Equation هي الأكثر استخداما في التطبيقات الجيوديسية و سنستعرض خطواتها في الجزء التالي.

٦-٢-١ ضبط أقل المربعات باستخدام معادلات الأرصاد:

عند رصد خط قاعدة بالجي بي أس فإن الأرصاد - أو القياسات - الثلاثة هي $\Delta X, \Delta Y, \Delta Z$ والقيم المجهولة ستكون إحداثيات النقطة الأولى X_1, Y_1, Z_1 و إحداثيات النقطة الثانية X_2, Y_2, Z_2 . أي أن معادلات الأرصاد ستكون:

³ Uotila, U., 1986, Notes on adjustment computations: Part I, Lecture notes, Geodetic science and surveying department, Ohio state university, Columbus, Ohio, USA.

⁴ Mikhail, E., 1976, Observations and least squares, University press of America, New York, USA.

$$\begin{aligned}\Delta X + v_X &= X_2 - X_1 \\ \Delta Y + v_Y &= Y_2 - Y_1 \\ \Delta Z + v_Z &= Z_2 - Z_1\end{aligned}\quad (6-3)$$

حيث v_X, v_Y, v_Z تمثل المتبقيات (أو تصحيح الأرصاد) في القياسات الثلاثة.

والتي يمكن إعادة ترتيب معاملاتها لتصبح:

$$\begin{aligned}v_X &= X_2 - X_1 - \Delta X \\ v_Y &= Y_2 - Y_1 - \Delta Y \\ v_Z &= Z_2 - Z_1 - \Delta Z\end{aligned}\quad (6-4)$$

المعادلة (٦-٤) يمكن كتابتها في صورة مصفوفات (أسهل في التعامل مع الكمبيوتر و برامج الحساب) كالتالي:

$$V_{n,1} = A_{n,n} X_{u,1} - L_{n,1} \quad (6-5)$$

حيث:
 $V_{n,1}$ متجه (عمود) للمتبقيات vector of residuals.
 $A_{n,n}$ مصفوفة المعاملات Matrix of Coefficients.
 $X_{u,1}$ متجه المجهولة (القيم المجهولة) ويكون من u من الصنوف.
 $L_{n,1}$ متجه الأرصاد vector of observations.
 n عدد الأرصاد.
 u عدد المجاهيل.

وللتوسيط قليلاً في المعادلة (٦-٤):

$$\begin{array}{ll} n & \text{عدد الأرصاد} = 3 (\Delta X, \Delta Y, \Delta Z) \\ u & \text{عدد المجاهيل} = 6 (\text{ثلاثة إحداثيات لكل نقطة من نقطتي خط القاعدة}). \end{array}$$

$$V = \begin{vmatrix} v_X \\ v_Y \\ v_Z \end{vmatrix} \quad |$$

$$A = \begin{vmatrix} -1 & 0 & 0 & 1 & 0 & 0 \\ 0 & -1 & 0 & 0 & 1 & 0 \\ 0 & 0 & -1 & 0 & 0 & 1 \end{vmatrix}$$

$$\mathbf{X} = \begin{vmatrix} X_1 \\ Y_1 \\ Z_1 \\ X_2 \\ Y_2 \\ Z_2 \end{vmatrix}$$

$$\mathbf{L} = \begin{vmatrix} \Delta X \\ \Delta Y \\ \Delta Z \end{vmatrix}$$

هذه المتجهات و المصفوفات معلومة ماعدا المتجه \mathbf{X} الذي يمثل القيم المجهولة (الإحداثيات) المطلوب إيجاد أحسن تقدير لها. فإذا طبقنا مبدأ أقل مجموع لمربعات المتباينات (دون الدخول في تفاصيل استنباطه) فإن قيمة تقدير (حل) المتجه \mathbf{X} ولنسميها \mathbf{X}^{\wedge} هي:

$$\mathbf{X}^{\wedge} = [\mathbf{A}^T \mathbf{P} \mathbf{A}]^{-1} \cdot [\mathbf{A}^T \mathbf{P} \mathbf{L}] \quad (6-6)$$

حيث:

الرمز T يدل على دور المصفوفة Matrix Transpose بينما الرمز ${}^{-1}$ يدل على مقلوب المصفوفة Matrix Inverse . مصفوفة الأوزان Weight Matrix \mathbf{P} تتكون من n من الصفوف و n من الأعمدة ، و كمثال:

$$\mathbf{P} = \begin{vmatrix} p_1 & 0 & 0 \\ 0 & p_2 & 0 \\ 0 & 0 & p_3 \end{vmatrix}$$

حيث p_1, p_2, p_3 تمثل قيم الوزن لكل رصدة (أو قياس) للأرصاد الثلاثة $\Delta X, \Delta Y, \Delta Z$

أما مصفوفة جودة الحل Covariance Matrix (تعبر القيم على المحور المائل للمصفوفة عن مربع الانحراف المعياري لكل قيم من قيم المتجه \mathbf{X}^{\wedge}) ونرمز لها بالرمز $\Sigma_{\mathbf{x}}^{\wedge}$ ، فيتم حسابها من خلال المعادلة:

$$\Sigma_{\mathbf{x}}^{\wedge} = \sigma_{\circ}^{\wedge 2} N^{-1} \quad (6-7)$$

حيث:

$\sigma_{\circ}^{\wedge 2}$ يسمى تقدير معامل التباين aposteriori variance factor ويحسب من خلال:

$$\sigma_{\circ}^{\wedge 2} = (\mathbf{V}^T \mathbf{P} \mathbf{V}) / (n-u) \quad (6-8)$$

أما القيم المضبوطة للأرصاد الأصلية ذاتها – نرمز لها بالرمز \hat{L} – فيمكن حسابها كالتالي:

$$\hat{L} = L + V \quad (6-9)$$

وتكون مصفوفة جودة الأرصاد المضبوطة كالتالي:

$$\Sigma_L^{\hat{L}} = \sigma_0^2 A [A^T P A]^{-1} A^T \quad (6-10)$$

أما المتبقيات المضبوطة Estimated Residuals ف يتم حسابها من المعادلة:

$$V^{\hat{L}} = [A (A^T P A)^{-1} A^T P - I] L \quad (6-11)$$

وتكون مصفوفة جودة المتبقيات المضبوطة كالتالي:

$$\Sigma_V^{\hat{L}} = \sigma_0^2 [A (A^T P A)^{-1} A^T - P^{-1}] \quad (6-12)$$

٦-٢-٦ عيوب الشبكات الجيوديسية في ضبط أقل المربعات:

تعاني أي شبكة مساحية أو جيوديسية من عيوب تحديد موقعها المطلق على سطح الأرض ، حيث أن معظم القياسات المساحية تكون نسبية و ليست مطلقة. أي أننا نقىس مسافة – مثلاً – بين نقطتين لنعبر عن الوضع النسبي لإحداثاهما عن الأخرى ، لكننا لا نعرف الموقع الحقيقي المطلق (الإحداثيات) لأحدى هاتين النقطتين على الأقل. ومن هنا فإن عملية الضبط التي نجريها لن تنجح في حساب إحداثيات هذه الشبكة (رياضياً لن نتمكن من إيجاد مقلوب المصفوفة [ATPA] في المعادلة ٦-٦).

ترجم عيوب الشبكات Datum Defects إلى كمية تحديد المرجع Datum الذي تنسب إليه هذه الأرصاد أو الشبكات. أو بمعنى آخر كيفية تحديد نظام الإحداثيات المطلوب التعامل معه وأين تقع نقطة الأصل له واتجاهات محاوره الثلاثة بالنسبة للأرض. تتكون عيوب الشبكات من ٧ عناصر أو عيوب:

- ثلاثة عناصر لتحديد موقع مركز نظام الإحداثيات
- ثلاثة عناصر لتحديد اتجاه محاور النظام.
- عنصر لتحديد معامل القياس.

فإذا أخذنا مثال شبكات المثلثات Triangulation Network فأنها تعاني من العيوب السبعة ، حيث أن أرصاد هذه الشبكات تتكون من قياس الزوايا الداخلية للمثلثات ، فلا يوجد بها إحداثيات مطلقة أو مسافات أو انحرافات. لذلك كان يتم الرصد الفلكي لتحديد الإحداثيات المطلقة (خط الطول و دائرة العرض) لبعض نقاط الشبكة وأيضاً رصد الانحراف الفلكي لبعض الخطوط لتحديد اتجاهات الشبكة في الفراغ orientation. أما معامل القياس فكان يتم تحديده من خلال قياس بعض أطوال الخطوط في الشبكة ، وبذلك كان يتم التغلب على العيوب السبعة للشبكة ومن ثم التوصل إلى الإحداثيات المطلقة لكل نقاطها. أما شبكات المثلثات مقاسة

الأضلاع **Trilateration Network** فتعاني من ٦ عيوب فقط حيث أن معامل القياس معلوم لأن أرصاد هذه الشبكات تتكون من المسافات بين كل نقطة والأخرى ، أي أن هذا النوع من الشبكات يحتاج أيضا لقياسات الفلكية سواء للإحداثيات أو الانحرافات.

أما في شبكات الجي بي أس: يوجد فقط ٣ عيوب ، فعيوب تحديد اتجاه محاور النظام وأيضا عنصر معامل القياس تكون معلومة. يرجع ذلك إلى أن قياسات الجي بي أس $(\Delta X, \Delta Y, \Delta Z)$ تمكننا من حساب انحراف وطول هذا الخط:

$$\text{ظل (tan) انحراف الخط} = \frac{\Delta Y / \Delta X}{\sqrt{\Delta X^2 + \Delta Y^2 + \Delta Z^2}}$$

وبالتالي فلا يوجد في شبكة الجي بي أس إلا ٣ عيوب لتحديد مركز محاور نظام الإحداثيات. أي يلزمنا في شبكات الجي بي أس تحديد أو معرفة الإحداثيات المطلقة لنقطة واحدة فقط في الشبكة ومنها يمكن حساب إحداثيات جميع نقاط الشبكة.

إذا كان لدينا نقطة مرجعية معلومة الإحداثيات **Reference Control Station** فثبتت إحداثياتها أثناء عملية الضبط **Fixed Point** (أي أن هذه الإحداثيات لن تأخذ أيه تصحيحت وستظل قيمتها ثابتة) وبالتالي حساب إحداثيات باقي النقاط. وهذه الحالة من حالات ضبط مجموع أقل المرربعات تسمى الضبط مع أقل عدد من الشروط الخارجية - **Minimal-Constraints Adjustment**. وهذه هي أفضل الحالات حيث أن الدقة الناتجة للإحداثيات ستعبر فقط عن دقة قياسات الجي بي أس المرصودة.

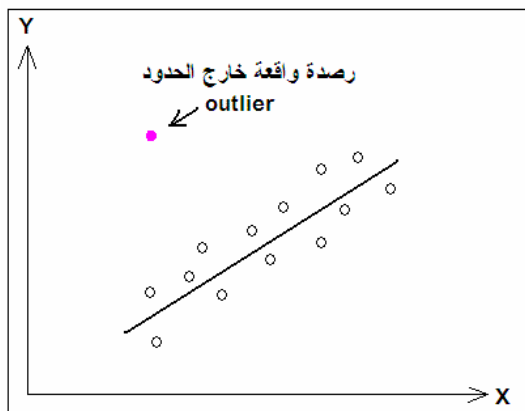
أما إذا كانت شبكة الجي بيأس المرصودة تحتوي على أكثر من نقطة مرجعية معلومة الإحداثيات يتم تثبيت قيمهم أثناء عملية الضبط فتسمى هذه الحالة الضبط مع شروط خارجية أكثر من اللازم **Over-Constraints Adjustment**. وهي حالة غير مفضلة في الأحوال العادية لأنه في حالة وجود "عدم توافق" بين إحداثيات النقط المرجعية فإن هذه الاختلافات ستنتقل إلى إحداثيات الشبكة المرصودة بجميع نقاطها ، أي أن الدقة الناتجة للإحداثيات نقاط الشبكة المرصودة ستعبر ليس فقط عن دقة قياسات الجي بيأس إنما أيضا عن دقة النقاط المرجعية المثبتة.

٦-٣- اكتشاف أخطاء الأرصاد بعد الضبط:

تعتمد نظرية مجموع أقل المربيعات - في أساسياتها - على مبدأ أن الأخطاء أو المتبقيات **residuals** المصاحبة للأرصاد هي عبارة عن أخطاء طبيعية أو عشوائية **normal or random errors** ، وتقوم طريقة الضبط بتوزيع هذه الأخطاء بصورة تضمن الوصول لأحسن تقدير للكميات المجهولة (الإحداثيات مثلا). أي أن الأخطاء المنتظمة **Systematic Errors** (مثل تأثير خطأ الترددوسفير) لا بد من حسابها وتصحيحها قبل بدء عملية الضبط ذاتها. فإذا لم يتم ذلك - لبعض الأرصاد المقاشه - فإنه سيؤثر بشدة على جودة النتائج التي يتم حسابها^٥. ومن هنا فإن فحص النتائج يعد من أهم خطوات ضبط الأرصاد أو الشبكات في تطبيقات الجي بيأس لاكتشاف أية أرصاد خاطئة **Erroneous Observations** وحذفها وإعادة ضبط الشبكة مرة أخرى.

⁵ Koch, K., 1988, Parameter estimation and hypothesis testing in linear models, Second Edition, Springer-Verlag, Berlin, Germany.

الأرصاد الواقعة خارج الحدود Outliers هي أرصاد أو قياسات تقع خارج حدود معينة (يتم حسابها) من مستويات الثقة (شكل ١-٦) ، وبالتالي فإنها أرصاد غير مرغوب بها ويجب حذفها حتى لا تؤثر على باقي الأرصاد ومن ثم على جودة النتائج. لأخذ مثال بسيط: إذا قسنا مسافة عدد من المرات وكانت قيمها هي ١١.٢٤ ، ١١.٢٧ ، ١١.٢١ ، ١١.٢٨ ، ١١.٢٣ ، ١١.٢٩ . من الواضح أن القياسات الخمسة الأولى قريبة جداً من بعضها البعض بينما الرصدة الأخيرة بعيدة جداً عنهم. مما يجعلنا نشك أن هذا القياس الأخير حدث به خطأ ضخم سواء نتيجة الجهاز المستخدم أو الراصد أو الظروف الجوية لعملية الرصد ذاتها ، وهذا ما نطلق عليه "الرصدة الواقعة خارج الحدود outlier". فإذا قمنا بحساب المتوسط باستخدام جميع الأرصاد فستكون قيمته غير دقيقة ، بينما المنطقي أن يتم استبعاد هذه الرصدة الخاطئة وحساب المتوسط باستخدام الأرصاد الخمسة الأولى فقط.



شكل ١-٦
الأرصاد الواقعة خارج الحدود

تقوم معظم برامج حسابات الجي بي أس software بعد انتهاء عملية ضبط الأرصاد بإجراء اختبارات إحصائية لتحديد الأخطاء الواقعة خارج الحدود. ويجب على المستخدم أن يقرر إذا ما كان سيقبل نتائج الضبط أم يحذف هذه الأخطاء ويعيد إجراء الضبط مرة أخرى ، أي أن هذه الخطوة لا يقوم بها البرنامج بشكل آلي. ومن هذه الاختبارات الإحصائية اختبار "فحص البيانات data snooping " و اختبار τ (ينطق "تاو") وهو يعد الأكثر تطبيقاً في برامج الحاسوب الآلي، كما توجد عدة طرق أخرى . وت تكون خطوات تحليل الأرصاد ونتائج الضبط من^٦ :

- إجراء الضبط الأولي باستخدام جميع أرصاد الجي بي أس.
- إذا أشارت نتائج الاختبار الإحصائي لوجود عدد من الأرصاد الواقعة خارج الحدود outliers فلا نحذفها كلها ، إنما فقط نحذف الرصدة ذات أكبر قيمة من نتائج الاختبار. السبب في ذلك أن رصدة واحدة خاطئة من الممكن أن تؤثر على أرصاد أخرى سليمة أو دقيقة ، ومن هنا فإن حذف كل الأرصاد التي تظهر في نتائج الاختبار سيقلل من عدد الأرصاد في الشبكة بصورة غير ضرورية مما سيقلل من جودة الحل النهائي للشبكة.

^٦ Lieck, A., 1995, GPS Satellite surveying, John Wiley & Sons Inc., New York, USA.

^٧ Alnaggar, D., and Dawod, G., 1995, Increasing the reliability of GPS geodetic networks, Proceedings of the First International Conference on Satellite Positioning Systems, Alexandria, Egypt, December 12-13.

- نعيّد إجراء ضبط الشبكة مرة أخرى للحصول على نتائج جديدة سواء للإحداثيات أو للاختبار الإحصائي أيضاً.
- تتكرر هذه العملية عدد من المرات حتى نصل في الخطوة الأخيرة إلى عدم وجود أية أرقاد واقعة خارج الحدود على الإطلاق.
- نعتمد إحداثيات آخر عملية ضبط لتكون الإحداثيات النهائية الدقيقة لشبكة الجي بي أس.

إن تحديد و حذف الأرقاد الواقعة خارج الحدود outliers يحسن من نتائج شبكات الجي بي أس بصورة كبيرة جداً ، ويجب على المستخدم لا يهمل هذه الخطوة الإحصائية الهامة حتى يمكنه الحصول على أصح إحداثيات النقاط المرصودة.

٦-٤ تطبيقات ضبط أقل مجموع مربعات في أرصاد الجي بي أس:

يستخدم ضبط أقل مجموع مربعات في أرصاد الجي بي أس في مجالين: (١) ضبط الأرصاد المقاسه (إشارات الأقمار الصناعية) للوصول لأدق قيمة لمركبات خط القاعدة Base Line بين كل نقطتين في الوضع النسبي ، (٢) في ضبط الشبكات^٨.

يعتمد المجال الأول على برنامج الحساب المستخدم GPS Processing Software والمعلمات المطبقة في هذه الخطوة. عند وجود عدد من الأرصاد أكثر من العدد الأدنى المطلوب Redundant Observations فأن نتائج حسابات الأرصاد ستكون عدد من خطوط القواعد ، وهنا يجب على المستخدم فحص هذه النتائج بكل عنایة. ففي هذه الحالة توجد درجة من الحرية Degree of Freedom (تساوي = عدد الأرصاد – عدد القيم المجهولة) تسمح للمستخدم اختيار أحسن الخطوط التي يتدخل عملية ضبط الشبكة. هنا يجب فحص النتائج الإحصائية لكل خط قاعدة محسوب (وخاصة قيمة الخطأ التربيعي المتوسط RMS الخطأ في الخط بالنسبة لطول الخط ppm) لبيان أية خطوط قليلة الدقة. ومن ثم بيان مجموعه الخطوط الدقيقة التي سيتم اعتمادها لبدء عملية ضبط الشبكة. وتوجد بعض المواصفات العامة لعملية التقييم و الفحص هذه (انظر الملحق رقم ٣).

أما المجال الثاني لتطبيق طريقة ضبط أقل المربعات فيكون في كيفية تنفيذ ضبط الشبكة بصورة جيدة للوصول لأدق الإحداثيات. وعامة تتم عملية ضبط الشبكات Network Adjustment في عدد من الخطوات المتسلسلة تتكون من:

- أ- تحليل خطأ القفل في كل حلقة لضمان حدود قيمه طبقاً للمواصفات المطلوبة.
- ب- إجراء عملية ضبط غير مقيد Free Net Adjustment (عن طريق تثبيت إحداثيات نقطة واحدة فقط غالباً تكون اختيارية) لفحص جودة الأرصاد ذاتها.
- ت- استخدام النتائج الإحصائية للضبط غير المقيد في اكتشاف أية أرصاد غير جيدة Outliers or Blunders وحذفها (عن طريق الاختبارات الإحصائية المعروفة مثل اختبار تاو).
- ث- إجراء الضبط النهائي للشبكة Final Constrained Adjustment (سواء بتنبيت إحداثيات نقطة واحدة معلومة فقط Minimal-Constrained أو بتنبيت إحداثيات أكثر من نقطة معلومة Over-Constrained).

⁸ Ghilani, C., and Wolf, P., 2006, Adjustment computations: Spatial data analysis, Forth edition, John Wiley & Sons, Inc., New Jersey, USA.

الفصل السابع

العمل المساحي بالجي بي أس

١-٧ مقدمة:

تتعدد أساليب تنفيذ الأعمال المساحية و الجيوديسية باستخدام الجي بي أس بصورة كبيرة بتنوع طرق الرصد و أنواع الأجهزة و برامج الحسابات ، مما يصعب معه إعداد تصور كامل و دقيق لخطوط تنفيذ أي مشروع مساحي بالجي بي أس. على الجانب الآخر فهناك خطوط عريضة يتم تطبيقها - بصورة أو بآخر - في أي عمل مساحي بالجي بي أس بهدف التأكد من جودة خطوط العمل المكتبي و الحقلية لضمان الوصول الدقة العالية المنشودة في تحديد المواقع وإنشاء الخرائط ، وهذا هو موضوع هذا الفصل.

٢-٧ التخطيط و التصميم:

إن تخطيط ما قبل العمل الحقلـي Pre-Planning واختيار موقع النقاط واختيار الأجهزة المستخدمة و تصميم طريقة واليات الرصد لهـو من العوامل الهامة التي تؤثر لاحقاً على الدقة المستهدـف الوصول إليها و أيضاً تؤثر على تكلفة المشروع بصفة عامة.

قبل البدء في مشروع الجي بي أس يجب أولاً تحديد عدة عوامل تشمل^١ :

- طبيعة المشروع و أهدافه.
- الدقة المطلوب تحقيقها أفقياً و رأسياً.
- عدد نقاط التحكم الأفقية و الرأسية المطلوب رصدها.
- المرجع الجيوديسي الذي ستتنسب إليه الأرصاد.
- الأجهزة المتاحة و عددها و مواصفاتها.
- أنساب فترات الرصد الحقلـي.

٢-١-٧ أهداف المشروع و الدقة المطلوبة:

تختلف عوامل التخطيط و التصميم باختلاف طبيعة المشروع ذاته (إنشاء شبكات ثوابت أرضية لمنطقة صغيرة أم لمنطقة شاسعة ، الرفع التفصيلي أو الطبوغرافي بهدف إنشاء الخرائط ، تجميع بيانات مكانية لنظم المعلومات الجغرافية الخ). لكل مشروع مواصفات (وخاصة في تحديد الدقة المطلوبة) تختلف باختلاف طبيعة المشروع والهدف منه. كمثال يعرض الجدول ٧-١ مواصفات الدقة المطلوبة في مشروعات أو تطبيقات مختلفة باستخدام الجي بي أس^٣ ، بينما

¹ المؤسسة العامة للتعليم الفني و التدريب المهني ، ١٤٢٦ هـ ، نظام تحديد المواقع العالمي ، مقرر دراسي لطلاب الكليات التقنية ، الرياض ، المملكة العربية السعودية.

² US Army Corps of Engineering, 2003, NAVSTAR Global Positioning System Surveying, Technical Manual No. EM1110-1-1003, Washington, D.C., USA.

³ حموي ، هيثم نوري ، ١٩٩٧ ، مدخل إلى جيوديسيا الأقمار الصناعية و مقدمة مساعدة في نظام التوضع العالمي، فيينا ، النمسا ، متاح في: <http://members.chello.at/hamoui> .

الجدول (٢-٧) يقدم مواصفات أخرى لحدود الدقة المطلوبة في مشروعات الهندسة المدنية ونظم المعلومات الجغرافية وإنتاج الخرائط^٤.

١-٧ جدول الدقة المطلوبة لبعض التطبيقات المساحية للجي بي أس

الدقة المتوقعة (متر)	الدقة النسبية المطلوبة	التطبيق
من ١ إلى ٥	10×1^{-4}	الاستكشاف ونظم المعلومات الجغرافية
من ٢٠ إلى ١	10×1^{-5}	خرائط الطبوغرافية صغيرة المقياس وأنظمة مراقبة المركبات
من ٠٠١ إلى ٠٠٢	من ٥ إلى 10×1^{-6}	رفع المساحي متوسط الدقة والمسح العقاري
أقل من ٠٠١ إلى ٠٠٥	من 10×5^{-7} إلى 10×1^{-6}	الجيوديسيا وشبكات الثابت الأرضية والرفع المساحي على الدقة
من ٠٠٠١ إلى ٠٠٢	10×1^{-7}	الجيوديسيا الديناميكية (مراقبة تحركات القشرة الأرضية مثلاً) والعمل المساحي بدقة عالية جداً

٢-٧ جدول الدقة المطلوبة للجي بي أس في المشروعات المدنية

نوع المشروع	مقاييس رسم الخريطة	مقياس الأفقية (مم)	الدقة الرئيسية (مم)
مخططات مشروعات إنسانية	٥٠٠ : ١	١٠٠	٥٠
مخططات الخدمات السطحية وتحت السطحية	٥٠٠ : ١	١٠٠	٥٠
رسومات إنسانية وتصميم مباني	٥٠٠ : ١	٢٥	٥٠
مخططات رصف الطرق	٥٠٠ : ١	٢٥	١٠٠
مخططات الحفر	٥٠٠ : ١	٢٥٠	١٠٠٠
مخططات عامة لقرية أو حي	٥٠٠٠ : ١	١٠٠	١٠٠
الرفع المساحي للخدمات الموجودة	١٠٠٠ : ١	١٠٠	غير مطلوب
نظم معلومات جغرافية للمنازل والخدمات	٥٠٠٠ : ١	١٠٠٠	غير مطلوب
خرائط ونظم معلومات جغرافية لتطبيقات بيئية	٥٠٠٠ : ١	١٠٠٠	غير مطلوب
خرائط ونظم معلومات جغرافية لخدمات الطوارئ	٥٠٠٠ : ١	١٠٠٠	١٠٠
خرائط مراقبة الفيضانات وجريان المياه السطحية	٥٠٠٠ : ١	١٠٠٠٠	غير مطلوب
خرائط تصنيف التربة والجيولوجيا	٥٠٠٠ : ١	١٠٠٠	غير مطلوب
خرائط تصنيف الغطاء الأرضي	٥٠٠٠ : ١	١٠٠٠	غير مطلوب
مراقبة هبوط المنشآت	مقاييس كبيرة	١٠	٢

^٤ US Army Corps of Engineering, 2003, NAVSTAR Global Positioning System Surveying, Technical Manual No. EM1110-1-1003, Washington, D.C., USA.

٢-٢-٧ اختيار أجهزة الاستقبال وبرامج الحساب:

إن اختيار الأجهزة المتأتية للرصد (عدها و نوعها) أيضا من أهم العوامل المؤثرة علي جودة المنتج النهائي لمشروعات الجي بي أس. فكمثال توجد بعض أجهزة الاستقبال المخصصة لتطبيقات نظم المعلومات الجغرافية من الممكن أن توفر الدقة المطلوبة لمثل هذه النوعية من التطبيقات (٥ .٠ - ٣ متر) لكنها بالطبع لن تكون مناسبة لأعمال الرفع المساحي. أما مواصفات أجهزة الجي بي أس الجيوديسية فختلف أيضا من شركة لأخرى ويجب اختيار الجهاز الذي يوفر الحد الأدنى من المواصفات التالية:

- أجهزة جيوديسية النوع Geodetic GPS Receivers ذات دقة عالية.
- أجهزة ثنائية التردد (تستقبل كلاً تردد الجي بي أس L1, L2).
- تستقبل كلاً من الشفرة و الموجة الحاملة.
- تعمل في الوضع الثابت التقليدي.
- تعمل أيضاً في الوضع التفاضلي (أي تستقبل التصحيحات من مصدر خارجي).
- متعددة القنوات بحد أدنى ٢٤ قناة.
- ذاكرة داخلية أو خارجية تسمح بتخزين القياسات لمدة لا تقل عن ٨ ساعات رصد متواصلة.
- مصدر طاقة داخلي أو خارجي يسمح بتوفير الطاقة اللازمة للجهاز لمدة لا تقل عن ٨ ساعات رصد متواصلة.
- الهوائي مقاوم لتأثير تعدد المسار Multipath بدرجة جيدة.
- دقة عالية في تحديد مركز - أو نقطة - التقاط الموجات Phase Center في الهوائي.
- هوائي حساس بدرجة عالية ، و سهل الضبط و التسامت أعلى النقطة الأرضية المرصودة.

أما الأجهزة أحادية التردد (L1) - غالباً توفر دقة سنتيمترات في تحديد الموقع - فيمكن استخدامها في أعمال الرفع المساحي و الطبوغرافي بصفة عامة ولكنها لا تفضل في التطبيقات الجيوديسية مثل إنشاء شبكة الثوابت الأرضية.

- اختيار برامج حسابات الأرصاد و برامج الضبط يعد أيضاً مؤثراً في جودة النتائج المتوقعة الحصول عليها. يشترط أن يقدم برنامج الحساب - على الأقل - الوظائف التالية:
- أ- تخطيط ما قبل الرصد.
 - ب- معالجة القياسات و تنفيتها.
 - ت- التعامل مع مختلف طرق الرصد (الثابت ، المتحرك ، الخ).
 - ث- التشغيل الآلي للبيانات Auto-processing mode مع إعطاء المستخدم إمكانية تغيير معلمات الحساب إن أراد.
 - ج- التعامل مع المدارات الدقيقة للأقمار الصناعية Precise ephemerides وأيضاً التصحيحات الدقيقة لخطأ ساعات الأقمار الصناعية Precise satellite clocks.
 - ح- ضبط الأرصاد لكل فترة رصد session.
 - خ- ضبط الشبكة بالكامل (سواء الضبط المقيد أو غير المقيد).
 - د- التحليل الإحصائي للنتائج.
 - ذ- تحويل الإحداثيات بين المراجع الجيوديسية المختلفة.

- إسقاط الإحداثيات بمختلف نظم إسقاط الخرائط.
- توفير الرسوم البيانية لصحة النتائج و الضبط.
- سهولة الاستخدام.

كما أن اختيار الأجهزة و البرامج (في حالة الشراء الجديد) لا بد أن يشمل توافر التدريب الجيد والمتعمق على استخدام هذه الأجهزة و البرامج في كافة تفاصيل طرق الرصد المتعددة، وأيضاً توافر الدعم الفني المستمر من قبل الشركة الموردة.

في حالة الاعتماد على الرصد المتحرك اللحظي RTK أو الجي بي أس التقاضل DGPS فأن مواصفات وحدة الاستقبال اللاسلكي يجب أيضاً أن توضع في الاعتبار. قدرة ومدى الجهاز في بث التصحيحات تؤثر على اختيار موقع و أيضاً عدد النقاط الثابتة التي ستستخدم في تنفيذ الرصد الحقلـي. بعض أجهزة الراديو اللاسلكية توفر مدي ٣٥ كيلومترات (أي ستطلب إنشاء عدد أكبر من نقاط الثوابت في منطقة العمل) بينما البعض الآخر قد يصل مداه إلى ٣٠ كيلومتر.

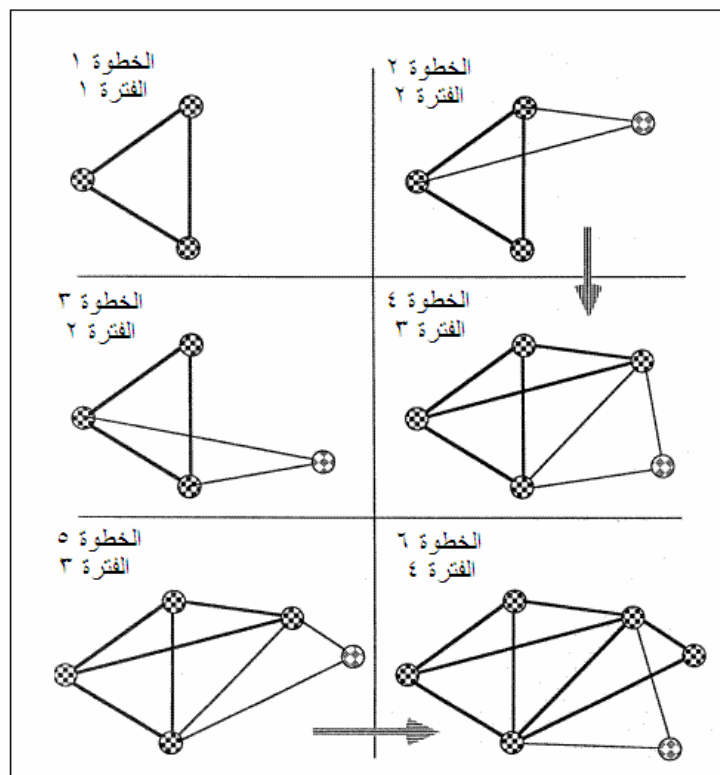
٣-٢-٧ تصميم خطة الرصد:

من العوامل المؤثرة على الزمن المستغرق للعمل الحقلـي وضع خطة جيدة لتنقل أجهزة الرصد بين النقاط. مع توافر أجهزة الاتصالات التليفونية المحمولة فقد أصبح تنظيم العمل الحقلـي أكثر سهولة و كفاءة ، إلا أن بعض المشروعات من الممكن أن تتم في مناطق خارج حدود تغطية مثل هذه الشبكات الخلوية. وفي هذه الحالات فيجب إعداد تصور كامل وتقصيلي عن كيفية تنظيم مواعيد فترات الرصد sessions وكيفية تنظيم تنقل الأجهزة بين النقاط المختلفة. المثال التالي (شكل ١-٧) يقدم مخططاً لكيفية تحريك الأجهزة المتاحة (٣ مستقبلات) لرصد شبكة مكونة من ٦ نقاط أرضية^٥. تبدأ الخطوة الأولى – في التصميم – باستخدام المستقبلات الثلاثة لرصد النقاط ١ ، ٢ ، ٣. ثم هناك بديلين لإضافة النقطة الرابعة (الخطوة ٢ والخطوة ٣) إلا أن الخطوة ٣ هي الأفضل ، ثم في الخطوة التالية يوجد بديلين أيضاً (الخطوة ٤ و الخطوة ٥) لرصد النقطة الخامسة حيث الخطوة ٥ تعد أفضل ، وفي آخر الخطوات يتم رصد النقطة السادسة. كما يقدم الشكل (٢-٧) مثلاً آخر لرصد ١٠ نقاط في ٧ فترات رصد مع تحقيق بعض الأرصاد المتكررة لضمان جودة الشبكة^٦.

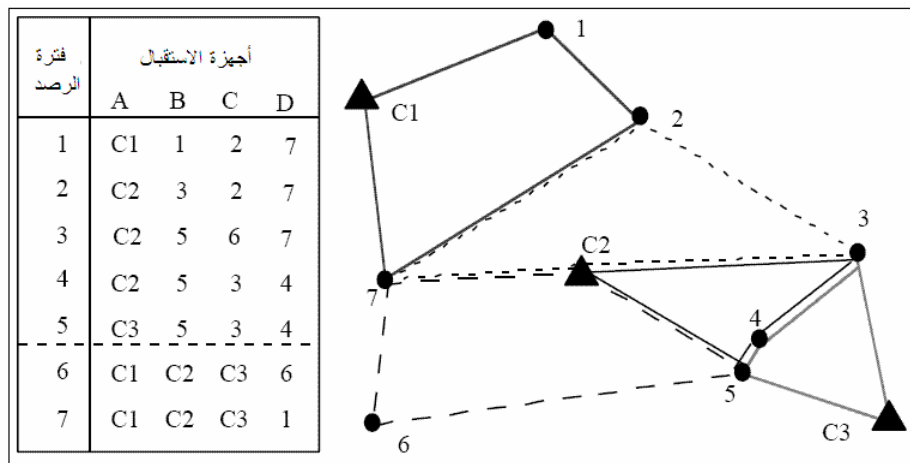
كما أن عدد الأجهزة المتاحة للاستخدام سيكون عاملـاً مؤثراً في تكلفة المشروع ، فمع أن أجهزة الرصد الجيوديسية مازالت مرتفعة الثمن (من ١٠ إلى ٢٠ ألف دولار للجهاز الواحد طبقاً لمواصفاته و مشتملاته) إلا أن بعض التطبيقات عالية الدقة يجب أن يتواجد بها على الأقل ٤-٣ أجهزة تعمل آنـيا.

⁵ Wells, D., Beck, N., Delikaraoglu, D., Kleusberg, A., Krakiwsky, E., Lacgapelle, G., Langley, R., Nakiboglu, M., Schwarz, K., Tranquilla, J., and Vanicek, P., 1986, Guide to GPS positioning, Department of geodesy and geomatics engineering lecture note 58, University of New Brunswick, Canada, 291 pp.

⁶ Natural Resources Canada, 1995, GPS positioning guide, Third Edition, Ottawa, Canada.



شكل ١-٧
مثال لخطيط رصد شبكة جي بي أس



شكل ٢-٧
مثال لفترات رصد شبكة جي بي أس مع تكرار بعض رصد الخطوط

تحديد موقع (ومعرفة إحداثيات) نقاط التحكم المتوفرة في منطقة العمل – أو بالقرب منها – من العوامل الهامة أيضاً في التخطيط ما قبل العمل الحقلـي. كما هو معروف أن أرصاد الجي بي أس في الوضع النسبي Relative Positioning (وهو المطبق في الأعمال المساحية وليس الملـاحـية) تعطي فروق الإحداثيات بين كل نقطتين مرصودتين ، و لحساب الإحداثيات المطلقة لكل نقطة فيجب ربط الشبكة بنقطة واحدة – على الأقل – من نقاط التحكم Control Points المعلومة بالإحداثيات. يتطلب التخطيط و التصميم لمشروع الجي بي أس معرفة موقع نقاط التحكم المتوفرة وأيضاً الحصول على إحداثيات هذه النقاط التي ستستخدم لاحقاً في مرحلة الحسابات و ضبط الشبكات. ومع أن أقل عدد لنقاط التحكم المطلوبة هو نقطة واحدة فقط إلا أنه يفضل وجود أكثر من نقطة تحكم يتم رصدهم مع الشبكة الجديدة للحصول على ربط جيد للعمل المساحي المستهدف مع المرجع الجيوديسـي ونظام الإحداثيات الوطني للدولة. في التطبيقات الجيوديسـية – مثل إنشاء شبـكات ثوابـت أرضـية – يـشترط وجود أكثر من نقطـة تحـكم يتم استـخدامـهم في أثناء العمل الحـظـي^٧ . أما في حالة عدم توافـر أـية نقطـة تحـكم على الإطلاق فيـوجـد طـرق حـديثـة لـربط الشـبـكة منها: (١) حـساب الـوضع المـطلق الدـقيق Precise Point Positioning or PPP طـولـية أو (٢) استـخدام الشـبـكة العـالمـية IGS (ستـحدث عنـها لاحـقاً).

٤-٢-٧ تصميم الربط على شبـكات التـحكـم:

توافـر عـدد من نقطـة تحـكم الرـأسـية المـعلومـة المـنسـوب مهم Vertical Control Points أيضاً عند تحـويل الـارتفاعـات النـاتـجة من أـرصـادـ الجـيـ بيـ أسـ (ارتفـاعـاتـ جـيـودـيـسـيـةـ) إـلـىـ منـاسـيبـ مقـاسـةـ منـ مـتوـسـطـ سـطـحـ الـبـحـرـ MSLـ. لـذـكـ لاـ بدـ منـ وجـودـ نقطـةـ تحـكمـ رـأسـيةـ وـاحـدةـ علىـ الأـقـلـ يتمـ رـصـدـهاـ فيـ أحـديـ قـفـراتـ رـصـدـ مـشـرـوعـ الجـيـ بيـ أسـ الجـديـدـ. لـكـنـ فيـ مـعـظـمـ التطـبـيقـاتـ المسـاحـيـةـ فـمـنـ الأـفـضـلـ توـافـرـ أـكـثـرـ منـ نقطـةـ -ـ منـ هـذـهـ النوعـيـةـ -ـ فيـ مـنـطـقـةـ الـعـملـ لـاستـخدامـهـمـ لـاحـقاـ لـلـحـصـولـ عـلـىـ دـقـةـ جـيـدةـ فيـ عـمـلـيةـ تـحـويـلـ الـأـرـتـفـاعـاتـ وـاسـتـبـاطـ قـيمـ المـنـاسـيبـ.

يـعرضـ الجـدولـ (٣-٧) مـثـالـ لـمـجمـوعـةـ أـخـرـيـ منـ المـواصـفـاتـ الجـيـودـيـسـيـةـ فـيـماـ يـتـعلـقـ بـنـقـاطـ الضـبـطـ الـأـقـيـةـ وـ الرـأسـيـةـ المـطلـوـبـةـ عـنـ إـنـشـاءـ شـبـكـةـ ثـوابـتـ بـالـجـيـ بيـ أسـ سـوـاءـ بـطـرـيـقـةـ الرـصـدـ الثـابـتـ التـقـليـدـيـةـ أوـ الرـصـدـ الثـابـتـ السـريـعـ^٨ ،ـ بـيـنـماـ يـعرـضـ الجـدولـ (٤-٧) مـجمـوعـةـ أـخـرـيـ منـ مـواصـفـاتـ تـخـطـيطـ وـ رـصـدـ شـبـكـةـ منـ الثـوابـتـ الـأـرـضـيـةـ باـسـتـخدـامـ الرـصـدـ الثـابـتـ^٩ .

⁷ Dawod, G., and Abdel-Aziz, T., 2003, Establishment of precise geodetic control networks for updating the River Nile maps, Proceedings of Al-Azhar Engineering Seventh International Conference (CD No. 3), Al-Azhar University, Cairo, April 7-10.

⁸ California Department of Transportation, 2006, Global Positioning System (GPS) survey specifications, California, USA.

⁹ US Army Corps of Engineering, 2003, NAVSTAR Global Positioning System Surveying, Technical Manual No. EM1110-1-1003, Washington, D.C., USA.

جدول ٣-٧
مواصفات نقاط التحكم المطلوبة في إنشاء شبكة جي بي أس

الرصد الثابت الرابع	الرصد الثابت القليلي	البند
على الأقل ٣	على الأقل ٣	أقل عدد لنقاط التحكم المطلوبة لربط المشروع الجديد
٣٠ ميل	٣٠ ميل	أقصى مسافة بين نقاط التحكم و حدود المشروع
% ٥	% ٥	أقل نسبة مؤدية لعدد خطوط القواعد متكررة الرصد
١٠٠ % مرتين ، ١٠ % ثلاثة مرات	١٠٠ % مرتين ، ١٠ % ثلاثة مرات	أقل عدد تكرار لاحتلال النقاط

جدول ٤-٧
مواصفات الرصد الثابت لإنشاء شبكة جي بي أس

شبكة درجة ثالثة	شبكة درجة ثانية	شبكة درجة أولي	البند
١٠٠	٥٠-٢٠	١٠	الدقة النسبية المطلوبة (جزء في المليون (ppm)
اختياري	نعم	نعم	الربط على الشبكة الوطنية
٢	٢	٣	أقل عدد لنقاط الربط على المرجع الوطني
٢	٢	أكثر من ٣	أنسب عدد لنقاط الربط على المرجع الوطني
٢	٢	٢	مرات تكرار رصد خطوط القواعد لنسبة ١٠ % من عدد الخطوط
٢٠	٢٠-١٠	١٠	أقصى عدد لخطوط القواعد في الحلقة الواحدة
اختياري	٢٠٠-١٠٠	١٠٠	أقصى محيط للحلقة الواحدة (كم)
٢٠٠-١٠٠	٥٠-٢٠	١٠	أقصى خطأ قبل الحلقة (جزء من المليون (ppm)
٢	٢	٢	عدد مرات قياس ارتفاع الهوائي/الجهاز في النقطة
لا	لا	نعم	أجهزة جيوديسية ثنائية التردد لرصد الخطوط أقل من ٢٠ كم
نعم	نعم	نعم	أجهزة جيوديسية ثنائية التردد لرصد الخطوط أكبر من ٢٠ كم
٥١٥	٥١٥	٥١٥	زاوية القناع Mask Angle أثناء الرصد

٦-٢-٥ اختيار المرجع الجيوديسي المطلوب:

تحديد المرجع الجيوديسي **Datum** الذي سيعتمد عليه المشروع يعد من العوامل الهامة جداً في التخطيط ، هل المطلوب اعتماد المرجع العالمي **WGS84** في حساب إحداثيات النقاط المرصودة و إنشاء الخرائط الجديدة للمشروع أم يجب تحويل الإحداثيات لمرجع جيوديسي محلي. فان كانت عملية التحويل **Datum Transformation** مطلوبة فيجب تحديد طريقة تنفيذها: (١) بمعرفة عناصر تحويل معلومة **Transformation Parameters** ، ، **Transformation Parameters** بحساب عناصر التحويل. فان كانت عناصر التحويل معلومة فيجب الحصول على قيمها من الجهة المسئولة عن حسابها. أما في حالة عدم وجود عناصر تحويل فيجب رصد ٣ نقاط تحكم (معلومة الإحداثيات في المرجع المحلي) مع شبكة الثوابت الجديدة المزمع إقامتها للمشروع واستخدام أحد برامج الحساب لنقدر عناصر التحويل بين المراجع في منطقة العمل.

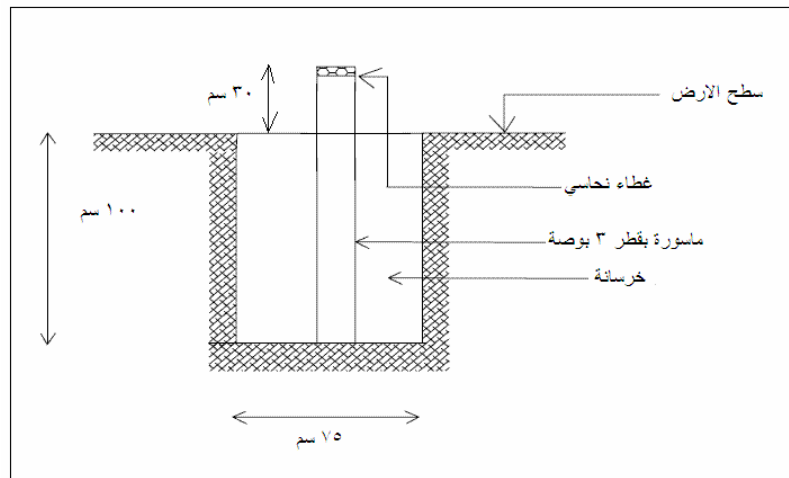
٦-٢-٦ اختيار موقع النقاط وتثبيت العلامات:

مواصفات اختيار موقع النقاط الثابتة و طريقة بناء العلامات الأرضية يعد أيضاً من عوامل التخطيط ما قبل العمل الحقلـي. الشكل (٣-٧) يقدم نموذجاً عاماً لبناء نقطة ثابتة أرضية للتطبيقات المساحية بينما يقدم الشكل (٤-٧) نموذجاً آخر للتطبيقات الجيوديسية الدقيقة ^١، بينما توجد مواصفات أكثر تفصيلاً لإنشاء الثوابت المساحية طبقاً لكل نوع من أنواع التربة في منطقة العمل ^{١١}. النقاط التالية تقدم خطوطاً عريضة لكيفية اختيار الموقع المناسب لإنشاء الثوابت الأرضية:

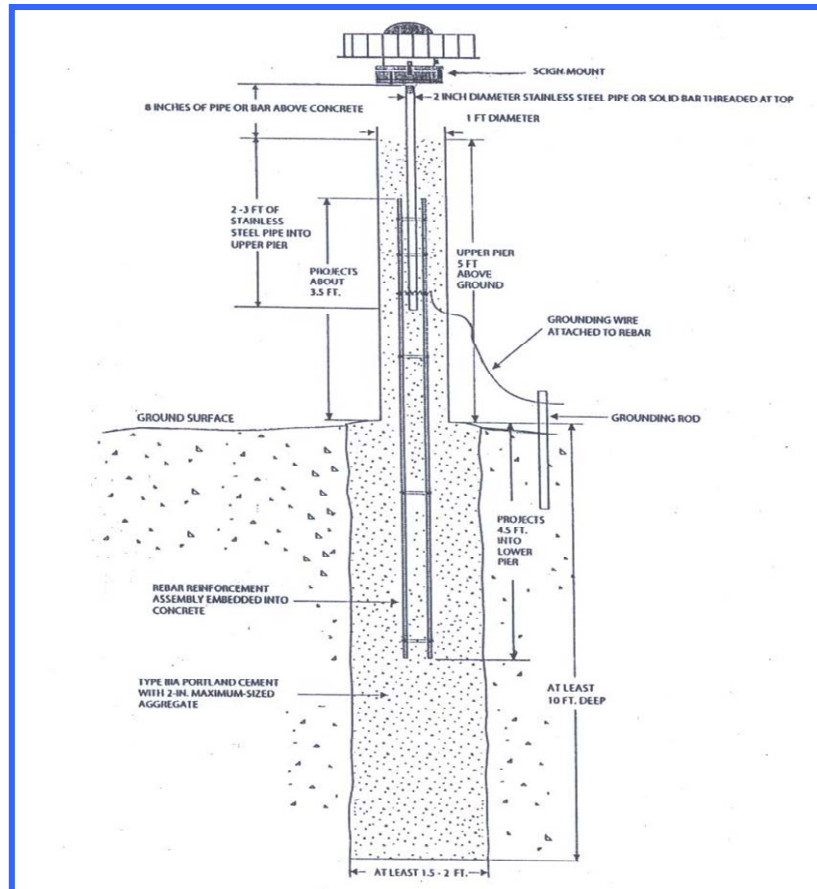
- سهولة الوصول لموقع النقطة.
- ضمان تواجد النقطة في هذا الموقع لفترة طويلة.
- أن يكون الموقع مناسباً للاستخدام المساحي.
- أن يكون البناء على أرض صخرية صلبة و ثابتة.
- لا توجد عوائق حول موقع النقطة في حدود 15° من مستوى الأفق.

¹⁰ Mahmoud, D., 2004, Monitoring of crustal movements in Egypt using GPS technique, Presented at the United Nations/United States of America International meeting on the use and applications of Global Navigation Satellite System, December 13 – 17, Vienna, Austria.

¹¹ US Army Corps of Engineering, 1990, Survey markers and monumentation, Engineering manual No. 1110-1-1002, Washington, DC, USA.



شكل ٣-٧
نموذج بناء نقطة ثوابت للأعمال المساحية



شكل ٤-٧
نموذج بناء نقطة ثوابت للأعمال الجيوديسية

٧-٢-٧ اختيار أنساب أوقات الرصد:

اختيار أنساب وقت للرصد في الجي بي أس يعد أيضاً من خطوات التصميم والتخطيط. فمع أن إشارات الأقمار الصناعية في الجي بي أس متاحة ٢٤ ساعة يومياً ، إلا أن دقة وجودة وعدد الأقمار الصناعية يختلف من موقع جغرافي لآخر و من ساعة لأخرى في نفس اليوم. يعد معامل دقة الموقع PDOP العامل الأساسي الذي يصف العلاقة بين توزيع الأقمار الصناعية في زمن معين و بين الدقة المتوقعة للرصد في هذا الوقت. ويمكن معرفة قيم PDOP لأي مكان و في أي وقت باستخدام البرامج المتخصصة (أي قبل تنفيذ العمل الحقلی ذاته). لذلك لا بد من استخدام أحد هذه البرامج لحساب معامل الدقة في الأيام المحددة للرصد الحقلی ، ومن ثم اختيار أنساب أوقات أو ساعات اليوم التي يكون فيها معامل PDOP أقل من ٦ ضماناً للوصول لأدق تحديد للموقع المرصودة. أما للرصد المتحرك اللحظي فإن PDOP أقل من ٣ يعتبر جيداً ، ومن ٣ إلى ٦ يعتبر مقبولاً بينما ما هو أكبر من ٦ يعتبر ضعيفاً^{١٢}. أما قيمة زاوية القناع Mask or Cut-Off Angle فيجب ألا تقل عن ١٥° في معظم التطبيقات المساحية و الجيوبديسية.

يعتمد اختيار طول فترة الرصد على عدة عوامل أهمهم الدقة المتوقعة أو المطلوبة في المشروع المساحي ، بالإضافة لمعامل الدقة GDOP و عدد الأقمار الصناعية المتوفرة في وقت الرصد. الجدول (٥-٧) يقدم خطوطاً عريضة لكيفية تحديد طول زمن أو فترة الرصد سواء في طريقة الرصد الثابت التقليدي أو الرصد الثابت السريع ، بينما يقدم الجدول (٦-٧) مواصفات أخرى عند استخدام أجهزة استقبال جي بي أس أحادية أو ثنائية التردد^{١٣}. أما في حالة إنشاء ثوابت أرضية و رأسية – أي أنه مطلوب تحديد الارتفاع الارثومترى لنقاط الشبكة – فإن مواصفات طول فترة الرصد ستتغير بصورة ملحوظة للوصول إلى دقة جيدة في قياس الارتفاعات كما نرى في الجدول (٧-٧) ، وفي هذه الحالة يجب أن يتم ربط الشبكة مع ٣ نقاط تحكم رأسية BM على الأقل مع استخدام نموذج جبويد جيد.

¹² Ministry of sustainable resource management, 2005, British Columbia guidelines for GPS RRK surveys, Release 1.0, British Columbia, Canada.

¹³ US Army Corps of Engineering, 2003, NAVSTAR Global Positioning System Surveying, Technical Manual No. EM1110-1-1003, Washington, D.C., USA.

جدول ٥-٧
طول وقت الرصد الحقلـي للرـصد الثـابت

وقت الرصد (دقيقة)	GDOP	معامل الدقة	عدد الأقمار الصناعية المتوفرة	طول خط القاعدة (كم)
أولاً: الرصد الثابت التقليدي:				
٣٠-١٠	أقل من ٦	أكثر من ٤	أقل من ١ كم	
٦٠-٣٠	أقل من ٦	أكثر من ٤	٥ - ١	
٩٠-٦٠	أقل من ٦	أكثر من ٤	١٠-٥	
١٢٠-٩٠	أقل من ٦	أكثر من ٤	٢٠-١٠	
٣-٢ ساعات	أقل من ٦	أكثر من ٤	٥٠-٢٠	
أكثر من ٣ ساعات	أقل من ٦	أكثر من ٤	١٠٠-٥٠	
أكثر من ٤ ساعات	أقل من ٦	أكثر من ٤	١٠٠	
ثانياً: الرصد الثابت السريع:				
أقل من ٥ دقائق	أقل من ٥	أكثر من ٤	أقل من ١ كم	
١٠-٥ دقائق	أقل من ٥	أكثر من ٤	٥-١	
١٥-١٠ دقيقة	أقل من ٥	أكثر من ٤	١٠-٥	
٣٠-١٠ دقيقة	أقل من ٥	أكثر من ٤	٢٠-١٠	

جدول ٦-٧
طول وقت الرصد الحقلـي للرـصد الثـابت للأجهـزة أحـاديـة و ثـانـيـة التـرـدد

وقت الرصد للأجهزة ثنائية التردد (دقيقة)	وقت الرصد للأجهزة أحادية التردد (دقيقة)	عدد الأقمار الصناعية المتوفرة	طول خط القاعدة (كم)
٨	٢٤	أكثر من ٦	١٠ - ١
١٠	٣٠	أكثر من ٦	٢٠ - ١٠
٢٠	٦٠	أكثر من ٦	٥٠ - ٢٠
٣٠	٩٠	أكثر من ٦	٥٠
<hr/>			
١٢	٣٦	أكثر من ٤	١٠ - ١
١٥	٤٥	أكثر من ٤	٢٠ - ١٠
٢٥	٧٥	أكثر من ٤	٥٠ - ٢٠
٤٥	١٣٥	أكثر من ٤	٥٠

جدول ٧-٧

طول وقت الرصد الحقلـي للرصد الثابت لشبـكات الثوابـت الرأسـية
(للوصول لدقة ± ٣٠ مـليمـتر في حـساب المـنـاسـيب)

معامل القياس Sample rate (ثانية)	وقت الرصد للأجهزة أحادية التردد (دقيقة)	طول خط القاعدة (كم)
٥	٣٠	أقل من ١٠
١٠	٦٠	٢٠ - ١٠
١٥	١٢٠	٤٠ - ٢٠
١٥	١٨٠	٦٠ - ٤٠
١٥	٢٤٠	٨٠ - ٦٠
١٥	٣٠٠	١٠٠ - ٨٠
١٥	أكثر من ٣٠٠	أكبر من ١٠٠

أيضاً فـأن تحـديد معـامل الأـرصـاد sample rate (المـعـدل الزـمنـي بـيـن كل رـصـدة و الرـصـدة التـالـيـة) يـجـب أـن يـتم قـبـل بدـء العمل الحـقـلي ويـتم ضـبـط أـجـهـزـة الـاستـقـبـال قـبـل التـوـجـه لـلـمـشـرـوـع.

الـجـدول (٨-٧) يـوضـح قـيم معـامل الأـرصـاد المقـترـحة لـكـافـة طـرق الرـصـد بالـجيـ بيـ أسـ،^{١٤}

٨-٧ جدول **قيم معـامل الأـرصـاد في طـرق الرـصـد المـخـلـفة**

طـريقـة الرـصـد	الثـابـت	الثـابـت السـريـع	الذـهـاب و التـوقـف	المـتـحـرك
معـامل الأـرصـاد	١٠ ثـانـيـة	١٠٠-٥ ثـانـيـة	٥-١ ثـانـيـة	٢ ثـانـيـة

يـقـدم الجـدول (٩-٧) نـموـذـجا آخر لـمواـصـفـات الرـصـد بالـجيـ بيـ أسـ في إـنشـاء شبـكة ثـوابـت أـرضـية بكلـتا طـرـيقـي الرـصـد الثـابـت التقـليـدي و السـريـعـ.^{١٥}

٩-٧ جدول **مواـصـفـات رـصـد شبـكة جـيـ بيـ أسـ**

الـبـنـد	الـرـصـد الثـابـت السـريـع	الـرـصـد الثـابـت التقـليـدي
أقصـى قيمة لـمعـامل الدـقة PDOP	٥	٥
أـقـل زـمـن لـفـتـرة الرـصـد	١٥ دـقـيقـة	٣٠ دـقـيقـة
أـقـصـى معـامل أـرـصـاد	١٥ ثـانـيـة	١٥ ثـانـيـة
أـقـل زـاوـيـة قـنـاع	٥١٠	٥١٠

¹⁴ المؤسـسة العـامـة لـلـتـعـلـيم الفـنـي و التـدـريـب المـهـني ، النـظـام الكـوـنـي لـتحـديـد المـوـاـقـع ، مـقـرـر درـاسـي لـطلـاب المعـاهـد الثـانـيـة الفـنـيـة ، الـرـياـضـ، المـملـكـة الـعـربـيـة السـعـودـيـة.

¹⁵ California Department of Transportation, 2006, Global Positioning System (GPS) survey specifications, California, USA.

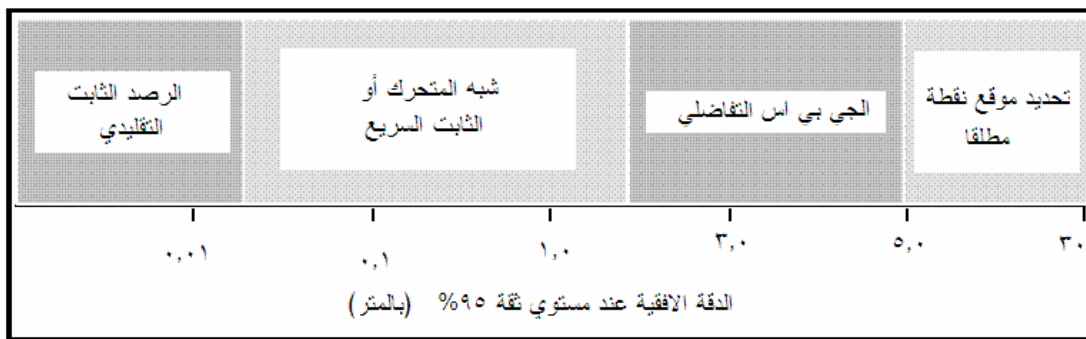
٨-٢-٧ اختيار أنساب طريقة للرصد:

يتم اختيار طريقة الرصد بعد وضع الخطوط العريضة لأهداف المشروع و مستوى الدقة المطلوب الوصول إليه ، حيث تتم المفاضلة بين جميع طرق الجي بي أس وخاصة من وجها نظر تقنية و اقتصادية في نفس الوقت (شكل ٥-٧^{١٦}). فإذا كان المشروع - مثلاً - بهدف استكشاف عام لمنطقة أو تطوير نظم معلومات جغرافية لأماكن الخدمات الموجودة في مدينة أو تحديث الخرائط صغيرة المقاييس فيمكن الاكتفاء باستخدام أجهزة الاستقبال الملاحية أو المحمولة يدوياً (أجهزة أرصاد الشفرة) والتي توفر دقة في حدود $\pm 8-4$ متر وبمتوسط ± 5 متر^{١٧} حيث تكون هذه الدقة مناسبة لمثل هذه التطبيقات و أيضاً غير مكلفة ماديًّا. أما في حالة تطوير نظم معلومات جغرافية لمساحة صغيرة (حي مثلاً) أو لأعمال المساحة الهيدروجرافية أو لمراقبة النهر في الشواطئ فإن الدقة المطلوبة ستكون في حدود ± 1 متر أو أقل مما يجعل طريقة الجي بي أس التقاضلي DGPS هي الأنسب وخاصة في حالة توافر مصدر لتصحيحات الأرصاد سواء من جهات توفر هذه الخدمة أو استخدام جهاز مرجعي لحساب تصحيحات الشفرة و نقلها للأجهزة المتحركة سواء لحظياً أو باستخدام التصحيح المكتبي. تعد أجهزة الرصد (النسبة وليس المطلق) المخصصة لتطبيقات نظم المعلومات الجغرافية بديلاً مناسباً لمثل هذه التطبيقات (حيث أنها أرخص سعراً من الأجهزة الجيوديسية وأسهل أيضاً في التعامل معها). كما أن خدمات التصحيحات التجارية (مثل خدمة OmniStar) تعد بديلاً آخر اقتصادياً في حالة عدم توافر جهات حكومية تبث التصحيحات في محيط منطقة العمل ، وكمثال فقد تم استخدام هذه الخدمة التجارية في الرفع الهيدروجرافي لنهر النيل في مصر وأثبتت أنها توفر الوقت اللازم للأعمال الحقلية بنسبة كبيرة مما جعلها تفضى من تكلفة المشروع. أما للرفع المساحي سواء التفصيلي أو الطبوغرافي فإن طرق الرصد المتحرك تعد هي الأنسب والأوسع انتشاراً ، لكن يبقى المفاضلة بين هذه الطرق لتنفيذ التصحيح و الحسابات في الموقع مباشرة RTK أم في المكتب بعد انتهاء العمل الحقلـي PPK. في حالة توقيع نقاط معلومة الإحداثيات فإن طريقة RTK هي البديل الوحيد لأن التوقيع اللحظي يتطلب التصحيح اللحظي لأرصاد الجي بي أس ، أما في حالة الرفع المساحي فإن طريقة PPK من الممكن أن تكون هي الأفضل حيث أنها تتيح للمستخدم التحقق من الأرصاد و استبعاد الغير دقيق منها قبل إجراء حسابات تحديد الإحداثيات النهائية للنقاط المرصودة وذلك من خلال البرامج المكتبية المتخصصة بعد انتهاء العمل الميداني ، وان كان البعض يستعمل طريقة RTK في الرفع المساحي لأنها أسرع ولا تحتاج لأية أعمال مكتبيـة. أما لتطبيقات المساحة الجيوديسية و المساحة الأرضية عالية الدقة فلا يوجد بديل عن طرق الرصد الثابت^{١٨}.

^{١٦} Natural Resources Canada, 1995, GPS positioning guide, Third Edition, Ottawa, Canada.

^{١٧} Dawod, G., 2007, New strategies in the utilization of GPS technology for mapping and GIS activities in Egypt, Civil Engineering Research Magazine (CERM), V. 29, No. 1 (Jan.), pp. 292-310.

^{١٨} US Army Corps of Engineering, 2003, NAVSTAR Global Positioning System Surveying, Technical Manual No. EM1110-1-1003, Washington, D.C., USA.



شكل ٥-٧
مثال للدقة المتوقعة من طرق الرصد المتعددة

٩-٢-٧ المتطلبات الأخرى:

أيضاً تجهيز المتطلبات اللوجستية الازمة يعد من مكونات التخطيط للمشروع لأنّه يؤثّر على الوقت المستغرق لتنفيذ العمل الحقلّي. يجب عمل حصر بالممتلكات (عدد و مواصفات السيارات المناسبة لمنطقة العمل ، عدد أفراد الفريق الحقلّي و خبراتهم - مثال في الجدول ٧-١٩) - ، مدي توافر مصدر طاقة دائم لشحن بطاريات أجهزة الرصد ، إمكانيات الاتصالات التيلفونية أو اللاسلكية في منطقة العمل ، إمكانيات إقامة مخيم لأفراد الفريق الحقلّي الخ وإعدادها قبل بدء العمل الميداني.

٣-٧ الرصد الحقلّي:

تبدأ خطوات العمل الحقلّي باستكشاف منطقة العمل بصورة عامة ، من خلال الخرائط أو المرئيات الفضائية أو الصور الجوية المتوفرة ، كما يمكن الاستعانة بالطرق الحديثة المتوفرة على شبكة الانترنت مثل برنامج جوجل أيرث Google Earth أو موقع <http://www.wikimapia.org> المُجاني. في مرحلة الاستكشاف يتم اختيار موقع النقاط الثابتة المطلوب إنشاؤها ويتم إعداد كروكي لكل موقع و طرق الوصول إليه. ويجب مراعاة المواصفات الفنية لتوزيع نقاط الثوابت و مواصفات موقع كل نقطة وخاصة فيما يتعلق بخلو الموقع المقترن من أية عوائق ربما تكون سبباً في حدوث خطأ تعدد المسار Multipath الذي يؤثر على جودة و دقة أرصاد الجي بي أس. وقبل بدء الرصد الحقلّي يتم مراجعة كافة معاملات التشغيل configuration or setup parameters المخزنة في الجهاز أو وحدة التحكم ، مثل نوع الرصد و معدل الأرصاد و زاوية القناع ... الخ.

^{١٩} Natural Resources Canada, 1995, GPS positioning guide, Third Edition, Ottawa, Canada.

جدول ١٠-٧

مثال لأفراد الفريق الحقلـي و مسؤولياتهم

المسؤوليات	الوظيفة
- تنظيم الأرصاد طبقاً لخطة الرصد. - التحقق من جودة إشارات الأقمار الصناعية. - التتحقق من جودة النتائج يومياً و تعديل خطة الرصد إن لزم. - التغلب على الصعوبات الفنية و الحياتية للفريق.	رئيس الفريق الحقلـي
- التأكد من توافر الأجهزة و المعدات الازمة. - التأكد من شحن بطاريات الأجهزة يومياً. - التأكد من احتلال النقطة المطلوب رصدها فعلاً. - ضبط أفقية و تسامت جهاز الاستقبال/الهوائي. - قياس ارتفاع الجهاز/الهوائي. - تشغيل الجهاز.	راصدـين
- مراقبة عمل الجهاز و استمرارية الأرصاد. - تكمـلة تسجيل كل بيانات النقطة في جدول الرصد الحقلـي.	
- التأكد من تجميع بيانات كل الأجهزة. - نقل البيانات من الأجهزة إلى الحاسـب الآلي. - عمل نسخ احتياطية backup من كل الأرصاد. - حساب أرصاد الجـي بي أس. - ضبط الحلقات أولاً بأول. - مراجـعة النتائج وإعداد تقرير إلى رئيس الفريق الحقلـي.	مشـغل بيانات

إن أجهزة استقبال الجـي بي أس تعد أجهزة متطرورة وتـكـاد تكون عملية استقبال و تخـزين إشارات الأقمار الصناعية عملية آلـية ، وتحـصـر الأخطاء البشرية في بعض النقاط التي يجب مراعاتها وبكل دقة:

- إعداد جدول لتسجيل بيانات كل محطة يتم رصدها وخاصة: اسم النقطة ، نوع و موديل و رقم جهاز الاستقبال ، نوع و موديل و رقم الهوائي إن كان منفصلاً عن جهاز الاستقبال ، اسم الراصد ، وقت بدء و إنهاء عملية تجميع الأرصاد (شكل ٦-٧) .
- ضبط تسامت و أفقية الجهاز أو الهوائي (شكل ٧-٧) بعناية تامة و دقة ، والتأكد من ضبط الأفقية قبل و بعد عملية تجميع الأـرصـاد.
- قياس ارتفاع الجهاز بكل دقة مـرة قبل بدء تشغيله و مـرة أخرى بعد انتهاء عملية الرصد. عـلـماـ بـأنـ بـعـضـ الأـجـهـزـةـ تقـيـسـ الـارـتـقـاعـ مـائـلاـ وـ بـعـضـهاـ يـقـيـسـهـ رـأسـياـ ،ـ فـيـجـبـ التـأـكـدـ مـنـ كـتـيـبـ تـشـغـيلـ كـلـ جـهـازـ مـنـ الطـرـيقـ الصـحـيـحةـ المـنـاسـبـةـ (ـشـكـلـ ٨-٧ـ)ـ.
- إدخـالـ اـرـتـقـاعـ الجـهـازـ فيـ وـحدـةـ التـحـكـمـ المـاصـاحـبـةـ لـهـ ،ـ وـأـيـضاـ تـسـجـيلـ الـارـتـقـاعـ فيـ جـوـدـوـلـ الرـصـدـ ،ـ وـهـذـهـ خـطـوـةـ هـامـةـ لـلـتـحـقـقـ مـنـ أـنـ كـلـ الـقـرـاءـتـيـنـ سـلـيـمـيـنـ.
- فيـ الرـصـدـ المـتـحـركـ يـتـمـ قـيـاسـ اـرـتـقـاعـ الـانـتـاـ عنـ سـطـحـ الـأـرـضـ سـوـاءـ كـانـتـ مـرـكـبةـ عـلـىـ عـصـاـ الرـصـدـ **pole**ـ أـوـ مـثـبـتـةـ عـلـىـ السـيـارـةـ مـنـ الـخـارـجـ.

²⁰ المؤسسة العامة للتعليم الفني و التدريب المهني ، ١٤٢٦ هـ ، النظام الكوني لتحديد الموقع ، مقرر دراسي لطلاب المعاهد الثانوية الفنية ، الرياض ، المملكة العربية السعودية.

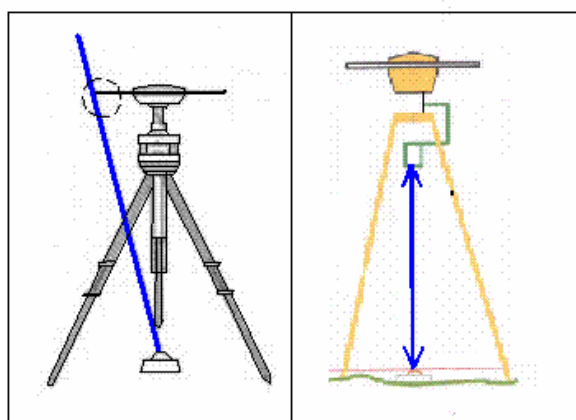
- اختيار أسماء مناسباً لأرصاد كل نقطة في كل فترة رصد عند إدخال البيانات في وحدة التحكم (اسم المشروع Job).
- للرصد المتحرك اللحظي RTK (شكل ٩-٧) يجب ضبط معاملات استقبال التصحيحات في كلاً من الجهاز المرجعي والجهاز المتحرك - طبقاً لكتيبات التشغيل بحيث يكونا متطابقين لضمان إرسال واستقبال التصحيحات.
- متابعة قيمة PDOP - على شاشة الجهاز - طوال فترة الرصد وتسجيل تغيرها بمرور زمن الرصد.

نموذج رصد ثابت بجهاز تحديد الموضع GPS (مجموعة من النقاط)	
..... اسم الراصد :	
معلومات عن الموقع: الإحداثيات التربوية للنقطة: خط الطول: دائرة العرض: الارتفاع:	معلومات عن المشروع: رقم النقطة: نوع النقطة: <input checked="" type="checkbox"/> ثابت <input type="checkbox"/> ثابت Reference Rover نوع الرصد: <input checked="" type="checkbox"/> ثابت <input type="checkbox"/> ثابت سريع التاريخ: / / ١٤٢ هـ الموافق / / م وقت بداية الرصد (التوقيت المحلي): وقت نهاية الرصد (التوقيت المحلي):
معلومات عن الأقمار: الأقمار عند بداية الرصد: الأقمار عند نهاية الرصد: التوزيع الهندسي للأقمار: م (PDOP)	معلومات عن الجهاز: اسم الجهاز وموديله: رقم وحدة المستقبل: رقم الهوائي: ارتفاع الهوائي: م
ملاحظات: 	

شكل ٦-٧ نموذج لкарت بيانات حقلية لمحطة جي بي أس



**شكل ٧-٧
بعض أجهزة الرصد الجيوديسية**

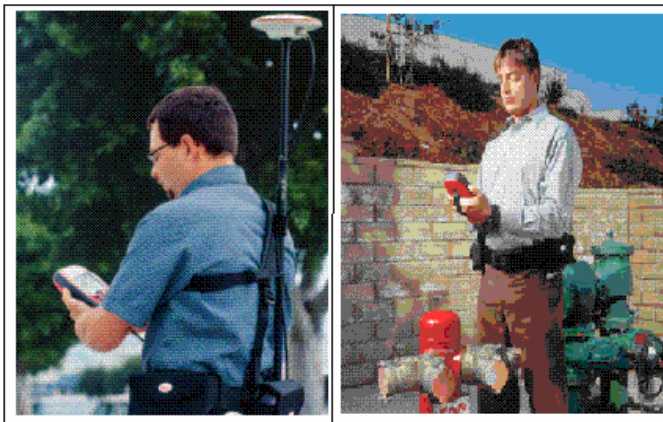


**شكل ٨-٧
بعض طرق قياس ارتفاع الجهاز**



**شكل ٩-٧
العمل الحقلـي للرصد المتحرك اللحظـي**

في تطبيقات تجميع البيانات المكانية و غير المكانية **Attributes** لنظم المعلومات الجغرافية (شكل ١٠-٧) فيجب تصميم حقول قاعدة بيانات المشروع قبل التوجه للحقل. مثلاً لمشروع تجميع بيانات المدارس فإن قاعدة البيانات تتكون حقولها من: اسم المدرسة ، نوع المرحلة التعليمية ، اسم الحي و الشارع ، الخ ، وبهذه الخطوة يتم تنفيذ العمل الحقلـي أسرع عند رصد موقع وإدخال البيانات المطلوبة لكل مدرسة.



شكل ١٠-٧
العمل الحقلـي بأجهزة نظم المعلومات الجغرافية

في تطبيقات التوقيع المساحي **Setting-Out** (باستخدام طريقة الرصد المتحرك اللحظـي **RTK**) يجب إعداد ملف بإحداثيات النقاط المطلوب توقيعها ورفع الملف إلى جهاز الاستقبال – أو وحدة التحكم – قبل بدء العمل الحقلـي. وفي الحقل يتم استدعاء الملف و البدء في توقيع كل نقطة حيث يظهر على شاشة الجهاز الفروق (مسافة و اتجاه) بين الإحداثيات الحالية و الإحداثيات المطلوب توقيعها ويبـدأ الراسـد في التحرك حتى يتلاشـي هذا الفرق فيقوم بوضع العلامة الأرضـية في مكانـها المطلوب .

في تطبيقات الرفع الطبوغرافي لمساحة كبيرة يجب إعداد تصور لكيفية تنفيذ العمل الحقلـي ومواصفاته وخاصة المسافة الأفقـية بين النقاط التي تتحقق الوصول لأهداف و دقة المشروع. تعتمـد هذه المسافة على الفترة الكنتورـية الازمة لإعداد الخرائط الكنتورـية المطلوبـة ، وحيثـ أن عملية توجـيه الراسـد في المناطق الصحـراوية (حيثـ لا توجـد أهداف أو علامـات أرضـية) ليست سهـلة فيفضل إعداد مسارات (خطوط) الرصد في ملفـات – ملفـات أو توـكـاد مثـلاً - و تحمـيلـها إلىـ أجهـزة الاستـقبال قبلـ بدء العملـ الحقلـي. وبـذلك يتمـ التـأكـدـ منـ أنـ عمـلـيةـ الرـفعـ المسـاحـيـ بالـجيـ بيـ أسـ تـمـتـ كـماـ هوـ مـخـطـطاـ لـهـاـ وـ بـالـكـثـافـةـ المـطلـوبـ لـبـيـانـاتـ وـتـيـ تـؤـديـ لـتـحـقـيقـ أـهـدـافـ المـشـرـوـعـ.

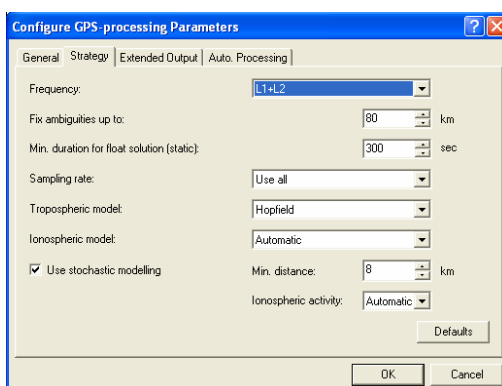
من المهم جداً تحمـيلـ بياناتـ الأـرـصادـ الحـقـلـيةـ منـ أـجـهـزةـ الـاسـتـقبـالـ إـلـىـ الـحـاسـبـ الـآـلـيـ **Data Download** بعدـ نـهاـيـةـ كـلـ يـومـ عملـ حـقـلـيـ لـفـحـصـ المـلـفـاتـ وـالتـأـكـدـ منـ سـلامـتهاـ وـعـملـ نـسـخـ اـحتـيـاطـيـةـ مـنـهـاـ عـلـىـ أـقـرـاصـ مـدـمـجـةـ (CD or DVD). أماـ فيـ الـأـعـمـالـ الـجيـوـدـيـسـيـةـ فيـفـضـلـ إـجـرـاءـ حـسـابـاتـ الـأـرـصادـ بـصـورـةـ مـبـدـئـيـةـ – يـومـياـ بـعـدـ اـنـتـهـاءـ الـعـمـلـ الحـقـلـيـ – لـلتـأـكـدـ مـنـ جـودـةـ الـأـرـصادـ بـصـورـةـ أـوـلـيـةـ لـحـينـ الـبـدـءـ فـيـ تـنـفـيـذـ الـحـسـابـاتـ النـهـائـيـةـ ، وـفـيـ حـالـةـ وـجـودـ مشـاـكـلـ فـيـ أحـديـ النـقـاطـ المـرـصـودـةـ أوـ أحـدـ خـطـوـطـ القـوـاعـدـ فـيـتـمـ إـعادـةـ الرـصـدـ فـيـ الـيـومـ التـالـيـ مـباـشـرةـ.

٤-٧ الحسابات و الضبط:

تقوم كل شركة من الشركات المنتجة لأجهزة استقبال الجي بي أوس بتطوير صيغ format خاصة بها لتخزين ملفات الأرصاد. وكل شركة تنتج برنامج حسابات software خاص بها والذي يستطيع التعامل بسهولة مع صيغ الملفات الناتجة من أجهزة من نفس الشركة. في حالة وجود أكثر من نوع من أنواع أجهزة استقبال الجي بي أوس المستخدمة في مشروع معين فإن أي برنامج حساب لن يستطيع التعامل مع صيغ ملفات صادرة من أجهزة من شركات أخرى. هنا نلجم لصيغة قياسية standard format تسمح باستخراج البيانات - أو الأرصاد - من أي ملف أرصاد ، وهذه الصيغة تسمى RINEX وهذا الاسم اختصار لكلمات: صيغة Receiver INdependent EXchange format. كمثال: إذا كان لدينا مشروع تم فيه استخدام أجهزة جي بي أوس من شركة ترمبل و أجهزة أخرى من شركة ليكا ، فأننا نستدعي البيانات من أجهزة ترمبل download باستخدام برنامج هذه الشركة ثم تعيد تصدير Export الملفات إلى صيغة راينكس حتى يستطيع برنامج حسابات شركة ليكا أن يتعامل معها ، والعكس صحيح أيضا حيث يمكن تحميل بيانات أجهزة ليكا إلى الحاسوب الآلي ثم تعيد تصديرها بصيغة راينكس حتى يتعامل معها برنامج حسابات شركة ترمبل.

أما خطوات حساب أرصاد الجي بي أوس Data Processing فتختلف باختلاف طريقة الرصد المستخدمة ، لكن التسلسل المنطقي للخطوات يشمل :

- تحويل البيانات من أجهزة الاستقبال إلى الحاسوب الآلي.
- اختيار معاملات الحساب Processing Parameters المناسبة لطريقة الرصد المستخدمة (شكل ١١-٧).
- فحص معلومات كل نقطة مرصودة (اسم النقطة ، ارتفاع الجهاز ، نوع الجهاز و نوع الهوائي الخ).
- اختيار خطوط القواعد المستقلة independent baselines لحسابها.
- في حالة توافر ملفات دقيقة لمدارات الأقمار الصناعية Precise Orbits فيجب استدعائهما للبرنامج مع التأكد من أنها ضمن معاملات الحساب المطلوبة.
- تنفيذ حساب خطوط القواعد Baseline Processing .
- مراجعة و فحص النتائج.



شكل ١١-٧
مثال لضبط معاملات الحساب المطلوبة

توجد عدة خطوط عريضة تساعد المستخدم في فحص و تقييم نتائج حسابات خطوط القواعد ومنها^{٢١} ما هو موجود في الجدول (١٢-٧).

جدول ١١-٧ عناصر تقييم جودة حلول خطوط القواعد

الحدود المقبولة	العنصر
مفضل للخطوط أقل من ١٠ كم للخطوط ١٠ - ٧٥ كم مفضل للخطوط أكبر من ٧٥ كم	<u>نوع الحل:</u> حل ثابت للتردد الأول L1 حل ثابت خالي مكن الأيونوسفير حل غير ثابت خالي من الأيونوسفير
من ١ إلى ١٠ (يرفض إن زاد عن ٢٠) ٥ (يرفض إن زاد عن ١٠)	<u>التباین المرجعی Reference Variance:</u> القيمة الاسمية القيمة القصوى لأرصاد L1 القيمة القصوى لأرصاد L1, L2
١٠ مللي ١٥ مللي ٣٠ مللي	<u>الخطأ التربيعي المتوسط RMS:</u> للخطوط أقل من ٥ كم للخطوط أقل من ٢٠ كم للخطوط ٢٠ - ٥٠ كم
أكبر من ١.٥ للحل الثابت Fixed أقل من ١.٥ للحل غير الثابت Float أكبر من ١.٥ وأقل من ٣.٠: تحذير أو مشكوك به	نسبة التباین Variance Ratio لحل قيمة الغموض الصحيح Integer Solution

ويعرض الشكل (١٢-٧) مثلاً لنتائج حسابات الخطوط حيث يظهر نوع الحل لكل خط و قيمة معامل الحل Ratio وأيضاً التباین المرجعی ، مما يسهل فحص جودة حلول الخطوط و اختيار الأدق منهم للدخول في عملية ضبط الشبكة.

Station (From)	Solution (To)	Slope Type	Slope Dist (m)	Ratio	Reference Variance	Entered (From)	Ant Hgt (To)
A 1001	MESAS	Iono free fixed	20841.965	6.6	3.814	1.674	1.559
A 1001	SJH 44	L1 fixed	4426.843	13.3	11.994	2.125	1.714
COMERIO	A 1001	Iono free float	28604.039		3.059	2.122	2.125
COMERIO	DRYDOCK	Iono free fixed	26731.603	17.2	4.845	2.122	1.683
COMERIO	MESAS	Iono free fixed	17436.970	20.4	3.522	2.122	1.504
COMERIO	MP 1	Iono free fixed	26466.871	15.9	3.535	2.122	1.651
COMERIO	SJH 44	Iono free fixed	26791.206	8.0	3.748	2.122	1.714
DRYDOCK	A 1001	L1 fixed	2099.928	3.5	23.933	1.683	2.125
DRYDOCK	SJH 44	L1 fixed	2986.722	4.1	19.858	1.683	1.714
MESAS	A 1001	Iono free fixed	20841.967	1.5	3.761	1.504	2.125
MESAS	DRYDOCK	Iono free fixed	19984.666	16.6	5.558	1.504	1.683
MESAS	SJH 44	Iono free fixed	21973.981	9.3	2.783	1.504	1.714
MP 1	A 1001	L1 fixed	2160.311	4.0	21.693	1.651	2.125
MP 1	PN 007	Iono free fixed	5114.381	19.0	4.801	1.775	2.143
MP 1	PN 030	L1 fixed	4609.931	8.5	27.470	1.775	1.656

شكل ١٢-٧ مثال لنتائج حسابات خطوط القواعد

²¹ US Army Corps of Engineering, 2003, NAVSTAR Global Positioning System Surveying, Technical Manual No. EM1110-1-1003, Washington, D.C., USA.

أما في تطبيقات نظم المعلومات الجغرافية وطريقة الجي بي أس التفاضلي DGPS فأن النتائج تشمل - غالباً- الإحداثيات المحسوبة للنقاط المرصودة وقيم الانحراف المعياري فيها (شكل ٧-١٢).

Point No.	Ref No.	Point Description	FL SP Coordinate		Obs	95% Precision *		
			X	Y		Y	X	X-Y
38-1	38	Concrete Bulkhead, in line with East edge of Building	920,742.89	522,331.98	720	0.6 ft	0.6 ft	0.8 ft
38-2	38	Concrete Bulkhead, in line with West edge of Building	920,696.28	522,324.20	120	1.0 ft	1.0 ft	1.3 ft
94-3	94	Northeast corner of concrete pier @ La Coloma Marina	918,350.11	525,035.11	723	0.5 ft	0.5 ft	0.7 ft
94-4	94	Northwest corner of concrete pier @ La Coloma Marina	918,343.00	525,039.66	101	1.2 ft	1.2 ft	1.6 ft
110-5	110	Point on corrugated steel bulkhead	917,156.88	525,821.07	676	0.9 ft	0.9 ft	1.1 ft
116-6	116	Northeast corner of wooden pier @ Langer-Krell Marine Electronics	916,946.64	525,963.01	724	0.5 ft	0.5 ft	0.6 ft
46-7	46	Northeast corner of wooden pier	919,868.69	522,728.61	794	0.5 ft	0.5 ft	0.7 ft
								1.4 ft

شكل ١٣-٧ مثال لنتائج حسابات الجي بي أس التفاضلي

بعد ضبط الشبكة Network Adjustment من أهم خطوات حسابات أرصاد الجي بي أس ، ويكون من عدة خطوات متتالية ضمناً لاكتشاف أيه أخطاء outliers والتوصل لأدق تقديرات الإحداثيات النهائية للنقاط المرصودة. وتشمل هذه الخطوات:

- أ- تحليل خطأ القفل في كل حلقة لضمان حدود قيمه طبقاً للمواصفات المطلوبة.
- ب- إجراء عملية ضبط غير مقييد Free Net Adjustment (عن طريق تثبيت إحداثيات نقطة واحدة فقط غالباً تكون اختيارية) لفحص جودة الأرصاد ذاتها.
- ت- استخدام النتائج الإحصائية للضبط غير المقييد في اكتشاف أيه أرصاد غير جيدة Outliers or Blunders وحذفها (عن طريق الاختبارات الإحصائية المعروفة مثل اختبار تاو).
- ث- إجراء الضبط النهائي للشبكة Final Constrained Adjustment (سواء بثبيت إحداثيات نقطة واحدة معلومة فقط Minimal-Constrained أو بثبيت إحداثيات أكثر من نقطة معلومة Over-Constrained).

الشكل (١٤-٧) يقدم مثال لنتائج الضبط الغير مقييد لأحد شبكات الجي بي أس المكونة من عدد ٣٥ خط قاعدة^{٢٢}. بسهولة يمكن ملاحظة أن الخط الثاني عشر به مشكلة حيث أن قيمة الانحراف المعياري له تساوي ١٦٨.٠ متر و الدقة النسبية ppm له تساوي ٢٥.٠٢٣ جزء من المليون. كما أن برنامج الحسابات قد عرض ملاحظة في آخر صفحة النتائج أن هذا الخط محتمل أن يكون رصدة خارج الحدود outlier. بينما يعرض الشكل (١٥-٧) مثال لنتائج

²² US Army Corps of Engineering, 2003, NAVSTAR Global Positioning System Surveying, Technical Manual No. EM1110-1-1003, Washington, D.C., USA.

²³ Ghilani, C., and Wolf, P., 2006, Adjustment computations: Spatial data analysis, Forth edition, John Wiley & Sons, Inc., New Jersey, USA.

الضبط المقيد والذي يجب فحص نتائجه بعناية - وخاصة الدقة النسبية prec - ضمناً الوصول للدقة المنشودة للمشروع. كما يقدم الشكل (١٤-٧) مثال للإحداثيات النهائية لل نقاط المرصودة و دقة كل نقطة.

***** OUTPUT VECTOR RESIDUALS (East, North, Height - Local Level) *****						35 baseline residuals
SESSION NAME	-- RE --	-- RN --	-- RH --	- PPM -	DIST - STD -	
	(m)	(m)	(m)		(km)	(m)
AA5493 to OFFSET (1)	-0.0013	-0.0010	-0.0074	2.380	5.6	0.0178
AA5493 to OFFSET (2)	0.0089	-0.0007	-0.0219	4.218	5.6	0.0230
AA5493 to OFFSET (3)	0.0025	-0.0055	-0.0096	2.031	5.6	0.0171
AA5493 to SET1 (1)	-0.0066	0.0055	0.0079	3.645	3.2	0.0119
AA5493 to SET1 (2)	-0.0039	-0.0002	-0.0056	2.137	3.2	0.0188
AA5493 to SET1 (3)	-0.0002	-0.0090	-0.0012	2.830	3.2	0.0158
AA5493 to SET2 (1)	-0.0060	0.0052	0.0071	3.136	3.4	0.0122
AA5493 to SET2 (2)	-0.0065	-0.0021	-0.0123	4.134	3.4	0.0183
AA5493 to SET2 (3)	-0.0026	-0.0113	-0.0092	4.365	3.4	0.0173
AC2234 to AA5493 (1)	-0.0074	-0.0026	-0.0119	2.981	4.8	0.0170
AC2234 to AA5493 (2)	0.0123	0.0046	0.0145	4.103	4.8	0.0202
AC2234 to OFFSET (1)	0.0420	0.0358	-0.1446	25.023	6.2	0.1680
AC2234 to OFFSET (2)	0.0075	-0.0019	0.0255	4.315	6.2	0.0299
AC2234 to SET1 (1)	-0.0044	-0.0019	-0.0033	3.307	1.8	0.0154
AC2234 to SET1 (2)	0.0092	0.0040	0.0168	11.121	1.8	0.0204
AC2234 to SET2 (1)	-0.0019	-0.0019	-0.0024	1.945	1.9	0.0155
AC2234 to SET2 (2)	0.0080	0.0034	0.0212	12.298	1.9	0.0204
AC3733 to AA5493 (1)	0.0020	-0.0087	-0.0281	4.382	6.7	0.0216
AC3733 to AA5493 (2)	0.0031	0.0068	0.0111	1.981	6.7	0.0185
AC3733 to AC2234 (1)	-0.0084	0.0034	-0.0083	1.364	9.0	0.0318
AC3733 to OFFSET (1)	0.0104	-0.0004	0.0027	3.283	3.3	0.0157
AC3733 to OFFSET (2)	-0.0027	-0.0014	-0.0115	3.639	3.3	0.0190
AC3733 to SET1 (1)	0.0033	0.0011	-0.0109	1.537	7.5	0.0191
AC3733 to SET1 (2)	-0.0041	0.0028	0.0178	2.465	7.5	0.0201
AC3733 to SET2 (1)	0.0015	0.0025	-0.0013	0.437	7.2	0.0187
AC3733 to SET2 (2)	-0.0028	0.0017	0.0257	3.590	7.2	0.0227
OFFSET to SET1 (1)	0.0040	0.0072	0.0092	2.505	4.9	0.0132
OFFSET to SET1 (2)	0.0008	-0.0044	-0.0082	1.891	4.9	0.0130
OFFSET to SET1 (3)	-0.0017	-0.0109	-0.0153	3.816	4.9	0.0196
OFFSET to SET2 (1)	0.0047	0.0069	0.0085	2.594	4.6	0.0131
OFFSET to SET2 (2)	-0.0001	-0.0040	-0.0056	1.510	4.6	0.0133
OFFSET to SET2 (3)	-0.0020	-0.0129	-0.0103	3.624	4.6	0.0213
SET1 to SET2 (1)	-0.0010	-0.0010	0.0031	8.072	0.4	0.0164
SET1 to SET2 (2)	0.0002	-0.0007	0.0023	5.797	0.4	0.0116
SET1 to SET2 (3)	0.0012	0.0001	-0.0039	9.631	0.4	0.0113
RMS	0.0088	0.0082	0.0275			

\$ - This session is flagged as a 3-sigma outlier

شكل ١٤-٧ مثال لنتائج ضبط غير مقيد شبكة جي بي أس

From	To	$\pm S$	Slope Dist	Prec
A	C	0.0116	12,653.537	1,089,000
A	E	0.0100	7,183.255	717,000
B	C	0.0116	10,644.669	916,000
B	D	0.0097	11,211.408	1,158,000
D	C	0.0118	17,577.670	1,484,000
D	E	0.0107	9,273.836	868,000
F	A	0.0053	6,430.014	1,214,000
F	C	0.0115	10,617.871	921,000
F	E	0.0095	6,616.111	696,000
F	D	0.0092	8,859.036	964,000
F	B	0.0053	10,744.076	2,029,000
B	F	0.0053	10,744.076	2,029,000
A	F	0.0053	6,430.014	1,214,000

شكل ١٥-٧ مثال لنتائج ضبط نهائي شبكة جي بي أس

Station	X	Y	Z	Sx	Sy	Sz
<hr/>						
A	402.35087	-4,652,995.30109	4,349,760.77753			
B	8,086.03178	-4,642,712.84739	4,360,439.08326			
C	12,046.58076	-4,649,394.08256	4,353,160.06335	0.0067	0.0068	0.0066
E	-4,919.33908	-4,649,361.21987	4,352,934.45341	0.0058	0.0058	0.0057
D	-3,081.58313	-4,643,107.36915	4,359,531.12202	0.0055	0.0056	0.0057
F	1,518.80119	-4,648,399.14533	4,354,116.68936	0.0030	0.0031	0.0031

شكل ١٦-٧ مثال لنتائج إحداثيات نقاط شبكة جي بي أس

٥-٧ تحويل الإحداثيات:

في آخر خطوات حسابات أرصاد الجي بي أس يتم تحويل الإحداثيات النهائية المضبوطة للموقع المرصودة من المجسم العالمي WGS84 إلى المرجع المحلي (إن لزم ذلك في حالة توقيع هذه النقاط على خرائط وطنية مختلفة المرجع). تتكون هذه الخطوة الأخيرة من مراحل الحسابات من خطوتين فرعيتين: (١) تحويل المرجع Datum Transformation ، (٢) إسقاط الخرائط Map Projection. جميع البرامج التجارية commercial software الخاصة بحسابات الجي بي أس تحتوي طرق لتنفيذ كلتا الخطوتين ، بشرط تعين قيم المعاملات اللازمة.

تحويل المراجع يشمل تحويل الإحداثيات الجيوديسية ثلاثية الأبعاد (خط الطول و دائرة العرض و الارتفاع الجيوديسي) أو الإحداثيات الجيوديسية الكارتيزية (X, Y, Z) من المرجع الجيوديسي العالمي WGS84 - الذي تنسب إليه أرصاد نظام الجي بي أس - إلى المرجع الجيوديسي الوطني لدولة معينة. يلزم تنفيذ هذه الخطوة معرفة قيم لعناصر التحويل السبعة (أرجع إلى الجزء ٤-٨) بين هذين المرجعين. يمكن استخدام القيم الموجودة في الجدول (٢-٢) مع مراعاة أنها ليست عالية الدقة ، أو الحصول من الجهات الحكومية على قيم أكثر دقة لعناصر التحويل في هذا البلد. كما يمكن أيضا حساب قيم لعناصر التحويل في حالة معرفة الإحداثيات المحلية لثلاثة نقاط على الأقل ورصدهم مع شبكة الجي بي أس الجديدة للحصول على إحداثياتهم على WGS84 أيضا.

أما الخطوة الثانية فتهدف لإسقاط الإحداثيات ثلاثية الأبعاد إلى إحداثيات ثنائية الأبعاد لتوريقيعها على الخرائط. هنا لا بد من معرفة نوع المسقط المستخدم - في الخرائط المطلوب التوقيع عليها - بالإضافة لقيم العناصر الخمسة التي تحدد مواصفات هذا المسقط (أرجع إلى الجزء ٤-٧).

يجب الإشارة إلى أنه في حالة طريقة الرصد المتحرك اللحظي RTK فيجب تغذية جهاز استقبال الجي بي أس (أو وحدة التحكم به) بقيم عناصر التحويل بين المراجع و أيضا بقيم معاملات نظام الإسقاط حتى يستطيع الجهاز تحويل الإحداثيات - من WGS84 إلى الإحداثيات المطلوبة - آنها في نفس لحظة الرصد ، وبالتالي تكون الإحداثيات الناتجة في الموقع في نظام الإسقاط الوطني المطلوب مباشرة.

أيضاً تجدر الإشارة إلى أن دمج أرصاد الجي بي أس مع مساحة أرضية أصبح متاحاً الآن سواء على مستوى الأجهزة أو مستوى برامج الحسابات^{٢٤}. تم إنتاج أجهزة تدمج مستقبل جي بي أس مع محطة شاملة Total Station في جهاز واحد لتحقيق سهولة في العمل بجهاز واحد بدلاً من جهازين (مثلاً جهاز Smart Station من إنتاج شركة ليكا). كما أن برامج الحسابات الحديثة أصبحت تعامل مع كلاً من أرصاد الجي بي أس وأيضاً أرصاد أجهزة المساحة الأرضية (مثل برنامج Geomatic Office من شركة ترمبل أو برنامج Geo Office من شركة ليكا) حيث تتم خطوات الحسابات و الضبط و إسقاط الخرائط لكل أنواع الأرصاد في إطار واحد.

أما عن تحويل الارتفاعات الناتجة من أرصاد الجي بي أس إلى قيم المناسيب MSL فسنتناول هذا الموضوع في فصل آخر.

²⁴ داود ، جمعة محمد ، ٢٠٠٩ ، أحدث التطورات في إنتاج الأجهزة المساحية ، منتدى المهندسون العرب في الرابط: <http://www.arab-eng.org/vb/t138959.html#post1141850>

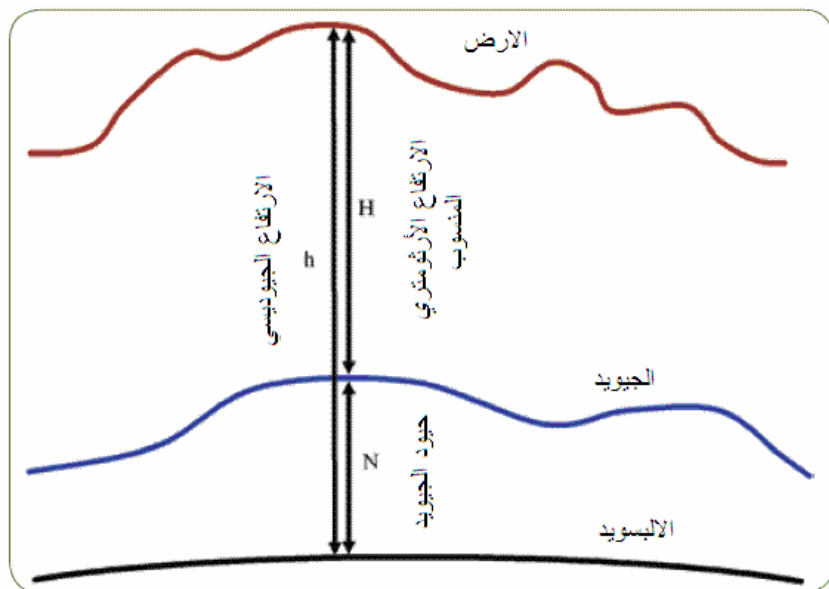
الفصل الثامن

الجي بي أس و الجيود

١-٨ مقدمة:

تعتمد أرصاد الجي بي أس وأيضاً الإحداثيات الناتجة عن هذه التقنية على المجسم أو الالبيسويدي العالمي WGS84 ، أي أن الارتفاع الناتج من الجي بي أس يكون مقاساً من سطح هذا الالبيسويدي ولذلك يسمى الارتفاع الالبيسويدي Ellipsoidal Height أو الارتفاع الجيوديسي Geodetic Height . بينما في التطبيقات المساحية والخرائطية فإن الارتفاع المستخدم - أي المنسوب - يكون مقاساً من منسوب متوسط سطح البحر MSL أو الذي يمثل شكل الجيودي ، ويسمى الارتفاع الأرثومترى Orthometric Height ، والفرق بين سطح الالبيسويدي و سطح الجيودي يسمى حيود الجيود Geoid Undulation أو ارتفاع الجيود Height (شكل ١-٨) ، وهو فرق مؤثر لا يمكن إهماله حيث قد تصل قيمته إلى ١٠٠ متر في بعض المناطق على الأرض. كمثال في مصر يتراوح حيود الجيود بين حوالي ٩ متر عند الحدود المصرية السودانية في الجنوب و حوالي ٢٢ متر عند البحر الأبيض المتوسط في الشمال. ولكي يتم تحويل الارتفاع الجيوديسي لنقطة ما (الرمز له بالرمز h) إلى منسوبها المقابل (النسميه H) فيجب معرفة قيمة حيود الجيود (N) عند هذه النقطة طبقاً للمعادلة:

$$h = H + N \quad (8-1)$$



شكل ١-٨
العلاقة بين أنواع الارتفاعات

لذلك فمن المهم عند استخدام نظام الجي بي أس في المشروعات المساحية أن نحصل على نموذج للجيودي حتى يمكن تحويل ارتفاعات الجي بي أس إلى مناسب و بدقة تناسب العمل الهندسي. توجد عدة طرق لتحديد حيود الجيود سنتعرض لها في هذا الفصل.

٢-٨ طرق نمذجة الجيود:

توجد طرق عديدة لحساب قيمة حيود الجيود - أي نمذجة الجيود Modeling - تعتمد على عدة أنواع من القياسات الجيوديسية مثل: الأرصاد الفلكية ، أرصاد الجاذبية الأرضية ، أرصاد الجي بي أس مع الميزانيات ، طرق التمثيل المتناقض لمجال جهد الأرض باستخدام أرصاد مختلفة النوع Heterogeneous Data. لم تعد القياسات الفلكية منتشرة في السنوات الماضية مما جعل استخدامها في نمذجة الجيود لم يعد مطبيقا الآن ، وسنتناول الطرق الأخرى بصورة مبسطة في الأجزاء التالية.

٢-١ نمذجة الجيود من أرصاد الجاذبية الأرضية:

باستخدام أجهزة خاصة Measured Gravimeters يتم قياس قيمة الجاذبية الأرضية Gravity على سطح الأرض ، كما يمكن أيضا باستخدام خصائص الاليسيود حساب قيمة الجاذبية النظرية Theoretical or Normal Gravity على سطح الاليسيود. الفرق بين قيمة الجاذبية المقاسة و قيمة الجاذبية النظرية المحسوبة - يسمى شذوذ الجاذبية Gravity Anomalies - يعبر بصورة معينة عن الفرق بين كلا من الاليسيود و الجيود¹. تمكّن العالم ستوكس Stokes في عام ١٨٤٩ من استبطاط المعادلة التالية التي يمكن منها حساب قيمة حيود الجيود من قيم شذوذ الجاذبية²:

$$N = \left(R / 4\pi \right) \Delta g S(\psi) d\sigma \quad (8-2)$$

حيث:

R تمثل نصف قطر الأرض المتوسط.
 Δg شذوذ الجاذبية
 $S(\psi)$ دالة ستوكس
 ψ المسافة الدائرية بين نقطة الحساب والنقطة المقاس عندها الجاذبية.
 $d\sigma$ جزء صغير من الأرض يتم التكامل باستخدامه.

كما نري في هذه المعادلة فإن التكامل الثنائي $\int \int$ يتم على كل سطح الأرض ، أي أنه لحساب قيمة حيود الجيود N عند نقطة واحدة فيلزم منا عشرات الآلاف من قياسات شذوذ الجاذبية ، وهذا أول عيب هذه الطريقة. أيضاً فإن قياسات شذوذ الجاذبية تحتاج تصحيحاً إضافياً يعتمد على معرفة تضاريس الأرض مما يتوجب معه أننا نحتاج نموذج ارتفاعات رقمي Digital Elevation Model أو DEM للمنطقة المطلوب حساب الجيود لها. لكن على الجانب الآخر فإن نمذجة الجيود من أرصاد الجاذبية الأرضية يتميز بأن قياسات الجاذبية الأرضية أسهل و أسرع و أرخص من أنواع الأرصاد الجيوديسية الأخرى. كما أن إطلاق أنواع خاصة من الأقمار الصناعية لقياس الجاذبية الأرضية على المستوى العالمي – في السنوات القليلة الماضية - قد أحدث ثورة علمية في مجال استخدام هذه الطريقة لنمذجة الجيود. كمثال لقياسات

¹ تعليب ، علي عبد العظيم ، ١٩٩٦ ، الجاذبية الأرضية ، المعهد القومي للبحوث الفلكية و الجيوفيزيقية ، طوان، مصر.

² Hofman-Wellenhof, B. and Moritz, H., 2005, Physical geodesy, Springer Wien, New York, USA.

الجاذبية الأرضية في البلدان العربية فقد تم إقامة الشبكة القومية المصرية للجاذبية الأرضية في الفترة ١٩٩٤-١٩٩٧ وتكونت من ١٥٠ محطة جاذبية أرضية موزعين على معظم المناطق المأهولة بمتوسط مسافات بين النقاط يبلغ ٧٠ كيلومتر (شكل ٢-٨) و بدقة متوسطة ± ٠.٢٢ مللي جال^٣ (المللي جال هو وحدة قياس الجاذبية الأرضية و يساوي $١^{-٣}$ متر/ثانية^٤).

لعدم إمكانية قياس الجاذبية الأرضية على كل جزء من الأرض فأن المعادلة (٢-٨) تتحول لصورة أخرى حيث يتم تجزئة قيمة حيد الجيويد N إلى ثلاثة مركبات:

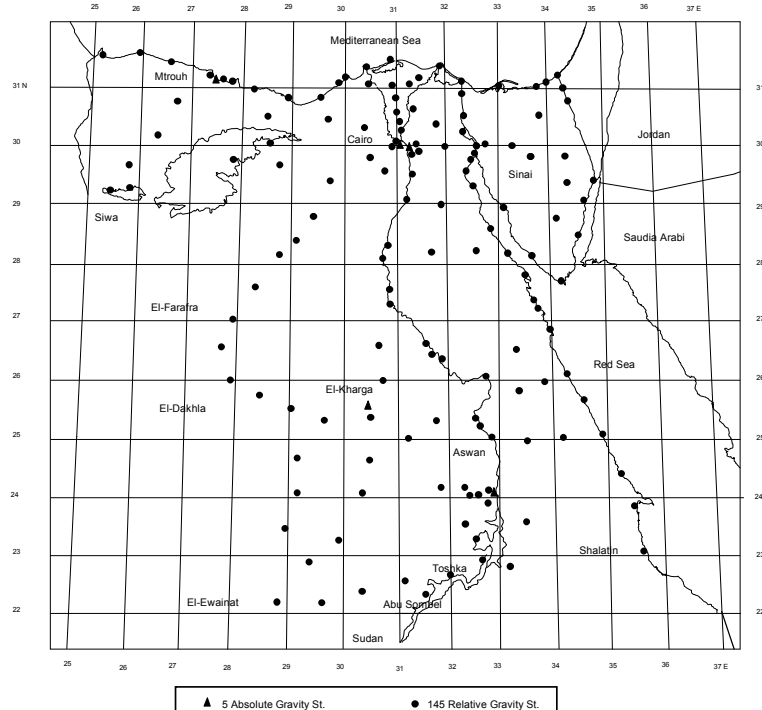
$$N = N^{GGM} + N^{\Delta g} + N^H \quad (8-3)$$

حيث:
 N^{GGM} = قيمة تأثير نموذج يعبر عن مجال الجاذبية عالميا.
 $N^{\Delta g}$ = قيمة تأثير الجاذبية الأرضية المحلية.
 N^H = قيمة تأثير تغير الطبوغرافية في المنطقة.

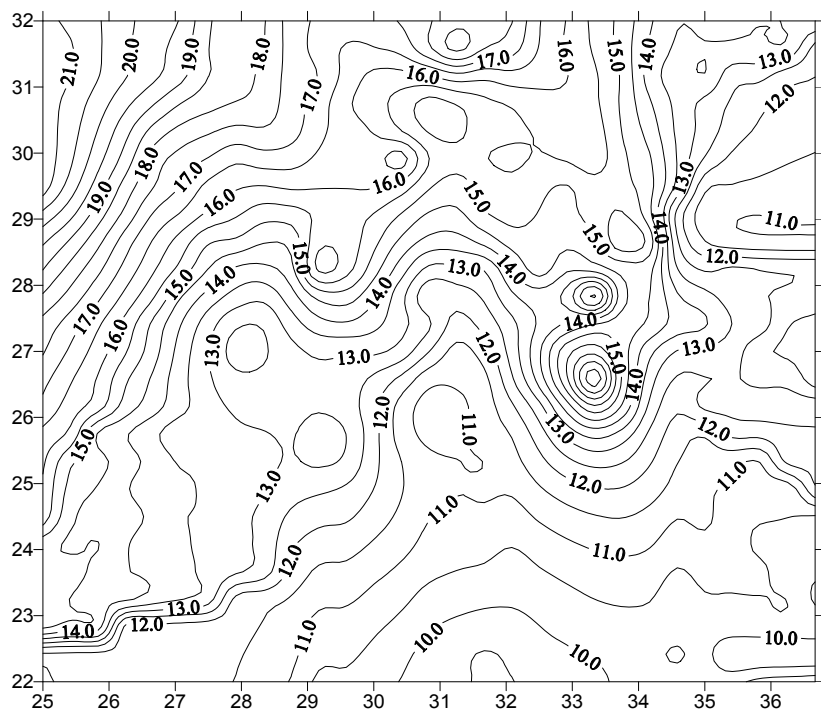
أي أن نماذج الجيويد في منطقة معينة تحتاج: (١) نموذج جيويد (أو نموذج جاذبية) عالمي ، (٢) قياسات جاذبية أرضية محلية للمنطقة ، (٣) نموذج ارتفاعات رقمي يمثل طبوغرافية المنطقة. هذا الأسلوب هو المطبق في نماذج الجيويد على مستوى الدول ، وكمثال فقد تم استخدام قياسات شبكة الجاذبية الأرضية المصرية في تطوير عدد من نماذج الجيويد في مصر وكان أحدهم الجيويد المسمى SRI2002B (شكل ٣-٨) والذي بلغت دقتها على المستوى الوطني ٤.٩ متر^٥ [لمعلومات أكثر عن جهود نماذج الجيويد في مصر: [\[http://gomaa.dawod.googlepages.com/egypt.geoid.arabic \]](http://gomaa.dawod.googlepages.com/egypt.geoid.arabic)

³ Dawod, G., 1998, A National Gravity Standardization Network for Egypt, Ph.D. thesis, Shoubra Faculty of Engineering, Zagazig University, Cairo, Egypt.

⁴ Saad, A., and Dawod, G., 2002, A Precise Integrated GPS/Gravity Geoid Model for Egypt, Civil Engineering Research Magazine (CERM), Al-Azhar University, V.24, No. 1, Jun, pp.391-405.



شكل ٢-٨
الشبكة القومية المصرية للجاذبية الأرضية لعام ١٩٩٧



شكل ٣-٨
نموذج الجيود المصري SRI2002B

٢-٢-٨ نمذجة الجيوبود من أرصاد الجي بي أس و الميزانيات:

يعد هذا الأسلوب (يسمى الطريقة الهندسية) هو الأمثل للمساحة بالجي بي أس وخاصة للمناطق الصغيرة (منطقة تغطي مساحة من ١٠ إلى ٢٠ كيلومتر مربع). يتم تنفيذ قياسات جي بي أس عند مجموعة من النقاط المعلوم منسوبها (نقاط روبيرات أو BM)، وبالتالي يمكن حساب قيمة حيود الجيوبود عند هذه النقاط باستخدام المعادلة (١-٨). في أبسط الصور فيمكن باستخدام نقطة واحدة فقط معرفة الفرق بين سطحي الاليبيسويド والجيوبود، إلا أن رصد جي بي أس عند ٣ روبيرات يعد وضعًا أفضل بالتأكيد. وجود ٣ نقاط معلوم لهم كلاً من h و H سيتمكننا من حساب ٣ معاملات (الميل $tilt$ في اتجاه الشمال ، الميل في اتجاه الشرق ، الفرق المتوسط) لوصف الفروق بين كلا السطحين. أي أن الجيوبود يتم تمثيله من خلال سطح أو مستوى مائل $tilted plane$. وبعد ذلك يمكن استخدام هذا النموذج أو هذا المستوى لكي نحوال ارتفاع الجي بي أس لأي نقطة جديدة مرصودة إلى منسوبها. وبالطبع يمكن استخدام أكثر من ٣ نقاط (معلومات h و H) وذلك للحصول على مصداقية أكبر *more reliability* لنتائج المستوى المائل حيث أن استخدام ٣ نقاط معلومة فقط يعطي ٣ معادلات مطلوب حلهم في ٣ قيم مجهولة أي - رياضياً وإحصائياً - لا يوجد أي تحقيق *check* للنتائج ، بينما استخدام أكثر من ٣ نقاط سيعطي عدد معادلات أكبر من عدد المجاهيل مما سينتاج عنه وجود تحقيق ومؤشرات إحصائية لجودة النتائج المحسوبة. أيضاً يمكن استخدام نماذج رياضية أكثر دقة (من نموذج السطح المائل) مثل دالة ذات الحدود *polynomials* بفرض وجود عدد أكبر من النقاط المعلومة (معلومات لها h و H). كمثال: تم تطبيق هذا الأسلوب في منطقة صغيرة في وادي النيل بمصر للحصول على سطح هندسي ممثل بالمعادلة:

$$N = 13.825 + 0.00003105 E + 0.00000297 N \quad (8-4)$$

حيث N ، E يمثلان الاحداثي الشرقي والشمالي - بالمتر - في نظام الإحداثيات المصري ETM. ووجد أن الدقة في حساب قيمة حيود الجيوبود بهذا الأسلوب تساوي ± 2.9 سنتيمتر لمسافة تبلغ حوالي ٨ كيلومترات أي بمعدل ٤ مللي/كم (مناسبة للتطبيقات متوسطة الدقة) ، لكنها تزيد إلى ± 12.6 سنتيمتر لمسافة تبلغ حوالي ١٢ كيلومترات أي بمعدل ٨ مللي/كم (مناسبة لتطبيقات نظم المعلومات الجغرافية والخرائط صغيرة المقاييس) .⁵

لكن هذه الطريقة الهندسية لها أيضاً بعض العيوب مثل :

- النموذج الرياضي المست Britt يصلاح فقط لمنطقة المحصورة بالنقاط المعلومة (محاولة استنباط extrapolation قيمة N خارج المنطقة لن تكون جيدة على الإطلاق).
- نموذج المستوى المائل - نموذج بسيط رياضيا - ويصلاح فقط لمناطق صغيرة (شكل وتغير الجيوبود أكثر تعقيداً من محاولة وصفه بسطح مائل).
- عملياً قد يكون من الصعب إيجاد نقاط معلومة المنسب (روبيرات أو BM) في المنطقة المطلوب العمل فيها.

⁵ Dawod, G., 2003c, Productive GPS topographic mapping for national development projects in Egypt, Proceedings of the First International Conference on Civil Engineering, Assiut University, Volume 2, pp. 246-253, October 7-8.

⁶ داود ، جمعة محمد ، ٢٠٠٩ ، الجيوبود و الجي بي أس: مقال مترجم ، منتدى الهندسة المساحية في الرابط: <http://surveying.ahlamontada.com/montada-f1/topic-t573.htm>

٣-٨ نماذج الجيويد العالمية:

تعد طرق التمثيل المتناسق لمجال جهد الأرض Spherical harmonic representation of the Earth's geopotential field Heterogeneous نمذجة الجيويد على المستوى العالمي باستخدام أرصاد مختلفة النوع Data. تقوم الجهات العلمية المتخصصة بتجميع القياسات الجيوديسية (جاذبية أرضية ، جي بي أس ، أرصاد فلكية .. الخ) من كل مناطق العالم وإدخالها في برامج كمبيوتر متخصصة لتطوير نماذج عالمية تصف تغير الجيويد عالميا Global Geoid Models أو اختصارا GGM. المعادلة التالية تصف طريقة حساب حيود الجيويد باستخدام طريقة التمثيل المتناسق لمجال جهد الأرض^٧:

$$N = \left(\frac{GM}{r^3} \right) \times \sum_{n=2}^{360} \left(\frac{a}{r} \right)^n - \sum_{m=0}^n ((C_{nm} \times \cos m\lambda) + (S_{nm} \times \sin m\lambda)) \times P_{nm}(\sin \phi) \quad (8-5)$$

حيث:

 n, m أقصى درجة للنموذج العالمي. γ الجاذبية النظرية على الاليسيود. r المسافة الهندسية المركزية للنقطة على الاليسيود. G معامل نيوتن للجاذبية الأرضية. M كتلة الأرض. a نصف المحور الأكبر للإليسيود. λ خط الطول الجيوديسي. C_{nm}, S_{nm} معاملات التمثيل المتناسق. P_{nm} دالة لاجندر.

بدأ تطوير نماذج الجيويد العالمية منذ عام ١٩٦٠ وإنماجاً مستمراً حتى الآن ، ويمكن الحصول مجاناً على أي نموذج جيويد عالمي من موقع المركز الدولي لنماذج الجاذبية الأرضية العالمية International Center of Gravity Earth Models ICGFM أو اختصارا ICGEM في الرابط: <http://icgem.gfz-potsdam.de/ICGEM/modelstab.html>. لكن نظراً لعدم توافر عدد ضخم من القياسات الجيوديسية تغطي كل أنحاء الأرض بانتظام فلم يكن ممكناً تطوير نماذج عالمية ذات تباين أفقي resolution كبير ، فمعظم النماذج حتى عام ٢٠٠٨ لم تزيد درجة تمثيلها degree عن ٣٦٠ بما يدل على أن النموذج يعطي نقطة كل ٥١° أو تقريباً ١٠٠ كيلومتر أفقياً على سطح الأرض. وهذا بالطبع أدى إلى أن دقة نماذج الجيويد العالمية لم تصل لدقة كبيرة ، وكمثال يعرض الجدول (١-٨) تقديرات الدقة لبعض نماذج الجيويد العالمية^٨.

^٧ Heiskanen, W. and Moritz, H., 1967, Physical geodesy, W. H. Freeman and Company, San Francisco, USA.

^٨ International Center of Gravity Earth Models (ICGFM), 2009, <http://icgem.gfz-potsdam.de/ICGEM/modelstab.html>, accessed October 22.

جدول ١-٨
دقة بعض نماذج الجيوديد العالمية
(فرق جيوديد - بالمتر - عند نقاط جيوديسية معلومة RMS)

النموذج	تاريخ تطويره	الدقّة في أستراليا	الدقّة في أوروبا	الدقّة في كندا	الدقّة في أمريكا
EIGEN-GL04C	٢٠٠٦	0.262	0.332	0.261	0.363
EIGEN-CG01C	٢٠٠٤	0.281	0.412	0.277	0.374
EIGEN-CG03C	٢٠٠٥	0.277	0.397	0.311	0.367
EGM96	١٩٩٦	0.314	0.487	0.366	0.402
GGM02C	٢٠٠٤	0.390	0.492	0.381	0.491
EIGEN-3P	٢٠٠٣	0.856	1.333	0.862	0.830
EIGEN-2	٢٠٠٣	1.072	1.620	1.082	0.971

من الجدول السابق نستنتج أن هذه النماذج العالمية ليست دقيقة بالدرجة الكافية لمتطلبات المساحة و الجيوديسيا ، لكن وعلى الجاني الآخر فإن أي محاولة لنمذجة جيوديد محلي لدولة معينة يجب أن تعتمد على اختيار أحد هذه النماذج العالمية لإمدادها بقيم الجاذبية الأرضية على المستوى العالمي. أي أن أفضل طرق نمذجة الجيوديد لمناطق كبيرة (دولة مثل) يتمثل في الدمج أو التكامل بين نموذج جيوديد عالمي مع قياسات جيوديسية محلية (جاذبية أرضية و جي بي أس و ميزانيات) في هذه الدولة. كمثال: تم اختيار أداء نماذج الجيوديد العالمية الحديثة بناء على قياسات محلية في مصر وكانت النتائج – كما في الجدول (٢-٨) – أن النموذج EIGEN- CG01C هو الأفضل حيث أعطي أقل قيمة للخطأ التربيعي المتوسط و تبلغ ٣٦.٠ متر^٩.

جدول ٢-٨
نتائج تقييم نماذج الجيوديد العالمية في مصر
(فرق جيوديد - بالمتر - عند نقاط جيوديسية معلومة RMS)

النموذج	الخطأ التربيعي المتوسط RMS	متروض الفروق	أكبر فرق	أقل فرق
EIGEN-CG01C	0.36	-0.07	2.05	-0.98
GGM02C	0.44	-0.25	1.87	-1.24
GGM02C/EGM96	0.54	-0.28	2.32	-1.61
EIGEN-CG03C	0.36	-0.43	1.79	-1.38
EIGEN-GL04C	0.38	-0.57	1.73	-1.62
EGM96	0.39	-0.74	1.41	-1.60
EIGEN-3P	1.04	-0.92	3.10	-3.63
EIGEN-2	1.30	-2.71	4.79	-4.12

^٩ Dawod, G., 2008, Towards the redefinition of the Egyptian geoid: Performance analysis of recent global geoid models and digital terrain models, Journal of Spatial Science, V. 53, No. 1, pp. 31-42.

تجدر الإشارة إلى أن معظم برامج حسابات أرصاد الجي بي أس تعتمد في داخلها على أحد نماذج الجيويد العالمية (والأشهر منهم هو نموذج EGM96) بحيث أن البرنامج يستطيع حساب منسوب نقاط الجي بي أس المرصودة. لكن من المهم جداً على مستخدم الجي بي أس أن يعرف دقة هذا النموذج العالمي وبالتالي دقة هذا المنسوب المحسوب. فكما نرى في الجدول السابق أن دقة النموذج العالمي EGM96 في مصر تبلغ ٣٩.٠ متر، أي أن المنسوب أو الارتفاع الارثومترى المحسوب من هذا النموذج لن يكون أدق من هذا المستوى. لذلك لا يمكن الاعتماد على نماذج الجيويد العالمية بمفردها في التطبيقات المساحية و الجيويديسية إنما يتم تعليمها بقياسات محلية لزيادة دقتها في منطقة العمل.

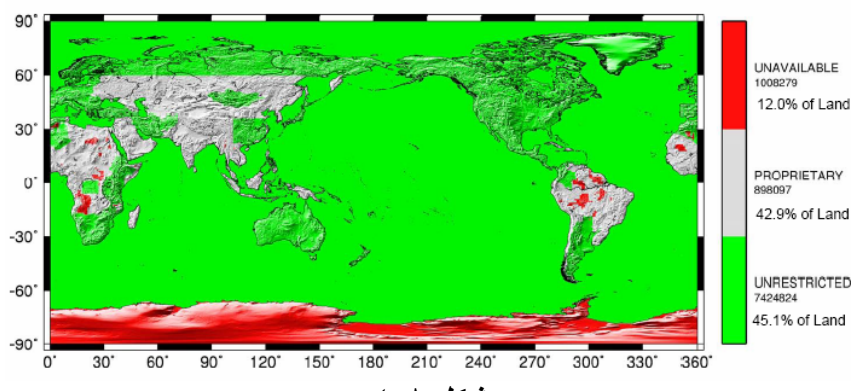
٤-٨ نموذج الجيويد العالمي ٢٠٠٨:

في أبريل ٢٠٠٨ أطلقت هيئة المساحة العسكرية الأمريكية نموذج الجيويد العالمي EGM2008 وأتاحته للجميع مجاناً على شبكة الانترنت. يعد هذا النموذج ثورة علمية في مجال نماذج الجيويد العالمية ، حيث أن درجة النمنذجة degree قد بلغت ٢١٦٠ مقارنة بدرجة تساوي ٣٦٠ لجميع نماذج الجيويد العالمية السابقة له. ترجع هذه الدرجة العالمية في تمثيل حيود الجيويد إلى قاعدة البيانات الجيويديسية (وخاصة قياسات شذوذ الجاذبية) الضخمة التي استخدمت في تطوير نموذج EGM2008 والتي غطت تقريباً كل سطح الأرض سواء اليابسة أو البحار مما لم يتواجد لأي جهة عالمية قبل ذلك (شكل ٤-٨). تدل هذه الدرجة العالمية في النمنذجة أن التباين الأفقي resolution للنموذج (المسافة بين كل نقطتين يمكن للنموذج حساب قيمة حيود الجيويد عندهما) يبلغ 10 ١٠ أي ما يعادل ١٨ كيلومتر فقط مقارنة بتباين يساوي حوالي ١٠٠ كيلومتر للنماذج السابقة. نموذج الجيويد العالمي ٢٠٠٨ EGM2008 متاح للجميع على الانترنت في الرابط:

<http://earth-info.nima.mil/GandG/wgs84/gravitymod/egm2008>

كما يوجد وصف تفصيلي لطرق تطويره والبيانات المستخدمة في الرابط:

http://earth-info.nima.mil/GandG/wgs84/gravitymod/egm2008/NPavlis&al_EGU2008.ppt



شكل ٤-٨

١٠ شذوذ الجاذبية المستخدمة لتطوير نموذج الجيويد العالمي ٢٠٠٨

¹⁰ Pavlis, N., Holmes, S., Kenyon, S., and Factor, J. ,2008, An earth gravitational model to degree 2160: EGM2008, The European Geosciences Union (EGU) general Assembly, Vienna, Austria.

توجد ٣ طرق لاستخدام نموذج EGM2008 كما هو معرض في الجدول (٣-٨) ^{١١}:

- أ- حساب قيمة حيود الجيويد نقطة ب نقطة باستخدام المعاملات الأصلية harmonic coefficients للنموذج.
- ب- استنباط interpolation قيمة حيود الجيويد من شبكة grid للقيم لكل العالم ، وتوجد شبكتين متاحتين الأولى بتباين أفقى $1' \times 1'$ (حجم الملف ٨٢٥ ميجابايت) والثانية بتباين أفقى $2'.5 \times 2'.5$ (حجم الملف ١٣٥ ميجابايت).
- ت- باستخدام شبكة grid لقيم حيود الجيويد ، والشبكة بصيغة ESRI Grid للتعامل معها مباشرة داخل برنامج Arc GIS وهو أحد برامج نظم المعلومات الجغرافية من إنتاج شركة ESRI الأمريكية. في فبراير ٢٠٠٩ تم إتاحة ملف شبكة من هذا النوع لمنطقة الشرق الأوسط فقط (شكل ٥-٨) ، وفي مايو ٢٠٠٩ تم إتاحة شبكات أخرى تغطي باقي أنحاء العالم.

من المهم ملاحظة أن حساب حيود الجيويد من نموذج EGM2008 يشمل أيضا - في نفس الخطوة - إضافة تصحيح الفرق بين الجيويد و شبيه الجيويد ، لأن نماذج الجيويد التي تعتمد على طريقة التمثيل المتناسب لمجال جهد الجاذبية الأرضية spherical harmonic تنتج سطح قريب جدا من سطح الجيويد يسمى شبيه الجيويد co-geoid or quasi-geoid ، ولا بد من إضافة تصحيح لهذا السطح حتى يتم تحويله إلى شكل الجيويد الحقيقي ، وهي عملية هامة يجب مراعاتها ^{١٢ و ١٣}.

جدول ٣-٨ طرق الحصول على نموذج الجيويد العالمي EGM2008

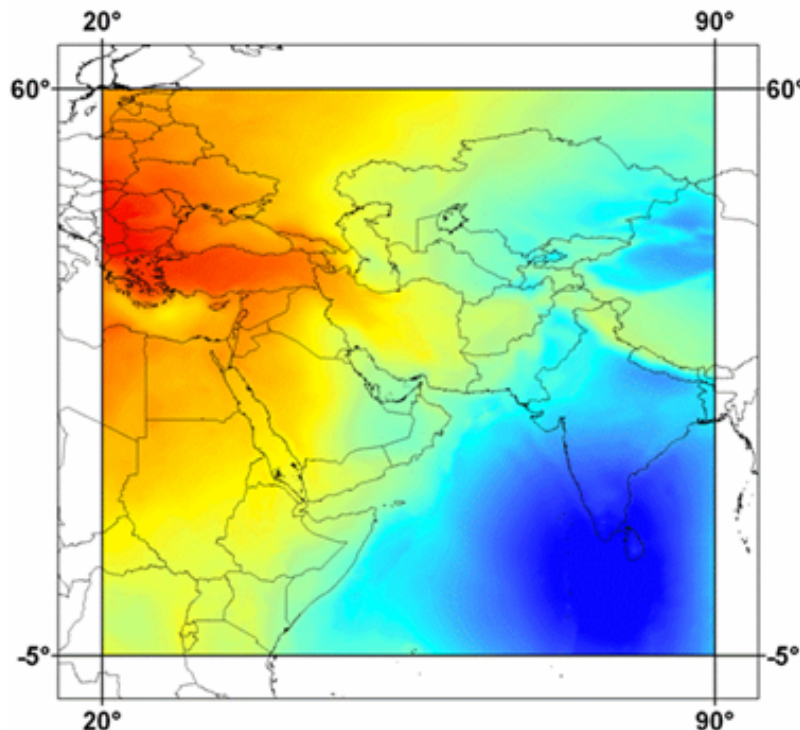
الرابط	الوظيفة	الملف
طريقة حساب قيمة حيود الجيويد نقطة ب نقطة باستخدام المعاملات الأصلية:		
http://earth-info.nima.mil/GandG/wgs84/gravitymod/egm2008/hsynth_WGS8_4.exe	برنامج الحسابات التنفيذي	hsynth_WGS8_4.exe
http://earth-info.nima.mil/GandG/wgs84/gravitymod/egm2008/EGM2008_to2190_TideFree.gz	ملف معاملات النموذج (حجمه ٧٢ ميجابايت)	EGM2008_to2190_TideFree.gz
http://earth-	ملف تصحيح	Zeta-to-

^{١١} Dawod, G., Mohamed, W., 2009, Data management of different height systems within GPS/GIS integrated spatial technology, Accepted for presentation in the Middle East Spatial Technology Conference (MEST2009), December 7-9, Kingdom of Bahrain.

^{١٢} Dawod, G., and Mohamed, H., 2009, Fitting gravimetric local and global quasi-geoids to GPS/levelling data: The role of geoid/quasi-geoid variations in Egypt, King Abdel-Aziz University's Journal of Engineering Sciences, V. 20, No. 1, pp. 47-59.

^{١٣} Flury, J. and Rummed, R., 2009, On the geoid-quasigeoid separation in mountain areas, Journal of Geodesy, V. 83, pp. 829-847.

info.nima.mil/GandG/wgs84/gravitymod/egm2008/Zeta-to-N_to2160_egg2008.gz	النموذج (حجمه ٥٠ ميجابايت)	N_to2160_egg2008.gz
http://earth-info.nima.mil/GandG/wgs84/gravitymod/egm2008/INPUT.DAT	ملف إدخال بيانات أو إحداثيات النقاط المطلوب الحساب عنها	Input.dat
http://earth-info.nima.mil/GandG/wgs84/gravitymod/egm2008/OUTPUT1.DAT	ملف النتائج	Output.dat
طريقة استبطان قيمة حيود الجيود من شبكة:		
http://earth-info.nima.mil/GandG/wgs84/gravitymod/egm2008/interp_1min.exe	الملف التنفيذي لحساب الاستبطان من شبكة ١	interp_1min.exe
http://earth-info.nima.mil/GandG/wgs84/gravitymod/egm2008/Small_Endian/Und_min1x1_egg2008_isw=82_WGS84_TideFree_SE.gz	شبكة ١ لقيم حيود الجيود للعالم (حجم ٨٢٥ ميجابايت)	Und_min1x1_egg2008_isw=82_WGS84_TideFree_SE.gz
http://earth-info.nima.mil/GandG/wgs84/gravitymod/egm2008/interp_2p5min.exe	الملف التنفيذي لحساب الاستبطان من شبكة ٢.٥	interp_2p5min.exe
http://earth-info.nima.mil/GandG/wgs84/gravitymod/egm2008/Small_Endian/Und_min2.5x2.5_egg2008_isw=82_WGS84_TideFree_SE.gz	شبكة ٢.٥ لقيم حيود الجيود للعالم (حجم ١٣٥ ميجابايت)	Und_min2.5x2.5_egg2008_isw=82_WGS84_TideFree_SE.gz
طريقة الشبكة بصيغة Arc GIS Grid للتتعامل معها مباشرة داخل برنامج ESRI		
http://earth-info.nima.mil/GandG/wgs84/gravitymod/egm2008/GIS/egg08_centercom_geoid.zip	ملف الشبكة بحجم ٨ ميجابايت وهي منطقة الشرق الأوسط والتي تم إعلانها في فبراير ٢٠٠٩ (أيضا تم إعلان شبكات تغطي باقي أنحاء العالم في مايو ٢٠٠٩).	egg08_centercom_geoid.zip



شكل ٥-٨

حيود الجيوديد في منطقة الشرق الأوسط من النموذج العالمي EGM2008

الطريقة الأولى هي الأقرب للتطبيقات المساحية و الجيوديسية ذات الدقة العالية ، كما أنها مناسبة للدمج في أي برنامج حسابي آخر حيث أن الملف الأصلي للحسابات (بلغة FORTRAN متاح أيضا). أما الطريقة الثانية فهي مناسبة للتطبيقات متوسطة الدقة و تتميز بسرعة تنفيذها بالطريقة الأولى. أما الطريقة الثالثة فأهم ميزة بها أنها تسمح بعملية تحديد قيمة حيود الجيوديد - و من ثم تحويل الارتفاع الجيوديسي إلى منسوب - داخل برنامج نظم المعلومات الجغرافية Arc GIS والذي يعد أشهر برامج هذه التقنية^{١٤}.

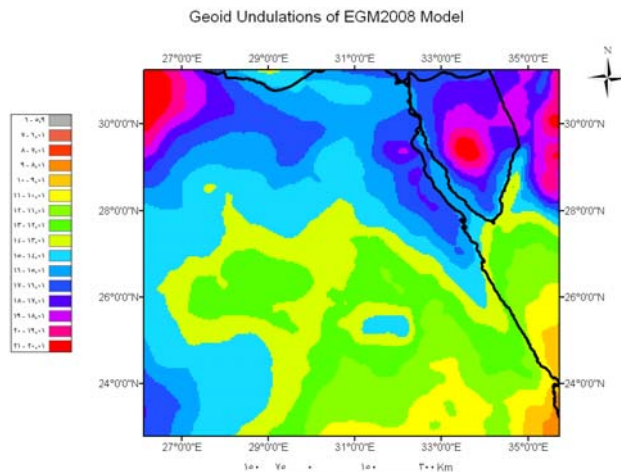
بمقارنة قيمة حيود الجيوديد الناتجة من النموذج EGM2008 مع حيود الجيوديد عند ٨٤٨٦ من النقاط المعروفة حول العالم تم تقدير دقة النموذج (الخطأ التربيعي المتوسط RMS) بحوالي ٢٢.٠ متر ، وهي قيمة تقل بمقدار ١٠.٠ متر عن دقة أفضل نماذج الجيوديد العالمية الأخرى ^{١٥}. في مصر (شكل ٦-٨) تم اختبار نموذج EGM2008 على ٣٠٥ نقطة معلومة حيود الجيوديد (نقاط جي بي أس معلوم لها المنسوب) ووجد أن دقة حيود الجيوديد الناتجة من النموذج تتراوح بين -٤١.٠ م و +٧٦.٠ م بمتوسط -٢٣.٠ م و انحراف معياري ± ٠.٢٣ م^{١٦}. كما

¹⁴ Dawod, G., Mohamed, W., 2009, Data management of different height systems within GPS/GIS integrated spatial technology, Accepted for presentation in the Middle East Spatial Technology Conference (MEST2009), December 7-9, Kingdom of Bahrain.

¹⁵ International Center of Gravity Earth Models (ICGEM), 2009, <http://icgem.gfz-potsdam.de/ICGEM/modelstab.html>, accessed October 22.

¹⁶ Dawod, G., Mohamed, H., and Ismail, S., 2010, Evaluation and adaptation of the EGM2008 geopotential model along the northern Nile valley,

أفادت دراسة أخرى بإمكانية و دقة استخدام نموذج EGM2008 في حساب المستوي الرأسى للخرائط الهيدروجرافية للمناطق الساحلية في شمال الدلتا بمصر^{١٧}.



شكل ٦-٨

حيود الجيوبود في مصر من النموذج العالمي ٢٠٠٨

٤-٥ نمذجة الجيوبود في مشروعات الجي بي أس:

إن نمذجة الجيوبود (استبطان نموذج جيوبود) مناسب لتطبيقات نظام الجي بي أس هي عملية من الممكن أن تتم من خلال عدة وسائل أو طرق تعتمد في المقام الأول على الهدف من المشروع ومستوى الدقة المنشود. من خلال ما قد تم استعراضه – في هذا الفصل – يمكن تحديد أربعة طرق لنموذج الجيوبود:

- أ- تطوير نموذج جيوبود محلي لمنطقة الدراسة.
- ب- نمذجة جيوبود لمنطقة صغيرة من خلال قياسات جي بي أس و أرصاد ميزانية.
- ث- استخدام نموذج جيوبود عالمي.
- ثـ- التكامل بين نموذج جيوبود عالمي و قياسات جيوبوديسية محلية.

الطريقة الأولى هي الأنسب لمساحات كبيرة من الأرض (إقليم أو دولة مثلاً) و تتطلب توافر قاعدة بيانات جيوبوديسية (قياسات جاذبية أرضية و أجي بي أس و ميزانيات) مع خبرة في طرق و برامج حسابات الجيوبود. وبالتالي فهذه مهمة الجهات الحكومية و الباحثين الأكاديميين المتخصصين في الهندسة المساحية و الجيوبوديسية.

الطريقة الثانية ربما تكون هي الأنسب و الأسهل أيضاً لمشروعات الجي بي أس لمناطق صغيرة المساحة (عدة كيلومترات). في هذه الطريقة يتم رصد جي بي أس لعدد لا يقل عن

Egypt: Case study, ASCE Journal of Surveying Engineering, Accepted and scheduled for publication in February 2010 issue.

¹⁷ Rabah, M., 2009, Enhancement the feasibility of using RTK tides in the Northern coast of Egypt based on performing undulation model corrections derived from the Earth Geopotential Model EGM2008, CERM magazine, V. 31, No. 3, July, pp. 794-808.

ثلاثة من النقاط المعلومة المنسوب (روبيرات أو BM). باستخدام المعادلة ١-٨ يمكن حساب قيمة حيود الجيود N عند هذه النقاط المعلوم عندها الارتفاع الجيوديسي h الناتج من أرصاد الجي بي أس والارتفاع الأرثومتر H الناتج من أرصاد الميزانيات. ثم يمكن استخدام أي برنامج (مثل الإكسل مثلاً) لاستنباط نموذج سطح مائل (المعادلة ٤-٨) يصف تغير سطح الجيود في هذه المنطقة الصغيرة ، والذي من خلاله يمكن حساب قيمة حيود الجيود N عند أي نقطة جي بي أس – داخل المنطقة التي تغطيها النقاط المعلومة - وتحويل ارتفاعها الجيوديسي إلى منسوب.

الطريقة الثالثة تعتمد على استخدام أي نموذج جيود عالمي متاح و على الأخص أحدث و أدق هذه النماذج وهو EGM2008 بأي طريقة من الطرق الثلاثة المتاحة (أرجع للجدول ٣-٨). على الجانب الآخر فإن دقة النماذج العالمية ليست عالية وكمثال – كما سبق الذكر – فدقة نموذج EGM2008 تبلغ ± ٢٢ .٠ متر في المتوسط عالمياً (أي أن الخطأ المتوسط المتوقع هو ربع المتر وان كان متوقعاً أن تزيد قيمة الخطأ عن هذه القيمة في بعض النقاط). يعتمد استخدام هذه الطريقة للنماذج العالمية سيكون لتطبيقات أو مشروعات لا تحتاج دقة عالية في حساب المناسب مثل تطبيقات نظم المعلومات الجغرافية أو الخرائط ذات مقياس الرسم الصغير.

الطريقة الرابعة هي الأفضل للتطبيقات المساحية و الجيوديسية الدقيقة حيث أن تطعيم نماذج الجيود العالمية بأرصاد جيوديسية محلية يزيد من دقة هذه النماذج و يجعلها بدلاً اقتصادياً مناسباً يوفر كثيراً من تكلفة تطوير نموذج جيود وطنى. تتشابه هذه الطريقة مع الطريقة الأولى في كيفية تنفيذها لكن مع بعض الاختلافات البسيطة. يتطلب هذا الأسلوب معرفة قيمة حيود الجيود عند عدد من نقاط التحكم (نقاط جي بي أس معلومة المنسوب أو نقاط جاذبية أرضية) ويكون عدد و توزيع هذه النقاط مناسباً لمساحة المنطقة المطلوبة. ثم يتم حساب قيمة حيود الجيود من النموذج العالمي – EGM2008 مثلاً – عند هذه النقاط المعلومة و من ثم يمكن تحديد قيمة خطأ النموذج عند كل نقطة:

$$dN = N_{\text{obs}} - N_{\text{EGM2008}} \quad (8-6)$$

حيث:
 dN فرق حيود الجيود
 N_{obs} حيود الجيود المقاس أو المعلوم
 N_{EGM2008} حيود الجيود من نموذج EGM2008

ثم يتم استنباط معادلة ذات حدود polynomial لوصف توزيع هذه الفروق على امتداد المنطقة الجغرافية التي تغطيها النقاط المعلومة. كمثال فإن معادلة ذات الحدود من الدرجة الأولى لمنطقة شمال وادي النيل في مصر كانت^{١٨} :

$$dN = -5.529490551 - 0.05161249 \varphi + 0.219581806 \lambda \quad (8-7)$$

¹⁸ Dawod, G., Mohamed, H., and Ismail, S., 2010, Evaluation and adaptation of the EGM2008 geopotential model along the northern Nile valley, Egypt: Case study, ASCE Journal of Surveying Engineering, Accepted and scheduled for publication in February 2010 issue.

ويتم حساب القيمة النهائية لحيود الجيوبود N_{FINAL} عند أي نقطة جي بي أس - داخل المنطقة التي تغطيها النقاط المعلومة - وتحويل ارتفاعها الجيوديسى إلى منسوب من خلال استبطان **interpolation** قيمة الفرق dN وإضافته إلى قيمة حيود الجيوبود $N_{EGM2008}$ الناتج من النموذج العالمي:

$$N_{FINAL} = N_{EGM2008} + dN \quad (8-8)$$

هذه الطريقة تزيد من دقة النموذج العالمي بعد أن يتم تعديمه بقياسات محلية تجعله أكثر توافقاً مع سطح الجيوبود المحلي الحقيقي في منطقة الدراسة. وكلما زاد عدد النقاط المعلومة وكان توزيعها متماثلاً على المنطقة المطلوبة كلما كانت النتائج أفضل ، مما يجعل هذا الأسلوب هو أفضل الطرق المتاحة في مجال نمذجة الجيوبود و تحويل ارتفاعات تقنية الجي بي أس إلى المناسب المستخدمة في تطبيقات المساحة و الخرائط.

الفصل التاسع

خدمات الجي بي إس على الانترنت

١-٩ مقدمة:

مع انتشار تطبيقات تحديد المواقع بالأقمار الصناعية في العقودين الأخيرين تم تطوير عدد من الواقع على شبكة الانترنت لخدمة مستخدمي هذه التقنيات وخاصة للتطبيقات الهندسية والعلمية. إن شبكة المعلومات الدولية مليئة بخدمات مذهلة - تطبيقية و تعليمية - لا غنى عنها لمستخدمي نظام الجي بي إس على وجه الخصوص ، بل أن بعض هذه الخدمات المجانية قد تقلل من التكلفة الاقتصادية للمشروعات المساحية. أيضا المنتجات التقنية المتاحة مجانا على الانترنت قد ترفع مستوى دقة قياسات تحديد المواقع بالجي بي إس بصورة مؤثرة. كما أن بعض هذه الخدمات يقوم بإجراء الحسابات الدقيقة لتحديد المواقع مجانا ، والبعض الآخر يقدم برامج حاسوبية **software** مجانية لتطبيقات الجي بي إس. لا يمكن حصر جميع خدمات الجي بي إس على الانترنت لكننا سنتعرض في هذا الفصل ببعضها منها.

٢-٩ المنظمة العالمية لخدمات النظم الملاحية بالأقمار الصناعية IGS

تعد المنظمة العالمية لخدمات النظم الملاحية بالأقمار الصناعية International GNSS Service والمعرفة اختصارا باسم IGS من أشهر وأفید خدمات الجي بي إس على شبكة الانترنت. كان الاسم القديم للمنظمة هو المنظمة العالمية لخدمات الجي بي إس إلا أنها ومع امتداد خدماتها لتشمل نظام الجلوناس الروسي فقد تغير اسمها للاسم الحالي ، كما أنها تتوسي أيضا تقديم خدمات مماثلة للنظام الأوروبي غاليليو عند اكتماله و بدء العمل به. موقع المنظمة في الرابط: <http://igscb.jpl.nasa.gov>

إن منظمة IGS هي تجمع تطوعي مكون من حوالي ٢٠٠ جهة تخصصية علي المستوى العالمي تتيح قياسات الجي بي إس و الجلوناس لخدمة المجتمع الدولي مجانا بغرض دراسة الأرض بصورة دقيقة. تعد خدمات IGS جزءا من خدمات المنظمة الدولية للجيوديسيا International Association of Geodesy . كما يتم تقديم خدمات الحسابات الدقيقة من خلال عدد من مراكز الحسابات Data Centers تقدمها الجهات العالمية المتخصصة مثل وكالة الفضاء الأمريكية NASA وهيئة المساحة الفرنسية IGN . يمكن اعتبار منظمة IGS كأدق تجمع مدني - وليس عسكري - لمستخدمي تحديد المواقع بالأقمار الصناعية علي المستوى العالمي.

تشمل خدمات IGS الآتي^١:

١. أرصاد محطات أرضية لكلا من الجي بي إس و الجلوناس.
٢. تصحيح مدارات الأقمار الصناعية للجي بي إس.
٣. تصحيح مدارات الأقمار الصناعية لجلوناس.
٤. تصحيح أخطاء ساعة القمر الصناعي للجي بي إس .

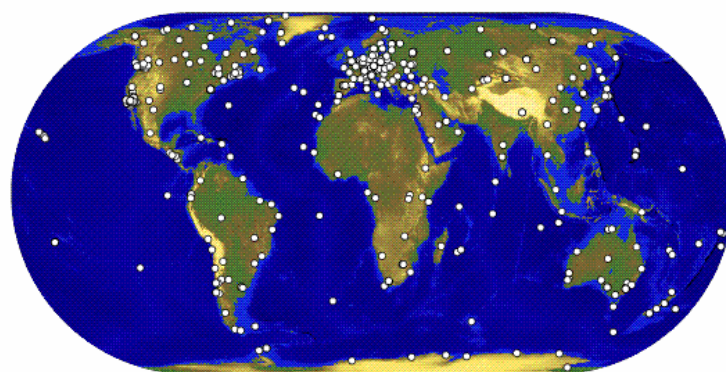
^١ International GNSS Service, 2009a, IGS Products, Website: <http://igscb.jpl.nasa.gov/components/compindex.html>, accessed Sept.

٥. تصحيح أخطاء ساعة جهاز استقبال الجي بي إس عند كل محطة من المحطات الأرضية لشبكة IGS .
٦. الإحداثيات الدقيقة لكل محطة من المحطات الأرضية لشبكة IGS .
٧. سرعة تحرك القشرة الأرضية عند كل محطة من المحطات الأرضية لشبكة IGS .
٨. عناصر دوران الأرض حول محورها Earth Rotation Parameters .
٩. عناصر تصحيح أخطاء الغلاف الجوي Atmospheric Parameters لكلا طبقتي الأيونوسفير و التروبوسفير .

١-٢-٩ أرصاد المحطات الأرضية لمنظمة IGS :

تعد شبكة المحطات الأرضية من أهم منتجات منظمة IGS في مجال التطبيقات المساحية لنظام الجي بي إس. تتكون الشبكة من ٣٥٩ محطة (حتى سبتمبر ٢٠٠٩) موزعين على جميع أنحاء العالم (شكل ١-٩). تم إنشاء هذه المحطات بشروط تقنية عالية بحيث تضمن أعلى دقة ممكنة في تجميع إشارات الأقمار الصناعية ٢٤ ساعة يومياً وإتاحتها على الانترنت بصورة يومية لجميع المستخدمين مجاناً. يتم إرسال أرصاد كل المحطات إلى مراكز التشغيل Processing Centers المتعاونة مع الهيئة لتحليل كل هذه القياسات من خلال برامج Scientific Software عالية الدقة والكفاءة تعمل على أجهزة سوبر كمبيوترات ذات مواصفات تقنية عالية. ويتم التواصل و التعاون بين جميع مراكز التشغيل للتأكد من نتائج كل مركز مع المراكز الأخرى حتى يمكن التوصل إلى دقة عالية للمنتجات عالية الذكر قبل نشرها لجميع المستخدمين مجاناً على موقع الهيئة على الانترنت. يمكن الحصول على قائمة بجميع محطات IGS من الرابط: <http://igscb.jpl.nasa.gov/network/netindex.html>.

يعرض الجدول (١-٨) بيانات بعض هذه المحطات في منطقة الشرق الأوسط وجنوب أوروبا وهي المحطات التي غالباً يعتمد عليها مستخدمي الجي بي إس في المنطقة العربية ، وربما تكون نقطة المنامة بملكة البحرين هي أقدم هذه المحطات حيث تم إنشاؤها منذ عام ١٩٨٠ كما تم - في السنوات القليلة الماضية - إنشاء نقاط جديدة في كلاً من المملكة العربية السعودية وسلطنة عمان و لبنان.



شكل ١-٩
توزيع محطات IGS

جدول ١-٩

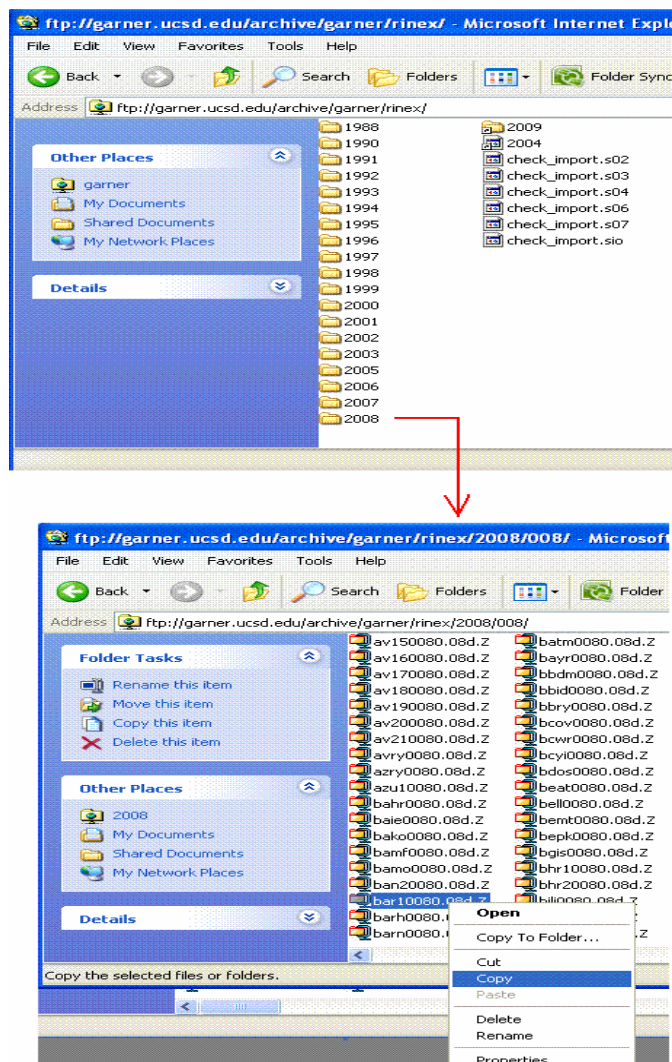
بعض نقاط الشبكة العالمية IGS في الشرق الأوسط

اسم النقطة	المدينة - الدولة	تاريخ الإنشاء
BHR1	المنامة - البحرين	١٩٨٠/٥/١٥
MATE	ماتيرا - ايطاليا	١٩٩٢/٢/١٧
NICO	نيقوسيا - قبرص	١٩٩٧/٥/١٤
RAMO	رام الله - فلسطين	١٩٩٨/٦/١٠
AMMN	عمان - الأردن	١٩٩٩/٦/١٥
DRAG	دراجوت - فلسطين	٢٠٠٠/٢/٧
HALY	حطة عمار - السعودية	٢٠٠٢/٣/١٦
LAUG	جبيل - لبنان	٢٠٠٢/١٠/٢٢
NAMA	ناماس - السعودية	٢٠٠٢/٣/٣١
YIBL	يبل - عمان	٢٠٠٣/٧/١١

تعود أهمية محطات IGS الأرضية إلى أنها تعمل ٢٤ ساعة يومياً و تناح أرصادها - في صيغة راينكس - يومياً مجاناً ، كما أن إحداثيات كل محطة معلومة بدقة عالية. بذلك يمكن لأي مستخدم جي بي إس أن يعتمد على أي نقطة IGS كنقطة تحكم يمكنه ربط أرصاده عليها مباشرة. أي أننا نكون قد قلنا عدد أجهزة استقبال الجي بي إس المطلوبة في أي مشروع مما يقلل من زمن و تكلفة تجميع القياسات الحقلية وبالتالي خفض التكلفة الاقتصادية للمشروع^٢. في بعض المناطق النائية التي لا توجد بها شبكات جيوديسية وطنية - لأي دولة - فإن محطات IGS تكون البديل المناسب المتاح لربط الشبكات الجديدة. كما أن الدقة العالية لإحداثيات محطات IGS تجعلها من أنساب الطرق التقنية في التطبيقات الجيوديسية الدقيقة مثل مراقبة تحركات القشرة الأرضية.

يتم الحصول على أرصاد (صيغة راينكس) لأي محطة IGS من مراكز البيانات التابعة للمنظمة و منهم مثلاً مركز بيانات SOPAC الأمريكي في الرابط: [/ftp://garner.ucsd.edu](http://garner.ucsd.edu) ، حيث توجد جميع الملفات مرتبة سنوياً (شكل ٢-٩) في صفحة: [/ftp://garner.ucsd.edu/archive/garner/rinex](http://garner.ucsd.edu/archive/garner/rinex) . وهذه الملفات (بامتداد Z) مضغوطة و يمكن إزالة الضغط عنها بأي برنامج (مثل WINZIP) أو الحصول على أحد هذه البرامج من الرابط: <http://www.gzip.org> . أسماء الملفات تأخذ هيئة: ssssdddf.yyd.z حيث: ssss يعبر عن اسم المحطة ، ddd يعبر عن رقم اليوم في السنة ، f يعبر عن رقم ملف الرصد حيث الرقم f = صفر يدل على أرصاد لمدة ٢٤ ساعة ، yy يعبر عن السنة ، d يدل على أن الملف مضغوط. كمثال: الملف bhr10120.08d.z هو ملف لمحطة bhr1 (المنامة بالبحرين) لليوم ١٢ من سنة ٠٨ (أي ٢٠٠٨) ويحتوي أرصاد المحطة لمدة ٢٤ ساعة.

² Dawod, G., 2007, New strategies in the utilization of GPS technology for mapping and GIS activities in Egypt, Civil Engineering Research Magazine (CERM), V. 29, No. 1 (Jan.), pp. 292-310.



شكل ٢-٩
ملفات أرصاد الجي بي إس في IGS

٢-٢-٩ المدارات الدقيقة للأقمار الصناعية:

بعد إيقاف العمل بخطا الاتاحية المنقاہ SA في عام ٢٠٠٠ فأن خطأ مدار القمر الصناعي أصبح أكثر مصادر الأخطاء تأثيرا علي دقة و جودة تحديد الموقع بنظام الجي بي إس. إن قيمة الخطأ في مدار القمر الصناعي Broadcast Orbit (أي المدار الذي يرسله القمر الصناعي لحظيا داخل إشاراته) يبلغ حوالي ١٦٠ سنتيمتر ، ومن هنا جاءت الحاجة لحساب مدار أكثر دقة لكل قمر صناعي قبل استخدامه في حساب موقع جهاز الاستقبال. تقوم منظمة IGS بحساب و نشر عدة أنواع من مدارات الأقمار الصناعية GPS تختلف في دقتها و أيضا موعد إتاحتها للمستخدمين علي الانترنت^٣. وفي مجال التطبيقات الهندسية – وخاصة المساحية – التي تتطلب دقة عالية فأنتا نعتمد علي أدق نوع من أنواع المدارات وهو المعروف باسم المدار الدقيق أو المدار النهائي Precise or Final Orbits حتى لو انتظرنا أسبوعين – بعد تاريخ

³ International GNSS Service, 2009b, IGS orbits, website: <http://igscc.jpl.nasa.gov/components/prods.html>, Accessed Sept.

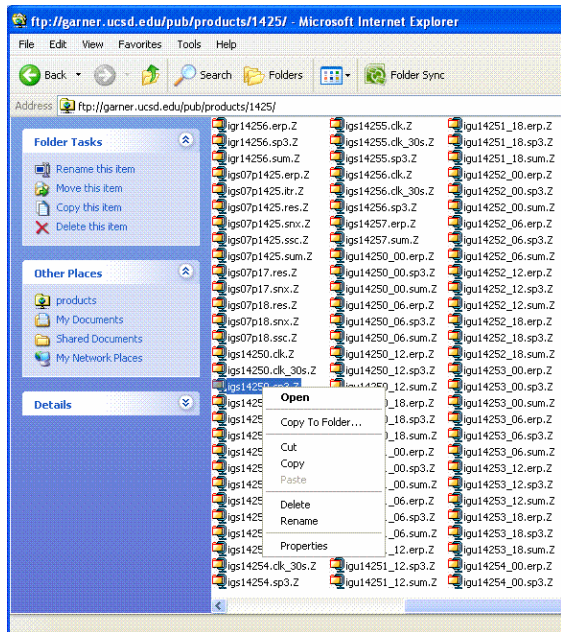
الرصد الحقلي – للحصول عليه من موقع IGS⁴. إن استخدام المدارات الدقيقة للأقمار الصناعية يحسن بدرجة مؤثرة من مستوى الدقة لأرصاد ونتائج مشروعات الجي بي إس⁴. والجدول ٩-٢ يقدم مقارنة بين أنواع مدارات الأقمار الصناعية لنظام الجي بي إس التي تتيحها هيئة IGS:

جدول ٢-٩ أنواع و خصائص بيانات مدارات الجي بي إس المتاحة في IGS

نوع البيانات		الدقة	مدى التأخير	معدل التحديث	معدل الأرصاد
مرسلة من الأقمار الصناعية Broadcast	مدارات الأقمار	١٦٠ سم	آنيا	--	يوميا
	خطأ ساعات الأقمار	٧ ~ نانو الثانية			
السريع جداً المحسوب Ultra rapid predicted	مدارات الأقمار	١٠ سم	آنيا	٤ مرات يوميا	١٥ دقيقة
	خطأ ساعات الأقمار	٥ ~ نانو الثانية			
السريع جداً المرصود Ultra rapid observed	مدارات الأقمار	أقل من ٥ سم	٣ ساعات	٤ مرات يوميا	١٥ دقيقة
	خطأ ساعات الأقمار	٠.٢ ~ نانو الثانية			
السريع Rapid	مدارات الأقمار	أقل من ٥ سم	١٧ ساعة	يوميا	١٥ دقيقة
	خطأ ساعات الأقمار	٠.١ نانو الثانية			
النهائي Final	مدارات الأقمار	أقل من ٥ سم	حوالي ١٣ يوم	أسبوعيا	١٥ دقيقة
	خطأ ساعات الأقمار	٠.١ نانو الثانية			

هناك عدة طرق وأيضاً عدة موقع للحصول على ملفات المدارات الدقيقة (وكل منتجات هيئة IGS) للأقمار الصناعية وستتناول منهم احدى الطرق. يجب ملاحظة أن بعض البرامج التجارية لحسابات الجي بي إس – على سبيل المثال برنامج شركة ليكا وشركة ترمبيل - بها إمكانيات التحميل المباشر للملفات من داخل البرنامج ، أي لا تحتاج إتباع الخطوات التالية. بالدخول على موقع ناسا في الرابط: [/ftp://igscb.jpl.nasa.gov/pub/product](ftp://igscb.jpl.nasa.gov/pub/product) ستجد مجموعة كبيرة من المجلدات كل مجلد يحوي ملفات أسبوع معين. بالضغط على المفتاح الأيمن للماوس ستظهر قائمة يمكن اختيار أمر النسخ لمجلد Copy to Folder أو أمر نسخ لنسخ الملف المطلوب إلى الحاسب الآلي (شكل ٣-٩).

⁴ Dawod, G., 2007, New strategies in the utilization of GPS technology for mapping and GIS activities in Egypt, Civil Engineering Research Magazine (CERM), V. 29, No. 1 (Jan.), pp. 292-310.



شكل ٣ - ٩

مثال للحصول على المدارات الدقيقة للأقمار الصناعية

أنواع الملفات المتاحة تتكون من الاختصارات التالية:

- نوع الملف **Z** (لكل الملفات) = ملف مضغوط
- نوع الملف **sp3** = مدارات الأقمار الصناعية
- نوع الملف **erp** = عناصر دوران الأرض **earth rotation parameters**
- نوع الملف **sum** = ملف التقرير الملخص **summary report**
- نوع الملف **clk** وأيضا **cls** = ملف ساعة القمر **clock**
- النوع **igu** في بداية اسم الملف = نوع المدار هو المدار السريع جدا **ultra rapid**
- النوع **igr** في بداية اسم الملف = نوع المدار هو المدار السريع **rapid**
- النوع **igs** في بداية اسم الملف = نوع المدار هو المدار الدقيق أو النهائي **Precise** وهو النوع المطلوب للتطبيقات المساجية.

أما ملفات المدارات الدقيقة **sp3** فيكون اسم الملف مكونا كالتالي:

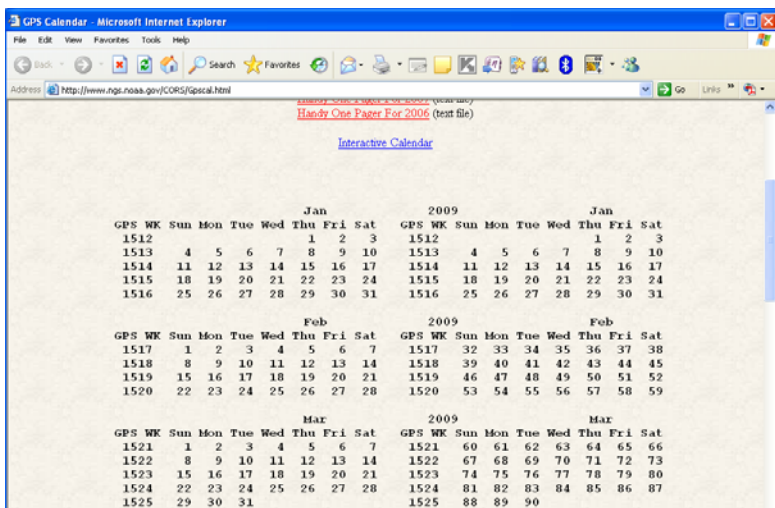
igswwwwd.sp3.Z

حيث:

يدل **www** على رقم الأسبوع لنظام الجي بي إس **GPS week** ، بينما **d** يدل على رقم اليوم في هذا الأسبوع **day of week** وتتراوح قيمته بين الصفر (ليوم الأحد) و ٦ (ليوم السبت)

رقم أسبوع الجي بي إس هو النظام الذي بدأ مع إطلاق تقنية الجي بي إس لأسماء ملفات النظام. بدأ هذا التقويم أو العدد من يوم ٥ يناير ١٩٨٠ م وهو بداية أسبوع الجي بي إس رقم ١ . ويببدأ كل أسبوع من الساعة ١٢ منتصف الليل من نهاية يوم السبت وبداية يوم الأحد. و لمعرفة رقم الأسبوع لتقنية الجي بي إس توجد عدة موقع منهم موقع "تقويم الجي بي إس" من هيئة المساحة الجيودي سية الأمريكية **NGS** ففي الرابط:

والذي يقدم تقويم كامل لعام <http://www.ngs.noaa.gov/CORS/Gpscal.html> . رقم أسبوع الجي بي إس لكل يوم (شكل ٤-٩).



شكل ٤-٩
تحديد رقم أسبوع الجي بي إس

تأتي أهم خطوات استخدام المدارات الدقيقة في كيفية تنفيذ هذه الأمر داخل برنامج حسابات الجي بي إس ، حيث أن معظم البرامج التجارية commercial software تعتمد الوضع الافتراضي default أنها تستخدم المدار المذاع داخل إشارة القمر الصناعي Broadcast و لا بد من إجبار البرنامج على التغيير إلى استخدام ملفات المدار الدقيق. وبالطبع هذه العملية ستخالف من برنامج آخر ولكن سنشرح أحد الأمثلة وهو برنامج شركة ليكا : Geo Office

- بعد إنشاء مشروع جديد ، من قائمة Import نختار Precise Ephemeris
- نذهب للمجلد الموجود به ملف sp3 ونختاره.
- في قائمة الحساب GPS-Proc ، وفي أي مكان في الجزء الأيمن من النافذة نضغط الزر الأيمن للماوس فتظهر قائمة نختار منها Processing Parameters أي عناصر الحساب ، وفي النافذة الجديدة وأمام كلمة نوع المدار Ephemeris لا بد من التغيير من نوع Broadcast (وهو الاختيار الافتراضي للبرنامج) إلى نوع Precise أي المدار الدقيق وذلك لإبلاغ البرنامج أننا نريد استخدام ملف المدار الدقيق أثناء الحسابات.
- ثم نكمل الخطوات الحسابية كالمعتاد.

⁵ داود ، جمعة محمد ، ٢٠٠٩ ت ، تحسين دقة مدارات الأقمار الصناعية في حسابات الجي بي إس ، متاح <http://cid-0259cb4f889eaeb3.skydrive.live.com/self.aspx/Geodesy%20and%20GPS/Dawod%7C%20GPS%7C%20Orbits%7C%20Ar.pdf>

٣-٢-٩ الإحداثيات الدقيقة لمحطات IGS :

يعد الحصول على قيم إحداثيات محطات IGS متطلبا من متطلبات استخدام أرصاد هذه المحطات وخاصة عند الحاجة لتنبيت الإحداثيات Fixed Point في عملية ضبط الشبكات (أرجع للجزء ٢-٢-٦). توجد طريقتين للحصول على إحداثيات محطات IGS:

الطريقة الأولى: بالضغط على اسم المحطة المطلوبة في قائمة المحطات في الرابط: <http://igscb.jpl.nasa.gov/network/list.html> ثم نضغط ملف Log File للمحطة والذي يحتوي كافة المعلومات عنها كما في الشكل (٥-٩). يشمل ملف بيانات كل محطة إحداثياتها منسوبة لمجسم WGS84 (لتطبيقات المساحية) وأيضاً قيم الإحداثيات في أحد أطر ITRF (لتطبيقات الجيوديسية عالية الدقة).

haly: Permanent GPS Site Information	
Array:	IGS
Name:	Halat Ammar
City:	Halat Ammar
County:	n/a
State/Province:	n/a
Country:	Saudi Arabia
Domes Number:	20102M001
XYZ coordinates (m):	4505447.2943 3285418.5772 3087773.4129 [Ref. epoch: 2004.4904] [Ref. frame: ITRF2000] [Source: SCOUT]
XYZ coordinates (m):	4505447.2142 3285418.6220 3087773.4818 [Ref. epoch: 2007.4753] [Ref. frame: ITRF2000] [Source: estimated using SOPAC refined model]
XYZ coordinates (m):	4505447.2201 3285418.6214 3087773.4826 [Ref. epoch: 2007.4068] [Ref. frame: ITRF2000] [Source: Latest weekly analysis result]
XYZ coordinates (m):	4505447.3492 3285418.6172 3087773.4463 [Ref. epoch: N/A] [Ref. frame: N/A] [Source: site log]
Lat/Lon/Ellip. Ht (deg/deg/m):	29.13886713 36.09991702 861.6009 [Ref. epoch: 2007.4753] [Geodetic datum: WGS84] [Source: estimated using SOPAC refined model]
Lat/Lon/Ellip. Ht (deg/deg/m):	29.13887 36.09992 861.6051 [Ref. epoch: 2007.4068] [Geodetic datum: WGS84] [Source: Latest weekly analysis result]
Lat/Lon/Ellip. Ht (deg/deg/m):	29.13861 36.09972 861.6765 [Ref. epoch: N/A] [Geodetic datum: N/A] [Source: site log]
Site log:	haly.log problems downloading? unix->windows text converter.
Site location:	Go
Unfiltered Time Series:	via Java applet or standard version

شكل ٥-٩
مثال لملف بيانات محطة IGS

الطريقة الثانية هي الحصول على الإحداثيات من موقع الإطار العالمي المرجعي الأرضي ITRF في الرابط: <http://itrf.ensg.ign.fr/select.php>. توجد عدة وسائل لاختيار النقطة (أو النقط) المطلوب إحداثياتها ، فمثلاً توجد وسيلة للاختيار على الخريطة التفاعلية GIS في الرابط: <http://itrf.ensg.ign.fr/GIS/index.php> ، كما توجد صفحة أخرى لاختيار باسم النقطة في: http://itrf.ensg.ign.fr/select_code.php. وتكون الخطوات في الأسلوب الأخير كالتالي:

- نكتب اسم النقطة في المربع ثم نضغط **select**
- في الشاشة التالية نضع علامة في المربع الصغير بجوار اسم النقطة ، ثم نضغط **Add selected points to cart**
- في الشاشة التالية نضغط **display selected points**
- في الشاشة التالية نضغط **Get ITRF coordinates of these points**
- في الشاشة التالية نختار نوع ITRF المطلوب من القائمة بجوار: **Choose an ITRF** وأيضاً نحدد اللحظة المطلوب فيها الإحداثيات بكتابتها في الصندوق أمام: **Choose the epoch** ثم نختار نوع الملف المطلوب (يفضل **Table** حتى تظهر الإحداثيات على الشاشة مباشرة) ثم أخيراً نضغط **Submit** (شكل ٦-٩).

شكل ٦-٩
مثال للحصول على إحداثيات محطة IGS في إطار ITRF

من مميزات هذه الطريقة أنها تقدم إحداثيات عالية الدقة لأي محطة IGS في أي إطار ITRF يحدده المستخدم وأيضاً لأي لحظة epoch يحددها ، مما يجعل المستخدم في غير حاجة لتحويل الإحداثيات من إطار ITRF لآخر أو من لحظة epoch لآخر كما في المعادلتين (٢١-٢ و ٢٢-٢).

٣- خدمات حسابات مجانية لأرصاد الجي بي إس:

مع زيادة انتشار تطبيقات الجي بي إس بصورة مذهلة في الكثير من المجالات علي المستوى العالمي قامت عدة جهات دولية أكاديمية و تطبيقية بإنشاء موقع لها علي شبكة الانترنت بغرض مساعدة مستخدمي الجي بي إس علي الوصول لأعلى دقة ممكنة في تحديد الموقع. تمتلك هذه الخدمات أو المواقع بالعديد من المميزات مثل: (١) أنها خدمة مجانية بدون أي تكلفة ، (٢) أنها تلغي الحاجة لشراء برنامج متخصص في الحسابات ، (٣) أنها مفيدة جداً لمن ليست لديهم خبرة كبيرة في طرق حسابات أرصاد الجي بي إس ونماذجه الرياضية المختلفة ، (٤) أن استخدام المحطات العالمية IGS كمحطات ربط للنقط الجديد يقلل من عدد أجهزة الرصد المطلوبة لإكمال الأعمال الحقلية وبالتالي فإن تكلفة تجميع البيانات الحقلية ستقل أيضاً. وهذه المميزات

^٦ تساعد في خفض معقول لتكلفة مشاريع المساحة والخرائط باستخدام تقنية الجي بي إس^٦.

تشمل مواقع الحسابات الآنية on-line processing services العديد من المواقع ومنها على سبيل المثال:

١. موقع AUSPOS الاسترالي في الرابط: <http://www.ga.gov.au>
٢. موقع PPP الكندي في الرابط: <http://www.geod.nrcan.gc.ca>
٣. موقع SCOUT الأمريكي في الرابط: <http://sopac.ucsd.edu/>
٤. موقع هيئة المساحة الجيوديسية الأمريكية OPUS في الرابط: <http://www.ngs.noaa.gov>
٥. موقع Auto-GIPSY الأمريكي في الرابط: <http://milhouse.jpl.nasa.gov/ag/>

يقدم الموقع الأول خدماته لكل المستخدمين في العالم منذ أواخر عام ٢٠٠٠ ، وتقوم بتشغيله منظمة استراليا للعلوم الأرضية Geo-science Australia. يقبل الموقع (عن طريق البريد الإلكتروني أو ftp) ملفات أرصاد الجي بي إس بصيغة راينكس من أي مستخدم في العالم. يعتمد حساب الإحداثيات على استخدام مدارات الأقمار الصناعية الدقيقة من IGS بالإضافة للرابط على أقرب ٣ من محطات IGS الأرضية وإخراج النتائج في إطار ITRF وإرسالها للمستخدم عبر البريد الإلكتروني.

الموقع الكندي PPP تديره هيئة المساحة الجيوديسية الكندية و هو مشابه تماماً لمواصفات الموقع الأول ، إلا أنه يقبل أيضاً أرصاد جي بي إس متحركة kinematic GPS data بالإضافة للأرصاد الثابتة static GPS data. الكنديون هم أول من ابتكر مصطلح PPP الذي يعني التحديد الدقيق لإحداثيات النقطة Precise Point Positioning عن طريق الاستفادة من خدمات منظمة IGS ومازالتا يطورون هذا الأسلوب للعديد من التطبيقات^٧.

موقع SCOUT يديره مركز بيانات المدارات وأرصاد المحطات الدائمة SOPAC وهو أحد مراكز حسابات IGS العالمية. من مميزات هذا الموقع أنه يتيح للمستخدم أن يحدد محطات IGS التي يريد ربط أرصاده عليها. أما موقع OPUS الذي تديره هيئة المساحة الجيوديسية الأمريكية NGS فيعتمد على ربط الأرصاد مع محطات CORS المقامة في الولايات المتحدة الأمريكية (أو في دول أخرى وتشرف عليها NGS) ، وبالتالي فإن خدمات هذا الموقع غير ممتلكة لكل المستخدمين. أما موقع Auto-GIPSY فيعتمد على حساب إحداثيات مطلقة لكل نقطة Single Point Positioning دون ربطها على محطات IGS. الجدول (٣-٩) يقدم مقارنة بين خصائص موقع أو خدمات حسابات الجي بي إس على الانترنت.

⁶ Mohamed, H., Dawod, G., and Ismail, S., 2007, Assessment of a cost-effective GPS data processing alternative in Egypt utilizing international on-line processing services, Water Sciences, No. 41-42, pp. 61-70.

⁷ Leandro, R., 2009, Precise point positioning with GPS: A new approach for positioning atmospheric studies and signal analysis, PhD Dissertation, New Brunswick University's technical report No. 257, April, 266 pp.

٩-٤ برامج مفيدة للجي بي إس:

تصدر الجهات العالمية المتخصصة وبصفة مستمرة العديد من برامج الكمبيوتر المجانية الخاصة بالتطبيقات المساحية والجيوديسية بصفة عامة والجي بي إس بصفة خاصة. وعلى متخصصي المساحة متابعة البحث في شبكة الانترنت عن كل ما هو جديد من برامج تساعدهم في تنفيذ أعمالهم التقنية بصورة جيدة. وسنستعرض هنا بعض أمثلة من البرامج التخصصية المتوفرة مجاناً على الانترنت.

(أ) برنامج GeoTrans لتحويل الإحداثيات الجيوديسية:

برنامج المحول الجغرافي GeoTrans أو اختصاراً Graphic Translator من GeoTrans طوّر هيئة المساحة الأمريكية. النسخة الحالية ٤.٢ بتاريخ ٢٠٠٦ أغسطس بحجم حوالي ١٥ ميجابايت ومتاح في الرابط:

<http://www.gisclub.net/vb/redirector.php?url=http://earth-info.nga.mil/GandG/geotrans/#Downloading>

يقوم البرنامج بتحويل الإحداثيات بين المراجع الجيوديسية وأيضاً يقوم بإسقاط الإحداثيات. يعتمد البرنامج على قاعدة بيانات بداخله تشمل مجموعة كبيرة جداً من نظم الإحداثيات والمراجع الجيوديسية المعروفة والمستخدمة في أنحاء العالم. كما يسمح البرنامج أيضاً بإنشاء نظام إحداثيات أو مرجع جديد إن لم يكن موجوداً في مكتبة البرنامج.^٨

كذلك قامت احدى الشركات وأسمها Tatugis بعمل نسخة مبسطة من برنامج GeoTrans تحت أسم Free Coordinate Calculator. لا يحتوي هذا البرنامج كل إمكانيات البرنامج الأصلي لكنه يتميز بسهولة الاستخدام وصغر حجم الملف (٢ ميجابايت فقط) ويمكن الحصول عليه مجاناً من الرابط: <http://www.tatugis.com>.

٣-٩ جدول

مقارنة بين خدمات الانترنت لحسابات الجي بي إس

اسم الخدمة	القيود على بيانات الجي بي إس المقدمة للموقع	الوقت المستغرق لوصول النتائج (دقيقة)	البدائل المتاحة للمستخدم	طريقة رفع الملفات للموقع
AUSPOS	- لا تقل عن ساعة من البيانات ثنائية التردد. - لا يزيد عدد الملفات عن ٧.	أكثر من ٢٥	- تحديد نوع الهوائي وارتفاعه	Uploading الرفع أو عن طريق FTP
PPP	- لا قيود سواء للأرصاد الثابتة أو المتحركة.	أقل من ٣	- اختيار طريقة الحساب.	Uploading الرفع

^٨ داود ، جمعة محمد ، ٢٠٠٧ ، برنامج للتحويل بين المراجع الجيوديسية ، نادي نظم المعلومات الجغرافية في:

<http://www.gisclub.net/vb/showthread.php?t=1342>

	- اختيار المرجع.		- الحد الأقصى للبيانات ٦ أيام متواصلة بحجم أقل من ١٠٠ ميجابايت.	
عن طريق FTP	- تحديد نوع الهوائي و ارتفاعه - اختيار محطات الربط.	أكبر من ١٥	- لا تقل عن ساعة من البيانات ثنائية التردد.	SCOUT
Uploading الرفع	- تحديد نوع الهوائي و ارتفاعه	أكبر من ٤	- على الأقل بيانات ثنائية التردد لمدة ساعتين. - حد أقصى بيانات ثابتة لمدة ٢٤ ساعة. - الموقع متاح فقط للمستخدمين في أمريكا الشمالية.	OPUS
عن طريق FTP	- لا يوجد	أقل من ٣	- على الأقل ساعة واحدة من الأرصاد.	Auto-GIPSY

(ب) برنامج EGM2008 Calculator لحساب حيود الجيويدي:

برنامج Alltrans EGM2008 Calculator هو برنامج مجاني وهو من تطوير عالمي أسمه Hans-Gerd Duenck-Kerst من شركة AltStat الألمانية ، والإصدار الحالي له هو الأول Version 1.0 . البرنامج (حجمه ٧ ميجابايت فقط) لحساب قيمة حيود الجيويدي N من النموذج العالمي الحديث EGM2008 (لاحظ أن البرنامج الأصلي المتاح بموقع هيئة المساحة العسكرية الأمريكية التي أنتجت النموذج حجم ملفاته الإجمالي حوالي ٣٦٧ ميجا !!).

البرنامج سهل التعامل معه وله ٣ قوائم menus لأداء الحسابات على ٣ مستويات ^٩:

- حساب N نقطة بنقطة على الشاشة في قائمة calc Manual
- حساب N شبكة Grid Maker لمنطقة معينة في قائمة Grid
- حساب N مجموعة من النقاط موجودة في ملف نصي txt في قائمة File calc

^٩ داود ، جمعة محمد ، ٢٠٠٩ ث ، برنامج لحساب الجيويدي من EGM2008 ، منتدى الهندسة المساحية في:
<http://surveying.ahlamontada.com/montada-f1/topic-t454.htm>

الفكرة الأساسية للبرنامج هي استنباط **interpolation** قيمه حيود الجيoid of EGM2008 من شبكة (سيق حسابها من النموذج الأصلي) وهذه الشبكة تتكون الخلية الواحدة منها من 1×10 دقيق ، وهذا هو الخيار الأساسي المسمى **Internal Dataset** . كما يتيح البرنامج أيضا - في خيار **External Dataset** - استخدام شبكات **Grids** أخرى بخلية 1×1 دقيقة أو 2.5×2.5 دقيقة لكن ملفاتها غير موجودة في البرنامج ويجب أن يقوم المستخدم بالحصول عليهما - من موقع هيئة المساحة العسكرية الأمريكية - أولا إن رغب في ذلك. كما يقوم البرنامج باستنباط قيم N بتطبيق ٤ طرق رياضية مختلفة (خاصة في المستوى الأول).

(ج) برنامج حساب الجيoid من قياسات الجاذبية الأرضية:

برنامج GravSoft لحسابات الجيoid من قياسات الجاذبية الأرضية **Gravity Geodetic Field Modelling Program** والذي قام بتطويره البروفيسور كارل C. Tscherning والبروفيسور راين فورسبرج Rene Forsberg العالمين الشهيرين بجامعة كوبنهagen الدنماركية. البرنامج متاح مجانا للاستخدام العلمي و التعليمي فقط – دون أية أغراض تجارية - من خلال موقع: <ftp://gfy.ku.dk> أو بالكتابة للبروفيسور الأول على: cct@gfy.ku.dk. النسخة الحالية هي ٢.٦.٦ بتاريخ يناير ٢٠٠٩ وحجم الملف المضغوط ١٤ ميجا.

(د) برنامج DNR GARMIN لتحويل بيانات أجهزة GPS ماركة Garmin إلى برنامج نظم المعلومات الجغرافية :Arc GIS

برنامج مجاني من تطوير إدارة الموارد الطبيعية – المعروفة اختصارا باسم DNR – بولاية مينيسوتا الأمريكية ، و متاح في الرابط: <http://files.dnr.state.mn.us/aboutdnr/bureaus/mis/gis/tools/arcview/extensions/dnrgarmin/dnrgarmin53setup.zip> والنسخة الحالية هي: ٥.٣.٢ وحجم الملف ١١.٥ ميجابايت ، ومتافق مع برنامج نظم المعلومات الجغرافية Arc GIS لأي إصدار من النسخة ٩.

وظائف البرنامج الرئيسية^{١٠}:

- تحميل النقاط و الخطوط والمعلمات التي تم قياسها باستخدام أجهزة الجي بي إس من إنتاج شركة جارمن (لا يصلح البرنامج لأي أجهزة GPS أخرى !) إلى الحاسب الآلي سواء باستخدام البرنامج منفردا أو باستخدامه من داخل برنامج ArcGIS مباشرة.
- يمكنه - بعد تحميل القياسات - تخزين الملف الناتج في صيغة KML وهي صيغة برنامج الجوجل ايرث الشهير Google Earth بحيث يمكن توقيع المواقع المرصودة على الصور الفضائية في الجوجل ايرث مباشرة.
- يقوم بتخزين إحداثيات المواقع المرصودة في ملفات نصية Text Files ليتمكن استخدامها - لاحقا - مع أي برامج أخرى.
- يمكن للبرنامج إرسال ملفات طبقات نقاط Point Shepfiles إلى جهاز الجي بي إس بعد تحويلها للصيغة التي تتعامل معها أجهزة الجارمن.

^{١٠} داود ، جمعة محمد ، ٢٠٠٨ ب ، شرح برنامج DNR Garmin ، منتدى الهندسة المساحية في: <http://surveying.ahlamontada.com/montada-f6/topic-t254.htm>

- يقوم البرنامج بحساب محيط و مساحة المضلعات المرصودة وإضافتها للبيانات الوصفية ArcGIS Attributes قبل نقلها لبرنامج

(ذ) موقع لتحويل الإحداثيات الجغرافية إلى UTM :

موقع لتحويل الإحداثيات الجغرافية (خط الطول ودائرة العرض) إلى إحداثيات مسقطة بنظام ميريكاتور المستعرض العالمي UTM ، وبصورة آنية on-line في الرابط ^{١١} :

<http://pages.globetrotter.net/roule/utmgoogle.htm>

^{١١} داود ، جمعة محمد ، ٢٠٠٨ ، تحويل الإحداثيات من و إلى UTM ، نادي نظم المعلومات الجغرافية في:
<http://www.gisclub.net/vb/showthread.php?t=3060>

المراجع

أولاً: المراجع العربية

- إبراهيم ، نقولا ، ١٩٨٢ ، مساقط الخريطة ، منشأة المعارف ، الإسكندرية ، مصر.
- أبو راضي ، فتحي عبد العزيز ، ١٩٩٨ ، الجغرافيا العملية و مبادئ الخرائط ، دار النهضة الحديثة ، بيروت ، لبنان.
- الحسيني ، صفوتو ، ٢٠٠٢ ، الجيوديسيا ، القاهرة ، مصر.
- الصقير ، عبد العزيز ، ١٤٢٧ هـ ، الأقمار الصناعية ، مجلة العلوم و التقنية ، العدد ٨٠ ، ص ٩-٥.
- العيسى ، سميح يوسف ، ٢٠٠٦ ، مبادئ عمل منظومة التوضع GPS ، شعاع للنشر والعلوم ، حلب ، سوريا.
- الغزالى ، محمد شوقي ، ١٩٩٧ ، الجيوديسيا الهندسية و نظام تحديد المواقع العالمي ، القاهرة ، مصر.
- الربيش ، محمد بن حجيلان ، ١٤٢٠ هـ ، النظام الكوني لتحديد الموضع ، الرياض ، المملكة العربية السعودية.
- المؤسسة العامة للتعليم الفني و التدريب المهني ، ١٤٢٦ هـ ، نظام تحديد الموضع العالمي ، مقرر دراسي لطلاب الكليات التقنية ، الرياض ، المملكة العربية السعودية.
- المؤسسة العامة للتعليم الفني و التدريب المهني ، ١٤٢٦ هـ ، النظام الكوني لتحديد الموضع ، مقرر دراسي لطلاب المعاهد الثانوية الفنية ، الرياض ، المملكة العربية السعودية.
- تعيلب ، علي عبد العظيم ، ١٩٩٦ ، الجاذبية الأرضية ، المعهد القومي للبحوث الفلكية و الجيوفizinية ، حلوان، مصر.
- تعيلب ، علي عبد العظيم ، ١٩٩٧ ، الجيوديسيا ، المعهد القومي للبحوث الفلكية و الجيوفizinية ، حلوان، مصر.
- داود ، جمعة محمد ، ٢٠٠٢ ، استخدام أحدث تقنيات الرصد على الأقمار الصناعية في تحديد حجم المنخفضات لمشروعات الإدارة المتكاملة للموارد المائية ، مجلة علوم المياه ، العدد ٣١، ص ٣١-٢٣ ، متاح في:

[http://cid-0259cb4f889eaeb3.skydrive.live.com/self.aspx/Arabic%20Surveying%20Papers/Dawod%20GPS%5E Depression%5E Vol%202002.pdf.](http://cid-0259cb4f889eaeb3.skydrive.live.com/self.aspx/Arabic%20Surveying%20Papers/Dawod%20GPS%5E Depression%5E Vol%202002.pdf)

داود ، جمعة محمد ، ٢٠٠٧ ، برنامج للتحويل بين المراجع الجيوديسية ، نادي نظم المعلومات الجغرافية في: <http://www.gisclub.net/vb/showthread.php?t=1342>

داود ، جمعة محمد ، ٢٠٠٨ ، تحويل الإحداثيات من و إلى UTM ، نادي نظم المعلومات الجغرافية في: <http://www.gisclub.net/vb/showthread.php?t=3060>

داود ، جمعة محمد ، ٢٠٠٨ ب ، شرح برنامج DNR Garmin ، منتدى الهندسة المساحية فـي: <http://surveying.ahlamontada.com/montada-f6/topic-t254.htm>

داود ، جمعة محمد ، ٢٠٠٩ ، أحدث التطويرات في إنتاج الأجهزة المساحية ، منتدى المهندسون العرب في الرابط: <http://www.arab-eng.org/vb/t138959.html#post1141850>

- داود ، جمعة محمد ، ٢٠٠٩ ب ، الجيود و الجي بي اس: مقال مترجم ، منتدى الهندسة المساحية في الرابط: <http://surveying.ahlamontada.com/montada-f1/topic-t573.htm>
- داود ، جمعة محمد ، ٢٠٠٩ ت ، تحسين دقة مدارات الأقمار الصناعية في حسابات الجي بي اس ، متاح في: http://cid-0259cb4f889eaeb3.skydrive.live.com/self.aspx/Geodesy%20and%20GPS/Dawod%7C_GPS%7C_Orbits%7C_Ar.pdf
- داود ، جمعة محمد ، ٢٠٠٩ ث ، برنامج لحساب الجيود من EGM2008 ، منتدى الهندسة المساحية في: <http://surveying.ahlamontada.com/montada-f1/topic-t454.htm>
- حموي ، هيثم نوري ، ١٩٩٧ ، مدخل إلى جيوديسيا الأقمار الصناعية و مقدمة مسهبة في نظام التوضّع العالمي ، فيينا ، النمسا ، متاح في: <http://members.chello.at/hamoui>
- سمونة ، محمد علي ، ٢٠٠٥ ، نظام تحديد المواقع العالمي ، مقرر الجيوديسيا الفضائية لطلاب الدبلوم بجامعة الملك سعود بالرياض ، المملكة العربية السعودية ، صفحة: http://faculty.ksu.edu.sa/hbilani/SE412ppt%20presentations/dipлом_6.ppt#257,1
- شكري ، علي ، حسني ، محمود ، رشاد ، محمد ، ١٩٨٩ ، المساحة الجيوديسية ، منشأة المعارف ، الإسكندرية ، مصر.
- صالح ، حسين عزيز ، ٢٠٠٨ ، نظام التعبيين الاحداثي العالمي: الجي بي اس ، متاح في: <http://iridia.ulb.ac.be/~hsaleh/>
- صيام ، يوسف ، ٢٠٠٢ ، المساحة: أنظمة الإحداثيات و قراءة الخرائط ، عمان ،الأردن.
- عبد العزيز ، يوسف إبراهيم و الحسيني ، محمد صفت ، ٢٠٠٧ ، المساحة ، دار المعرفة للنشر والتوزيع ، القاهرة ، مصر.
- علي ، رمضان سالم محمد ، ٢٠٠٩ ، أساسيات نظام الملاحة العالمي بالأقمار الصناعية ، متاح في: <http://ramadansalem.webs.com/GPS%20Basics.pdf>
- محمد ، وسام ، ٢٠٠٩ ، خدمة ال RTK عبر الجوال في العراق ، منتدى الهندسة المساحية في الرابط: <http://surveying.ahlamontada.com/montada-f11/topic-t592.htm>
- مكتب الجي بي اس الرسمي الأمريكي ، ٢٠٠٨ ، نظام التموضع العالمي ، متاح في: <http://www.gps.gov/systems/gps/arabic.html>
- موسي ، أشرف القطب ، ٢٠٠٨ ، دليل منظومة الأمانة للمحطات الدائمة للنظام العالمي لتحديد الموقع بأمانة جده ، تقرير أمانة محافظة جدة ، المملكة العربية السعودية ، متاح في: <http://www.jeddah.gov.sa/masaha/directories/files/dir2.pdf>
- موسي ، أشرف القطب ، ٢٠٠٩ ، دليل نظم الإحداثيات و علاقتها بنظام إحداثيات خرائط أمانة جدة ، تقرير أمانة محافظة جدة ، المملكة العربية السعودية ، متاح في: <http://www.jeddah.gov.sa/masaha/directories/files/dir1.pdf>

ثانياً: المراجع الأجنبية

- Ahamed, A. and Abdalla, K., 2006, Transformation of the Transit (Doppler) and GPS stations to Adindan datum, Sudan Engineering Society' Journal, V. 52, No. 47, September, pp. 15-23. Available at: http://www.ses-sudan.org/english/SESpublications/ses_jour/47/1523Gozouli_SESformat2.pdf
- Ali, A., 2009, Assessment of the polynomials for conversion between geodetic coordinates and the UTM and vice versa, CERM V. 31, N. 3, July, pp. 973-987.
- Alnaggar, D., and Dawod, G., 1995, Increasing the reliability of GPS geodetic networks, Proceedings of the First International Conference on Satellite Positioning Systems, Alexandria, Egypt, December 12-13.
- Alnaggar, D., and Dawod, G., 1999, Efficiency of GPS techniques in national applications, Proceedings of the International Conference on Integrated Management of Water Resources in the 21st Century, Cairo, November 21-25, Volume II, pp. 741-752.
- Al Marzooqi, Y., Fashir, H., and Babiker, T., 2005, Establishment & testing of Dubai Virtual Reference System (DVRS) national GPS-RTK network, Available at: http://www.gisdevelopment.net/technology/gps/me05_131.htm
- Al-Rabbany, A., 2009, GNSS Positioning - Some recent developments and trends, Map Middle East Conference, Dubai, UAE, April 26-28. Available at: http://www.gisdevelopment.net/proceedings/mapmiddleeast/2009/mme09_AhmedELRabbany.pps
- Al-Rabbany, A., 2002, Introduction to GPS: The Global Positioning System, Artech House, Inc., Boston, USA.
- Anderson, J. and Mikhail, E., 1998, Surveying: Theory and practice, Seventh Edition, McGraw-Hill, New York, USA.
- Borio, D., 2008, A statistical theory for GNSS signal acquisition, PhD Dissertation, Politecbo Di Torino, 291 pp.
- California Department of Transportation, 2006, Global Positioning System (GPS) survey specifications, California, USA, Available at: http://www.dot.ca.gov/hq/row/landsurveys/SurveysManual/06_Surveys.pdf.

- Cojocaru, S., Birsan, E., Battinca, G., and Arsenie, P., 2009, GPS-GLOASS_GALILEO: A dynamical comparison, Journal of Navigation, 62: 135-150.
- Dana, P., 2000, Map projection, The Geographer's Craft Project, Department of Geography, The university of Colorado at Boulder,, USA, Available on-line at: <http://www.colorado.edu/geography/gcraft/notes/>
- Dawod, G., 1991, Some considerations in the adjustment of GPS-derived baselines in the network mode, MSC Thesis, Geodetic science and surveying department, The Ohio State University, Columbus, Ohio, USA, Available at: http://cid-0259cb4f889eaeb3.skydrive.live.com/self.aspx/MSC%20and%20PHD%20in%20Surveying/Dawod%20GPS%5E_MSC%201991.pdf.
- Dawod, G., 1998, A National Gravity Standardization Network for Egypt, Ph.D. thesis, Shoubra Faculty of Engineering, Zagazig University, Cairo, Egypt, Available at: http://cid-0259cb4f889eaeb3.skydrive.live.com/self.aspx/MSC%20and%20PHD%20in%20Surveying/Dawod%20ENGSN%5E_PhD%201998.pdf.
- Dawod, G., and Alnaggar, D., 2000, Optimum geodetic datum transformation techniques for GPS surveys in Egypt, Proceedings of Al-Azhar Engineering Sixth International Engineering Conference, Al-Azhar University, September 1-4, Volume 4, pp. 709-718, Available at: http://cid-0259cb4f889eaeb3.skydrive.live.com/self.aspx/Geodesy%20and%20GPS/Dawod%5E_Papers/Dawod%20GPS%20Transformation%202000.pdf.
- Dawod, G., 2003, Modernization plan of GPS in 21st century and its impacts on surveying applications, Proceedings of Al-Azhar Seventh International Engineering Conference (CD No. 3), Al-Azhar University, Cairo, Egypt, April 7-10, Available at: http://cid-0259cb4f889eaeb3.skydrive.live.com/self.aspx/Geodesy%20and%20GPS/Dawod%5E_Papers/Dawod%20Modernization%20of%20GPS%202003.pdf.
- Dawod, G., 2003b, Proposed standards and specifications for GPS geodetic surveys in Egypt, Water Science Magazine, No. 33, April. pp. 33-39, Available at: http://cid-0259cb4f889eaeb3.skydrive.live.com/self.aspx/Geodesy%20and%20GPS/Dawod%5E_Papers/Dawod%20GPS%20Standards%202003.pdf.

- Dawod, G., 2003c, Productive GPS topographic mapping for national development projects in Egypt, Proceedings of the First International Conference on Civil Engineering, Assiut University, Volume 2, pp. 246-253, October 7-8, Available at: <http://cid-0259cb4f889eaeb3.skydrive.live.com/self.aspx/Geodesy%20and%20GPS/Dawod%5E%20Papers/Dawod%20Top%5E%20Surv%20GPS%202003.pdf>.
- Dawod, G., and Abdel-Aziz, T., 2003, Establishment of precise geodetic control networks for updating the River Nile maps, Proceedings of Al-Azhar Engineering Seventh International Conference (CD No. 3), Al-Azhar University, Cairo, April 7-10, Available at: <http://cid-0259cb4f889eaeb3.skydrive.live.com/self.aspx/Geodesy%20and%20GPS/Dawod%5E%20Papers/Dawod%20Nile%5E%20GPS%5E%20Network%202003.pdf>.
- Dawod, G., and Ismail, S., 2005, Enhancing the integrity of the national geodetic data base in Egypt, Proceedings of the FIG working week and GSIDI-8 International Conference, Cairo, Egypt, April 16-21, Available at: http://www.fig.net/pub/cairo/papers/ts_13/ts13_06_dawod_ismail.pdf.
- Dawod, G., 2007, New strategies in the utilization of GPS technology for mapping and GIS activities in Egypt, Civil Engineering Research Magazine (CERM), V. 29, No. 1 (Jan.), pp. 292-310, Available at: <http://cid-0259cb4f889eaeb3.skydrive.live.com/self.aspx/Geodesy%20and%20GPS/Dawod%5E%20Papers/Dawod%20New%20GPS%20strategies%202007.pdf>.
- Dawod, G., 2008, Towards the redefinition of the Egyptian geoid: Performance analysis of recent global geoid models and digital terrain models, Journal of Spatial Science, V. 53, No. 1, pp. 31-42, Available at: <http://cid-0259cb4f889eaeb3.skydrive.live.com/self.aspx/Geodesy%20and%20GPS/Dawod%5E%20Papers/Dawod%20Analyiz%20Global%20Geoids%202008.pdf>.
- Dawod, G., and Mohamed, H., 2009, Fitting gravimetric local and global quasi-geoids to GPS/levelling data: The role of geoid/quasi-geoid variations in Egypt, King Abdel-Aziz University's Journal of Engineering Sciences, V. 20, No. 1, pp. 47-59, Available at: <http://cid-0259cb4f889eaeb3.skydrive.live.com/self.aspx/Geodesy%20and%20GPS/Dawod%5E%20Papers/Dawod%20Analyiz%20Global%20Geoids%202008.pdf>.

[and%20GPS/Dawod%5E_Papers/Dawod%20Geoid%20Qua
sGeoid%202008.pdf.](#)

- Dawod, G., Mohamed, W., 2009, Data management of different height systems within GPS/GIS integrated spatial technology, Accepted for presentation in the Middle East Spatial Technology Conference (MEST2009), December 7-9, Kingdom of Bahrain.
- Dawod, G., Mohamed, H., and Ismail, S., 2010, Evaluation and adaptation of the EGM2008 geopotential model along the northern Nile valley, Egypt: Case study, ASCE Journal of Surveying Engineering, Accepted and scheduled for publication in February 2010 issue.
- European Space Agency (ESA), 2009a, Galileo project website at:
http://ec.europa.eu/dgs/energy_transport/galileo/intro/index_en.htm
- European Space Agency, 2009b, EGNOS project website at:
<http://www.esa.int/esaNA/egnos.html>
- Feathersotne, W., 2008, GNSS-based heighting in Australia: Current, emerging and future issues, Spatial Science, V. 53, No. 2, pp. 115-134.
- Flury, J. and Rummed, R., 2009, On the geoid-quasigeoid separation in mountain areas, Journal of Geodesy, V. 83, pp. 829-847.
- Fugro Chance Inc., 2007, GNSS status and plans, website:
<http://www.fugro.com>
- Ghilani, C., and Wolf, P., 2006, Adjustment computations: Spatial data analysis, Forth edition, John Wiley & Sons, Inc., New Jersey, USA.
- Habib, M. and Abu Rabah, R., 2006, An alternative approach for making maps compatible with GPS, Damascus University Journal, Vol. 22, No. 1, pp. 13-29, Available at:
<http://www.dahsha.com/up/files/Maen.pdf>.
- Hadi, W. and Tuckerman, P., 2007, Kingdom of Bahrain GPS permanent reference network, Presented at the Map Middle East 2007 conference, April 11, Available at:
http://www.gisdevelopment.net/proceedings/mapmiddleeast/2007/technology/GPS/mme07_Patrick.pdf.
- Heiskanean, W. and Moritz, H., 1967, Physical geodesy, W. H. Freeman and Company, San Francisco, USA.
- Hofman-Wellenhof, B. and Moritz, H., 2005, Physical geodesy, Springer Wien, New York, USA.

- InsideGNSS Magazine, 2006, Compass and China's GNSS makes four, available at: <http://www.insidegnss.com/node/115>
- InsideGNSS Magazine, 2008, China adds details to Compass (Beidou II) signal plans, available at: <http://www.insidegnss.com/node/803>
- International Center of Gravity Earth Models (ICGFM), 2009, <http://icgem.gfz-potsdam.de/ICGEM/modelstab.html>, accessed October 22.
- International GNSS Service, 2009a, IGS Products, Website: <http://igscb.jpl.nasa.gov/components/compindex.html>, accessed Sept.
- International GNSS Service, 2009b, IGS orbits, website: <http://igscb.jpl.nasa.gov/components/prods.html>, Accessed Sept.
- Illiffe, J., 2005, Datums and map projection: For remote sensing, GIS, and surveying, CRC Press, Washington, DC, USA.
- International Terrestrial Reference Frame (ITRF) website at: <http://itrf.ensg.ign.fr/>
- Jekeli, C., 2006, Geodetic reference systems in geodesy, Lecture notes, Division of geodesy and geospatial science, School of Earth sciences, Ohio State University, Columbus, Ohio, USA.
- Kaplan, E. and Hegarty, C., 2006, Understanding GPS: Principles and applications, Second Edition, Artech House, Inc., Boston, USA.
- Koch, K., 1988, Parameter estimation and hypothesis testing in linear models, Second Edition, Springer-Verlag, Berlin, Germany.
- Kohli, A. and Jennim L., 2008, Transformation of cadastral data between geodetic reference frames using finite element method, Proceedings of the FIG working week conference, Stockholm, Sweden, June 14-19, Available at: http://www.fig.net/pub/fig2008/papers/ts02a/ts02a_05_kohli_jenni_2623.pdf.
- Leandro, R., 2009, Precise point positioning with GPS: A new approach for positioning atmospheric studies and signal analysis, PhD Dissertation, New Brunswick University's technical report No. 257, April, 266 pp.
- Lieck, A., 1995, GPS Satellite surveying, John Wiley & Sons Inc., New York, USA.
- Mahmoud, D., 2004, Monitoring of crustal movements in Egypt using GPS technique, Presented at the United

- Nations/United States of America International meeting on the use and applications of Global Navigation Satellite System, December 13 – 17, Vienna, Austria.
- Mendizabal, J., Berenguer, R., and Melendez, J., 2009, GPS & Galileo: Dual RF front-end receiver and design, fabrication, and test, McGraw Hill Co., New York, USA.
- Mikhail, E., 1976, Observations and least squares, University press of America, New York, USA.
- Ministry of sustainable resource management, 2005, British Columbia guidelines for GPS RTK surveys, Release 1.0, British Columbia, Canada, Available at: <http://www.ilmb.gov.bc.ca/crgb/gsr/documents/BCGuidelinesForRTKGPSSurveysApril2008.pdf>.
- Mohamed, H.F., 2005, Realization and redefinition of the Egyptian vertical datum based on recent heterogenous observations, PhD dissertation, Faculty of Engineering at Shobra, Benha University, Available at: http://cid-0259cb4f889eaeb3.skydrive.live.com/self.aspx/MSC%20and%20PHD%20in%20Surveying/Hoda%5E_Mohamed%20PhD%202005.pdf.
- Mohamed, H., Dawod, G., and Ismail, S., 2007, Assessment of a cost-effective GPS data processing alternative in Egypt utilizing international on-line processing services, Water Sciences, No. 41-42, pp. 61-70, Available at: http://cid-0259cb4f889eaeb3.skydrive.live.com/self.aspx/Geodesy%20and%20GPS/Dawod%5E_Papers/Dawod%20Assesment%20on%5E_line%20GPS%202007.pdf.
- Mugnier, C., 2008a, Grids and Datums: Arab Republic of Egypt, ASPRS Newsletter, November, pp. 1307-1309, Available at: <http://www.asprs.org/resources/Grids/11-2008-egypt.pdf>.
- Mugnier, C., 2008b, Grids and Datums: Kingdom of Saudi Arabia, ASPRS Newsletter, August, pp. 949-951, Available at: <http://www.asprs.org/resources/Grids/08-2008-saudi.pdf>.
- Natural Resources Canada, 1995, GPS positioning guide, Third Edition, Ottawa, Canada, Available at: http://luna.csrs.nrcan.gc.ca/GPS_Guide_e/GPS_Guide_e.pdf
- Nassar, M., 1994, Advanced geometric geodesy, Lecture notes, Faculty of Engineering, Ain Shams University, Cairo, Egypt.
- Navarro-Reyes, D., 2007, Galileo program status and ongoing GIOVE experimentation, Presented at the EGU general assembly, Vienna, Austria, April 16.

- Pavlis, N., Holmes, S., Kenyon, S., and Factor, J. , 2008, An earth gravitational model to degree 2160: EGM2008, The European Geosciences Union (EGU) general Assembly, Vienna, Austria, Available at: http://earth-info.nga.mil/GandG/wgs84/gravitymod/egm2008/NPavlis&al_EGU2008.ppt.
- Prasad, R. and Ruggieri, M., 2005, Applied satellite navigation using GPS, Galileo and augmentation systems, Artech House, Inc., Boston, USA
- US Defense Mapping Agency: DMA, 1959, Geodesy for the layman, First edition, Available at: <http://164.214.2.259/GandG/geolay/toc.htm>
- US National Imagery and Mapping Agency (NIMA), 2000, Department of Defense World Geodetic System 1984: Its definition and relationships with local geodetic system, Technical Report TR8350.2, Third Edition, Washington, DC, USA.
- US Army Corps of Engineering, 1990, Survey markers and monumentation, Engineering manual No. 1110-1-1002, Washington, DC, USA, Available at: <http://www.usace.army.mil/publications/eng-manuals/em1110-1-1002/toc.htm> .
- US Army Corps of Engineering, 2003, NAVSTAR Global Positioning System Surveying, Technical Manual No. EM1110-1-1003, Washington, D.C., USA.
- Rabah, M., 2009, Enhancement the feasibility of using RTK tides in the Northern coast of Egypt based on performing undulation model corrections derived from the Earth Geopotential Model EGM2008, CERM magazine, V. 31, No. 3, July, pp. 794-808.
- Raizner, C., 2008, A regional analysis of GNSS-levelling, MSC Thesis, Stuttgart University, 133 pp.
- Russian Space Agency, 2009, GLONASS constellation status as 06.09.2009, website: <http://www.glonass-ianc.rsa.ru/pls/htmldb/f?p=202:20:14637162736231801312::NO::>
- Saad, A., and Dawod, G., 2002, A Precise Integrated GPS/Gravity Geoid Model for Egypt, Civil Engineering Research Magazine (CERM), Al-Azhar University, V.24, No. 1, Jun, pp.391-405.
- Shaker, A., Saad, A., Al-sagheer, A., and Abd alhay, A. , 2003, Comparative study for different transformation models

- applied on geodetic coordinate systems, Civil Engineering Research Magazine (CERM), V. 25, No. 3, pp.1562-1590.
- Shaker, A., Saad, A., El-Sayed, M., and Ali, A., 2007, Remove-restore technique for improving the datum transformation process, Proceedings of the FIG working week conference, Honk Kong, China, May 13-17. Available from: http://www.fig.net/pub/fig2007/papers/ts_3b/ts03b_03_saad_etal_1218.pdf
- Seeber, G., 2003, Satellite Geodesy, Second Edition, Walter de Gruyter Co., Berlin, Germany
- Taylor, G., and Blewitt, G., 2006, Intelligent positioning: GIS-GPS unification, John Wiley & Sons Ltd, West Sussex, England.
- Uotila, U., 1986, Notes on adjustment computations: Part I, Lecture notes, Geodetic science and surveying department, Ohio state university, Columbus, Ohio, USA.
- Vanicek, P., 2001, An online tutorial in Geodesy, <http://gge.unb.ca/Research/GeodesyGroup/tutorial/tutorial.htm>.
- Wells, D., Beck, N., Delikaraoglu, D., Kleusberg, A., Krakiwsky, E., Lacgapelle, G., Langley, R., Nakiboglu, M., Schwarz, K., Tranquilla, J., and Vanicek, P., 1986, Guide to GPS positioning, Department of geodesy and geomatics engineering lecture note 58, University of New Brunswick, Canada, 291 pp, Available at: <http://gge.unb.ca/Pubs/LN58.pdf>.

الملاحق

ملحق ١

المكتبة الرقمية المساحية المجانية

المكتبة الرقمية المساحية هي موقع مجاني على شبكة المعلومات الدولية (الانترنت) قام أحد الباحثين العرب بانشاؤه بهدف خدمة طلاب الهندسة المساحية في العالم العربي. تضم المكتبة عدد كبير من المواد التعليمية والأكاديمية في معظم تخصصات الهندسة المساحية ولا تتطلب أية شروط للحصول على نسخة من أي ملف موجود داخلها.

موقع أو رابط المكتبة:

<https://cid-0259cb4f889eaeb3.skydrive.live.com/home.aspx?lc=1033>

ت تكون المكتبة - أو الموقع - من تسعة أقسام أو مجلدات:

١- المواد أو الكتب باللغة العربية:

<http://cid-0259cb4f889eaeb3.skydrive.live.com/browse.aspx/Arabic%20Surveying%20Materials>

٢- رسائل ماجستير و دكتوراه حديثة:

<http://cid-0259cb4f889eaeb3.skydrive.live.com/self.aspx/MSC%20and%20PHD%20in%20Surveying>

٣- أفلام و ملفات تدريبية عن نظم المعلومات الجغرافية:

<http://cid-0259cb4f889eaeb3.skydrive.live.com/browse.aspx/GIS%20Training%20Vedio>

٤- مجلد الموصفات المساحية: Standards in Surveying

<http://cid-0259cb4f889eaeb3.skydrive.live.com/browse.aspx/Standards%20in%20Surveying>

٥- مجلد مواد جيوديسية تقنية باللغة الانجليزية :

<http://cid-0259cb4f889eaeb3.skydrive.live.com/browse.aspx/Geodesy%20and%20GPS>

٦- مجلد مواد مساحية عربية من قسمي المدني و العمارة:

<http://cid-0259cb4f889eaeb3.skydrive.live.com/browse.aspx/Arabic%20Civil%20Materials>

٧- بحوث علمية باللغة العربية:

<http://cid-0259cb4f889eaeb3.skydrive.live.com/browse.aspx/Arabic%20Surveying%20Papers>

-٨- مجلد الاستشعار عن بعد:

<http://cid-0259cb4f889eaeb3.skydrive.live.com/browse.aspx/Remote%20Sensing%20Applications>

٩- كتب مساحية باللغة الانجليزية:

http://cid-0259cb4f889eaeb3.skydrive.live.com/browse.aspx/Books%7C_Eng

وقائمة محتويات المكتبة الرقمية موجودة بالتفصيل في منتدى الهندسة المساحية وهو أيضاً موقع تقيي أكاديمي غير ربحي باللغة العربية متخصص في مناقشة و عرض أحدث التقنيات المساحية ، ورابط المنتدى هو:

<http://surveying.ahlamontada.com/>

بينما محتويات المكتبة الرقمية موجودة في صفحة:

<http://surveying.ahlamontada.com/montada-f7/topic-t167.htm#267>

وسنستعرض هنا بعض من محتويات هذه المكتبة الرقمية وخاصة في مجال المساحة الجيوديسية و الجي بي أس ، والتي يمكن لأي قارئ الحصول على نسخة من هذه الملفات الرقمية:

أولاً: مواد جيوديسية باللغة العربية:

النظام العالمي لتحديد الموقع ، مقرر دراسي بالكليات التقنية بالمؤسسة العامة السعودية للتعليم الفني و التدريب المهني:

<http://cid-0259cb4f889eaeb3.skydrive.live.com/self.aspx/Arabic%20Surveying%20Materials/GPS%20College.pdf>

المساحة الجيوديسية ، مقرر دراسي بالكليات التقنية بالمؤسسة العامة السعودية للتعليم الفني و التدريب المهني:

<http://cid-0259cb4f889eaeb3.skydrive.live.com/self.aspx/Arabic%20Surveying%20Materials/Geodetic%20Survey%20sur211.pdf>

النظام العالمي لتحديد الموقع ، مقرر دراسي بالمعاهد الفنية بالمؤسسة العامة السعودية للتعليم الفني و التدريب المهني:

<http://cid-0259cb4f889eaeb3.skydrive.live.com/self.aspx/Arabic%20Surveying%20Materials/GPS%20Institute.pdf>

المساحة الجيوديسية مقرر دراسي بالمعاهد الفنية بالمؤسسة العامة السعودية للتعليم الفني و التدريب المهني:

<http://cid-0259cb4f889eaeb3.skydrive.live.com/self.aspx/Arabic%20Surveying%20Materials/Geodetic%20Survey%20ssv2-6.pdf>

كتاب المهندس محمد بن حجيلان الريبيش بعنوان: النظام الكوني لتحديد المواقع GPS :
<http://cid-0259cb4f889eaeb3.skydrive.live.com/self.aspx/Geodesy%20and%20GPS/GPS%20Robeesh%201420%20Ar.pdf>

كتاب الدكتور هيثم حموي عن: مدخل إلى جيوديسيا الأقمار الصناعية ونظام التوضع العالمي GPS ، وهو بتاريخ ١٩٩٧ (الكتاب موجود في موقع المؤلف على الانترنت: :(<http://members.chello.at/hamoui>

<http://cid-0259cb4f889eaeb3.skydrive.live.com/self.aspx/Arabic%20Surveying%20Materials/GPS%20Hamaoy%2097.pdf>

مجلة نادي نظم المعلومات الجغرافية – العدد ١:
http://cid-0259cb4f889eaeb3.skydrive.live.com/self.aspx/Arabic%20Surveying%20Materials/GIS%20Club%20Magazine_1.pdf

محاضرات د. ناصر النعماني (جامعة السلطان قابوس بسلطنة عمان) في الجي بي إس:
<http://cid-0259cb4f889eaeb3.skydrive.live.com/self.aspx/Arabic%20Surveying%20Materials/GPS%20Oman%20All.pdf>

– TGO الدليل التشغيلي العربي لجهاز GPS ماركة Trimble 5700 مع برنامج الحساب من إعداد المهندس أحمد بن علوان عقيل:

<http://cid-0259cb4f889eaeb3.skydrive.live.com/self.aspx/Arabic%20Surveying%20Materials/Trimble5700%20Ahmed%20Elwan.pdf>

ملف باللغة العربية عن أساسيات نظام الملاحة العالمية بالأقمار الصناعية GPS للمهندس رمضان سالم محمد:

<http://cid-0259cb4f889eaeb3.skydrive.live.com/self.aspx/Geodesy%20and%20GPS/GPS%20Basics%20Ramadan%20Ar.pdf>

بحث عن تطبيقات تقنية الاستشعار عن بعد و الأساليب الجيوديسية المتطرورة في دراسة مورفومترية الوديان الجافة – د. مشاعل بنت محمد آل سعود – يونيو ٢٠٠٢

<http://cid-0259cb4f889eaeb3.skydrive.live.com/self.aspx/Arabic%20Surveying%20Papers/RS%20in%20Morformotery%202002.pdf>

ملف باللغة العربية للدكتور حسين عزيز صالح بعنوان: نظام التعبيين الاحادثي العالمي (الجي بي إس).

<http://cid-0259cb4f889eaeb3.skydrive.live.com/self.aspx/Arabic%20Surveying%20Materials/GPS%20Saleh%20Ar.pdf>

مقال عن المعلومات المساحية و تحديات العالم الجديد:

http://cid-0259cb4f889eaeb3.skydrive.live.com/self.aspx/Arabic%20Surveying%20Papers/KSA%20Ar%7C_Papers/GIS%20and%20Millitrary%20Data.pdf

بحث عن نظام الإحداثيات في الخرائط الطبوغرافية في المملكة العربية السعودية:

http://cid-0259cb4f889eaeb3.skydrive.live.com/self.aspx/Arabic%20Surveying%20Papers/KSA%20Ar%7C_Papers/KSA%20Topographic%20Maps.pdf

ترجمة إلى العربية لمقال عن المرجع الجيوديسي و نظام إحداثيات جمهورية مصر العربية:

http://cid-0259cb4f889eaeb3.skydrive.live.com/self.aspx/Geodesy%20and%20GPS/Grids%7C_Datums%20of%20Egypt%20AR.pdf

ترجمة إلى العربية لمقال عن المرجع الجيوديسي و نظام إحداثيات المملكة العربية السعودية:

http://cid-0259cb4f889eaeb3.skydrive.live.com/self.aspx/Geodesy%20and%20GPS/Grids%7C_Datums%20of%20KSA%20AR.pdf

معجم مصطلحات الجي بي إس باللغة العربية للدكتور جمعة داود:

http://cid-0259cb4f889eaeb3.skydrive.live.com/self.aspx/Geodesy%20and%20GPS/Dawod%7C_GPS%7C_Glossary%7C_Ar%7C_v1.pdf

معجم المصطلحات الجيوديسية باللغة العربية للدكتور جمعة داود:

http://cid-0259cb4f889eaeb3.skydrive.live.com/self.aspx/Geodesy%20and%20GPS/Dawod%20Geodetic%7C_Glossary%20Ar.pdf

ترجمة إلى العربية لمقال عن العلاقة بين الجيوديسيا والجي بي أس:

<http://cid-0259cb4f889eaeb3.skydrive.live.com/self.aspx/Geodesy%20and%20GPS/GPS%20and%20the%20Geoid%20Ar.pdf>

ثانياً: رسائل أكاديمية (ماجستير و دكتوراه) باللغة الانجليزية:

GPS-based attitude determination, MSC, 2008, University of Linkopings, Sweden:

<http://cid-0259cb4f889eaeb3.skydrive.live.com/self.aspx/MSC%20and%20PHD%20in%20Surveying/GPS%20for%20attitude%20determination%20MSC%202008.pdf>

Applications of high accuracy gravity and space geodesy methodologies, PhD, 2004, University of Texas at Dallas:

<http://cid-0259cb4f889eaeb3.skydrive.live.com/self.aspx/MSC%20and%20PHD%20in%20Surveying/4D%20Gravity%20GPS%20Data%20PhD%202004.pdf>

Heights, the geopotential and vertical datums, Ohio State University, Report No. 459, 2000:

<http://cid-0259cb4f889eaeb3.skydrive.live.com/self.aspx/MSC%20and%20PHD%20in%20Surveying/459%20Heights%202000.pdf>

Applications of parameter estimation and hypothesis testing to GPS network adjustments, Ohio State University Report No. 465, 2002:

<http://cid-0259cb4f889eaeb3.skydrive.live.com/self.aspx/MSC%20and%20PHD%20in%20Surveying/465%20GPS%20Net%20Adj%202002.pdf>

Temporal and spatial analysis of continuous GPS observations, Ph.D, 2005, Norwegian University of Science and Technology:

<http://cid-0259cb4f889eaeb3.skydrive.live.com/self.aspx/MSC%20and%20PHD%20in%20Surveying/Continous%20GPS%20Analysis%20PhD%202005.pdf>

An analysis on the optimal combination of geoid, orthometric and ellipsoidal height data, PhD, 2003, University of Calgary, Canada:

http://cid-0259cb4f889eaeb3.skydrive.live.com/self.aspx/MSC%20and%20PHD%20in%20Surveying/PhD%20Canada%202003%20H_h_N%20Combin.pdf

Robustness analysis of geodetic networks, PhD, 2006, University of Calgary, Canada:

http://cid-0259cb4f889eaeb3.skydrive.live.com/self.aspx/MSC%20and%20PHD%20in%20Surveying/Roubst%20Geo_Nets%20PhD2006.pdf

Regional geoid determination methods for the era of satellite gravimetry: Numerical investigations using synthetic earth gravity models, PhD, 2004, Royal Institute of Technology, Sweden:

http://cid-0259cb4f889eaeb3.skydrive.live.com/self.aspx/MSC%20and%20PHD%20in%20Surveying/Geoid%20by%20Satt_Gravity%20PhD_2004.pdf

Corrective Surface for GPS-levelling in Moldova, MSC, 2006, Royal Institute of Technology, Sweden:

http://cid-0259cb4f889eaeb3.skydrive.live.com/self.aspx/MSC%20and%20PHD%20in%20Surveying/Geoid%20for%20GPS%20MSC_2006.pdf

Precise gravimetric geoid model for Iran based on GRACE and SRTM data and the least-squares modification of Stokes' formula with some geodynamic interpretations, PhD, 2006, Royal Institute of Technology, Sweden:

<http://cid-0259cb4f889eaeb3.skydrive.live.com/self.aspx/MSC%20and%20PHD%20in%20Surveying/Geoid%20of%20Iran%20PhD%202006.pdf>

Undifferenced GPS for deformation monitoring, MSC, 2006, Royal Institute of Technology, Sweden:

<http://cid-0259cb4f889eaeb3.skydrive.live.com/self.aspx/MSC%20and%20PHD%20in%20Surveying/GPS%20in%20Deformation%20MSC%202006.pdf>

Establishment of a high accuracy geoid correction model and geo-data edge match, PhD, 2003, Iowa State University:

<http://cid-0259cb4f889eaeb3.skydrive.live.com/self.aspx/MSC%20and%20PHD%20in%20Surveying/GPS%20in%20Deformation%20MSC%202006.pdf>

[HD%20in%20Surveying/GPS_Net%20and%20Geoid_Correction%20PhD%202003.pdf](#)

The transformation of GPS into BAP heights: Combining NAP, GPS, and geoid heights to compute a height reference surface, MSC, 2006, Delft University of Technology, The Netherlands:

[http://cid-0259cb4f889eaeb3.skydrive.live.com/self.aspx/MSC%20and%20PHD%20in%20Surveying/Height%20Transformation%20MSC%202006.pdf](#)

Radar altimeter calibration using GPS water level measurements, MSC, 2004, Ohio State University:

[http://cid-0259cb4f889eaeb3.skydrive.live.com/self.aspx/MSC%20and%20PHD%20in%20Surveying/OSU469%20Altimeter%20Calibration%20by%20GPS%202004.pdf](#)

GPS buoy campaigns for vertical datum improvement and radar altimeter calibration, MSC, 2004, Ohio State University:

[http://cid-0259cb4f889eaeb3.skydrive.live.com/self.aspx/MSC%20and%20PHD%20in%20Surveying/OSU470%20GPS%20V_D%20Improv%20and%20Altimeter%20Calibration%202004.pdf](#)

Determination and characteristics of 20th century global sea level rise, MSC, 2006, Ohio State University:

[http://cid-0259cb4f889eaeb3.skydrive.live.com/self.aspx/MSC%20and%20PHD%20in%20Surveying/Sea%20Level%20Rise%20OSU2006.pdf](#)

Bringing GPS into harsh environment for deformation monitoring, PhD 2007, New Brunswick University:

[http://cid-0259cb4f889eaeb3.skydrive.live.com/self.aspx/MSC%20and%20PHD%20in%20Surveying/GPS%20Deformation%20PhD%202007.pdf](#)

Moving base INS/GPS vector gravimetry on a land vehicle, PhD 2007, Ohio State University, USA:

<http://cid-0259cb4f889eaeb3.skydrive.live.com/self.aspx/MSC%20and%20PHD%20in%20Surveying/INS%20GPS%20Gravimetry%20PhD%202007.pdf>

A comparison of local and wide area GNSS differential corrections disseminated using the network transport of RTCM via internet protocol, BSC 2007, New Brunswick University:

<http://cid-0259cb4f889eaeb3.skydrive.live.com/self.aspx/MSC%20and%20PHD%20in%20Surveying/RTCM%20GNSS%20Diff%20Correction%20BSC%202007.pdf>

روابط لرسائل ماجستير و دكتوراه من قسم الجيوماتيك بجامعة كالجاري الكندية:

<http://www.geomatics.ucalgary.ca/node/58>

Tightly Coupled MEMS INS/GPS Integration with INS Aided Receiver Tracking Loops,

<http://www.geomatics.ucalgary.ca/engo/files/engo/08.20270.YYang.pdf>

On the Attainable Accuracy of Multi-system GNSS Positioning in High-multipath Urban Environments ,

http://www.geomatics.ucalgary.ca/engo/files/engo/AEbnner_TUGraz_Apr08.pdf

A Statistical Theory for GNSS Signal Acquisition ,

http://www.geomatics.ucalgary.ca/engo/files/engo/DBorio_Torino_Apr08.pdf

Measuring Seasonal Permafrost Deformation with Differential Interferometric Synthetic Aperture Radar ,

<http://www.geomatics.ucalgary.ca/engo/files/engo/08.20269.CButterworth.pdf>

GPS L5 Software Development for High-Accuracy Applications ,

<http://www.geomatics.ucalgary.ca/engo/files/engo/08.20268.CMongredien.pdf>

Integration of GA-Based Multi-objective Optimization with VR-Based Visualization to Solve Landuse Problems ,

<http://www.geomatics.ucalgary.ca/engo/files/engo/07.20267.MageshChandramouli.pdf>

A regional analysis of GNSS levelling, MSC 2008, Stuttgart University, Germany

http://cid-0259cb4f889eaeb3.skydrive.live.com/self.aspx/MSC%20and%20PHD%20in%20Surveying/GNSS%7C_Levelling%20Analysis%20MSC%202008.pdf

Processing of high-rate GPS data for real-time applications, MSC 2008, Stuttgart University, Germany:

http://cid-0259cb4f889eaeb3.skydrive.live.com/self.aspx/MSC%20and%20PHD%20in%20Surveying/High%7C_Rate%20RTK%20Process%20MSC2008.pdf

Surface Deformation Analysis of Dense GPS Networks Based on Intrinsic Geometry Deterministic and Stochastic Aspects, PhD 2007, Stuttgart University, Germany:

<http://cid-0259cb4f889eaeb3.skydrive.live.com/self.aspx/MSC%20and%20PHD%20in%20Surveying/Surface%20Deformation%20GPS%20PhD%202007.pdf>

Setting-up of GPS Reference Stations and Investigating the Effects of Antenna Radome, MSC 2003, Stuttgart University, Germany:

<http://cid-0259cb4f889eaeb3.skydrive.live.com/self.aspx/MSC%20and%20PHD%20in%20Surveying/GPS%20Reference%20Stations%20MSC2003.pdf>

High Resolution Regional Geoid Computation in The World Geodetic Datum 2000, PhD 1999, Stuttgart University, Germany:

<http://cid-0259cb4f889eaeb3.skydrive.live.com/self.aspx/MSC%20and%20PHD%20in%20Surveying/Regional%20Geoid%20Computations%20PhD1999.pdf>

ثالثاً: المواد التعليمية و البحوث المساحية والمواصفات الدولية (باللغة الانجليزية):

Canadian GPS Guide:

http://cid-0259cb4f889eaeb3.skydrive.live.com/self.aspx/Geodesy%20and%20GPS/Canada_GPS_Guide.pdf

WGS84 Final Definition 2000:

<http://cid-0259cb4f889eaeb3.skydrive.live.com/self.aspx/Geodesy%20and%20GPS/WGS84%20Final%20Defintion%202000.pdf>

DMA: Geodesy for the layman 1983:

<http://cid-0259cb4f889eaeb3.skydrive.live.com/self.aspx/Geodesy%20and%20GPS/DMA%20Geodesy%20for%20Layman%20Tutorial%201983.pdf>

Australia ICSM Geodetic Standards v.1.6 2004:

<http://cid-0259cb4f889eaeb3.skydrive.live.com/self.aspx/Standards%20in%20Surveying/Australia%20ICSM%20Geodetic%20Standards%20V1-6%202004.pdf>

Australian Standards on Control Survey 2000:

<http://cid-0259cb4f889eaeb3.skydrive.live.com/self.aspx/Standards%20in%20Surveying/Australian%20Standards%20of%20Control%20Survey%202000.pdf>

Canada Guidelines for RTK_GPS Surveys:

http://cid-0259cb4f889eaeb3.skydrive.live.com/self.aspx/Standards%20in%20Surveying/Canada%20Guidelines_for_rtk_gps_surveys.pdf

Canada Positioning Standards 1996:

http://cid-0259cb4f889eaeb3.skydrive.live.com/self.aspx/Standards%20in%20Surveying/Canada_Positioning%20Standards%201996.pdf

New Zealand Geodetic Network Design Specifications 2002:

http://cid-0259cb4f889eaeb3.skydrive.live.com/self.aspx/Standards%20in%20Surveying/NZ%20Geod_Net%20Design%20Spec%202002.pdf

New Zealand Geodetic Survey Standards 2003:

<http://cid-0259cb4f889eaeb3.skydrive.live.com/self.aspx/Standards%20in%20Surveying/NZ%20Geodetic%20Survey%20Standards%202003.pdf>

New Zealand Physical Network Design Specifications 2003:

http://cid-0259cb4f889eaeb3.skydrive.live.com/self.aspx/Standards%20in%20Surveying/NZ%20Phys_Net%20Design%20Spec%202003.pdf

New Zealand Specifications of First-order Levelling GPS 2003:

http://cid-0259cb4f889eaeb3.skydrive.live.com/self.aspx/Standards%20in%20Surveying/NZ%20secification%20of%20First_order%20GPS%202003.pdf

US California Geodetic Network GPS Specifications 1996:

<http://cid-0259cb4f889eaeb3.skydrive.live.com/self.aspx/Standards%20in%20Surveying/US%20California%20Horizontal%20Geodetic%20Net%20Specifications%201994.pdf>

US FGCC Geodetic Survey Standards 1984:

<http://cid-0259cb4f889eaeb3.skydrive.live.com/self.aspx/Standards%20in%20Surveying/US%20FGCC%20Geodetic%20Survey%201984.pdf>

US FGCC GPS Standards 1989:

<http://cid-0259cb4f889eaeb3.skydrive.live.com/self.aspx/Standards%20in%20Surveying/US%20FGCC%20GPS%20Standards%201989.pdf>

US FGCC Levelling Specifications 1995:

<http://cid-0259cb4f889eaeb3.skydrive.live.com/self.aspx/Standards%20in%20Surveying/US%20FGCC%20Levelling%201995.pdf>

US Geospatial Positioning Standards 1998:

<http://cid-0259cb4f889eaeb3.skydrive.live.com/self.aspx/Standards%20in%20Surveying/US%20Geospatial%20Positioning%20Standards%201998.pdf>

US North Carolina GPS Standards 2006:

<http://cid-0259cb4f889eaeb3.skydrive.live.com/self.aspx/Standards%20in%20Surveying/US%20North%20Calorina%20GPS%20Standards%202006.pdf>

USA Army Manual on Geodetic Surveys 2002:

http://cid-0259cb4f889eaeb3.skydrive.live.com/self.aspx/Standards%20in%20Surveying/USA%20Army%20Geod_Surveys%202002.pdf

USA Army Manual on Topographic Surveys 1994:

<http://cid-0259cb4f889eaeb3.skydrive.live.com/self.aspx/Standards%20in%20Surveying/USA%20Army%20Topo%20Surveys%201994.pdf>

US Army Cadastral GPS Standards 2001:

<http://cid-0259cb4f889eaeb3.skydrive.live.com/self.aspx/Standards%20in%20Surveying/USA%20Cadastral%20GPS%20Survey%20Standards%202001.pdf>

USA Highway Dept. Standards for GPS 2005:

<http://cid-0259cb4f889eaeb3.skydrive.live.com/self.aspx/Standards%20in%20Surveying/USA%20Highway%20Dept%20Standards%20GPS%202005.pdf>

Australia Specifications on MSL monitoring systems

<http://cid-0259cb4f889eaeb3.skydrive.live.com/self.aspx/Standards%20in%20Surveying/Australia%20Spec%20on%20MSL%20moitoring%20systems.pdf>

Australia Specifications on tide gauge stations

<http://cid-0259cb4f889eaeb3.skydrive.live.com/self.aspx/Standards%20in%20Surveying/Australia%20Spec%20on%20tide%20guage%20stations.pdf>

NZ Hydrographic standards 2001

http://cid-0259cb4f889eaeb3.skydrive.live.com/self.aspx/Standards%20in%20Surveying/Hydro_Stand%20New%20Zeland%202001.pdf

USA Hydrographic standards 2007

http://cid-0259cb4f889eaeb3.skydrive.live.com/self.aspx/Standards%20in%20Surveying/US%20Hydrographic%20Specs_2007.pdf

USA Army Photogrammetric standards 2002

http://cid-0259cb4f889eaeb3.skydrive.live.com/self.aspx/Standards%20in%20Surveying/USA%20Army%20Photog_Standards%202002.pdf

Utilization of GIS and RTK GPS Reference Networks for Machine Automation:

http://cid-0259cb4f889eaeb3.skydrive.live.com/self.aspx/GIS%20Training%20Vedio/GIS_RTK%20machine%20control%202008.pdf

An alternative approach for making maps compatible with GPS in Syria, 2006:

http://cid-0259cb4f889eaeb3.skydrive.live.com/self.aspx/Geodesy%20and%20GPS/GPS%20coord%7C_regression%20in%20Syria%202006.pdf

DPOD2005: An extension of ITRF2005 for Precise Orbit Determination, Advances in Space Research, 2009.

<http://cid-0259cb4f889eaeb3.skydrive.live.com/self.aspx/Geodesy%20and%20GPS/ITRF2005%20Extention%202009.pdf>

Analysis of some positional accuracy assessment methodologies, ASCE Journal of Surveying Engineering, May 2008.

<http://cid-0259cb4f889eaeb3.skydrive.live.com/self.aspx/Geodesy%20and%20GPS/ASCE2008%20Positional%20Assesment.pdf>

CORS-TR for Precise GNSS positioning in Turkey, 2009:

http://cid-0259cb4f889eaeb3.skydrive.live.com/self.aspx/Arabic%20Surveying%20Papers/GIS%7C_KSA%7C_Conf%7C_2009/7%7C_E%7C_KamilEren%7C_KSA.pdf

Determination of the orthometric height inside Mosul University campus by using GPS data and the EGM96 gravity field model, Journal of Applied Geodesy, 2008:

<http://cid-0259cb4f889eaeb3.skydrive.live.com/self.aspx/Geodesy%20and%20GPS/EGM96%20in%20Iraq%202008.pdf>

Ionospheric delay correction in Egypt, 2008:

<http://cid-0259cb4f889eaeb3.skydrive.live.com/self.aspx/Geodesy%20and%20GPS/Ionospheric%20delay%20Egypt%202008.pdf>

Accuracy assessment study of static-GPS in south Egypt, 2008:

http://cid-0259cb4f889eaeb3.skydrive.live.com/self.aspx/Geodesy%20and%20GPS/Static%7C_GPS%20South%20Egypt%202008.pdf

Tropospheric correction estimation in Egypt, 2008:

http://cid-0259cb4f889eaeb3.skydrive.live.com/self.aspx/Geodesy%20and%20GPS/Tropo%7C_Correction%20Egypt%202008.pdf

US Army manual on Survey Markers and Monumentation, 1990:
<http://cid-0259cb4f889eaeb3.skydrive.live.com/self.aspx/Geodesy%20and%20GPS/USArmy%20Survey%20Markers%20Monumentation.pdf>

رابعاً: بحوث د. جمعة داود:

(أ) الرسائلات الأكاديمية:

رسالة الماجستير و عنوانها:

Some considerations in the adjustment of GPS baselines in the network mode, 1991
http://cid-0259cb4f889eaeb3.skydrive.live.com/self.aspx/MSC%20and%20PHD%20in%20Surveying/Dawod%20GPS%5E_MSC%201991.pdf

رسالة الدكتوراه و عنوانها:

A national gravity standardization network for Egypt, 1998
http://cid-0259cb4f889eaeb3.skydrive.live.com/self.aspx/MSC%20and%20PHD%20in%20Surveying/Dawod%20ENGSN%5E_PhD%201998.pdf

أيضاً رأت زوجني د. هدي فيصل محمد أن تنشر - نسخة لوجه الله تعالى - من رسالتها للدكتوراه و عنوانها:

Realization and redefinition of the Egyptian vertical datum based on recent heterogeneous observations, 2005
http://cid-0259cb4f889eaeb3.skydrive.live.com/self.aspx/MSC%20and%20PHD%20in%20Surveying/Hoda%5E_Mohamed%20PhD%202005.pdf

(ب) البحوث العلمية باللغة العربية:

استخدام أحدث تقنيات الرصد على الأقمار الصناعية لتحديد حجم المنخفضات لمشروعات إدارة الموارد المائية ، ٢٠٠٢

http://cid-0259cb4f889eaeb3.skydrive.live.com/self.aspx/Arabic%20Surveying%20Papers/Dawod%20GPS%5E_Depression%5E_Vol%202002.pdf

دراسة الفروق بين مناسبات رخامات الري و مناسبات روبيرات المساحة لمحطات قياس مناسبات المياه علي نهر النيل ، ٢٠٠٥

<http://cid-0259cb4f889eaeb3.skydrive.live.com/self.aspx/Arabic%20Surveying%20Papers/Dawod%20Nile%20Gauges%20and%20MSL%2005.pdf>

(ج) البحوث العلمية باللغة الانجليزية:

Towards the redefinition of the Egyptian geoid: Performance analysis of recent global geoid models and digital terrain models, 2008

<http://cid-0259cb4f889eaeb3.skydrive.live.com/self.aspx/Geodesy%20and%20GPS/Dawod%5EPapers/Dawod%20Analyiz%20Global%20Geoids%202008.pdf>

Fitting gravimetric local and global quasi-geoids to GPS/levelling data: The role of geoid/quasi-geoid variations in Egypt, 2008

<http://cid-0259cb4f889eaeb3.skydrive.live.com/self.aspx/Geodesy%20and%20GPS/Dawod%5EPapers/Dawod%20Geoid%20QuasGeoid%202008.pdf>

Estimation of Sea Level Rise Hazardous Impacts in Egypt within a GIS Environment, 2008

<http://cid-0259cb4f889eaeb3.skydrive.live.com/self.aspx/Geodesy%20and%20GPS/Dawod%5EPapers/Dawod%20GIS%20for%20MSL%2008.pdf>

Assessment of a cost-effective GPS data processing alternative in Egypt utilizing international on-line processing services, 2007

http://cid-0259cb4f889eaeb3.skydrive.live.com/self.aspx/Geodesy%20and%20GPS/Dawod%5EPapers/Dawod%20Assesment%20on%5E_line%20GPS%202007.pdf

Evaluation of River Nile high flood effects by Geographic Information System, 2007

http://cid-0259cb4f889eaeb3.skydrive.live.com/self.aspx/Geodesy%20and%20GPS/Dawod%5E_Papers/Dawod%20GIS%5E_Nile%20Floods%202007.pdf

New strategies in the utilization of GPS technology for mapping and GIS activities in Egypt, 2007

http://cid-0259cb4f889eaeb3.skydrive.live.com/self.aspx/Geodesy%20and%20GPS/Dawod%5E_Papers/Dawod%20New%20GPS%20strategies%202007.pdf

Enhancing the integrity of the national geodetic data base in Egypt, 2005

http://cid-0259cb4f889eaeb3.skydrive.live.com/self.aspx/Geodesy%20and%20GPS/Dawod%5E_Papers/Dawod%20Geo%5E_Net%20in%20Egypt%20FIG%202005.pdf

Developing a precise geoid model for hydrographic surveying of the River Nile, 2005

http://cid-0259cb4f889eaeb3.skydrive.live.com/self.aspx/Geodesy%20and%20GPS/Dawod%5E_Papers/Dawod%20Nile%5E_Geoid%202005.pdf

Assessment and modelling of sea level rise and metrological changes in Egypt, 2005

http://cid-0259cb4f889eaeb3.skydrive.live.com/self.aspx/Geodesy%20and%20GPS/Dawod%5E_Papers/Dawod%20Sea%20Level%20Rise%20in%20Egypt%202005.pdf

Productive GPS topographic mapping for national development projects in Egypt, 2003

http://cid-0259cb4f889eaeb3.skydrive.live.com/self.aspx/Geodesy%20and%20GPS/Dawod%5E_Papers/Dawod%20Top%5E_Surv%20GPS%202003.pdf

Proposed standards and specifications for GPS geodetic surveys in Egypt, 2003

http://cid-0259cb4f889eaeb3.skydrive.live.com/self.aspx/Geodesy%20and%20GPS/Dawod%5E_Papers/Dawod%20GPS%20Standards%202003.pdf

Modernization plan of GPS in 21st century and its impacts on surveying applications, 2003

http://cid-0259cb4f889eaeb3.skydrive.live.com/self.aspx/Geodesy%20and%20GPS/Dawod%5E_Papers/Dawod%20Modernization%20of%20GPS%202003.pdf

Efficiency of new solutions for surveying and mapping problems in integrated water resources management, 2003

http://cid-0259cb4f889eaeb3.skydrive.live.com/self.aspx/Geodesy%20and%20GPS/Dawod%5E_Papers/Dawod%20Navig%20GPS%20Transf%202003.pdf

Establishment of precise geodetic control networks for updating the River Nile maps, 2003

http://cid-0259cb4f889eaeb3.skydrive.live.com/self.aspx/Geodesy%20and%20GPS/Dawod%5E_Papers/Dawod%20Nile%5E_GPS%5E_Network%202003.pdf

A Precise Integrated GPS/Gravity Geoid Model for Egypt, 2002

http://cid-0259cb4f889eaeb3.skydrive.live.com/self.aspx/Geodesy%20and%20GPS/Dawod%5E_Papers/Dawod%20SRI%5E_Geoid%202002.pdf

The Establishment of the First Modern Sea Level Monitoring System in Egypt, 2002

http://cid-0259cb4f889eaeb3.skydrive.live.com/self.aspx/Geodesy%20and%20GPS/Dawod%5E_Papers/Dawod%20MSL%20System%20Egypt%202002.pdf

The magnitude and significance of long-term sea level rise in Egypt from a geodetic perspective, 2001

http://cid-0259cb4f889eaeb3.skydrive.live.com/self.aspx/Geodesy%20and%20GPS/Dawod%5E_Papers/Dawod%20MSL%20Rise%20in%20Egypt%202001.pdf

Quality control measures for the Egyptian National Gravity Standardization Network, 2000

http://cid-0259cb4f889eaeb3.skydrive.live.com/self.aspx/Geodesy%20and%20GPS/Dawod%5E_Papers/Dawod%20QC%20of%20ENGSN97%202000.pdf

Optimum geodetic datum transformation techniques for GPS surveys in Egypt, 2000

http://cid-0259cb4f889eaeb3.skydrive.live.com/self.aspx/Geodesy%20and%20GPS/Dawod%5E_Papers/Dawod%20GPS%20Transformation%202000.pdf

Efficiency of GPS techniques in national applications, 1999

http://cid-0259cb4f889eaeb3.skydrive.live.com/self.aspx/Geodesy%20and%20GPS/Dawod%5E_Papers/Dawod%20GPS%20in%20Nat%5E_Project%201999.pdf

Increasing the reliability of GPS geodetic networks, 1995

http://cid-0259cb4f889eaeb3.skydrive.live.com/self.aspx/Geodesy%20and%20GPS/Dawod%5E_Papers/Dawod%20Outliers%20in%20GPS%201995.pdf

A method for detecting no-check observations in GPS networks, 1992

http://cid-0259cb4f889eaeb3.skydrive.live.com/self.aspx/Geodesy%20and%20GPS/Dawod%5E_Papers/Dawod%20GPS%20No%5E_Check%201992.pdf

On the use of pseudo-Kinematic GPS satellite positioning technology in surveying reclaimed lands in Egypt, 1992

<http://cid-0259cb4f889eaeb3.skydrive.live.com/self.aspx/Geodesy%20and%20GPS/Dawod%5EPapers/Dawod%20Pseudo%5EKin%20GPS%201992.pdf>

(د) المقالات العلمية:

The Egyptian National Gravity Standardization Network (ENGSN97), 2001

<http://cid-0259cb4f889eaeb3.skydrive.live.com/self.aspx/Geodesy%20and%20GPS/Dawod%5EPapers/Dawod%20Article%5EENGSN97%202001.pdf>

دقة أجهزة النظام العالمي لتحديد الموقع GPS المحمولة يدويا وتطبيقاتها في بناء نظم المعلومات الجغرافية GIS ، ٢٠٠٨

<http://cid-0259cb4f889eaeb3.skydrive.live.com/self.aspx/Arabic%20Surveying%20Papers/Dawod%20Article%5EGPS%20Handy%202008.pdf>

ملحق ٢ معجم مصطلحات الجي بي أس^١

2D Operation Mode

وضع التشغيل ثنائي الأبعاد

استعمال جهاز الجي بي أس في وضع يسمح فقط بتحديد الإحداثيات ثنائية الأبعاد (أي الإحداثيات الأفقية فقط) والذي يتطلب رصد على الأقل ثلاثة أقمار صناعية.

3D Operation Mode

وضع التشغيل ثلاثي الأبعاد

استعمال جهاز الجي بي أس في وضع يسمح بتحديد الإحداثيات ثلاثية الأبعاد (أي الإحداثيات الأفقية وأيضاً الإحداثيات الرأسية) والذي يتطلب رصد على الأقل أربعة أقمار صناعية.

Absolute Positioning

التحديد المطلق للموقع أو الإحداثيات

قدرة جهاز الجي بي أس على حساب قيم إحداثيات الموقع دون الحاجة لجهاز آخر كمرجع.
ويسمى أيضاً تحديد موقع نقطة Point Positioning

Accuracy

الدقة

مقياس لمدى قرب إحداثيات الجي بي أس المحسوبة إلى قيمة الإحداثيات الحقيقية لهذا الموقع.

Acquisition Time

زمن الاكتساب

الזמן الذي يستغرقه جهاز الجي بي أس حتى يتعامل مع إشارات الأقمار الصناعية و يحدد الموقع أو يحسب إحداثياته.

Altimeter

مقياس الارتفاع

جهاز يسمح بقياس الارتفاع من خلال قياس الضغط الجوي [بعض أجهزة الجي بي أس وخاصة الملاحية يوجد داخلها هذا الجهاز].

Ambiguity

الغموض

العدد المجهول للدورات الكاملة للموجة الحاملة للإشارة بين القمر الصناعي وجهاز الاستقبال.
أيضاً يسمى: غموض الدورة Cycle Ambiguity

Anywhere Fix

الحساب في أي مكان

القدرة المطلقة لجهاز الاستقبال لحساب الإحداثيات دون إعطاؤه مسبقاً الموقع التقريري أو الزمن.

^١ ترجمة المؤلف لفصول المصطلحات Glossary في عدة مصادر علمية باللغة الانجليزية

Antenna

أنتنا أو هوائي

الجزء في جهاز استقبال الجي بي أس المختص باستقبال إشارات الأقمار الصناعية وتحويلها إلى المعالج الرياضي داخل الجهاز الذي يقوم بإجراء الحسابات الرياضية اللازمة لتحديد الموقع.

Anti-spoofing (A/S)

ضد التجسس

تقنية تشفير مطورة بواسطة وزارة الدفاع الأمريكية بغرض عدم السماح للمستخدمين المدنيين باستقبال أو التعامل مع الشفرة الدقيقة (المعروفة باسم الشفرة P) للأقمار الصناعية.

Almanac Data

بيانات التقويم

بيانات يبيّنها كل قمر صناعي عن مداره و حالته وأيضاً عن مدارات باقي الأقمار الصناعية في منظومة الجي بي أس. تسمح بيانات التقويم لجهاز الاستقبال من التعامل مع الأقمار الصناعية بسرعة بمجرد أن يتم تشغيل الجهاز.

Apogee

نقطة الأوج

نقطة في مدار القمر الصناعي يبلغ عندها أقصى بعد أو مسافة من الأرض.

Atomic Clock

ساعة ذرية

نوع الساعة الموجودة في أقمار الجي بي أس، وهي ساعة دقيقة جداً جداً وهي أما ساعة من نوع السيزيوم أو ساعة من نوع الرايدبيوم.

Auto-correlation

الترابط - أو الارتباط - الآلي

بالقياس إلى شفرة معينة ، فهو رسم بياني أو توقيع لحاصل ضرب تسلسل الضوضاء لإشارة القمر الصناعي في نسخة مؤخرة delayed copy منه.

Azimuth

انحراف

الاتجاه - أو الزاوية - الأفقي الذي يصنعه الخط الواصل بين نقطتين على سطح الأرض مع اتجاه الشمال (أو الجنوب) مقاساً في اتجاه دوران عقرب الساعة. ولله آخر هو

Bearing

Bandwidth

عرض التردد

مقياس لعرض تردد إشارة معينة ، يقاس بوحدات الهرتز.

Baseline

خط القاعدة

المتجه **vector** ثلاثي الأبعاد (فرق س ، فرق ص ، فرق ع) بين أي نقطتين الناتج أو الذي تم حسابه من خلال بيانات الجي بي أس.

Base Station

نقطة أساسية

وتسمى أيضا نقطة مرجعية **Reference Station** ، وهي نقطة ثوابت أرضية مساحية معلومة الإحداثيات. تكون فائدتها الأساسية أن جهاز جي بي أس يقف عليها مما يسمح له بتحديد قيمة خطأ الإحداثيات للأقمار الصناعية في كل لحظة من لحظات الرصد (بمقارنة الإحداثيات المحسوبة من قياسات الجي بي أس بالإحداثيات المعلومة لهذه النقطة) ومن ثم يمكن استخدام هذا التصحيح في تحديد قيمة خطأ الإحداثيات لجهاز جي بي أس يرصد (في نفس فترة الرصد) نقطة أو نقاط أخرى غير معلوم إحداثياتها.

Beat Frequency

التردد الغالب

واحد من تردددين إضافيين نحصل عليهما عند خلط إشارتين من تردددين مختلفين ، وهو يساوي مجموع أو الفرق بين التردددين الأصليين.

Binary Pulse Code Modulation

النبض الرقمي لتعديل الشفرة

هو تعديل ثانوي الحالة للنبض باستخدام سلسلة من الأرقام أو الشفرات ، و يتم تمثيل التعديل باستخدام إما ١ أو صفر ولكلها معنى محدد.

Binary Bi-phase Modulation

التعديل الرقمي للطور

تغير طور الإشارة على تردد ثابت بدرجة إما تساوي صفر أو تساوي 180° ، ويتم تمثيل التغير بقيم صفر أو ١ على الترتيب.

Binary Code

شفرة رقمية

نظام يستخدم في الاتصالات حيث يتم تحديد معنى محدد لسلسل رقمية تتكون من مجموعة من العدد صفر أو مجموعة من العدد ١.

Broadcast Ephemeris (or Ephemerides)

البيانات المذاعة أو المثبتة

البيانات (المتعلقة بالمدار) التي تبثها أقمار الجي بي أس.

C/A Code

شفرة الاكتساب الخشن C/A

الشفرة القياسية المسماه الاكتساب الخشن **Course Acquisition** المعروفة اختصارا باسم **C/A** وتعرف أيضا باسم الشفرة القياسية وأيضا باسم الشفرة المدنية (لأنها هي الشفرة المتاحة لمستخدمي أو أجهزة الجي بي أس للمدنيين). تحتوي هذه الشفرة على بيانات

(مدارات) أقمار الجي بي أس على تردد يساوي 10^{23} ولها معدل chipping rate يساوي 1.0×10^{23} ميجا هرتز وبالتالي فإن فترتها الزمنية تساوي 1 مللي ثانية (أي 1 ألف من الثانية).

Carrier الموجة الحاملة

موجة راديو عالية التردد لها على الأقل خاصية واحدة (تردد frequency أو اتساع amplitude أو طور phase) ويمكن أن تتغير بتعديل modulation. عامة يكون طول الموجة الحاملة أقصر من طول الشفرات codes.

Carrier Beat Phase الطور المعدل للموجة الحاملة

الفرق في الطور phase بين الموجة الحاملة لإشارة القمر الصناعي والموجة المماثلة التي يتم توليدها داخل جهاز الاستقبال.

Carrier Phase طور الموجة الحاملة

قياس الطور للموجة الحاملة ، وغالبا يتم تحويل قيمة النسبة المئوية إلى مليمترات.

Carrier Frequency التردد الحامل

تردد الناتج – الأساسي غير المعدل – الصادر من جهاز راديو.

Cartesian/Geo-centric Coordinates الإحداثيات الكارتيزية أو المركزية

نظام لتحديد الإحداثيات المتعامدة ، يعتمد على: مركز النظام هو مركز الأرض ، المحور السيني x والمحور الصادي y يكونا في مستوى دائرة الاستواء بحيث أن المحور السيني يمر بخط طول جرينتش ، المحور الرأسي z ينطبق مع محور دوران الأرض.

Channel قناة

ت تكون القناة في جهاز الجي بي أس من المكون المادي hardware والبرامج software التي تسمح باستقبال إشارة قمر صناعي واحد على أحد ترددات الموجة الحاملة (أي أن جهاز الجي بي أس يحتوي عدد من القنوات بعدد الأقمار الصناعية التي يمكنه استقبال بياناتها في نفس اللحظة).

Chip رقاقة

أ- أقل زمن استقبال لمعلومة bit (إما صفر أو 1) في النظام الرقمي تكون في تردد معين.
أو
ب- رقاقة مربعة صغيرة ورقيقة جدا والتي عليها يتم تكوين دائرة كهربائية.

Clock Bias

خطأ الساعة

الفرق بين الزمن الذي تعطيه الساعة و الزمن الحقيقي.

Code

شفرة

نظام لتمثيل المعلومات مع قواعد لاستعماله.

Code Receiver

مستقبل الشفرة

جهاز استقبال جي بي أس يعتمد على استقبال قياسات الشفرة (سواء الشفرة المدنية C/A أو الشفرة العسكرية P) كما أنه يستخدم البيانات - مدارات الأقمار الصناعية - المذاعة broadcast ephemeris

Codeless Receiver

مستقبل غير شفري

جهاز استقبال جي بي أس لا يعتمد على الشفرة ، كم أنه لا يسجل البيانات المذاعة. لذلك فقبل حساب خط القاعدة يجب الحصول على ملف للبيانات (مدارات الأقمار الصناعية) من أي مصدر خارجي.

Collimate

تمرکز أو احتلال نقطة

ضبط الجهاز المساحي أعلى علامة مساحية أرضية (بلغة أو مصطلحات المساحة نقول: احتلال النقطة!).

Complete Instantaneous Phase Measurement

القياس الكامل اللحظي للطور

قياس الطور المعدل للإشارة الحاملة الذي يحتوي على عدد دورات الطور منذ أول قياس أو أول صدور. أنظر: غموض الدورة الصحيح.

Control Points

نقاط التحكم

النقطة أو النقاط معلومة الإحداثيات. ويتم استخدام هذه الإحداثيات - كقيم ثابتة موثوق بها - في الأعمال المساحية اللاحقة.

Control Segment

الجزء المتحكم

شبكة (من ٥) نقاط مراقبة و تحكم عالمية لتقنية الجي بي أس لتضمن دقة مدارات الأقمار الصناعية و ساعاتها الذرية ، و تقع نقطة التحكم المركزية في ولاية كلورادو بأمريكا.

Correlation Type Channel

قناة ارتباطية النوع

قناة تستخدم الارتباط – أو الترابط – لضمان التزامن بين الشفرة أو الموجة المولدة داخل المستقبل و الشفرة أو الموجة القادمة من القمر الصناعي.

Cutoff Angle

زاوية القطع

تسمى أيضا زاوية القناع Mask Angle ، أقل قيمة مقبولة لزاوية ارتفاع القمر الصناعي الذي تستقبل إشاراته. يتم تحديد قيمة زاوية القطع – داخل جهاز الجي بي أس – بحيث أنه لا يسجل أو يتعامل مع أي إشارات للأقمار الصناعية التي يقل ارتفاعها عن مستوى الأفق عن هذه القيمة ، وذلك بغرض تقادم الإشارات القريبة من الأفق حيث يكون تأثير الغلاف الجوي كبير على الإشارات مما يؤدي لسوء دقة تحديد الموقع [غالبا تكون قيمة زاوية القطع ١٥ درجة أو أقل].

Cycle Ambiguity

غموض الدورة

.Ambiguity: الغموض

Cycle Slip

خطأ الدورة

عدم استمرارية الموجة الحاملة للإشارة التي يتم قياسها نتيجة عائق معين منع الموجة من الوصول لجهاز الاستقبال.

D-Code (Data Message)

الشفرة د (رسالة البيانات)

هي رسالة ١٥٠٠ بايت – تكون داخل إشارة الجي بي أس تحمل بيانات عن موقع القمر الصناعي وتصحيف الساعة وكفاءة القمر ، كما أنها تحتوي معلومات عن باقي الأقمار الصناعية في منظومة الجي بي أس.

Datum

المرجع أو البيان

نظام مرجعي - أفقي أو رأسي – للقياسات و الحسابات المساحية. يتم استخدام مجموعة من العناصر و نقاط التحكم للتحديد الدقيق ثلاثي الأبعاد لشكل الأرض. يحدد المرجع أجزاء من نظام الإحداثيات الجغرافية الذي يكون الأساس لنظام إحداثيات مستوية. عامة تكون المراجع الأفقيّة منسوبة للبسoid ellipsoid (اقطع الناقص أو الشكل البيضاوي) أو لشبكة إحداثيات مترية. أما المراجع الرأسية ف تكون مرجعة إلى الجيويد (الشكل الحقيقي للأرض). يسمى أحيانا المرجع الجيوديسي Geodetic Datum

Datum Transformation, Geographic Transformation

تحويل المراجع (أو التحويل الجغرافي)

طريقة رياضية لتحويل البيانات (الإحداثيات) بين نظامي إحداثيات جغرافية أي بين مرجعين مختلفين.

Deflection of the Vertical

انحراف الرأسي

الزاوية بين الاتجاه العمودي على الجيoid (خط الشاغول) والاتجاه العمودي على الاليبيود.

Delay Lock

قفل التأخير

تقنية لارتباط الشفرة حيث يتم مقارنة الشفرة القادمة من القمر الصناعي مع نسختين (أحدهما مبكرة والثانية متأخرة) من الشفرة المرجعية التي يتم توليدها داخل جهاز الاستقبال.

Differencing

توليد اختلاف أو فروق

أسلوب مستخدم في حسابات خط القاعدة لتحديد قيمة غموض الدورة وتقليل عدد مصادر الأخطاء التي تشمل تغير الذبذبة وأخطاء الغلاف الجوي. يقوم هذه الأسلوب على توليد فروق لقياسات الموجة الحاملة سواء من خلال فروق الزمن أو فروق التردد أو فروق المستقبلات أو فروق الأقمار أو أي توليفة من الفروق السابقة.

وأشهر أنواع الفروق هي كالتالي:

Single difference between receivers

الفرق الأحادي بين أجهزة الاستقبال

الفرق اللحظي في الموجة الحاملة للإشارة مقاساً بواسطة جهازين استقبال جي بي أس يستقبلان نفس الإشارات في نفس اللحظة.

Double difference between receivers and between satellites

الفرق الثاني بين أجهزة الاستقبال والأقمار الصناعية

الفرق اللحظي في الموجة الحاملة للإشارة لقمرتين صناعيين مقاساً بواسطة جهازين استقبال جي بي أس يستقبلان نفس الإشارات في نفس اللحظة. أي أن الفرق الثاني هو الفرق بين ٢ فرق أحادي لقمرتين صناعيين عند نفس اللحظة.

A triple difference between receivers, between satellites, and between epochs

الفرق الثلاثي بين أجهزة الاستقبال والأقمار الصناعية واللحظات

الفرق اللحظي في الموجة الحاملة للإشارة لقمرتين صناعيين مقاساً بواسطة جهازين استقبال جي بي أس يستقبلان نفس الإشارات عند لحظتين مختلفتين. أي أن الفرق الثلاثي هو الفرق بين ٢ فرق ثالثي لقمرتين صناعيين في لحظتي رصد متتاليتين.

Differential Positioning

التحديد التقاضي للموقع (أو الإحداثيات)

تحديد موقع أو إحداثيات نقطة نسبة لموقع نقطة مرجعية حيث يكون جهازي استقبال جي بي أس يرصدوا الإشارات عند كلا النقطتين في نفس اللحظة.

Differential GPS (DGPS)

الجي بي أس التقاضي

هو امتداد لمنظومة الجي بي أس باستخدام محطة أو محطات أرضية لبث الموقع أو الإحداثيات [غالباً يستخدم مصطلح DGPS في المساحة ليعبر عن وضع يكون فيه جهاز جي بي أس ثابت على نقطة معلومة وآخر متحرك وبأسلوب معين يمكن الاستفادة من إحداثيات النقطة المعلومة لزيادة دقة الإحداثيات المحسوبة للنقطة المجهولة].

Dilution of Precision (DOP)

تحفيف - أو معامل - الدقة

قياس للتأثير الهندسي لعدم الدقة في تحديد أي موقع.

أشهر أنواع DOP هي:

GDOP

التحفيف الهندسي للدقة

قياس الدقة في الموقع ثلاثي الأبعاد وأيضاً الزمن.

PDOP

التحفيف الموقعي للدقة

قياس الدقة في الموقع ثلاثي الأبعاد.

HDOP

التحفيف الأفقي للدقة

قياس الدقة في الموقع ثنائي الأبعاد أي الأفقي.

VDOP

التحفيف الرأسي للدقة

قياس الدقة في الموقع الرأسي أي الارتفاع.

RDOP

التحفيف النسبي للدقة

قياس الدقة النسبي أي جودة خط القاعدة.

Doppler Shift

فرق دوبلر

التغير في تردد الإشارة القادمة نتيجة تغير معدل المسافة بين القمر و جهاز الاستقبال (أول من تحدث عنه العالم دوبلر ولذلك سمي باسمه). انظر أيضاً: الطور المعدل للموجة الحاملة.

Dynamic Positioning

التحديد динамический للموقع أو الإحداثيات

Anظر: التحديد المتحرك للموقع

Ellipsoidal Height

الارتفاع الالبيسويدى

ارتفاع أي نقطة عن سطح الالبيسويد. يسمى أيضا الارتفاع الجيوديسي

Fast Switching Channel

القناة سريعة التحول أو التغير

قناة تغير أو تحول لها معدل زمني صغير بدرجة تكفي لتحديد (من خلال برنامج حساب) الجزء الصحيح من طور الموجة الحاملة.

Fractional Instantaneous Phase Measurement

قياس الجزء اللحظي للطور

قياس لطور الموجة الحاملة للإشارة لا يحتوي أي جزء صحيح لعداد الدورة ، وتكون قيمته Complete Instantaneous Phase

Measurement

Frequency Band

مجموعة ترددات

مقدار – أو مجموعة - من الترددات في جزء محدد من الطيف الكهرومغناطيسي.

Frequency Spectrum

الطيف الترددى

تشتت نطاق – بدالة جزء من التردد – تردد موجة معينة لإشارة.

Galileo

جاليليو

النظام الأوروبي للملاحة و تحديد الموضع بالرصد على الأقمار الصناعية (تحت التطوير).

Geoid

الجيoid

السطح الأساسي في علم الجيوديسيا ويعرف بأنه: سطح متساوي الجهد equipotential لمجال الجاذبية الأرضية الذي يمكن تقريره - بدرجة كبيرة - بمستوى متوسط سطح البحر Mean Sea Level أو المعروف باسم MSL (الفرق بين الجيoid و في حدود ٢-١ متر). الجيoid هو المرجع الجيودي الرأسى للارتفاعات الأرثومترية Orthometric Heights أو المناسيب [شكل الجيoid هو الشكل الحقيقى للأرض لكنه شكل متعرج غير منتظم وليس له معادلات حسابية لوصفه وبالتالي لا يمكن استخدامه في حسابات المساحة وتحديد الموضع وإنشاء الخرائط ولذلك نستعين به حسابيا - بالالبسoid].

Geodetic Height

الارتفاع الجيوديسي

ارتفاع أي نقطة عن سطح الالبيسويد. يسمى أيضا الارتفاع الالبيسويدى Ellipsoidal Height

Geoidal Height

الارتفاع الجيودي ، يرمز له N الفرق بين الارتفاع الارثومترى (يرمز له H) و الارتفاع الجيوديسي (يرمز له h). يسمى أيضا حيود الجيoid Geoidal Undulation [العلاقة الرياضية أو المعادلة بين الارتفاعات الثلاثة هي: $N = h - H$].

GLobal Orbiting NAvigation Satellite System (GLONASS)

جلوناس

النظام الروسي لتحديد الموقع بالرصد على الأقمار الصناعية (أي المنافس الروسي للجي بي أس).

Global Positioning System (GPS)

النظام العالمي لتحديد الموقع المعروف اختصارا باسم الجي بي أس.

Global Navigation Satellite Systems (GNSS)

النظم الملاحية العالمية للأقمار الصناعية

أي نظام ملاحي عالمي لتحديد الموقع بالرصد على الأقمار الصناعية [أي أن الجي بي أس و جلوناس و جاليليو يعودوا من نظم GNSS].

Handover Word

كلمة التحول

كلمة داخل رسالة القمر الصناعي تحتوي على معلومة التزامن عند التحول من الشفرة المدنية إلى الشفرة العسكرية P C/A.

Independent Baselines

خطوط قاعدة مستقلة

خطوط قاعدة تم قياسهم من خلال فترات رصد sessions مستقلة.

Independent Observing Sessions

فترات رصد مستقلة

فترات رصد يمكن فيها إهمال تأثير أي خطأ مشترك يؤثر على الأرصاد.

Ionospheric Refraction

الانكسار الأيوني

تأثير أي إشارة تمر في طبقة الأيونوسفير (أحدى طبقات الغلاف الجوي التي تتميز بعدم استقرار الأيونات فيها) وخاصة في الزمن مقارنة بنفس زمن مرورها في الفراغ. يؤثر الانعكاس الأيوني على الطور طبقاً لعدد الإلكترونات التي تؤثر على الإشارة الحاملة.

Interferometry

تبادل

أنظر: Relative Positioning التحديد النسبي للموقع.

Kinematic Positioning

التحديد المتحرك للموقع

يعبر عن التطبيقات التي تحدد فيها موقع هدف متحرك مثل سفينة ، طائرة ، ... الخ.

Lane

حارة أو ممر ضيق

المساحة المحصورة بين خطين (أو سطحين) متقاربين من طور الموجة الحاملة للإشارة أو الفرق بين طورين لإشارتين مختلفتين.

L Band

مجموعة ترددات L

تردد الراديو الممتد من ٣٩٠ ميجا هرتز إلى ١٥٥٠ ميجا هرتز.

L1

تردد L1

التردد الأول الذي تبث عليه أقمار الجي بي أنس إشاراتها ويساوي ١٥٧٥.٤٢ ميجا هرتز ، وعلى هذا التردد توجد الشفرة المدنية C/A والشفرة العسكرية P وأيضاً الرسالة الملاحية للقمر الصناعي.

L2

تردد L2

التردد الثاني الذي تبث عليه أقمار الجي بي أنس إشاراتها ويساوي ١٢٢٧.٥٠ ميجا هرتز ، وتوجد على هذا التردد الشفرة العسكرية P فقط.

L5

تردد L5

التردد الثالث الذي ستبدأ أقمار الجي بي أنس بث إشاراتها عليه عند اكتمال خطة تطوير منظومة الجي بي أنس مع إطلاق الأنواع المحدثة من الأقمار الصناعية [غالباً في عام ٢٠٠٩ م] وسيكون التردد مساوياً ١١٧٦.٤٥ ميجا هرتز.

L2C

شفرة مدنية جديدة - أو ثانية باعتبار الشفرة المدنية الأولى هي C/A - ستبدأ أقمار الجي بي أنس بثها - على التردد الثاني L2 - مع اكتمال خطة تطوير منظومة الجي بي أنس مع إطلاق الأنواع المحدثة من الأقمار الصناعية [غالباً في عام ٢٠١١ م].

L2M

شفرة عسكرية جديدة - أو ثانية باعتبار الشفرة العسكرية الأولى هي P - ستبدأ أقمار الجي بي أنس بثها - على التردد الثاني L2 - مع اكتمال خطة تطوير منظومة الجي بي أنس مع إطلاق الأنواع المحدثة من الأقمار الصناعية [غالباً في عام ٢٠١١ م].

Lock
اتصال مستمر
حالة الاستمرارية - وعدم الانقطاع - في استقبال إشارة راديو [من القمر الصناعي].

Mask Angle
زاوية القناع
Cutoff Angle: أنظر:

Monitor Station
محطة مراقبة
واحدة من خمسة محطات تديرهم وزارة الدفاع الأمريكية لضبطمنظومة القمر الصناعي بي أس والتأكد من كفاءة عملها.

Multipath
تعدد المسارات
ظاهرة - كأنها تشبه وجود ظلال على شاشة التلفزيون - حيث تصل إشارة القمر الصناعي إلى جهاز الاستقبال بعد أن تكون مررت في مسارات متعددة. أي أن المسار سيكون أطول من المفترض (بين القمر و جهاز الاستقبال) بعد أن ينعكس من أي عائق مثل الأرض أو مبني أو مركب ... الخ وبالتالي فإنه عندما يصل إلى جهاز الاستقبال سيعطي مسافة (بين القمر الصناعي و الجهاز) أطول من المسافة الحقيقية مما سينتاج معه خطأ في حساب الإحداثيات ، وهو الخطأ المسمى: خطأ تعدد المسارات.

Multipath Error
خطأ تعدد المسارات
خطأ يحدث نتيجة تداخل موجات الراديو - التي تسافر من الأقمار الصناعية إلى أجهزة الاستقبال - من خلال مسارين لهم طولي موجة مختلفين. [يحدث هذا الخطأ في قياسات الجي بي أس نتيجة انكسار إشارة القمر الصناعي على أي جسم أو عائق (مبني أو شجرة أو عائق معدني) ثم ارتدادها لتصل إلى جهاز الاستقبال].

Multi-Channel Receiver
مستقبل متعدد القنوات
جهاز استقبال جي بي أس يحتوي عدة قنوات.
Multiplexing Channel
قناة متعددة التحول أو متعددة الاستقبال
قناة في جهاز الاستقبال تسمح بالتحول بين إشارات عدة أقمار صناعية بمعدل يتزامن مع زمن رسالة قمر الجي بي أس (٥٠ بait في الثانية أو ٢٠ مللي ثانية للبايت الواحد) أي أن التحول من رسالة قمر إلى الآخر تستغرق ٢٠ مللي ثانية. [هذا النوع من القنوات يقلل من تكالفة جهاز الاستقبال لأن عدد قنوات الاستقبال سيقل لكنه غير مناسب للأجهزة الهندسية التي تتطلب دقة في استقبال رسائل كل قمر صناعي على قناة مستقلة.]

NAV Data وأيضا تسمى **Navigation Message**
الرسالة الملاحية

رسالة - ١٥٠٠ بait - سببها كل قمر صناعي بمعدل ٥ بait/ثانية على كلا من الترددات L1 و L2 ، وتحتوي هذه الرسالة على بيانات: الزمن ، قيم تصحيح الساعة ، عناصر نموذج تصحيح خطأ الأيونوسفير ، و مدار القمر وكفانتة. وهذه البيانات هي التي تستخدم لحساب موقع أو إحداثيات المستخدم.

NAVSTAR

نافستار

اسم كل قمر صناعي في تقنية الجي بي أس ، وهي الأقمار التي تقوم شركة روکویل الأمريكية بتصنيعها.

Network Adjustment

ضبط الشبكات

أسلوب رياضي لتطبيق نظرية مجموع أقل المربعات Least-Squares حيث يتم التعامل مع جميع أرصاد (خطوط قواعد) الشبكة الجيوديسية وتطبيق الشروط الهندسية عليها بغرض الحصول على أدق قيم لإحداثيات النقاط المرصودة [ضبط الشبكات هي من أهم خطوات حسابات الجي بي أس للتطبيقات المساحية الدقيقة].

NMEA Standards

مواصفات الوكالة الوطنية الأمريكية لالكترونيات الملاحة

مواصفات تحددها وتنشرها هذه الوكالة خطوات قياسية لتركيب الرسائل الملاحية لكي تسمح بتعامل أجهزة استقبال الجي بي أس مع رسائل الأقمار الصناعية وأيضا التعامل ما بين الأجهزة المختلفة [مثل صيغة ASCII لتبادل الملفات على الحاسوب الآلي دون الحاجة لبرنامج معين لقراءة محتويات الملف].

Observing Session

فترة رصد

الفترة الزمنية لتجميع بيانات الجي بي أس في نفس اللحظة بواسطة جهاز استقبال أو أكثر.

On-The-Fly (OTF)

على الطائر

(الترجمة العربية الحرافية غريبة جدا!) ، هو أسلوب أو طريقة من طرق حساب خطأ غموض الطور Ambiguity Resolution بحيث تتم الحسابات بسرعة دون الحاجة لبقاء جهاز الجي بي أس على النقطة المعلومة لفترة زمنية طويلة. يستخدم أسلوب OTF في بداية العمل الحقلي لتقنية التحديد الديناميكي للموقع Kinematic Positioning حيث يتم نقل الجهاز من أول نقطة للنقطة الأخرى بسرعة بعد حساب قيمة غموض الطور للنقطة الأولى ، ويشترط لإتباع هذا الأسلوب أن يكون جهاز الجي بي أس من النوع ثانوي التردد أي يستطيع استقبال إشارات الترددات L1 و L2.

Orthometric Height

الارتفاع الأرثومטרי

ارتفاع أي نقطة عن سطح الجيود.

والعلاقة بين الارتفاع الأرثومטרי H و الارتفاع الجيوديسي h [ارتفاع النقطة عن سطح الاليسيود وهو الذي ينتج مباشرة من أرصاد الجي بي أس] هي:

$$h = H + N$$

حيث N ارتفاع الجيoid أو حيود الجيoid.

Outage

رفض أو خارج الحدود

حدوث زيادة في قيمة معامل الدقة DOP أكثر كمن قيمة معينة مطلوبة [أي يتم إظهار رسالة على شاشة جهاز الجي بي أس أن الأرصاد مرفوضة لأنها خارج حدود الدقة المطلوبة أو المحددة سلفاً].

Perigee

الحضيض القمري

نقطة في المدار يكون عندها القمر الصناعي على أقل بعد - أو مسافة - من مركز الأرض.

Phase Lock

تقنية أو أسلوب حيث يتم تكرار طور إشارة القمر الصناعي - داخل جهاز الاستقبال - ومقارنته بطور إشارة القمر الصناعي الأصلية ثم استخدام فرق الطور لضبط الذبذبة الأساسية وحذف الفرق [هذا الأسلوب هو المتبوع في أجهزة الجي بي أس الهندسية أو الجيوديسية مما يسمح بالحصول على دقة عالية في حساب الإحداثيات ، لكنه في نفس الوقت يتطلب مواصفات تقنية عالية في هذه النوعية من الأجهزة مما يجعل سعرها أكثر بكثير من سعر الأجهزة الملاحية أو المحولة يدويا التي تعتمد فقط على التعامل مع الشفرة وليس الطور].

Phase Measurement

قياسات الطور

قياس يعبر عنه بنسبة مئوية بدلاً من جزء الموجة ، مثل: طول الموجة يكون ١٠٠٪ ونصف طول الموجة يكون ٥٠٪ ... وهكذا.

Phase Observable

رصده الطور

Anظر: Reconstructed Carrier Phase Precise or Protected Code (P)

الشفرة الدقيقة أو الشفرة المحمية أو الشفرة العسكرية المعروفة باسم P الشفرة الموجودة على الموجات الحاملة لإشارات الجي بي أس ، وتثبت بمعدل ٢٣ .١٠ ميجا هرتز والذي يكرر نفسه كل ٢٦٧ يوم. كل جزء يستمر أسبوع من هذه الشفرة يكون مخصصاً لقمر صناعي واحد غالباً يعاد ضبطه كل أسبوع [هذه الشفرة أدق بمرابل من الشفرة المدنية C/A ، لكنها مشفرة ولا يمكن فكها من خلال أجهزة الجي بي أس المدنية وتحتاج لنوعية خاصة من الأجهزة لا يسمح بها إلا داخل الجيش الأمريكي فقط].

Point Positioning

تحديد موقع نقطة

Anظر: Absolute Positioning

Polar Plot

توقيع - أو رسم - قطبي

رسم دائري يتم به توقيع ارتفاع و انحراف كل قمر صناعي بدلالة الزمن بالنسبة إلى موقع محدد.

Positioning

تحديد الموقع

تحديد موقع (غالباً موقع جهاز استقبال جي بي أس) بالنسبة لنظام إحداثيات معين.

Post-Processing Differential GPS

الجي بي أس التقاضلي المعالج لاحقاً

أسلوب من أساليب الجي بي أس التقاضلي [أي جهاز جي بي أس ثابت على نقطة معلومة و جهاز آخر على نقطة مجهولة يرصدوا الأقمار الصناعية في نفس الفترة الزمنية] حيث تتم الحسابات و تحديد الإحداثيات لاحقاً في المكتب باستخدام برامج حاسوب إلى [هو أفضل الأساليب المتبعة في التطبيقات المساحية الدقيقة].

Precise Ephemeris

بيانات المدارات الدقيقة

البيانات التي يتم حسابها لمدارات الأقمار الصناعية بناءً على المعلومات التي تبثها الأقمار الصناعية بالإضافة لمعلومات مراقبة الأقمار ذاتها [هذه البيانات يتم حسابها بعد مرور ١٥ يوم من الرصد حيث تقوم جهات دولية متخصصة مثل IGS بحساب المدارات الدقيقة لكل قمر صناعي ، والتي إذا تم استخدامها في حسابات الجي بي أس ستعطي إحداثيات أدق لل نقاط المرصودة حيث أن هذه البيانات تكون أدق بكثير من بيانات مدارات الأقمار التي تبثها الأقمار الصناعية ذاتها Broadcast Ephemeris ، و غالباً يتم استخدام هذه البيانات الدقيقة في الأعمال المساحية التي تتطلب دقة عالية مثل إنشاء الشبكات الجيوديسية و مراقبة تحركات القشرة الأرضية].

Precise Positioning Service

خدمة التحديد الدقيق للموقع

التحديد الديناميكي للموقع باستخدام جهاز جي بي أس واحد فقط بالاعتماد على الشفرة العسكرية الدقيقة P [أي هذه هو الأسلوب المتبعة لأجهزة الجي بي أس العسكرية فقط].

Projected Coordinates

الإحداثيات المنسقطة

تحديد موقع أي نقطة على الأرض في نظام ثنائي الأبعاد ، وفيه يتم تحديد الموقع بناءً على المسافتين من محور هذا النظام من خلال محوريين أحدهما المحور السيني في الاتجاه شرق-غرب و الآخر المحور الصادي في اتجاه شمال-جنوب. ونحتاج لمعادلات إسقاط الخرائط لتحويل الإحداثيات الجغرافية (خط الطول و دائرة العرض) إلى الإحداثيات المنسقطة.

Projected Coordinate System

نظام إحداثيات مسقطة

نظام مرجعي لقياس المسافتين الأفقية و الرأسية من خريطة أفقية. غالبا يتم تحديد هذا النظام من خلال معادلات إسقاط الخرائط وتحديد اليسويد مرجعى كمرجع [مثال لنظم الإحداثيات المسقطة: نظام UTM].

Projection

إسقاط

معادلة رياضية لتحويل أي موقع على سطح الأرض المجسم (أي ثلاثي الأبعاد) إلى سطح الخريطة (ثنائي الأبعاد) ، مثل: معادلات تحويل الإحداثيات الجغرافية – خط الطول و دائرة العرض – إلى الإحداثيات الأفقية س ، ص. يجب ملاحظة أن الإسقاط يسبب تشوّه في واحدة من الخصائص الفراغية: المسافة ، المساحة ، الشكل ، الاتجاه.

Psedolite

نقطة جي بي أس افتراضية

نقطة جي بي أس أرضية تبّث إشارات لها تركيب مماثل لإشارات قمر صناعي جي بي أس حقيقي.

Pseudo Random Noise (PRN)

ضجيج عشوائي زائف

عندما نصف شفرة معينة بهذا الاسم فهذا يدل على لأن هذه الشفرة لها خصائص الضجيج العشوائي. وعندما نتحدث عن الأقمار الصناعية فإن PRN هو رقم محدد يعطى لكل قمر صناعي من أقمار الجي بي أس [مثال 23 PRN أي القمر الصناعي رقم ٢٣].

Pseudorange

المسافة الزائفة

فرق الزمن لمطابقة نسخة شفرة جي بي أس (مولدة داخل جهاز الاستقبال) مع شفرة القمر الصناعي ذاته ، ويتم تحويل هذا الزمن إلى مسافة – بين القمر الصناعي وجهاز الاستقبال – بضربه في سرعة الضوء. فرق الزمن هذا يعني أننا نقوم بطرح زمن الإرسال (وقت خروج الإشارة من القمر الصناعي) من زمن الاستقبال (وقت وصول الإشارة إلى جهاز الاستقبال) وبالتالي فإن هذا الفرق الزمني يشتمل ضمنيا على خطأ الزمن لكلا من القمر الصناعي و جهاز الاستقبال.

Pseudorange Difference

فرق المسافة الزائفة

انظر: Reconstructed Carrier Phase

Real-Time Kinematic (RTK)

الرصد المتحرك اللحظي

أسلوب من أساليب الجي بي أس التقاضي [أي جهاز جي بي أس ثابت على نقطة معلومة و جهاز آخر على نقطة مجهرولة يرصدوا الأقمار الصناعية في نفس الفترة الزمنية] حيث تتم الحسابات و تحديد الإحداثيات في نفس لحظة الرصد عن طريق وجود أجهزة راديو

لاسلكي بين جهازي الجي بي أس [هو الأسلوب المتبوع في تطبيقات التوقيع المساحي في الحقل].

Real-Time Differential GPS

الجي بي أس التقاضلي اللحظي

أسلوب من أساليب الجي بي أس التقاضلي [أي جهاز جي بي أس ثابت على نقطة معلومة و جهاز آخر على نقطة مجهرولة يرصدو الأقمار الصناعية في نفس الفترة الزمنية] حيث تتم الحسابات و تحديد الإحداثيات في نفس لحظة الرصد عن طريق وجود أجهزة راديو لاسلكي بين جهازي الجي بي أس [هو الأسلوب المتبوع في تطبيقات التوقيع المساحي في الحقل]. الفرق بين أسلوب الجي بي أس التقاضلي اللحظي و أسلوب الرصد المتحرك اللحظي RTK أن الأول يعتمد على قياسات الشفرة code بينما يعتمد الثاني على قياسات الموجة الحاملة للإشارة مما يجعله – أي الأسلوب الثاني RTK – أدق من الأسلوب الأول.

Reconstructed Carrier Phase

الطور المعاد تركيبه للموجة الحاملة

هو فرق الطور بين طور الموجة الحاملة للإشارة القادمة من القمر الصناعي و طور الموجة المولدة داخل جهاز استقبال الجي بي أس. في التطبيقات الديناميكية (المتحركة) فإن هذا الفرق يتم في لحظة وصول شفرة القمر الصناعي ، مما يجعل هذا الفرق مقياس للتغير في علاقة القمر-المستقبل مابين لحظات رصد متالية. أما في التطبيقات الثابتة (المساحية) فإن الفرق يتم في لحظات تحددها ساعة جهاز الاستقبال. والتغير في هذا الفرق يكون متاثراً بأخطاء فرق التزامن بين ذبذبات القمر الصناعي و جهاز الاستقبال. ويمكن إرجاع الطور المعاد تركيبه للموجة الحاملة على أنه يساوي المسافة بين القمر الصناعي وجهاز الاستقبال بعد أن نقوم بحل قيمة غموض الدورة Phase . Ambiguity

Relative Positioning

التحديد النسبي للموضع

Differential Positioning

Receiver-Independent Exchange format (RINEX)

صيغة راينكس

صيغة تبادل البيانات دون الاعتماد على نوع جهاز الاستقبال ، مما يسمح بتبادل ملفات أرصاد الجي بي أس التي تم رصدها بعدد من أنواع أجهزة الاستقبال وأن يقوم أي برنامج حسابات باستخدام هذه الملفات لحسب الإحداثيات [مثل صيغة ASCII لتبادل الملفات النصية بين برامج الحاسوب الآلي].

S-Code

S الشفرة

اسم آخر للشفرة المدنية C/A

Satellite Constellation

وضع الأقمار الصناعية

وضع مجموعة الأقمار الصناعية في المدار.

Satellite Message

رسالة القمر الصناعي

أحياناً يطلق عليها اسم الشفرة D (Data or D Code). مجموعة من البيانات منخفضة التردد - ٥٠ هرتز - موجودة على كلا الترددتين الأول L1 والثاني L2 ، وتم تصميم هذه البيانات بحيث تخبر مستخدم الجي بي أس عن كفاءة و موقع القمر الصناعي ، ويمكن لجهاز الاستقبال قراءة هذه الرسالة واستخدامها في حساب موقعه أو إحداثياته في لحظة الرصد هذه.

Selective Availability (S/A)

اللاتاحية المنتقاء

سياسة وزارة الدفاع الأمريكية لخفض دقة تقنية الجي بي أس للمستخدمين المدنيين [كانت هذه السياسة مستمرة منذ بدء تقنية الجي بي أس بحيث كانت دقة تحديد الموضع لحظياً أو ميدانياً في حدود ١٠٠ متر ، لكن توقفت وزارة الدفاع الأمريكية عن تطبيق هذه السياسة في عام ٢٠٠٠ م بحيث أصبحت الدقة اللحظية بحد أقصى ٢٢ متر أفقياً وفي المتوسط تكون أقل من ١٠ متر فقط].

Simultaneous Measurements

القياسات المتبادلة

مجموعة من القياسات التي تتم في نفس اللحظة الزمنية.

Solution-Independent Exchange format (SINEX)

صيغة ساينكس

صيغة تبادل نتائج الحسابات دون الاعتماد على نوع برنامج الحسابات ، مما يسمح بتبادل ملفات نتائج حسابات الجي بي أس التي تم إجادوها بعدد من أنواع برامج الحساب software وأن يقوم أي مستخدم أو جهة باستخدام هذه الملفات لتقدير النتائج.

Slow Switching Channel

القناة بطيئة التحول

قناة - داخل جهاز الاستقبال - لها فترة زمنية طويلة تجعلها قادرة على تحديد قيمة الجزء الصحيح من الموجة الحاملة للإشارة.

Space Segment

جزء الفضاء

أحد مكونات تقنية الجي بي أس الثلاثة التي تشمل الأقمار الصناعية في الفضاء.

Spheroid

الاسفرويد

اسم آخر للإلبويد Ellipsoid

Standard Positioning Service (SPS)

خدمة تحديد الموقع القياسي
تحديد المواقع أو الإحداثيات باستخدام جهاز استقبال واحد بالاعتماد على الشفرة المدنية A/C.
أنظر أيضاً: PPS

Static Positioning

التحديد الثابت للموقع أو الإحداثيات
تحديد موقع أو إحداثيات جهاز استقبال ثابت أي غير متحرك.

Stop-and-Go Kinematic Surveying

المسح المتحرك بطريقة قف-تحرك
تقنية من تقنيات رصد الجي بي أس حيث يكون هناك جهاز جي بي أس ثابت على نقطة مساحة أرضية - معلومة الإحداثيات. بينما الجهاز الآخر يتحرك ليرصد نقطة تلو الأخرى من النقاط المطلوب تحديد موقعها وتكون مدة رصد كل نقطة فترة قصيرة ، بحيث يكون هناك أربعة أقمار صناعية على الأقل يتم استقبال إشاراتها. والهدف من هذا الأسلوب أو التقنية هو تحديد موقع - أو إحداثيات - هذه النقاط المجهولة [اعتماداً على معرفة إحداثيات النقطة المعلومة التي يحتلها الجهاز الثابت].

Switching Channel

قناة متغيرة
قناة - داخل جهاز الجي بي أس - يمكن أن تتحول من رصد و متابعة قمر صناعي إلى رصد و متابعة قمر آخر.

Time Tag

علامة زمنية
الزمن المخصص أو المحدد لرصده حقيقة.

Translation

تحويل
Differential Positioning: أنظر:

Troposphere

الطبقة الداخلية من الغلاف الجوي للأرض والتي توجد على ارتفاع يتراوح بين 6 و 12 ميل من سطح الأرض.

User Equivalent Range Error (UERE)

خطأ المسافة المعادل للمستخدم
مصطلح لدقة رصده جي بي أس حيث يعبر عن تأثير كلا من خطأ المدار وخطأ الزمن وخطأ جهاز الاستقبال. عندما تزيد قيمة هذا المصطلح UERE فتدل على أن الاتجاه المنتقدة S/A تم تطبيقها على إشارات الأقمار الصناعية.

User Segment

جزء المستخدم

جزء من أجزاء منظومة الجي بي أس له علاقة بالمستخدمين (أجهزة استقبال الجي بي أس).

Visible Plot

رسم المرئي

رسم أو توقع لعدد الأقمار الصناعية التي تكون مرئية (أي متاحة للرصد) في موقع معين في يوم محدد.

Wide Area Augmentation System (WAAS)

نظام زيادة المناطق الشاسعة

نظام من الأقمار الصناعية والمحطات الأرضية تسمح ببث تصحيحات الجي بي أس بغضون الحصول على دقة أعلى في تحديد المواقع [مثل: إنشاء محطات أرضية منتشرة على مساحة كبيرة ويتم تركيب أجهزة جي بي أس ثابتة عند كل محطة معلومة الإحداثيات وتقوم هذه المحطات بحساب وبث تصحيح قياسات الجي بي أس من خلال أجهزة راديو لاسلكية بحيث أن مستخدم الجي بي أس يرصد الأقمار الصناعية وفي نفس اللحظة - من خلال جهاز راديو لاسلكي متصل بجهازه - يستقبل التصحيحات من المحطات الأرضية ، وتكون النتيجة أنه يستطيع حساب إحداثيات موقعه بدقة أعلى من دقة الجي بي أس العادية مع أنه يستخدم جهاز واحد وليس الرصد القاضلي اللحظي].

World Geodetic System 1984 (WGS84)

النظام الجيوديسي العالمي ١٩٨٤

هو المرجع الأساسي لتقديرية الجي بي أس ، أي أن الإحداثيات الناتجة من الجي بي أس تكون منسوبة إلى WGS84 [يمكن بعد ذلك تحويلها إلى أي مرجع جيوديسي آخر بمعرفة قيم عناصر العلاقة الرياضية بين كلا المرجعين].

Y Code

الشفرة Y

الشفرة العسكرية P بعد تشفيرها.

Z-count Word

كلمة عداد Z

زمن القمر الصناعي الذي يكون في نهاية الرسالة الملاحة التي يبثها كل قمر من أقمار الجي بي أس.

Zero Baseline

خط القاعدة صفر

هو اختبار لقياس مدى كفاءة و دقة جهاز جي بي أس معين ، ويتم فيه توصيل جهازين جي بي أس إلى نفس إلانتنا Antenna .

٣ ملحق المواصفات المصرية الجيوديسية المقترحة^٢

المواصفات **Specifications and Standards** من أهم مكونات الأعمال المساحية حيث أنها تحدد أسلوب و تقاصيل القياس و الحسابات بهدف الوصول لمستوي معين من الدقة بغض النظر عن اختلاف الأجهزة و المهندسين و ظروف الرصد ذاته. منذ عدة عقود تقوم الجهات الحكومية المسئولة عن العمل المساحي في الدول الغربية بإعداد كتيبات تشمل مواصفات الشبكات الجيوديسية - سواء الأفقية أو الرأسية أو ثلاثية الأبعاد - وأيضاً تحدث هذه المواصفات كل فترة زمنية لتتوافق مع التقنيات المساحية الحديثة. تجدر الإشارة إلى أن هذه المواصفات الأوروبية و الأمريكية متاحة على شبكة المعلومات الدولية الانترنت ، لكن مع الأسف لا توجد مواصفات عربية متاحة أو منشورة و خاصة لتطبيقات نظام الجي بي أس. المعاملات التالية تقدم مقترحاً لمواصفات جيوديسية و للجي بي أس في مصر.

١- دقة شبكات الجي بي أس الجيوديسية:

يمكن تقسيم الشبكات الجيوديسية الوطنية باستخدام الجي بي أس - بصفة عامة - إلى مجموعتين فقط و ليس عدّة مجموعات كما كان متبعاً في الماضي:

- أ- الشبكات الأساسية أو الدرجة الأولى: حيث تكون دقتها .٥ سنتيمتر + .١ جزء من المليون ، وهذه هي أدق درجات شبكات الثوابت الأرضية التي تكون المرجع الجيوديسي الوطني.
- ب- شبكات الدرجة الثانية: حيث تكون دقتها .٨ سنتيمتر + ١ جزء من المليون ، وتكون الثوابت الأرضية بمسافات أقل من مسافات الدرجة الأولى بحيث تغطي معظم الحدود الجغرافية للدولة.

٢- تصميم شبكات الجي بي أس الجيوديسية:

يتم تصميم شبكات الجي بي أس (توزيع النقاط و طرق بناء الثوابت الأرضية) بأخذ عدة عوامل في الاعتبار ومنها:

- التوزيع المتجانس الذي يعطي المنطقة الجغرافية بكمالها.
- تكوين عدة أشكال هندسية مغلقة (حلقات) تزيد من جودة الحسابات.
- توزيع النقاط على مسافات متساوية بقدر الإمكان.
- معدل أطول خط قاعدة إلى أقصر خط قاعدة (في الشبكة) لا يزيد عن قيمة ٥ ومن الأفضل أن يكون أقل من ذلك بكثير.

² نشرت في بحث للمؤلف باللغة الانجليزية في:

Dawod, G., 2003b, Proposed standards and specifications for GPS geodetic surveys in Egypt, Water Science Magazine, No. 33, April. pp. 33-39.

٣- اختيار مستقبلات الجي بي أس:

يجب تميز أجهزة الاستقبال التي تستخدم في إنشاء الشبكات الجيوديسية بالمواصفات الرئيسية التالية:

- أجهزة ثنائية التردد (تستقبل كلاً تردد الجي بي أس L1, L2).
- تستقبل كلاً من الشفرة و الموجة الحاملة.
- تعمل في الوضع الثابت التقليدي.
- تعمل أيضاً في الوضع التفاضلي (أي تستقبل التصحيحات من مصدر خارجي).
- متعددة القنوات بحد أدنى ٢٤ قناة.
- ذاكرة داخلية أو خارجية تسمح بتخزين القياسات لمدة لا تقل عن ٨ ساعات رصد متواصلة.
- مصدر طاقة داخلي أو خارجي يسمح بتوفير الطاقة اللازمة للجهاز لمدة لا تقل عن ٨ ساعات رصد متواصلة.

٤- اختيار هوائيات الجي بي أس:

لتقليل التشوه في إشارات الأقمار الصناعية يجب أن يكون هوائي الاستقبال Antenna لجهاز الجي بي أس متمتعاً بالمواصفات التالية:

- مقاوم لتأثير تعدد المسار Multipath بدرجة جيدة.
- دقة عالية في تحديد مركز - أو نقطة - التقاط الموجات Phase Center.
- حساس بدرجة عالية.
- سهل الضبط و التسامت أعلى النقطة الأرضية المرصودة.

٥- التخطيط المبدئي لإنشاء شبكات الجي بي أس:

يجبأخذ العوامل التالية في الاعتبار قبل بدء التنفيذ الفعلي لإنشاء شبكة جيوديسية بالجي بي أس بهدف ضمان الوصول لمستوى الدقة المطلوب لهذه الشبكة:

- تعين و تحديد أقصى قدر من نقاط الثوابت الأرضية - معلومة الإحداثيات - في منطقة العمل للربط عليهم.
- تحديد قيمة أكبر وأقصر طول خطوط القواعد الذين سيستخدمان في تصميم الشبكة لاحقاً.
- تحديد موقع نقاط التحكم المتوفرة.
- تحديد عدد أجهزة الاستقبال التي ستعمل آنها simultaneously في فترة الرصد الواحد session.
- تحديد مدة فترة الرصد الواحدة.
- تحديد أنساب أوقات رصد الأقمار الصناعية التي تعطي أفضل قيمة لمعامل الدقة PDOP (حيث يتراوح بين ٣ و ٥).
- توافر عدد من الرصدات المتكررة repeated measurements لبعض خطوط القواعد في الشبكة.

independent occupation توافر عدد من مرات احتلال بعض النقاط بأجهزة مختلفة وليس بنفس الجهاز كل مرة.

٦- اختيار أماكن وطريقة تثبيت النقاط الأرضية:

تشمل مواصفات اختيار و بناء نقاط الثوابت الأرضية ما يلي:

- سهولة الوصول لموقع النقطة.
- ضمان تواجد النقطة في هذا الموقع لفترة طويلة.
- أن يكون الموقع مناسباً للاستخدام المساحي.
- أن يكون البناء على أرض صخرية صلبة و ثابتة.
- ألا توجد عوائق حول موقع النقطة في حدود ١٥° من مستوى الأفق.

٧- مواصفات تصميم الشبكة:

شبكات الدرجة الثانية	شبكات الدرجة الأولى	البند
٥٠	١٠٠	أقصى تباعد بين النقاط (كم)
٣	٣	أقل عدد للنقاط
اختياري	٤ على الأقل	وجود عدد من الثوابت الرئيسية (روبير أو BM)
١٠	١٠	أكبر عدد للخطوط في الحلقة
١٠٠	١٠٠	أقصى محيط الحلقة الواحدة (كم)
%٣٠	%٥٠	أقصى نسبة مئوية للنقاط ذات مرتين احتلال أو أكثر
٩	١٢	أقل قيمة لدرجة الحرية degree of freedom (عدد الأرصاد - عدد المحايل)

٨- مواصفات العمل الحقل:

أهم أخطاء العمل الحقل يتركز في ضبط تسامت جهاز الاستقبال (أو الهوائي لبعض الأجهزة) فوق النقطة الأرضية وكذلك أخطاء قياس ارتفاع الجهاز عن الأرض ، لذلك فأن مواصفات العمل الحقل تشمل:

- قياس و تسجيل ارتفاع الجهاز (أو ارتفاع الهوائي) مرة بالنظام المترى و أخرى بالنظام الانجليزي ، وذلك قبل و بعد تشغيل الجهاز.
- في حالة وجود أكثر من شخص ، يقوم كل واحد بقياس ارتفاع الجهاز بنفسه.
- التأكد من ضبط أفقية و تسامت الجهاز قبل و بعد تشغيل الجهاز.
- تدوين الرقم التسلسلي serial number لكل جهاز و لكل هوائي في جدول الأرصاد الحقلية عند كل نقطة.
- بقدر الإمكان يجب توافر عدد من المرات لاحتلال نفس النقطة redundant occupations
- من الأفضل تصوير كل نقطة - فوتغرافيا أو رقميا - لضمان احتلال النقطة المطلوبة المسجل رقمها.

٩- مواصفات الرصد الحقلى:

البند	شبكات الدرجة الأولى	شبكات الدرجة الثانية	شبكات الدرجة الثانية
أرصاد ثنائية التردد	نعم	نعم	اختياري
أقل عدد لأجهزة الاستقبال	٣	٣	٣
أقل عدد للأقمار الصناعية المرصودة	٤	٤	٤
زمن فترة الرصد (بالدقيقة)	١٢٠-٩٠	٩٠-٤٥	٩٠-٤٥
معدل الأرصاد sample rate (بالثانية)	٢	٢	٢
أقل زاوية قناع Mask or Cut-Off أعلى من الأفق (بالدرجات)	٥١٥	٥١٥	٥١٥
أقل عدد لتكرار قياس ارتفاع الجهاز	٢	٢	٢
أقصى فرق بين قياسين لارتفاع الجهاز (سم)			٢
صورة فوتوغرافية للنقطة	نعم	نعم	نعم

١٠- مواصفات برنامج الحسابات:

بنفسة عامة يجب أن تتوافر لبرنامج حسابات أرصاد الجي بي أس المواصفات التالية:

- يقبل أرصاد كلا نوعي الأجهزة أحادية و ثنائية التردد.
- يقدم طرق يدوية و آلية لإجراء الحسابات.
- إجراء الحسابات لكلا من أرصاد المسافات الكاذبة وأرصاد طور الموجة.
- يدعم تحديد الموقع في أسلوب التحديد المطلق ، خط القاعدة ، الشبكة.
- القدرة على اكتشاف خطأ تغير الدورة cycle slip وحله.
- يدعم أساليب الفروقات الأحادية و الثنائية و الثلاثية.
- يقبل أكثر من ١٠ خطوط قواعد في الحلقة الواحدة.
- يعطي حلول ثابتة و غير ثابتة و ثلاثة.
- يقدم معاملات إحصائية تصف جودة كل حل.
- يدعم تغيير معاملات الحساب طبقاً لاختيارات المستخدم.
- يدعم التعامل مع كافة أنواع الهوائيات و أجهزة الاستقبال.
- يقدم إمكانية ما قبل الرصد (أي يحسب قيم معامل الدقة DOP مثلاً).
- يقبل أكثر من مصدر أو نوع لمدارات الأقمار الصناعية (المرسلة من الأقمار الصناعية ذاتها أو المدارات الدقيقة المحسوبة لاحقاً).
- سهل الاستخدام من خلال قوائم menus بسيطة.

١١- مواصفات حسابات أرصاد الجي بي أس:

المواصفات التالية تقدم أساسيات تنفيذ حسابات أرصاد الجي بي أس و المعاملات التي يجب إتباعها للوصول للدقة المنشودة:

البند	شبكات الدرجة الأولى	شبكات الدرجة الثانية	الاعتماد على المدارات الدقيقة للأقمار الصناعية
أقصى خطأ قفل الحلقة loop closure (سم)	نعم	اختياري	٣٠
أقصى خطأ قفل الحلقة loop closure (جزء من ppm)	١٢.٥	٢٥	٢٥
أقصى نسبة مئوية للأرصاد غير المقبولة	٪ ١٠	٪ ١٠	٪ ١٠
الانحراف المعياري لأي خط قاعدة (سم)	٢ - ٠.١	٤ - ١	

بعد تشغيل برنامج الحسابات والحصول على نتائج حل كل خط قاعدة Base Line في الشبكة المرصودة وطبقاً لقيم الخطأ التربيعي المتوسط Root Mean Square أو اختياراً RMS ونتيجة حل خطأ الغموض الصحيح فتوجد قواعد عامة لكيفية اختيار نوع الحل بناءً على المسافات أو أطوال خطوط القواعد:

قيمة RMS	المسافة (كم)	الغموض رقم صحيح integer	الوصية
صغير	أقل من ٢٠	نعم	استخدم الحل الثابت Fixed
كبير	أكبر من ٢٠	نعم	الفحص مجدداً ثم استخدام الحل الثابت Fixed
كبير	أقل من ٢٠	نعم	إعادة الحسابات أو إعادة رصد هذا الخط مرة أخرى
صغير	٦٥-٢٠	لا	استخدم الحل غير الثابت Float
كبير	أكبر من ٦٥	لا	استخدم الحل الثلاثي Triple أو إعادة رصد هذا الخط مرة أخرى

١٢- مواصفات ضبط شبكات الجي بي أس:

تم عملية ضبط الشبكات Network Adjustment في عدد من الخطوات المتسلسلة تتكون من:

- أ- تحليل خطأ القفل في كل حلقة لضمان حدود قيمه طبقاً للمواصفات المطلوبة،
- ب- إجراء عملية ضبط غير مقيد Free Net Adjustment (عن طريق تثبيت إحداثيات نقطة واحدة فقط غالباً تكون اختيارية) لفحص جودة الأرصاد ذاتها.
- ت- استخدام النتائج الإحصائية للضبط غير المقيد في اكتشاف أية أرصاد غير جيدة Outliers or Blunders وحذفها (عن طريق الاختبارات الإحصائية المعروفة مثل اختبار تاو أو اختبار مربع كاي).
- ث- إجراء الضبط النهائي للشبكة Final Constrained Adjustment (سواء بتثبيت إحداثيات نقطة واحدة معلومة فقط Minimal-Constrained أو بتثبيت إحداثيات أكثر من نقطة معلومة Over-Constrained).

١٢ - مواصفات توثيق نتائج شبكات الجي بي أس:

إن عرض و توثيق نتائج إنشاء شبكة جي بي أس بعد جزءا هاما من خطوات المشروع لوصف كافة المعاملات التي تم إتباعها في الحسابات والضبط والنتائج التي تم التوصل إليها. يجب أن تشمل وثائق المشروع المعلومات التالية:

- اسم المشروع و موقعه و أهدافه.
- شروط التصميم التي تم إتباعها وأهمها درجة شبكة الجي بي أس (درجة أولي أو ثانية طبقا للمواصفات).
- عناصر العمل الحقلـي و تشمل: عدد الأجهزة المستخدمة ، طول فترة الرصد ، عدد مرات الاحتكال المتكرر لل نقاط ، قيمة معامل الدقة PDOP ، جداول التسجيل الحقلـي لبيانات كل نقطة مرصودة.
- معاملات الحساب التي تم الاعتماد عليها: زاوية القناع ، معدل الرصد ، ... الخ.
- نوع ونسخة برامج الحاسـب الآلي المستخدمة في المشروع.
- معاملات ضبط الشبكة: نوع طريقة الضبط (نقطة واحدة مثبتة أو أكثر من نقطة) ، عدد و أسماء نقاط التحكم معلومـة الإحداثيات وقيم إحداثياتها المثبتـة ، المرجـع الذي تم اعتمادـه في الضبط ، المعاملات الإحصـائية لنتائج الضبط.
- رسومـات الشبـكة و اليـس الأخطـاء Error Ellipse والجدـول التـكراري Residuals Histogram للمـتبقيـات.
- النـتائـج النـهائيـة لإـحداثـيات نقاطـ الشـبـكة: قـيم الإـحداثـيات الجـيـوـديـسيـة (h , λ , ϕ) و الكـارـتـيزـية (X , Y , Z) لـكل نقطـة مع قـيم الانحرافـ المـعيـاري لها ، قـيم المسـافـات أو أـطـوال خطـوطـ القـوـاعد مع قـيم الدـقةـ النـسبـية لها بـوحدـاتـ الجـزـءـ منـ المـلـيـون .ppm

ملحق ٤ موقع مساحية على شبكة الانترنت

أولاً: موقع باللغة العربية:

منتدى الهندسة المساحية:

<http://surveying.ahlamontada.com/>

ملتقى المهندسين العرب – قسم المساحة و الطرق:

<http://www.arab-eng.org/vb/forumdisplay.php?f=50>

نادي نظم المعلومات الجغرافية:

<http://www.gisclub.net/vb/>

رابطة خريجي المساحة و الخرائط و نظم المعلومات الجغرافية بالجامعات المصرية:

<http://mesa7a.com/forum/index.php>

ملتقى العاملين بالمساحة و نظم المعلومات الجغرافية:

<http://www.awsgis.com/vb/index.php>

مجموعة جيوماتكس المصرية:

<http://geomatics.topgoo.net/>

:CAD, GIS, GPS

<http://www.cadmagazine.net/forums/index.php>

منتديات مهندسي المساحة:

<http://geo2007.myfreeforum.org/index.php>

موقع م. عبد الله الأسمري بكلية الهندسة جامعة الملك سعود بالسعودية:

<http://www.eng.alasmari.net/index.php>

منتديات الهندسة نت:

<http://www.alhandasa.net/forum/index.php>

منتدي المهنديس:

<http://www.almohandes.org/vb/>

منتديات داماس الهندسية:

<http://www.damasgate.com/vb/f26/>

الجغرافيون العرب:

<http://www.arabgeographers.net/vb/>

شبكة التخطيط العمراني:

<http://www.araburban.net/>

التقنية المدنية:

<http://www.tkne.net/vb/f8>

مكتبة الكتب الهندسية:

<http://www.4shared.com/dir/6341529/f944b47f/sharing.html>

منتديات مكتشات – خيمة الجي بي إس:

<http://www.mekshat.com/vb/forumdisplay.php?f=54>

ثانياً: مواقع باللغة الإنجليزية:

Earth Geopotential Model 2008 (EGM2008) Geoid:

<http://earth-info.nga.mil/GandG/wgs84/gravitymod/egm2008/index.html>

European Space Agency (ESA):

<http://www.esa.int/export/esaSA/navigation.html>

GPS Manufacturers:

Lieca:	http://www.leica.com
Magellan:	http://www.ashtech.com
Magellan:	http://www.magellangps.com
NovAtel:	http://www.novatel.ca
Pacific Crest:	http://www.paccrst.com
Sokkia:	http://www.sokkia.com
Topcon:	http://www.topconpositioning.com/
Trimble:	http://www.trimble.com

GPS World Magazine:

<http://www.gpsworld.com>

International GNSS Service (IGS):

<http://igscb.jpl.nasa.gov/>

IGS Publications:

<http://igscb.jpl.nasa.gov/overview/pubs.html>

Interactive GPS calandre:

<http://www.rvdi.com/freebies/gpscalendar.html>

Inter-Agency GPS Executive Board (IGEB):

<http://www.igeb.gov/>

International Association of Geodesy (IAG):

<http://www.iag-aig.org/>

International Union of Geodesy and Geophysics (IUGG):

<http://www.iugg.org/>

International Terrestrial Reference Frames (ITRF):
<http://itrf.ensg.ign.fr/>

International Center for Global Earth Gravity Field Models (ICGEM):
<http://icgem.gfz-potsdam.de/ICGEM/ICGEM.html>

List of some GPS manufactures:
<http://gauss.gge.unb.ca/manufact.htm>

Massachusetts Institute of Technology (MIT) course on GPS:
<http://ocw.mit.edu/OcwWeb/Earth--Atmospheric--and-Planetary-Sciences/12-540Principles-of-the-Global-Positioning-SystemSpring2003/CourseHome/index.htm>

National Geodetic Survey of USA (NGS):
<http://www.ngs.noaa.gov/>

NGS's Geoid page:
<http://www.ngs.noaa.gov/geoid/>

NGS's Publications:
http://www.ngs.noaa.gov/PUBS_LIB/pub_index.html

New Zealand Surveying publications:
<http://www.linz.govt.nz/rcs/linz/pub/web/root/core/SurveySystem/surveypublications/index.jsp>

National Imagery and Mapping Agency of USA (NIMA) geodetic publications:
<http://earth-info.nima.mil/GandG/pubs.html>

OmniStar global DGPS commercial service:
<http://www.omnistar.nl/>

Publications of Prof. C. Tscherning:
<http://www.gfy.ku.dk/~cct/>

Publications of Prof. P. Vanicek:
<http://gge.unb.ca/Personnel/Vanicek/>

Publications of Prof. W. Featherstone:

<http://www.cage.curtin.edu.au/~will/>

Publications of Prof. P. Dana:

<http://www.colorado.edu/geography/gcraft/notes/>

Technical geodetic reports at Ohio State University (OSU), USA:

<http://geodeticscience.osu.edu/OSUReports.htm>

Technical geodetic reports at Delft University, Netherlands:

<http://enterprise.geo.tudelft.nl/mgp/index.php?module=Papers&type=user&func=main>

Technical geodetic reports at Technical University Graz, Austria:

http://portal.tugraz.at/portal/page?_pageid=513,2702116&_dad=portal&_schema=PORTAL

Technical geodetic reports at New Brunswick University, Canada:

<http://gge.unb.ca/Pubs/TechnicalReports.html>

Technical geodetic reports at Croatian Geodetic Institute, Croatia:

<http://www.cgi.hr/english/papers.htm>

Technical geodetic reports at Calgary University, Canada:

<http://www.geomatics.ucalgary.ca/node/58>

USA Army Corps of Engineers' publications:

<http://www.usace.army.mil/publications/new-pubs/newem's.htm>

نبذة عن المؤلف



د. جمعة محمد داود أستاذ المساحة و الجيوديسيا بمعهد بحوث المساحة بالمركز القومي لبحوث المياه بجمهورية مصر العربية. حصل على درجة البكالوريوس عام ١٩٨٥ ودرجة دكتوراه الفلسفة عام ١٩٩٨ من قسم الهندسة المساحية بكلية الهندسة بشبرا جامعة بنها بمصر ، بينما حصل علي درجة الماجستير عام ١٩٩١ من قسم المساحة و العلوم الجيوديسية بجامعة ولاية أوهايو بالولايات المتحدة الأمريكية.

اشترك في تنفيذ العديد من المشروعات التطبيقية علي المستوي الوطني بجمهورية مصر العربية منذ عام ١٩٨٦ وخاصة في مجالات: المساحة الجيوديسية ، إنشاء شبكات التحكم بالجي بي إس ، الرفع المساحي ، إنشاء الخرائط الطبوغرافية و الهيدروغرافية ، نظم المعلومات الجغرافية ، مراقبة تحركات القشرة الأرضية ، شبكات الجاذبية الأرضية ، نمذجة الجيoid ، الدراسات البيئية.

حضر العديد من الدورات التدريبية في كلا من مصر و النمسا و سويسرا و الولايات المتحدة الأمريكية ، كما شارك بالتدريس في العديد من الجامعات و المعاهد الفنية في مصر و المملكة العربية السعودية.

نشر أكثر من ثلاثون بحثا علميا - منذ عام ١٩٩٢ - في عدة مجلات علمية و مؤتمرات دولية في مصر و كندا و السعودية و البحرين. أيضا حصل علي جائزة أفضل بحث في الهندسة المساحية في مصر لعدة سنوات ، بالإضافة لعدد آخر من الجوائز و شهادات التقدير.

متزوج وله ثلاثة أبناء: مصطفى و محمد و سلمي.